

**O'ZBEKISTON RESPUBLIKASI OLIY VA O'RTA  
MAXSUS TA'LIM VAZIRLIGI**

**B. TO'LAYEV**

**ICHKI YONUV MOTORLARI  
NAZARIYASI VA DINAMIKA  
ASOSLARI**

*O'zbekiston Respublikasi Oliy va o'rta maxsus ta'lif  
vazirligi tomonidan darslik sifatida tavsiya etilgan*

**TOSHKENT – 2010**

**31.365  
T96**

**B. To'layev.** Ichki yonuv motorlari nazariyasi va dinamika asoslari. – T.: «Fan va texnoligiya», 2010, 294 bet.

Darslikda porshenli ichki yonuv dvigatellari nazariy va haqiqiy siklari, ularning indikator va effektiv ko'rsatkichlari, xarakteristikalari, issiqlikdan foydalanish va issiqlik balansi, yonish mahsulotlarining insonga va ekologiyaga ta'siri hamda dvigate (krivoship-shatunli mexanizm) kinematikasi va dinamikasi ko'rilgan; dvigate ishiga va uning ko'rsatkichlariga konstruksion omillar va ekspluatatsiya sharoitlarining ta'siri batafsil bayon qilingan; ko'rileyotgan jarayon mohiyatini tushuntirishga alohida urg'u berilgan; mustaqil ishda o'rganilayotgan jarayonlar bo'yicha amaliy ko'nikmalar hosil qilish uchun zarur bo'lgan eng yangi ma'lumotlar yetarli darajada keltirilgan.

**BBK 31.365873  
UDK 621. 1(075)**

Taqrizchilar:      t.f.d. B.I.Bozorov;  
                          t.f.n. M.Z. Vagizov.

**ISBN 978-9943-10-388-7**

**© «Fan va texnoligiya» nashriyoti, 2010.**

---

## KIRISH

Ichki yonuv dvigatellari issiqlik mashinalari turkumiga kiradi. Issiqlik mashinalarining vazifasi – issiqlik energiyasini mexanik energiyaga aylantirishdir. Dunyoda ishlab chiqarilayotgan birlamchi energiyaning 90 foizdan ortiqrog‘ini issiqlik mashinalari ishlab chiqaradi (qolgani gidroelektr stantsiyalari; atom elektr stantsiyalari; quyosh, shamol, suv energiyasidan foydalanadigan va h.k. mashinalar hisobiga to‘g‘ri keladi).

Bugungi kungacha issiqlik mashinalarining to‘rt turi ma’lum: bug‘ mashinalari; ichki yonuv dvigatellari, bug‘ turbinalari va gaz turbinalari. Bug‘ mashinalari o‘z vazifasini bajarib bo‘ldi. Ichki yonuv dvigatellariga o‘rnatalgan quvvat bugungi kunda dunyoda ishlab chiqarilayotgan birlamchi energiyaning 70 foiziga to‘g‘ri keladi.

Ichki yonuv dvigatellarida dastlab yonish jarayonida yonilg‘ining ichki kimyoviy energiyasi issiqlik energiyasiga, so‘ngra ken-gayish jarayonida issiqlik energiyasi mexanik energiyaga aylanadi.

1867 va 1878-yillar oraliq‘ida bir necha ichki yonuv dvigatellar paydo bo‘ldi: Bishop (Bishop) va Gilel (Gillel) dvigatellari – biroz o‘zgartirilgan atmosfera mashinalari; venalik Gik dvigateli – o‘z dvigatelida kerosinni ishlatib ko‘rdi, bundan tashqari u sekin-asta yonishni kiritdi, shu bois bu dvigateli Dizelning o‘tmish-doshlaridan biri deb qarash mumkin. Lekin bu dvigatellarning birortasi salohiyatga ega bo‘lmadi va to‘rt taktli Otto dvigateli paydo bo‘lgandan keyin e’tibordan chetda qolishdi.

Otto dvigatelida quyidagi to‘rt printsip amalga oshirildi:

- alanga olinguncha gaz aralashmasi siqiladi;
- porshenning chekka holatida aralashma alangalanadi (bu bilan Lenuar dvigatelidek yo‘l o‘rtasida alangalanishda vujudga keladigan zarba sodir bo‘lishi bartaraf qilinadi);
- to‘rt taktli jarayonning qo‘llanilishi, ya’ni dvigatel silind-

ri goh nasos va goh ishchi silindr vazifasini o'taydi;

— aralashma shunday joylashtiriladiki, o't oladigan joyda yonilg'i eng boy gaz aralashmasi hosil bo'ladi.

Bu g'oyalar yangi emas edi. 1838 yildayoq Barnet siqishni qo'lladi; Million (Million)ning 1861 yildagi Angliya patentida ham siqish taklif qilingan edi. Lekin bu borada fransuz Bo de Rosh (Beau de Rochas)ning patent haqidagi iltimosnomasi alohi-da ahamiyatga ega: patent 1862 yilda so'rالgan.

O'z g'oyalarini amalga oshirish uchun Bo de Rosh quyidagi jarayonni taklif qilgan:

- 1) birinchi yo'l davomida aralashmani so'rish;
- 2) ikkinchi yo'lda aralashmani siqish;
- 3) porshen chekka holatida aralashmani yoqish va uchinchi yo'lda aralashma kengayishi;
- 4) to'rtinchi yo'lda aralashmani siqib chiqarish.

Otto dvigatelida amalga oshirilgan to'rt taktli sikl – aynan shudir.

XIX asr 80-yillarining ikkinchi yarmi ichki yonuv dvigatelerini takomillashtirish masalalari bilan shug'ullanish uchun maqbul payt edi: bug' mashinalarining issiqlik dvigateli sifatidagi kamchiliklari aniqlangan; uning kichik sanoatda qo'llashga kam yaroqlilagini ham hamma sezар edi. Ottoning birinchi gaz dvigateli katta istiqbolga ega bo'lsa ham, konstruktsion tavsifdagi yirik takomillashtirishga to'g'ri keldi; bundan tashqari yorituvchi gazni qo'llash qimmatga tushar va uni hamma joyda ham topib bo'lmas edi, gaz generatorlarida va ichki yonuv dvigatellarida suyuq yonilg'i qo'llanilayotgan edi.

Dizelning asosiy g'oyasi Karno sikliga yaqinlashish edi. Shu maqsadda u siqish oxiridagi bosimning 3,3–3,5 MPa gacha ko'tarilishini loyihaladi; toza havoning so'riliishi nazarda tutilgan, chunki yonuvchi aralashma so'rilsa, haroratning bunday ko'tarilishi vaqtadan oldin alangalanishga olib kelishi mumkin edi.

Shunday yuqori haroratga ko'tarilgan havoga Dizel kukun-simon yonilg'ini kiritishni mo'ljallagan (birlamchi g'oya – ko'mir kukuni). Bu yonilg'i shunchalik sekin-asta kiritilishi nazarda tutilgan ediki, yonganda aralashma harorati sezilarli oshmasin

(«izotermik yonish»). Shu taxminlar tufayli Dizel silindrni suv bilan sovitishni ortiqcha deb hisobladi. Loyihalayotgan dvigatel tuzilishi bo'yicha o'z g'oyalalarini Dizel 1892 yil 28 fevraldagi patentida, so'ngra 1893 yilda «Ratsional issiqlik dvigatelinning nazariyasi va konstruktsiyasi» nomi bilan chiqqan inshosida bayon qildi.

Dizel inshosi o'ziga ko'pchilikning e'tiborini qaratdi va ko'p-gina tanqidiy baholashlarga sabab bo'ldi. Lekin tanqidiy fikrlar bilan bir qatorda ijobiy baholashlar ham bo'ldi, bular orasida katta obro'ga ega bo'lganlar ham bor edi.

Ixtirochi o'z patentida va inshosida bayon qilingan printsiplar amalga oshirilgan birinchi dvigatel 1893 yilning iyulida tayyor bo'ldi. Bir necha tajriba namunalari tayyorlandi, har biri qandaydir o'zgarishlarga ega edi, lekin qiyinchiliklarning aksariyati hali oldinda edi. Faqat 1895 yil boshida tayyorlangan va martida sinalgan dvigatelda ancha ma'qul natijalarga erishildi; bu dvigatelda suv bilan sovitish kiritilgan edi. Suyuq yonilg'i (kerosin)ni purkash uchun siqilgan havodan foydalanildi; bu havo dvigateli bilan bog'langan kompressordan kelardi. Boshqa konstruktiv takomillashtirishlar ham kiritildi. 1895 yilning 1-mayida bu dvigatel to'xtamasdan yarim soat ishladi, ikki haftadan so'ng esa yuk ostida ham ishlay oldi.

Endi yirik sinovlarga yaraydigan va ishlab chiqarishda ishlaydigan dvigateli qurishga kirishish mumkin edi. Bu ish yana ko'p vaqtini egalladi va faqat 1896 yil oxirida Dizel o'tkazilayotgan tajribalarni moliyalatgan Kruppga ishchi dvigatel muvafqiyatli qurilgani haqida xat yozdi.

Bu dvigatelning ishslash printsipi Dizelning dastlabki taxminlaridan sezilarli farqlanardi. Bu ish printsipi hozirgi paytgacha deyarli o'zgarmasdan qoldi. Otto dvigateli sikli kabi ish 4 taktda bajariladi: birinchi taktda toza havo so'riladi, ikkinchisida – taxminan 3,5 MPa gacha siqiladi, bunda havo harorati 500–600°C gacha ko'tariladi. Bu qizigan havoga 2-yo'lning eng oxirida yonilg'i (kerosin) kirita boshlanadi. Kerosin forsunka orqali berilardi, forsunkaga kerosin nasos yordamida etkazilardi, kerosin purkalishi uchun forsunkaga siqilgan havo berilardi (forsunka

silindr kallagiga joylashtirilgan edi). Purkaydigan havoning bosimi 5,0–6,0 MPa ga yetkazilardi. Yonish bosimning sezilarli ortishisiz, taxminan izobara bo'yicha borardi; yonish porshen uchinchi yo'lining 1/6–1/5 qismida davom etardi, so'ngra yo'1 oxirigacha yonish mahsulotlari kengayadi. Kengayishda bosim 2,5 MPa gacha kamayadi, ya'ni kengayish Otto dvigatellaridek to'liq bo'lmaydi. To'rtinchi takt paytida yonish mahsulotlari atmosferaga chiqarib yuboriladi.

Dizelning natijaviy f.i.k. 0,25 ga teng chiqdi. Bu natija o'sha paytda juda yuqori edi, chunki oddiy kerosinda ishlaydigan dvigatellarning f.i.k. 0,155 edi.

Dizelning mexanik f.i.k., kutilganidek, katta bo'lmasdi, u 0,75 atrofida bo'lди.

1897 yilni dizelsozlik rivoji birinchi davrining tugashi deb hisoblash mumkin – yuqori natijaviy f.i.k. ishchan dvigatel yaratildi.

Ortiqcha yuk bo'lmaganda dizel dvigatellari uglevodorodlarni to'liq yondirishga qodir. Lekin ular ancha-muncha  $NO_x$  oqimini hosil qiladilar. Hozirgi paytda dizel dvigatellarida ishlangan gazlar tarkibidagi ba'zi zarrachalar kontserogendir degan fikr bor. Bu o'ziga xos mahsulotlarning vujudga kelishiga dizel dvigatellarida qabul qilingan yonilg'ini purkash va yonish jarayonlari sababchi.

Texnika atrof-muhit ifloslanishi muammosini hal qilishga va insonlar sog'ligiga bo'lgan xavfni bartaraf qilishga transport ehtiyoji uchun Otto va Dizel sikllaridan foydalanishni man qilmasdan ham hal qilish mumkin. Ikkinchi tarafdan, masalan, elektr energiyasini samaraliroq jamlab, elektromobilarni yaratish mumkin yoki issiqlik dvigatellarining yangi turlari ish berib qolishi mumkin. Ular orasida liderlikka bir nechta nomzodlar bor. Eng ma'qul nomzod – Stirling dvigateli. Stirling dvigateli qizigan gazlarda ishlaydi va qachonlardir suv nasoslarida muvaffaqiyatlari ishlagan.

### **Qisqa xulosalar**

1. Ijodlarida dastlab yonish jarayonida yonilg'inining ichki kimyoviy energiyasi issiqlik energiyaga, so'ngra kengayish jara-

yonida issiqlik energiyasi (ishchi jism – gazning ichki energiyasi) mexanik energiyaga aylanadi.

2. Ichki yonuv dvigatellarini o‘rganishda asosiy o‘rinni sikl – ishchi jarayon egallaydi, dvigatel konstruktsiyasi va tizimlari ishchi jarayonni takomillashtirishga xizmat qiladi.

3. Ichki yonuv dvigatellari rivojining boshlang‘ich bosqichda asosiy e’tibor dvigatelning (solishtirma) quvvatini oshirishga, keyingi bosqichda dvigatel tejamkorligini yaxshilashga qaratilgan bo‘lsa, hozirgi paytda asosiy vazifa – dvigatelning ekologik ko‘rsatkichlarini yaxshilashdir.

---

## **I BOB. PORSHENLI ICHKI YONUV DVIGATELLARINING TASNIFLANISHI VA ISHLASH PRINSIPLARI**

### **1.1. Avtomobil va traktor dvigatellarining tasniflanishi**

Avtotraktor dvigatellari modellari va modifikatsiyalarining soni yildan-yilga ortib bormoqda, ular tasniflanishining yagona tizimi shu paytgacha ishlab chiqilmagan. Buning sababi shundaki, hamma avtotraktor dvigatellari kuch qurilmalari bo'lib, ular istalgan transport vositasining harakatini ta'minlashi hamda ularning harakati va ish rejimlari doim o'zgarib turadigan sharoitda turli transport vositalari qo'yadigan har xil talablarni qondirishi kerak. Bundan tashqari, yetarli darajadagi murakkab agregat sifatida istalgan dvigatel kimyo va fizika, gidravlika va gazdinamikasi, issiqlik texnikasi va elektronika, materialshunoslik va materiallar qarshiligi, matematika va hisoblash texnikasi va h.k. kabi fanlarning doim rivojlanib borayotgan yo'nalishlari va tarmoqlarning ko'p yuqularini o'zida mujassamlashtirish kerak.

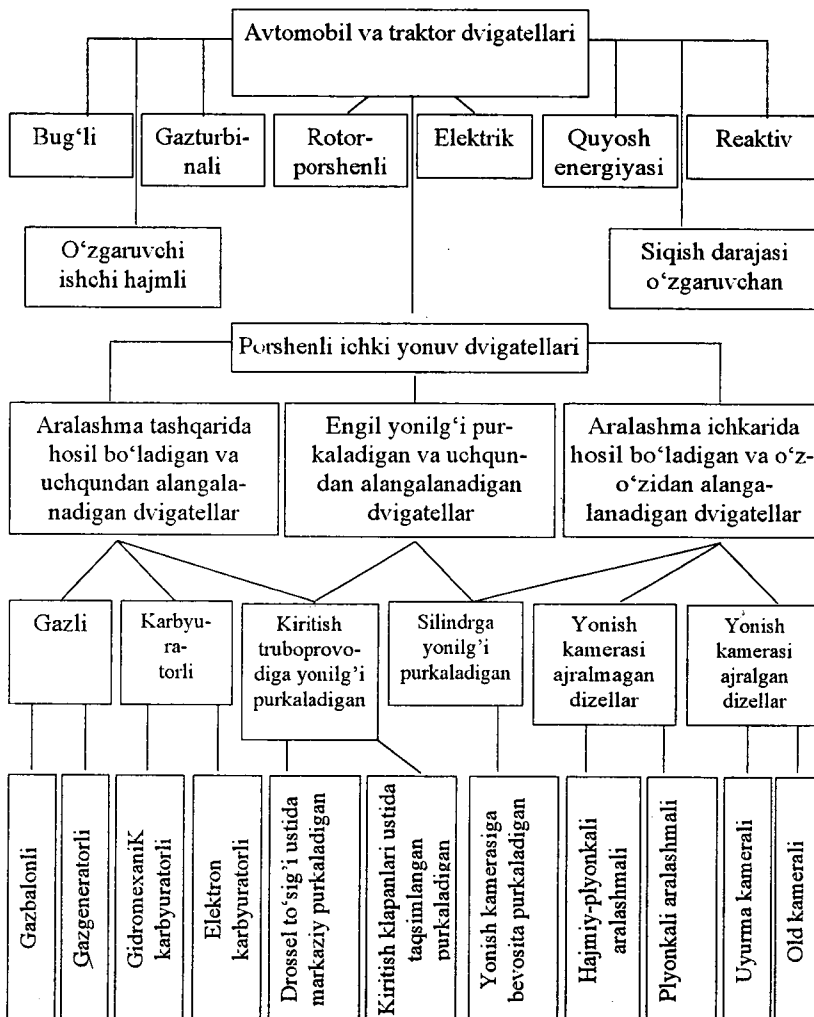
1.1-rasmda avtotraktor dvigatellari asosiy turlari tasniflanishing mumkin bo'lgan sxemalaridan biri keltirilgan.

Bu sxemada dvigatellarning ikkita printsipial farqlanadigan guruhlari keltirilgan. Seriyali chiqarilayotgan avtomobillar va traktorlarga o'matilayotgan va ularda ishlayotgan porshenli dvigatellarning amaldagi hamma turlari asosiy guruhga kiritilgan. Ikkinchisi guruhga dvigatellarning sakkiz guruhi kiritilgan; ular u yoki bu sabablarga ko'ra ishlab chiqilishi va me'yoriga yetkazilishining turli bosqichlarida (bug', quyosh, reaktiv) yoki kichik tajribaviy partiyalarda (rotor-porshenli, gazturbinali, elektromobillar) ishlab chiqarilmoqda.

Porshenli ichki yonuv dvigatellari (Ijod)ning asosiy guruhi bo'yicha quyidagilarni aytish mumkin:

1. Yonilg'i-havo aralashmasi silindr ichida va tashqarisida hosil bo'ladigan Ijodlarining ikki asosiy turlariga dvigatellarning uchinchi yengil yonilg'i purkaladigan va uchqundan alangala-

nadigan guruhi qo'shilgan. Bu guruhga taalluqli bo'lgan dvigatellar yonilg'i uzatilishining konstruktiv xususiyatlari bo'yicha ham aralashma tashqarida sodir bo'ladigan Ijodlarga (yonilg'i kiritish truboprovodiga purkaladi) va aralashma ichkarida hosil bo'ladigan Ijodlarga (yonilg'i bevosita silindr ichiga purkaladi) taalluqli bo'lishi mumkin.



1.1-rasm. Avtomobil va traktor dvigatellarining tasniflanishi.

2. Ikkinchchi guruhdagi dvigatellarning deyarli hammasida ishchi jarayon ham to'rt taktli sikl va ham ikki taktli sikl bo'yicha taskil qilinishi mumkin.

3. Bu guruhdagi hamma dvigatellar turli lapatali mashinalar va kompressorlardan foydalanan hisobiga havo yoki yonilg'i-havo aralashmasining majburiy nadduviga ega bo'lishi mumkin.

4. Turli porshenli, gazturbinali, bug' va boshqa mashinalardan tarkib topishi mumkin bo'lgan kombinatsiyalashgan dvigatellar guruhi sxemaga kiritilmagan.

## **1.2. Porshenli dvigatellarning ishlash prinsiplari**

Yonilg'i issiqlik (ichki kimyoviy) energiyasini mexanik ishga aylantirish printsiplari hamma porshenli dvigatellar uchun bir xil. Istalgan porshenli dvigatelning ishchi sikli beshta ketma-ket kechadigan jarayonlardan tarkib topadi:

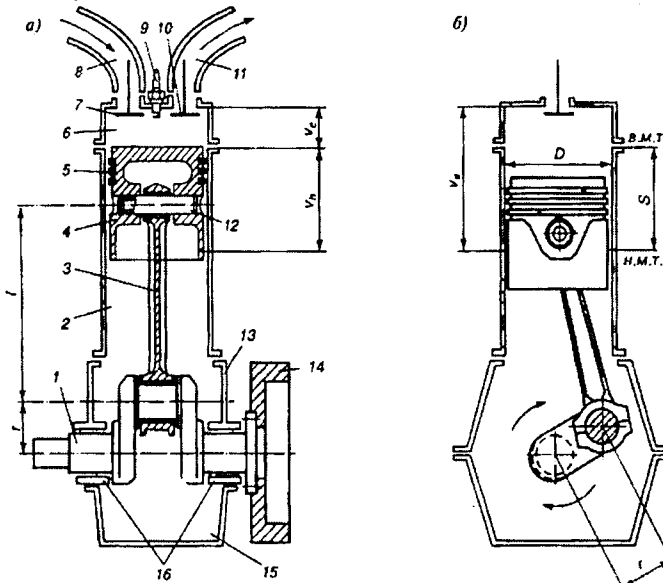
- 1) silindrni yangi zaryad (yonilg'i-havo aralashmasi yoki havo) bilan to'ldirish (kiritish);
- 2) yangi zaryadni siqish;
- 3) aralashmaning o't olishi va yonishi;
- 4) yongan gazlarning kengayishi (ishchi yo'l);
- 5) ishlangan gazlarni chiqarish.

Aralashma tashqarida hosil qilinadigan va uchqundan alanganadigan dvigatellarga hamma karbyuratorli va gazda ishlaydigan hamda yonilg'i kiritish truboprovodiga purkaladigan dvigatellar kiradi.

Aralashma ichkarida hosil bo'ladigan dvigatellarga yonilg'i-havo aralashmasi siqish natijasida o'z-o'zidan alanganadigan hamma dizellar (jumladan gazodizellar), hamda yengil yonilg'i bevosita silindrga purkaladigan dvigatellar kiradi.

Yonishda ajralib chiqadigan yonilg'i issiqlik energiyasining mexanik ishga aylanish printsiiping bir xilligi hamma porshenli dvigatellar konstruktiv sxemalarining bir-biriga o'xshashligini belgilaydi. 1.2-rasmida porshenli dvigatelning tipik sxemasi keltirilgan.

Porshenli dvigatellarning hamma konstruktiv sxemalari bir nechta asosiy parametrlar bilan tavsiflanadi (1.2-rasm).



1.2-rasm. Porshenli ichki yonuv dvigatelining sxemasi:

- a – bo‘ylama kesim; b – ko‘ndalang kesim; 1 – tirsakli val; 2 – silindr;
- 3 – shatun; 4 – porshen; 5 – halqalar; 6 – yonish kamerasi; 7 – kiritish klapani;
- 8 – kiritish patrubkasi; 9 – svecha; 10 – chiqarish klapani; 11 – chiqarish patrubkasi; 12 – porshen barmog‘i; 13 – karter; 14 – maxovik; 15 – moy karteri;
- 16 – o‘zak podshipniklari.

- silindr diametri  $D$  va porshen yo‘li  $S$ ;  $S/D > 1$  bo‘lgan dvigatellar uzun yo‘lli,  $S/D < 1$  bo‘lgan dvigatellar esa – kalta yo‘lli deb ataladi;

- krivoship radiusi  $r$  ning shatun uzunligi  $l$  ga nisbati – o‘lchamsiz kattalik;  $\lambda = r/l$  shatunning silindr devorlariga tegmasdan erkin harakatlanishi va porshennenning tirsakli valning o‘zak podshipniklariga tegmasdan erkin siljishini ta’minlashi kerak;

- silindrning ishchi hajmi  $V_h$  va yonish kamerasining hajmi  $V_s$ , ularning yig‘indisi silindrning to‘liq hajmi  $V_a$  ni beradi;

- dvigatel litraji  $V_a = V_h \cdot i = \pi D^2 S_i / (4 \cdot 10^3)$ , bu erda  $i$  – silindrler soni,  $D$  va  $S$  sm da ifodalangan;

- *siqish darajasi* ε silindr to‘liq hajmi  $V_a$  ning yonish kamerasi hajmi  $V_s$  ga nisbati; uning qiymati benzinli dvigatellarda yonilg‘ining detonatsiyaga chidamliligi bo‘yicha, dizellarda esa dvigatelni sovuq sharoitda ishonchli o‘t oldirish sharti bo‘yicha aniqlanadi.

Porshenli dvigatellarning beshta jarayondan tarkib topgan ishchi sikli, odatda, tirsakli valning ikkita aylanishida bajariladi, bu porshenning bir chekka holatidan boshqasiga to‘rtta yo‘li (takt)da bajariladi. Bunday dvigatellar to‘rt taktili dvigatellar deb ataladi.

**Birinchi takt** – dvigatel silindrini yangi zaryad dizellarda – havo, benzinli dvigatellarda yonilg‘i-havo aralashmasi bilan **to‘ldirish (kiritish)** porshen yuqori chekka holat (yu.ch.h) dan quyi chekka holat (q.ch.h)ga harakatlanganida sodir bo‘ladi. Porshen yu.ch.h. dan q.ch.h. ga harakatlanganda – *kiritish* taktida yangi zaryad (havo yoki yonilg‘i-havo aralashmasi) oldingi ishchi sikldan yonish kamerasida qolgan ishlangan gazlar bilan aralashadi. Shunday qilib, kiritish taktida silindrga yangi zaryad kira-di, yangi zaryad va ishlangan qoldiq gazlar orasida gaz almashi-nuvi sodir bo‘ladi, aralashma tashqarida sodir bo‘ladigan dvigatellarda esa ishchi aralashma tayyorlanish (yonilg‘i bug‘lanishi va uning havo va ishlangan qoldiq gazlar bilan aralashma) faol davom etadi. *Qoldiq gazlarning kamayishi, ishchi aralashma tarkibida yonuvchi aralashma miqdori va zichligining ortishi dvigatel ishining samaradorligini oshiradi.*

**Ikkinci takt** – *siqish* porshen q.ch.h. dan yu.ch.h ga harakatlanganda sodir bo‘ladi. Lekin bu taktning birinchi davri (boshsanishi)da silindrga yangi zaryad kirishi davom etadi (do-zaryadka) yoki aralashma silindrda qaytarib chiqariladi, chunki kiritish klapani bu davrda hali yopilmagan bo‘ladi; u porshen q.ch.h. dan birmuncha yo‘l o‘tgandan keyin yopiladi. Kiritish klapani yopilgandan keyin bevosita siqish jarayoni boshanadi, bunda silindrda gazlarning bosimi ortadi va harorati ko‘tariladi. Aralashma silindr ichida hosil bo‘ladigan dvigatellarda siqish taktining oxirida yonilg‘i silindrga katta bosim ostida purkaladi, havo bilan aralashadi, qiziydi, bug‘lanadi va o‘z-o‘zidan alan-

galanadi. Aralashma tashqarida hosil bo‘ladigan dvigatellarda porshen yu.ch.h. ga yaqinlashganda ishchi aralashma yuqori kuchlanishli elektr uchqunidan alangalanadi. Siqish taktining oxirgi davri ishchi aralashmaning siqilishi va yonishning bir vaqtda o‘tishi bilan tavsiflanadi.

**Uchinchi takt** – kengayish – ishchi yo‘l. Takning birinchi bosqichida yonish kamerasida ishchi aralashma intensiv yonishda davom etadi, gazlar bosimi va harorati keskin ortadi. Yonish jarayonida kengayayotgan gazlar porshenni yu.ch.h. dan q.ch.h. ga siljitib, foydali ish bajaradi – *ishchi yo‘l*. Kengayayotgan gazlar bosimi kuchi porshen va shatun orqali tirsakli valning shatun bo‘yniga uzatiladi, uni aylanishga majbur qiladi, ya’ni foydali mexanik ish bajaradi. Kengayish jarayoni porshen q.ch.h. ga yetib kelishidan oldin chiqarish klapanining ochilishi va silindrda ishlangan gazlar chiqishining boshlanishi bilan tugaydi.

**To‘rtinchi takt – ishlangan gazlarning chiqishi** porshen q.ch.h. dan yu.ch.h. ga harakatlanishda sodir bo‘ladi. Kengayayotgan ishlangan gazlar ta’sirida, keyin esa porshen siljishi natijasida ishlangan gazlar silindrda dastlab erkin, so‘ngra majburan chiqariladi. Porshen yu.ch.h. ga yaqinlashganda kiritish klapani ham ochiladi. Shunday qilib, chiqarish jarayonining oxirida ikkita – chiqarish va kiritish klapanlari ochiq bo‘ladi, bu chiqarish takting oxirida yangi ishchi sikl boshlanishini ta’minlaydi, ichki yonuv dvigateli uzluksiz ishlashi uchun sharoit yaratiladi.

---

## II BOB. PORSHENLI ICHKI YONUV DVIGATELLARINING NAZARIY SIKLARI

### 2.1. Umumiy holatlar

Termodinamikaning ikkinchi qonuniga muvofiq issiqlik ener-giyasini mexanik ishga aylantirish uchun:

- ishchi jism gaz bo‘lishi;
- ikkita issiqlik manbayi – biri issiq, ikkinchisi sovuq manba bo‘lishi;
- issiqliknинг bir qismi sovuq manbaga uzatilishi (yo‘qotilishi) kerak.

Ichki yonuv dvigatellarida issiqliknı mexanik ishga aylantirish *ishchi jism* – gazlar yordamida amalga oshiriladi; ish jarayonida gazlarning holati o‘zgarib turadi. Ushbu o‘zgarish (jarayon)lar majmuasi ichki yonuv dvigatelining *haqiqiy* (ishchi) *ulash* deb ataladi.

Haqiqiy (ishchi) sikl havo va yonish mahsulotlarining o‘z-garuvchi issiqlik sigimlarida dvigatel silindrida kechadigan real jarayonlaridan tarkib topadi. Yonilg‘ining yonishi natijasida ish-chi jismning kimyoviy tarkibi, demak fizik xossalari ham sezilarli darajada o‘zgaradi.

Dvigatel silindrida haqiqiy jarayonlar kechishining murakkabligi oddiy munosabatlarda ularni tahlil qilishni qiyinlashtiradi. Shu sababli, ichki yonuv dvigateli silindrlarida sodir bo‘layotgan jarayonlar takomilligi darajasini baxolash va issiqlikdan foydalanishni yaxshilash yo‘llarini aniqlash uchun haqiqiy sikllar ideal (termodinamik) sikllar bilan solishtiriladi. Ideal, berk va qaytalanadigan sikllarda, haqiqiy sikllardan farqli o‘laroq, termodinamikaning ikkinchi qonuniga muvofiq sovuq manbaga uza-tiladigan (yo‘qotiladigan) issiqlikdan boshqa issiqlik yo‘qotmaydi.

## **2.2. Qaytalanuvchi termodinamikaning sikillarni tadqiqot qilishda qabul qilinadigan farazlar**

Farazlarning bir qismi ishchi jism xossalari va miqdoriga taalluqli. Real dvigatellarida ishchi jism gazlar aralashmasi bo‘lib, yonilg‘i silindrda yonganida uning tarkibi o‘zgaradi; gaz almashtish jarayonida gazlarning ham tarkibi va ham massasi o‘zgaradi. Berk nazariy (termodinamik) sikillarni hisoblashda ishchi jism sifatida ideal gaz, qabul qilinadi, uning o‘zi va massasi hamma jarayonlarda o‘zgarmas va doimiy (almashmaydigan) deb hisoblanadi. Demak, kiritish va chiqarish jarayonlari va bular bilan bogliq bo‘lgan yo‘qotgichlar hisobiga olinmaydi.

Tadqiqotlarda ham qaytalanuvchi termodinamik sikillardan foydalanishadi; bunda ishchi jism sifatida tarkibi real dvigatellar-dagi bilan bir xil bo‘lgan ideal gazlar aralashmasi olinadi va ishchi jism issiqlik sigimining gazlar aralashmasi harorati va tar-kibining o‘zgarishini hisobga olib aniqlanadi.

Ishchi jismga kiritilishi jarayonining qaytalanuvchanligini tasavvur qilish uchun issiqliknинг issiqlik manbai degan abstrakt tushuncha kiritiladi. Issiqlik manbadagi issiqlik kiritilishi qonuniyati dvigatel silindrda yonilg‘i yonishi xususiyatini hisobga olib belgilanadi.

Dvigatel silindrda ishchi jismni sikelaviy almashtirish uchun zarur bo‘lgan gaz almashinishi jarayonlarida ishchi jism massasi o‘zgaradi. Qaytalanuvchi termodinamik sikllarda gaz almashishi-ning haqiqiy qaytalanmas jarayonlari sovuq - issiqlik uzatilishi-ning qaytalanuvchi jarayonlari bilan almashtiriladi. Sovaq man-baga issiqlik uzatilishi jarayonining turi gaz almashinuvi haqiqiy jarayonlarining xususiyatlarini hisobga olgan holda toklanadi.

Dvigatellarning qaytalanuvchi termodinamik sikllarda siqish va kengayish jarayonlari adiabatik deb qabul qilinadi va shu bilan haqiqiy jarayonlardagi devorlar bilan issiqlik almashinuvi hisobga olinmaydi.

Demak, *nazariy sikl* berk sikl bo‘lib, u tasavvur qilinadigan issiqlik mashinasida bajariladi; bunda ishchi jism o‘zgarmas bo‘ladi va almashmaydi. Nazariy sikl berk bo‘lganligi tufayli

haqiqiy sikldagi yonish va ishchi jismni chiqarish jarayenlari issiqlik kiritilishi va olib ketilishi bilan almashtiriladi. Siqish va kengayish jarayonlari adiabatik deb qabul qilinadi, chunki bu issiqlikdan maksimal foydalanishni ta'minlaydi.

Nazariy sikllarning ahamiyati nafaqat bir xil siklda ishlayotgan real dvigatellarning maksimal tejamkorligini va quvvatini aniqlashda, balki ularni solishtirishda hamdir. Nazariy sikllar faqat termodynamikaning ikkinchi qonuniga muvofiq issiqlik yo'qotilishiga ega bo'ladilar, ya'ni ulardag'i issiqlik yo'qotilishi minimal bo'ladi.

### **2.3. Porshenli ichki yonuv dvigatellarining nazariy sikllari**

Mavjud porshenli ichki yonuv dvigatellari o'zlarining tavsifli xususiyatlari ega bo'lgan quyidagi uch siklning biri bo'yicha ishlaydi:

1. Majburan o't oldiriladigan benzin va gazda ishlaydigan porshenli va kombinatsiyalashgan dvigatellarda yonish jarayoni-porshen yu.ch.x. yaqinida bo'lganida, ya'ni deyarli o'zgarmas hajmida sodir bo'ladi. Sikl tahlil qilinganda issiqlik o'zgarmas hajmda kiritiladi deb qabul qilinadi (2.1-rasm).

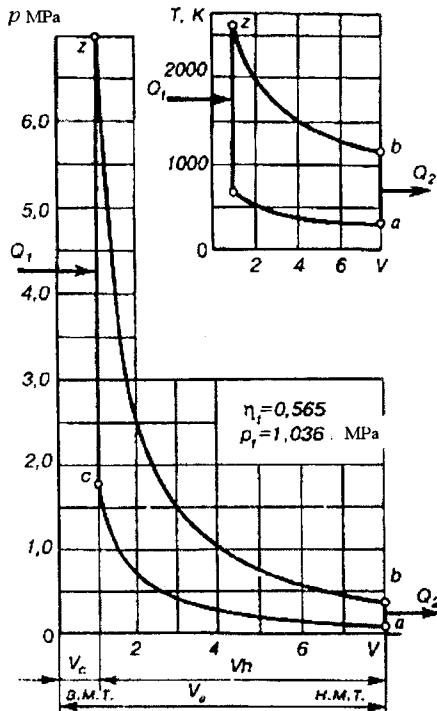
2. Siqish issiqligidan yonilg'i alangalanadigan dvigatel (dizel)larda yonilg'inинг yonishi dastlab yu.ch.h. yaqinida katta tezlikda kechadi, so'ngra yonish tezligi sekinlashadi va yonilg'inинг bir qismi kengayish jarayoni boshlanishida yonadi. Nazariy siklda issiqlikning bir qismi o'zgarmas hajmda, qolgani esa o'zgarmas bosimda kiritiladi deb qabul qilinadi (2.2-rasm).

3. Zamonaviy dizellarda (porshenli dvigatellarda) o'zgarmas bosimda yonish realizatsiya qilinmaydi, shu sababli issiqlik o'zgarmas bosimda kiritiladigan nazariy sikldan faqat nazariy tahlilda foydalaniladi.

Har bir nazariy sikl ikkita asosiy ko'rsatkich bilan tavsiflanadi:

- issiqlikdan foydalanish; u termik foydalanish ish koeffitsiyenti orqali aniqlanadi;

- ishchanlik qobiliyati; u siklning solishtirma ishi bilan aniqlanadi.



2.1-rasm. Majburan o't oldiriladigan porshenli dvigatearning qaytalanuvchi termodinamik sikli.

*Termik f.i.k.* deb foydali mexanik ishga aylangan issiqlik miqdorining ishchi jismiga keltirilgan issiqliknинг umumiyligi miqdoriga bo'lgan nisbatga aytildi:

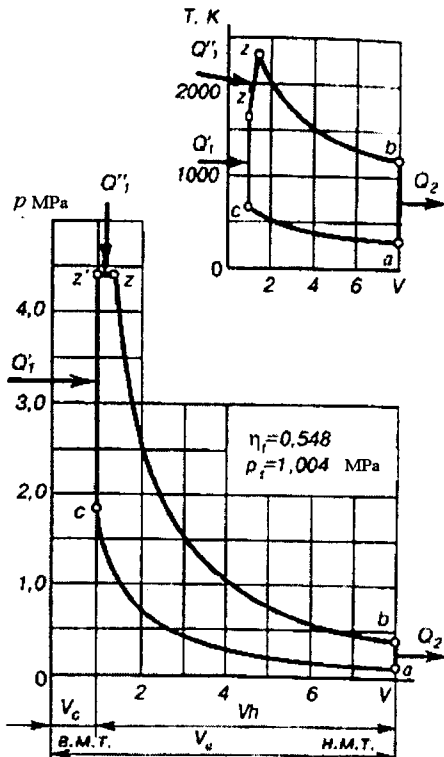
$$\eta_t = (Q_1 - Q_2)/Q_1 = 1 - Q_2/Q_1, \quad (2.1)$$

bu erda  $Q_1$  – ishchi jismiga tashqi manba'dan keltirilgan issiqlik miqdori;  $Q_2$  – ishchi jismidan sovuq manba'ga uzatilgan issiqlik miqdori.

*Siklning solishtirma ishi* deb mexanik ishga aylangan issiqlik miqdorining ishchi hajmiga bo'lgan nisbatga aytildi:

$$p_t = (Q_1 - Q_2) / (V_a - V_c) = L_u / (V_a - V_c), \quad (2.2)$$

bu yerda  $V_a = V_c + V_h$  – silindrning to‘liq hajmi,  $m^3$ ;  $V_c$  – yonish kamerasining hajmi,  $m^3$ ;  $L_{ts} = Q_1 - Q_2$  – sikl ishi,  $Dj$  ( $N\cdot m$ ).



2.2-rasm. O‘z-o‘zidan alangalanadigan porshenli dvigatelning qaytalanuvchi termodinamik sikli.

Siklning solishtirma ishi ( $Dj/m^3=N\cdot m/m^3=N/m^2$ ) son jihatidan siklning o‘rtacha bosimi ( $Pa=N/m^2$ )ga teng.

Nazariy sikllarni ko‘rib chiqish va ularni tahlil qilish uch asosiy vazifani yechish:

1. Ushbu sikl termodinamik omillarning termik f.i.k. va o‘rtacha bosimning o‘zgarishiga ta’sirini baholash va buning asosida siklning eng yaxshi tejamkorligini va maksimal solishtirma

ishni olish uchun termodinamik omillarning optimal qiymatlarini o‘rnatish;

2. Bir xil sharoitda tejamkorlik va ishchanlik qobiliyati nuqtai nazaridan turli nazariy sikllarni qiyoslash;

3. Tejamkorlik va solishtirma (quvvat) bo‘yicha real dvigatellar takomilligi darajasini baholash uchun mezon vazifasini o‘tashish mumkin bo‘lgan siklning termik f.i.k. va o‘rtacha bosimning muayyan son qiymatlarini olish imkonini beradi.

#### **2.4. Issiqlik o‘zgarmas hajmda keltiriladigan nazariy sikl**

Sikl boshlanishida q.ch.h. da bo‘lgan porshen (2.1-rasm,  $a$ -nuqta) yu.ch.h. ga qarab siljiydi (2.1-rasm,  $s$ -nuqta) va ishchi jism-gazni siqa boshlaydi – *siqish jarayoni*. Silindr sirtini hosil qiluvchi materiallar issiqliknini absolyut o‘tkazmaydi deb faraz qilinadi. Bu holda siqish jarayoni (*as chizig‘i*) adiabatik kechadi, siqishga sarflanayotgan mexanik ishning hammasi siqilayotgan ichki energiyasining ortirishga sarflanadi.

Majburan o‘t oldiriladigan, benzinli va gazli dvigatellarda *yonish jarayoni* porshen yu.ch.h. atrofida bo‘lganida sodir bo‘ladi. Sikl tahlil qilinayotganda yonish jarayoni o‘zgarmas holda issiqlik kiritilishi bilan almashtiriladi, natijada gaz bosimi va harorati o‘zgarmas hajmda ortadi (2.1-rasm,  $sz$  izoxorasi).

Porshen harakatining boshlanishida, ya’ni yu.ch.x. da ( $z$ -nuqta), issiqlik kiritilishi to‘xtaydi. Gaz adiabatik kengayadi, kengayish jarayoni uning ichki energiyasining bir qismi tashqi mexanik ishga aylanadi. Quyi chekka holatda ( $v$ -nuqta)  $zv$  adiabata bilan ifodalangan kengayish jarayoni tugaydi.

Siklni takrorlash uchun gazni boshlang‘ich holatga (indikator diagrammada a nuqta bilan tavsiflanadi) qaytarish zarur. Buning uchun silindrдagi gaz sovitilishi lozim. Issiqliknинг sovuq manbagaga uzatilishi (yo‘qotilishi) porshen q.ch.h. da bo‘lganida sodir bo‘ladi, natijada gaz bosimi va harorati o‘zgarmas ( $V_a=V_v=\text{sonst}$ ) hajmda pasayadi (2.1-rasm,  $va$  izoxorasi).

Issiqlik o‘zgarmas hajmda kiritiladigan nazariy sikl quyidagilar bilan tavsiflanadi:

*dvigatelning siqish darajasi  $\varepsilon$ ;*

*bosimning ortish darajasi  $\lambda_r$  – issiqlik kiritilishi jarayonining oxiridagi bosim  $r_z$  ning bu jarayon boshlanishidagi bosim  $r_s$  ga nisbati:*

$$\lambda_r = r_z/r_s.$$

### Siklning termik f.i.k.

Istalgan nazariy (termodinamik) siklning tejamkorligi uning termik f.i.k. bilan baholanadi; bu koefitsiyent foydali ishga ( $AL_t$ ) aylangan issiqlikning sarflangan issiqlik  $Q_1$  ga nisbati bilan ifodelanadi:

$$\eta_t = AL_t/Q_1,$$

bu yerda  $A$  – ishning termik ekvivalentligi.

Nazariy siklda issiqlik miqdori  $Q_2$  dan boshqa qo‘sishmcha issiqlik yo‘qotishlari yo‘q, shu sababli  $Q_1 - Q_2$  issiqlik miqdorlarining farqi foydali ishga aylanadi, u holda:

$$\eta_t = (Q_1 - Q_2)/Q_1 = 1 - Q_2/Q_1.$$

Issiqlik o‘zgarmas hajmda kiritiladigan nazariy siklda (2.1-rasm) kiritilayotgan  $Q_1$  va uzatilayotgan  $Q_2$  issiqlik miqdorlari ishchi jism miqdori  $G$ , uning o‘zgarmas hajmdagi issiqlik sig‘imi  $s_V$  va mos haroratlarning farqiga proprotsional bo‘ladi:

$$Q_1 = G s_V (T_z - T_s); \quad Q_2 = G s_V (T_v - T_a)$$

$Q_1$  va  $Q_2$  larni (2.1) ga qo‘yib, quyidagini hosil qilamiz

$$\eta_t = 1 - (T_s - T_a)/(T_z - T_c). \quad (2.1 \alpha)$$

Bu tenglama tarkibiga kiruvchi haroratlarni sikl boshlanishidagi harorat  $T_a$ , siqish darajasi  $\varepsilon$  va bosimning ortish darajasi  $\lambda_r$  lar orqali ifodalaymiz. Ma’lum termodinamik nisbatlar asosida quyidagilarni yozish mumkin:

$$as \text{ adiabata uchun} \quad T_s = T_a \varepsilon^{k-1},$$

$$sz \text{ izoxora uchun} \quad T_z = T_s \lambda_r = T_a \varepsilon^{k-1} \lambda_r;$$

$$zv \text{ adiabata uchun} \quad T_v = T_z / \varepsilon^{k-1} = T_a \lambda_r.$$

Olingan qiymatlarni (2.1 a) ga qo'yamiz, u holda:

$$\eta_t = 1 - 1/\varepsilon^{k-1}. \quad (2.3)$$

### Siklning o'rtacha bosimi

Silindr dvigatelidagi gazlarning ishi  $L_t$  sikl diagrammasining yuzasiga teng. Turli dvigatellar diagrammalari yuzalarini solish-tirish uchun, diagramma yuzasini o'sha  $V_h$  asosda qurilgan unga teng bo'lgan to'rburchak yuzasi bilan almashtirish lozim (2.1-rasm). Qurilgan to'rburchak balandligi nazariy siklning o'rtacha bosimi  $R_t$  ni ifodalaydi:

$$r_t = L_t/V_h.$$

Transport dvigatellari uchun o'rtacha bosimni oshirish maqsadga muvofiq bo'ladi, chunki bunda berilgan quvvat dvigatelning kichik ishchi hajmida, ya'ni uning kichik o'chamlari va mas-sasida olinadi.

Nazariy siklning o'rtacha bosimini yuqorida keltirilgan  $\eta_t = AL_t/Q_1$  bog'lanish orqali topish mumkin

$$r_t = Q_1 \eta_t / A.$$

$\eta_t = L_t/V_h$  bo'lganligi sababli

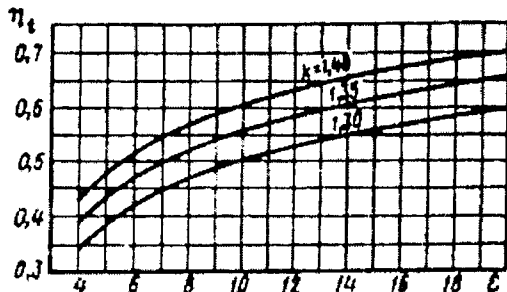
$$r_t = (\eta_t/A)(Q_1/V_h) \quad (2.4)$$

Ma'lum termodinamik nisbatlar asosida quyidagini yozish mumkin:

$$p_t = p_a \frac{\varepsilon^k}{\varepsilon - 1} \frac{\lambda_p - 1}{k - 1} \eta_t. \quad (2.5)$$

### Sikl termik va o'rtacha bosimlarining tahlili

Siklning termik f.i.k. faqat siqish darjasini  $\varepsilon$  va siqish va kengayish adiabatalari ko'rsatkichi  $k$  ga bog'liq (2.3). Bu formulaning taxmini shuni ko'rsatadiki, siqish darjasini va adiabata ko'rsatkichi ortganda termik f.i.k. ortib boradi (2.3-rasm). Lekin  $\eta_t$  ning ortishi yuqori siqish darajalarida, taxminan  $\varepsilon = 11\dots12$  dan boshlab, sezilarli darajada pasayadi.



2.3-rasm. O'zgarmas hajmida issiqlik yuritiladigan nazariy sikl termik f.i.k.ning har xil adiabata ko'rsatkichlarida siqish darajasiga bog'liqligi.

Adiabata ko'rsatkichining o'zgarishi ishchi jism tabiatiga bog'liq.

Termik f.i.k.  $\eta_t$  ni hisoblashda adiabata ko'rsatkichi  $k$  ning uchta qiymati qabul qilingan, ular quyidagilardan tarkib topgan ishchi jismga taxminan mos keladi:

- 1) ikki atomli gazlar (havo,  $k=1,4$ );
- 2) ikki va uch atomli gazlar aralashmasi (yonish mahsulotlari  $k=1,3$ );
- 3) havo va yonish mahsulotlari aralashmasi ( $k=1,35$ ).

O'rtacha bosim kattaligi, qo'shimcha ravishda, boshlang'ich bosim  $r_a$  va bosim ortishi darjasasi  $\lambda_r$  larga bog'liq. Nadduv siz ishlaydigan dvigatellar uchun atmosfera bosimi boshlang'ich bosimning yuqori chegaraviy qiymati bo'ladi. Shuning uchun nazariy sikl hisoblanganda  $r_a$  bosim atmosfera bosimiga teng, ya'ni  $r_a=0,1$  MPa deb qabul qilinadi.

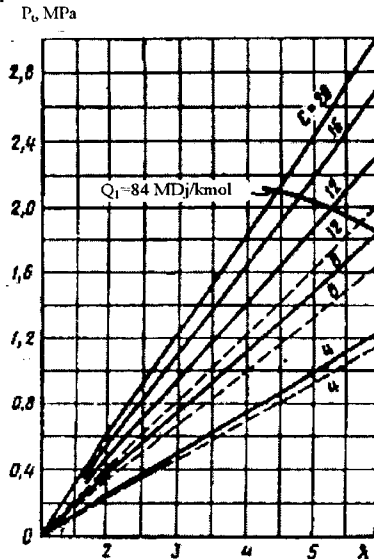
Bosim ortishi darajasining o'zgarishi birinchi navbatda siklga kiritilgan issiqlik miqdori  $Q_1$  ga bog'liq:

$$\lambda_p = \frac{Q_1(k-1)}{RT_a \varepsilon^{k-1}} + 1, \quad (2.6)$$

bu yerda  $R=8315$  Dj/(k mol·grad) – gaz universal doimiysi;  $T_a$  – siklning boshlang'ich harorati, K.

2.4-rasmida sikl o'rtacha bosimi  $r_t$  ning bosim ortishi darjasasi  $\lambda_r$  ga bog'liqligi siqish darjasasi  $\varepsilon$  ning har xil qiymatlarida va adiabata ko'rsatkichi  $k$  ning ikkita qiymatida keltirilgan.

O‘zgarmas boshlang‘ich sharoitlarda ( $r_a=0,1$  MPa,  $T_a=350K$  va  $V_a=\text{sonst}$ )  $r_t$  ning bunday bog‘liqligi siklga kiritilayotgan issiqlikning  $\lambda_r=1,0$  bo‘lganda  $Q_1=0$  dan  $\lambda_r=6$  va  $\varepsilon=20$  bo‘lganda  $Q_1=120,6$  MDj/kmol ko‘paytirilganda hosil bo‘ladi. Agar  $\alpha=1$  da benzin havo aralashmasining yonish issiqligi 84 MDj/kmol dan ortmasligini hisobga olinsa, o‘zgarmas hajmda issiqlik  $Q_1=84$  MDj/kmol kiritiladigan nazariy siklning mumkin bo‘lgan o‘rtacha bosimi  $\varepsilon=20$  va  $\lambda_r=4,5$  bo‘lganda 2,1 MPa dan va  $\varepsilon=8$  va  $\lambda_r=6$  bo‘lganda 1,85 MPa dan ortmaydi (2.4-rasmda  $r_t$  chizig‘ini kesib o‘tayotgan  $Q_1=84$  MDj/kmol egri chizig‘i).  $\lambda_r$  va  $r_t$  ning yanada yuqoriroq qiymatlarini olish uchun ko‘proq issiqlik kiritish zarur, ya’ni yonganida ko‘proq issiqlik ajralib chiqadigan yonilg‘idan foydalanish kerak.

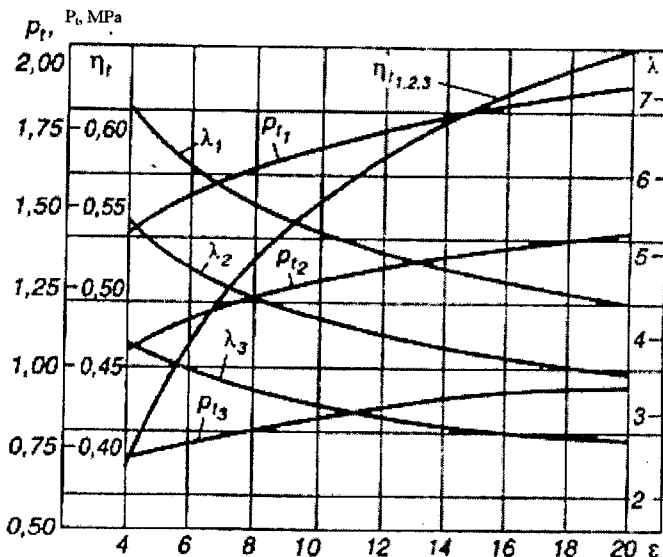


2.4-rasm. Sikl o‘rtacha bosimining bosim ortishi darajasiga har xil siqish darajalarida va adiabata ko‘rsatkichlarida ( $k=1,4$ ;  $k=1,3$ ) bog‘liqligi.

2.5-rasmda  $\eta_b$ ,  $r_t$  va  $\lambda_r$  larning keltirilgan issiqlikning uchta qiymatlarida ( $Q_1=84$ , 60 va 40 MDj/kmol) siqish darajasining o‘zgarishga bog‘liqligi hisobining natijalari keltirilgan.

2.5-rasmda keltirilgan ma'lumotlardan ko'rindi-ki, siklning o'rtacha bosimi siklda kiritilgan issiqlik miqdori ko'payishga proporsional ravishda ortadi; bir xil issiqlik miqdori kiritilganda  $\varepsilon$  kattalashganda  $r_t$  ortadi, lekin bu ortish termik f.i.k. ortishga qaraganda sustroq bo'ladi. Masalan, siqish darajasi  $\varepsilon = 4$  dan 20 gacha kattalashganda  $\eta_t = 69\%$  ga,  $r_t$  esa – faqat 33% ga ortadi. Siqish darajasi  $\varepsilon$  kattalashganda o'rtacha bosim  $r_t$  ortishining intensivligi sikl davomida kiritilgan issiqlik miqdoriga bog'liq bo'lmaydi, ya'ni  $Q_1$  ning istalgan miqdorida (80, 60 yoki 40 MDj/kmol) siqish darajasi  $\varepsilon = 4$  dan 20 gacha o'zgarganda siklning o'rtacha bosimi 33% ga ortadi.

Bir xil issiqlik miqdori keltirilganda siqish darajasi kattalashishi bilan bosim ortishi darajasining kamayishi  $\lambda_R$  ning  $\varepsilon^{k-1}$  ga teskari proporsional bog'langanligiga (2.6-formula) mos keladi.



2.5-rasm. Issiqlik o'zgarmas hajmda kamaytiriladigan sikl termik f.i.k., o'rtacha bosimi va bosim ortishi darajasining har xil issiqlik miqdori keltirilganda siqish darajasiga bog'liqligi ( $r_a=0,1$  MPa;  $T_a=350$  K;  $k=1,35$ ;  $R=0,008\ 315$  MDj/(kmol·grad)) indekslar: 1 –  $Q_1=80$  MDj/kmol; 2 –  $Q_1=60$  MDj/kmol; 3 –  $Q_1=40$  MDj/kmol bo'lganda.

## **Qisqa xulosalar**

1. Ushbu siklida issiqlikning minimal yo‘qotilishi ishchi jism sifatida havodan foydalanilganda bo‘ladi va  $\varepsilon=12$ da 37% dan,  $\varepsilon=20$ da 30,5% dan kam bo‘lmaydi (2.3-rasmga qarang). Ishchi jism sifatida yonilg‘i-havo aralashmasidan foydalanganda issiqlik yo‘qotilishi ortadi.

2. Benzin-havo aralashmasi yonganda ajralib chiqadigan issiqlik miqdoriga taxminan teng  $Q=84$  MDj/kmol miqdorda issiqlik kiritilganda sikl o‘rtacha bosimining maksimal qiymati  $\varepsilon=12$  bo‘lganda 2,0 Mpa dan,  $\varepsilon=20$  bo‘lganda esa 2,1 Mpa dan ortmaydi (2.4-rasmga qarang).

3. Ushbu sikl bo‘yicha real dvigatelning ishchi jarayonini  $\varepsilon=11-12$  dan katta bo‘lмаган siqish darajalarida amalga oshirish maqsadga muvofiq bo‘ladi. Siqish darajasi bundan orttirilganda siklning termik f.i.k. va o‘rtacha bosimi (solishtirma ish) sezilarsiz ortadi—siqish darajasi bir birlikka kattalashganda  $\eta_t$  1–2% ga,  $\rho_t$  0,7–1,3% ga ortadi.

4. Siqish darajasining  $\varepsilon=11-12$  dan katta qiymatlarida siklning maksimal bosimi  $r_t$  qiymati sezilarli darajada ortadi, natijada real dvigatel krivoship-shatunli mexanizmga tushadigan kuchlar keskin ortadi, ishqalanishga (mexanik) yo‘qotishlar mos ravishda kattalashadi. Bundan tashqari, bu dvigatellarda siqish darajasining ortishi distantsion yonish paydo bo‘lish havfini oshiradi.

### **2.5. Issiqlik dastlab o‘zgarmas hajmda, so‘ngra o‘zgarmas bosimda keltiriladigan nazariy sikl (aralash nazariy sikl)**

Yonilg‘i siqish issiqligidan alangalanadigan dvigatellarda (dizellarda) yonilg‘ining yonishi dastlab yu.ch.h. yaqinida katta tezlikda sodir bo‘ladi, so‘ngra sekinlashadi va yonilg‘ining bir qismi kengayish jarayonida yonadi. Nazariy sikllarda yonilg‘ining bir qismi o‘zgarmas hajmida, qolgani – o‘zgarmas bosimda keltiriladi deb qabul qilinadi. Bu holda porshenli dizelning nazariy sikl adiabatik siqish as (2.6-rasm) va kengayish zv’ ja-

rayonlari, ishchi jismga issiqlikning izoxorali  $sz'$  va izobarali  $zz'$  keltirilishi va ishchi jismdan issiqlikning termodinamikaning ikkinchi qonuniga muvofiq sovuq manbaga uzatilishi va izoxora jarayonidan tarkib topadi.

### Siklning termik f.i.k.

Termik f.i.k.

$$\eta_t = 1 - Q_2/Q_1.$$

Ishchi jismga  $V=konst$  ( $sz'$  izoxora bo'ylab) va  $r=sonst$  ( $zz'$  izobara bo'ylab) keltirilgan issiqlik miqdori  $Q_1' + Q_1''$  va  $V=sonst$  (va izoxora bo'ylab) sovuq manbaga uzatilgan issiqlik miqdori  $Q_2$  larning farqidan nazariy siklda gazlar bajargan ishni aniqlaymiz:

$$AL_t = Q_1' + Q_1'' - Q_2.$$

Mos ravishda izoxora va izobara bo'ylab keltirilayotgan issiqlik miqdori

$Q_1' = G_{sv}(T_z' - T_s)$  va  $Q_1'' = G_{sr}(T_z - T_z')$ ,  
bulardan keltirilgan issiqlikning umumiy miqdori

$$Q_1 = Q_1' + Q_1'' = G_{sv}[T_z' - T_s + k(T_z - T_z')].$$

Uzatilayotgan issiqlik miqdori

$$Q_2 = G_{sv}(T_v - T_a).$$

Aralash nazariy siklning termik f.i.k. ni aniqlovchi formulaga  $Q_1$  va  $Q_2$  larni qo'yib, quyidagini olamiz

$$\eta_t = 1 - (T_v - T_a)/[T_z' - T_s + k(T_z - T_z')].$$

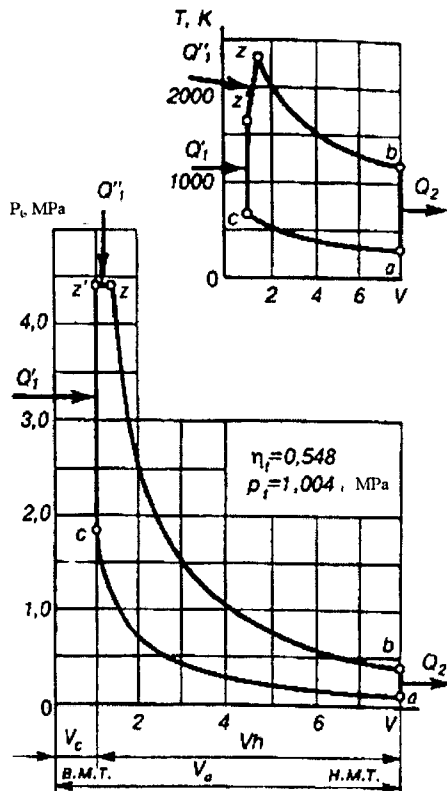
Hamma haroratlarni gazning chiqish boshlanishidagi harorati  $T_a$  orqali ifodalaymiz:

$$\begin{aligned} T_s &= T_a \varepsilon^{k-1}, & T_z' &= T_a \varepsilon^{k-1} \lambda_R; \\ T_z &= T_a \varepsilon^{k-1} \lambda_R \rho, & T_v &= T_a \lambda_R \rho^k, \end{aligned}$$

bu yerda,  $\rho = V_z/V_s$  – dastlabki kengayish darajasi.

Haroratlarning olingan qiymatlari siklini termik f.i.k. tenglamasiga qo'yamiz, u holda:

$$\eta_t = 1 - (1/\varepsilon^{k-1})(\lambda_R \rho^k - 1)/[\lambda_R - 1 + k\lambda_R(\rho - 1)]. \quad (2.7)$$



2.6-rasm. Aralash nazariy siklning R-V va T-V diagrammalari.

### Siklning o'rtacha bosimi

Siklning o'rtacha bosimi

$$p_t = \frac{L_t}{V_h} = \frac{Q_1 \eta_t}{V_h}$$

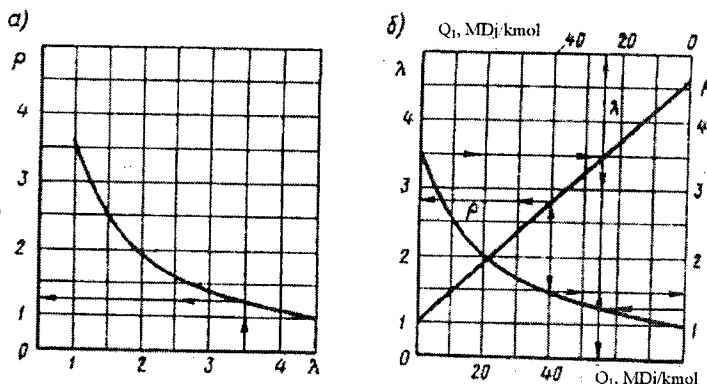
Ma'lum termodinamik nisbatlar asosida quyidagi ifodani olamiz:

$$p_t = p_a \frac{\varepsilon^k - 1 + k \lambda_p (\rho - 1)}{\varepsilon - 1} \eta_t. \quad (2.8)$$

## Sikl termik f.i.k. va o‘rtacha bosimlarining tahlili

Siklga kiritiladigan  $Q_1'$  va  $Q_1''$  issiqlik miqdorlari nisbati  $Q_1'=Q_1$  va  $Q_1''=0$  dan  $Q_1'=0$  va  $Q_1''=Q_1$  gacha oraliqda o‘zgarishi mumkin.  $Q_1'=Q_1$  va  $Q_1''=0$  bo‘lganda issiqlikning hammasi o‘zgarmas hajmda keltiriladi va sikl issiqlik o‘zgarmas hajmda kiritiladigan nazariy siklga aylanadi.  $Q_1'=0$  va  $Q_1''=Q_1$  bo‘lganda issiqlikning hammasi o‘zgarmas bosimda keltiriladi va sikl issiqlik o‘zgarmas bosimda kiritiladigan nazariy siklga aylanadi.

$Q_1'$  va  $Q_1''$  larning hamma oraliq qiymatlarida ushbu keltirilgan issiqlik miqdori  $Q_1$  va berilgan siqish darajasi  $\varepsilon$  uchun  $\lambda_R$  va  $\rho$  lar orasida aniq o‘zaro bog‘lanish mavjud.  $Q_1=80$  MDj/kmol va  $\varepsilon=16$  bo‘lganda bosimning ortish darajasi  $\lambda_R$  va dastlabki kengayish darajasi  $\rho$  orasidagi bog‘lanish 2.7,a-rasmida keltirilgan, 2.7,b-rasmidagi chiziqlar bo‘yicha esa tanlab olingan  $\lambda_R$  va  $\rho$  qiymatlari bo‘yicha  $V=\text{sonst}$  da keltirilgan issiqlik miqdori aniqlanadi.



2.7-rasm. Bosim ortishi darajasi va dastlabki kengayish darajasi orasidagi bog‘liqlik ( $\varepsilon=16$ ;  $Q_1=Q_1'+Q_1''=80$  MDj/kmol).

Masalan,  $\lambda_R=3,5$  va  $\rho=1,25$  (2.7,a-rasm) qiymatlarga  $Q_1'=55$  MDj/kmol –  $V=\text{konst}$  bo‘lganda keltirilgan issiqlik va  $Q_1''=25$  MDj/kmol –  $r=\text{konst}$  bo‘lganda keltirilgan issiqlik miqdorlari mos keladi. (2.7,b-rasm). Agar  $V=\text{sonst}$  va  $r=\text{konst}$  da keltirilgan issiqlik miqdori  $Q_1=80$  MDj/kmol –  $\lambda_R$  va  $\rho$  orasidagi bog‘liqlik  $\varepsilon=16$  bo‘lganda keltirilgan issiqlik miqdori  $Q_1$  –  $V=\text{sonst}$  bo‘lganda keltirilgan issiqlik miqdori.

lik miqdorlari, masalan,  $Q_1' = Q_1'' = 0,5$   $Q_1 = 40$  MDj/kmol, berilgan bo'lsa, 2.7,b-rasmdagi chiziqlardan  $\lambda_R = 2,8$  va  $\rho = 1,5$  qiyatlari topiladi.

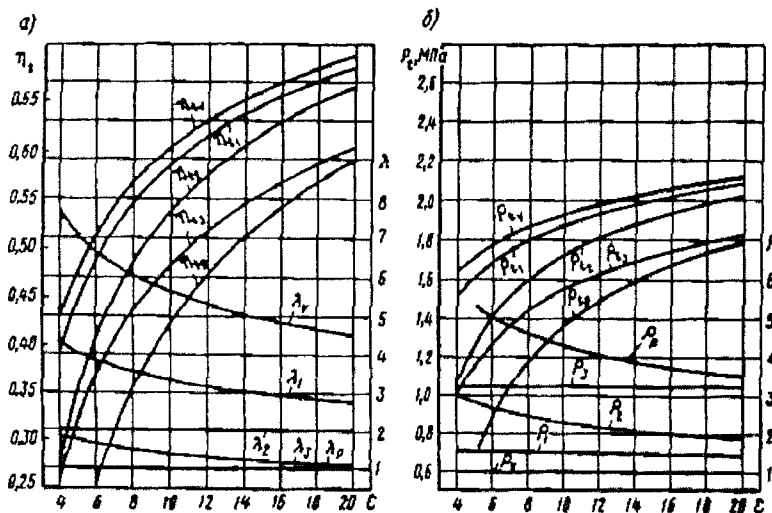
(2.7) va (2.8) formulalar va oldin ko'rilmagan siklning analitik bog'lanishlarini tahlil qilib, quyidagi xulosani qilish mumkin:

Bir xil boshlang'ich shartlarda va keltirilgan issiqlikning bir xil miqdorida issiqlik aralash kiritiladigan sikl termik f.i.k. va o'rtacha bosimi qiyatlari issiqlik o'zgarmas hajmda keltiriladigan sikl termik f.i.k. va o'rtacha bosimi qiyatlari issiqlik o'zgarmas hajmda keltiriladigan siklning mos  $\eta_t$  va  $\rho_t$  qiyatlaridan doim kichik va issiqlik o'zgarmas bosimda keltiriladigan siklning mos  $\eta_b$  va  $\rho_b$  qiyatlaridan doim katta bo'ladi. Bu qanday 2.8, a,b-rasmida grafiklar ko'rinishda ifodalangan hisobi ma'lumotlar bilan tasdiqlanadi.

2.8-rasmda issiqlik uch har xil sharoitlarda keltiriladigan aralash siklning termik f.i.k. va o'rtacha bosimi hisobining natijalari keltirilgan:

1) Siqish darajasining hamma qiyatlarida o'zgarmas hajmda keltirilgan issiqlik miqdori  $Q_1'$  o'zgarmas va o'zgarmas bosimda keltirilgan issiqlik miqdori  $Q_1''$ ga teng, ya'ni  $Q_1' = Q_1'' = 0,5$   $Q_1 = 42$  MDj/kmol bo'lib qoladi. Bunda bosimning ortish darajasi  $\lambda_R$  va dastlabki kengayish darajasi  $\rho$  qiyatlari, siqish darajasi  $\varepsilon$  o'zgarishiga qarab, o'zgarib boradi. Sikl, termik f.i.k. va o'rtacha bosim o'zgarishining xarakteri  $V = \text{konst}$  da issiqlik keltiriladigan sikl mos parametrlari o'zgarishining xarakteriga taxminan mos keladi (2.8,a,b-rasmdagi 1 va v indeksli egri chiziqlar);

2) Siqish darajasining hamma qiyatlarida bosimning ortish darajasining qiyati doimiy  $\lambda_R = 2$  saqlanib keladi. Natijada siqish darajasi ortishi  $\varepsilon$  bilan o'zgarmas hajmda keltiriladigan issiqlik miqdori  $Q_1'$  ortadi, o'zgarmas bosimdagи  $Q_1''$  esa – qisqaradi. Shu sababli  $\varepsilon$  ortganda siklning termik f.i.k. va o'rtacha bosimi, birinchi holatdagiga qaraganda, intensivroq ortadi va katta siqish darajalarida ( $\varepsilon = 17-20$ ) ularning qiyatlari issiqlik  $V = \text{konst}$  da keltiriladigan sikl mos ko'rsatkichlarning qiyatlariga yaqinlashadi (2.8-rasm, 2 indeksli chiziqlar);



2.8-rasm. Issiqlik har xil usullarda keltirilganda nazariy sikllar termik f.i.k. va o'rtacha bosimining siqish darajasiga bog'liqligi ( $r_a=0,1 \text{ MPa}$ ;  $T_a=350 \text{ K}$ ;  $k=1,4$ ;  $Q_1=84 \text{ MDj/kmol}$ ;  $V_a=\text{konst}$ ).

3) Siqish darajasining hamma qiymatlarida dastlabki kengayish darajasining qiymati doimiy  $\rho=3,2$  saqlanib qoladi. Nati-jada  $\varepsilon$  ortishi natijasida  $V=\text{konst}$  da keltirilgan issiqlik qisqaradi,  $r=\text{konst}$  bo'lganda esa – ortadi. Siklning termik f.i.k. va o'rtacha bosimi o'shining oldingi ikki holdagiga nisbatan intensivligi sustroq, ularning qiymatlari esa  $r=\text{sonst}$  da issiqlik kiritiladigan siklning  $\eta$  va  $\rho$ , qiymatlariga yaqinlashadi (2.8-rasm, 3 va  $r$  indeksli chiziqlar).

Nazariy sikllarni batafsilroq tahlil qilish uchun sikllar termik f.i.k. va o'rtacha bosimi o'zgarishidan tashqari sikllar maksimal haroratlari va bosimlari hamda kengayishi oxiridagi haroratlar qiymatlarining o'zgarishini ko'rib chiqish lozim. Real sharoitlarda bosimlarning maksimal qiymatlari dvigatel detallarining ruxsat etilgan kuchlanishi sharti bilan, haroratlarning maksimal qiymatlari esa, bundan tashqari, dvigatelning berilgan yonilg'iда

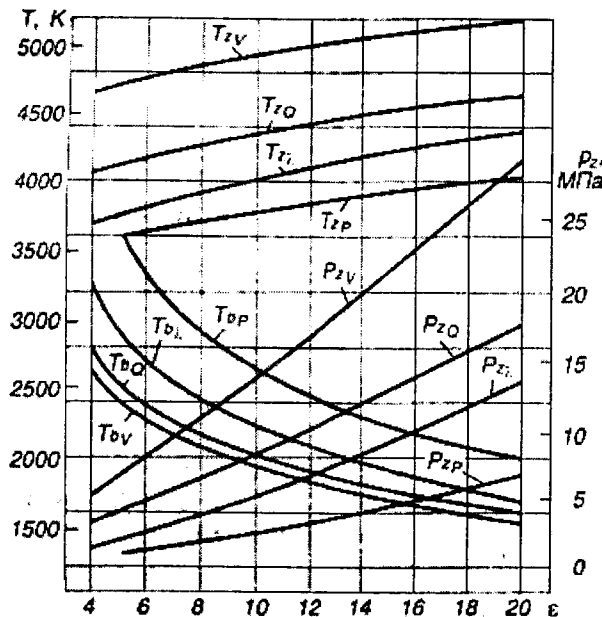
depanattsiyasiz ishlash sharti va moy sifati bilan cheklanadi. Kengayish oxiridagi harorat ham katta ahamiyatga ega; haqiqiy sikllarda ishchi jism (ishlangan gazlar) silindrda oqib chiq qoshchaydi. Dvigatel chiqaruvchi organlarning ishonchli ishlashi kengayish oxiridagi haroratga ma'lum cheklanishlar o'rnatilishi hisobiga erishiladi.

Indekslar:  $V = V = \text{konst}$  da issiqlik keltiriladigan sikl;  $1 - Q_1' = Q_1'' = 0,5$   $Q_1 = 42 \text{ MDj/kmol}$  da issiqlik aralash keltiriladigan sikl;  $2 - \lambda_R = 2 = \text{konst}$  da issiqlik aralash keltiriladigan sikl;  $3 - \rho = 3,2 = \text{konst}$  da issiqlik aralash keltiriladigan sikl;  $r = r = \text{konst}$  da issiqlik keltiriladigan sikl.

2.9-rasmida ko'rib o'tilgan sikllar uchun sikl haroratlari va o'rtacha bosimi maksimal qiymatlari hamda kengayish oxiridagi haroratlarning siqish darajasiga bog'lanishini ifodalovchi chiziqlar keitirilgan. Tabiiyki, nazariy sikllar parametr-larning absolyut qiymatlari haqiqiy sikllarda olinadigan qiymatlarni aks ettirmaydi, lekin nazariy sikllar ko'rilib yozilgan parametr-larning nisbatlari, haqiqiy sikllardagi bu nisbatlar xarakterini yetarli darajada belgilaydi.

2.9-rasmida keltirilgan grafiklardan shu narsa ko'rinishdiki, maksimal harorat va bosimlarning eng katta qiymatlari issiqlik  $V = \text{sonst}$  da ( $V$  indeksli chiziqlar) keltiriladigan siklda, eng kichiklari esa issiqlik  $r = \text{konst}$  da ( $r$  indeksli chiziqlar) keltiriladigan siklda hosil bo'ladi. Issiqlik aralash keltiriladigan siklda  $T_z$  va  $r_z$  ning oraliq qiymatlari hosil bo'ladi. ( $Q$  va  $\lambda$  indeksli chiziqlar). Issiqlik  $V = \text{konst}$  da keltiriladigan siklda siqish darajasining ortishi bilan maksimal harorat va bosimning sezilarli ortishi, ushbu siklni real sharoitda katta  $\varepsilon$  qiymatlarida qo'llashni cheklaydi. Lekin bu siklda kengayish oxirida gazlarning harorati boshqa sikllardagiga nisbatan eng past bo'ladi. Issiqlik aralash keltiriladigan siklda,  $V = \text{konst}$  va  $r = \text{konst}$  da issiqlik keltirilishi teng taqsimlansa, siklning maksimal harorati deyarli 600 K (yoki

11%)ga pasayadi, kengayish oxiridagi harorat esa-atigi 60–100 K (yoki 3,3–4,7%)ga ko‘tariladi.



2.9-rasm. Maksimal harorat  $T_z$ , bosimi  $r_z$  va kengayish oxiridagi harorat  $T_v$  larning issiqlik keltirilishining har xil usullarida siqish darajasiga bog‘liqligi ( $\rho_a=0,1$  Mpa;  $T_a=350$  K;  $k=1,4$ ;  $Q_1=84$  MDj/kmol).

*Indekslar:*  $V = V=\text{konst}$  da issiqlik keltiriladigan sikl;  $Q = Q_1 = Q_1' = 0,5$   $Q_1 = 42$  MDj/kmol da issiqlik aralash keltiriladigan sikl;  $\lambda - \lambda = 2$  da issiqlik aralash keltiriladigan sikl;  $r = r=\text{konst}$  da issiqlik keltiriladigan sikl.

### O‘tkazilgan tahlil asosida quyidagi xulosalarни чиқариш mumkin

1. Issiqlik aralash keltiriladigan sikl asosiy termodinamik ko‘rsatkichlarining qiymatlari issiqlik  $V=\text{konst}$  va  $r=\text{konst}$  da keltiriladigan sikllar mos ko‘rsatkichlari qiymatlarining oraliq‘ida bo‘ladi.

2. Issiqlik  $V=$ konst va  $r=$ konst da keltiriladigan sikllar issiqlik aralash keltiriladigan siklning xususiy hollari bo'ladi. Bunda issiqlik  $V=$ konst va  $r=$ konst da keltiriladigan sikllar chegaraviy bo'lib, ular amalga oshirilganda  $\eta_b$ ,  $r_b$ ,  $T_z$  va  $r_z$  larning bir xil boshlang'ich sharoitlarda va keltirilayotgan issiqlikning bir xil miqdorida mos ravishda maksimal va minimal qiymatlari hosil bo'ladi.

3. Issiqlik aralash keltiriladigan siklda  $V=$  =konst da keltiriladigan issiqlik ulushining ortishi ( $\lambda$  kattalashishi) va  $r=$ konst da keltiriladigan issiqlik ulushining kamayishi ( $\rho$  kamayishi) bilan sikl termik f.i.k. va o'rtacha bosimining qiymatlari ortadi.

4. Issiqlik aralash keltiriladigan siklni siqish darajasining yetarli darajada katta qiymatlarida (12 dan katta) va bosim ortishi darajasining mumkin qadar katta qiymatlarida qo'llash maqsadga muvofiq bo'ladi. Nadduvsiz hamma avtomobil va traktor tezyurar dizellari ish sikl bo'yicha ishlaydi.

5. Issiqlik aralash keltiriladigan sikl f.i.k. uchqundan o't ola-digan dvigatellar ( $V=$ konst sikl) sikl f.i.k. dan, siqish darajasining katta qiymatlaridan foydalanish hisobiga, katta bo'lishi mumkin.

## 2.6. Nadduvli dvigatellarning nazariy sikllari

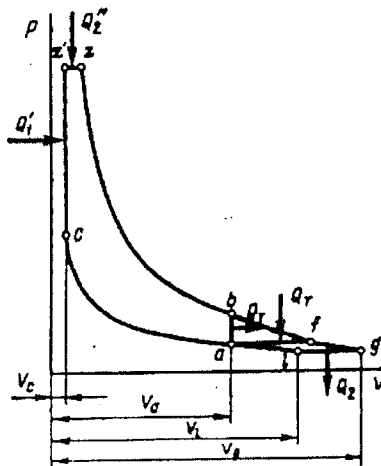
Siklning solishtirma ishi (o'rtacha bosimi)ni oshirish maqsadida siqish boshlanishda (2.2- va 2.6-rasmlar,  $\alpha$  nuqta) bosimni ko'tarish nadduv deb ataladi. Avtomobil va traktor dvigatellarida havoni yoki yonilg'i-havo aralashmasini oldindan kompressordorda siqish hisobiga amalga oshiriladi. Kompressor yuritmasi bevosita dvigatel validan gazlar energiyasi hisobiga ishlaydigan gatzur-binadan-gazli, bo'lishi mumkin. Bundan tashqari, siqish boshlanishida bosim ortishini tezlik inertsiyasi hisobiga hamda dvigatel kiritish tizimidagi inertsion to'lqinli hodisalar hisobiga, ya'ni «inertsion nadduv» hisobiga olish mumkin.

Inertsion nadduvda va mexanik yuritmali kompressorli nad-duvda nazariy sikllar borishining tavslifi o'zgarmaydi. Faqat kiritish oxiridagi bosim va harorat o'zgarishga bog'liq bo'lgan termodinamik parametrlarning muayyan qiymatlari o'zgaradi. Real

dvigatelda quvvatning bir qismi kompressor yuritmasiga sarflanishini hisobga olish zarur.

Gazturbinali nadduvda porshenli qism, gaz turbinasi va kompressordan tarkib topgan kombinatsiyalashgan dvigatel hosil bo'laadi. Avtomobil va traktor dvigatellarida turbina oldida o'zgarmas bosimli turbokompressorlardan foydalaniladi. 2.10-rasmda keltirilgan nazariy sikl kombinatsiyalashgan dvigatel ishchi jarayonining prototipi bo'laadi.

Turbina oldida o'zgarmas bosimli sikl *as'z* va dvigatelning porshenli qismida, *af gla* sikli esa – turbokompressorda amalga oshadi. Dvigatel porshenli qismi siklda  $V = \text{sonst}$  da olib ketilayotgan issiqlik  $Q_T$  (va chizig'i), o'zgarmas bosimda turbokompressor sikliga keltiriladi (*af* chizig'i). So'ngra gaz turbinada kengayish adiabata bo'yicha davom etadi (*fg* chizig'i), o'zgarmas bosimda  $Q_2$  issiqlik olib ketiladi (*gl* chizig'i) va gaz kompressorda adiabatik siqiladi (*la* chizig'i).



2.10-rasm. Kombinatsiyalashgan dvigatellarning nazariy sikllari.

Bunday siklning termik f.i.k.

$$\eta_t = 1 - \frac{1}{\varepsilon_0^{k-1}} \frac{\lambda \rho^k - 1}{\lambda - 1 + k\lambda(\rho - 1)}, \quad (2.9)$$

bu yerda  $\varepsilon_0 = \varepsilon \varepsilon_k = V_t/V_s$  – kombinatsiyalashgan dvigatearning umumiyy siqish darajasi, qiymati porshenli qism siqish darajasi  $\varepsilon = V_a/V_s$  va kompressor siqish darajasi  $\varepsilon_k = V_t/V_a$  ko‘paytmasiga teng.

Dvigateл porshengli qismining ishchi hajmiga nisbatan siklning o‘rtacha bosimi

$$p_t = p_a \frac{\varepsilon_0^k}{\varepsilon - 1} \frac{\lambda - 1 + k\lambda(\rho - 1)}{k - 1} \eta_t. \quad (2.10)$$

Kengayish davom etgan va turbina oldida gazlar bosimi o‘zgaruvchi bo‘lgan nazariy sikl *asz’zvfgla* (2.10-rasm) porshenli dvigateл va turbokompressordan tarkib topgan kombinatsiyalashgan dvigatelda amalga oshirishi mumkin. Bunda ishchi jismning yuqori bosim va nisbatan kichik hajm jabhasiga mos siklning qismi *asz’zv* porshenli qismida, siklning *vfgla* qismi esa turbokompressorda amalga oshadi. Davomli kengayish gaz turbinasida *vfg* adiabata bo‘yicha,  $r = \text{const}$  da issiqlik olib ketiliши *gl* uchastkada va dastlabki siqish va adiabata bo‘yicha havo kompressorida amalga oshadi.

Bunday siklning termik f.i.k. quyidagi formula bo‘yicha aniqlanadi:

$$\eta_t = 1 - \frac{k}{\varepsilon_0^{k-1}} \frac{\rho \lambda^{1/k} - 1}{\lambda - 1 + k\lambda(\rho - 1)}. \quad (2.11)$$

Bu siklda ishlangan gazlarning kinetik energiyasidan qo‘shimcha foydalanish hisobiga siklning f.i.k. 70–75% gacha ortadi. Sikl ishning absolyut qiymati ham biroz ortadi, lekin 2.10-formula bilan aniqlanadigan siklning o‘rtacha bosimi keskin pasayadi. Ushbu termik sikldan foydalanish qator konstruktiv qiyinchiliklarni yechishga bog‘liq.

---

### **III BOB. YONILG‘I, ISHCHI QISMLAR VA ULARNING XOSSALARI**

#### **3.1. Umumiy ma'lumotlar**

Haqiqiy siklda ish bajarilishi uchun zarur bo'lgan issiqlik energiyasi dvigatel silindrlarida yonilg‘i yonganida hosil bo'ladı. Avtotraktor dvigatellari uchun asosiy yonilg‘ilar-benzinlar va dizel yonilg‘ilaridir; ular neftni to‘g‘ri haydash jarayonlari yorda-mida olinadi.

Avtotraktor dvigatellarida ishlaydigan yonilg‘ilarning fizik-kimyoiy xossalari dvigatel turiga, konstruktsiyasining xu-susiyatlariga, ishchi jarayon parametrlariga va ekspluatatsiya sha-roitlariga bog‘liq bo'lgan talablarga javob berishi kerak.

Demak, yonilg‘ining istalgan turi:

- yonilg‘ining to‘liq yonish, bunda yonish mahsulotlari tar-kibida atrof-muhitni ifloslovchi zaxarli moddalar bo‘lmasligi yoki ruxxsat etilgan minimal darajada bo‘lishi;
- atrof-muhitning har xil haroratlarda har xil turdagи dviga-tellarning zamonaviy talablariga javob beradigan bug‘lanuvchan-likka ega bo‘lishi;
- har xil iqlim sharoitlarida dvigatel ishonchli o‘t olishini ta’minalash va dvigatelning hamma ish rejimlarida aralashma hosil qilish va ta’minalash tizimlarining barqaror ishlashi;
- yonish jarayonining dvigatel detallariga tushadigan yukning ruxxsat etilgan oraliqda bo‘lishini ta’minalaydigan darajada yum-shoq kechish hamda soxta va kokslanishlar hosil bo‘lmasligi;
- dvigatelning hamma ish rejimlarida yuqori quvvat va te-jamkorlik ko‘rsatkichlariga ega bo‘lishni ta’minalashi kerak.

Benzinlar yonilg‘i-havo aralashmasi uchqundan majburan o‘t oldiriladigan porshenli va rotorli porshenli ichki yonuv dvigattel-lari uchun mo‘ljallangan.

Avtomobil benzinlarining asosiy ko‘rsatkichi uning *oktan soni* (os) dir; u yonilg‘ining *detonatsiyali yonishga* chidamliligini

tavsiflaydi. Benzinning oktan soni (os) n-gentan (os=0) bilan aralashmadagi izooktan (os=100)ning (%) da) hajmiy miqdoriga teng. Oktan soni bir silindrli qurilmada ikki: motor (GOST 511-82) va tadqiqot (GOST 8226-82) metodlarida aniqlanadi. Motor metodi bo'yicha sinovlar, tadqiqot metodiga nisbatan, bir silindrli qurilmaning ancha og'ir ish rejimida o'tkaziladi. Motor metodi bo'yicha aniqlangan oktan soni ko'p jihatdan yuqori farsirovka rejimida ishlaydigan dvigatel yonilg'isining detonatsion chidam-lilagini qisman yuklarda ishlayotgan benzini tavsiflaydi. Bu metodlar bilan aniqlangan benzin oktan sonlari orasidagi farq – benzinning detonatsiyaga sezgirligi deb ataladi.

Uchqundan alangalanadigan dvigatellar uchun ruxsat etiladigan siqish darajasi va yonilg'inining zaruriy oktan soni orasidagi bog'liqlik:

Siqish darajasi..... 7,8–8,5 8,5–10,0 10,0–12,0

Oktan soni..... 74–80 80–90 90–100

Yonilg'inining oktan soni bir xil bo'lganda karbyuratorli dvigatel uchun siqish darajasi quyi chegaradan tanlanadi kirish trubasiga benzin purkaladigan dvigatellar uchun esa siqish darajasi ning kattaroq qiymatlaridan foydalanish mumkin. Nadduv qo'ilanganda oktan soni kattaroq bo'lgan benzindan foydalanish zarur.

Avtotraktor dizellari va gazturbinali dvigatellar uchun mo'l-jallangan **dizel yonilg'i** oltingugurt miqdoriga bo'lgan standart talablarini ta'minlovchi nisbatlarda to'g'ri haydalgan va gidrotosalangan funksiyalarini kompaundlash yo'li bilan olinadi. Gidrotosalash uchun ashyo sifatida to'g'ri haydash o'rta distansiyali fraksiyalarning ikkilamchi jarayonlar, ko'pincha to'g'ri haydashdan olingan dizel yonilg'isi va katalitik krekingdan olingan yengil gazoyk fraksiyalarning aralashmasidan foydalaniladi.

Dizel yonilg'isining asosiy ko'rsatkichi – uning tseton soni (TSS) dir, u birinchi navbatda yonilg'inining o'z-o'zidan alanganishi qobiliyatini tavsiflaydi. Dizel yonilg'isining tseton soni (TSS)  $\alpha$ -metilnaftalin ( $TSS=0$ ) bilan aralashmadagi tseton ( $TSS=100$ ) miqdoriga son jihatidan teng bo'ladi; bu aralashma alanganish harorati bo'yicha sinalayotgan dizel yonilg'isiga ekvivalent bo'ladi.

Dizel dvigatellari uchun optimal tsenton sonlari 40–50 oraliq'da bo'ladi. Evropa standarti dizel yonilg'isi tseton soni uchun

pastki chegara 48 birlik deb o'rnatalgan.

Benzin va dizel yonilg'ilaridan tashqari avtotraktor dvigatellarida sintetik yonilg'ilar hamda tabiiy va sanoat yonuvchi gazlari, spirtlar va efirlarning har xil turlaridan foydalanishadi.

Avtotraktor dvigatellarida ishlatalidigan yonilg'ilarning hamma turlari turli uglevodorodlarning aralashmasi bo'lib, ular bir-biridan element tarkibi bilan farqlanadi. Suyuq yonilg'ilar (benzin, dizel yonilg'isi)ning *elementar tarkibi* massa (kg) birliklarida, gazsimon yonilg'ilarniki esa hajmiy ( $m^3$  yoki mol) birliklarda ifodalanadi.

Suyuq yonilg'ilar uchun

$$S + N + O = 1, \quad (3.1)$$

bu yerda S, N va O – 1 kg yonilg'idagi uglerod, vodorod va kislorodning massaviy ulushlari.

Gazsimon yonilg'ilar uchun

$$\Sigma S_N G_M O_G + N_2 = 1, \quad (3.2)$$

bu yerda  $S_N N_M O_G - 1m^3$  yoki 1 mol gazsimon yonilg'i tarkibiga kiruvchi har bir gazning hajmiy ulushi.

Benzin va dizel yonilg'ili o'rtacha elementar tarkibi massaviy ulushlarda 3.1-jadvalda, gazsimon yonilg'ilarniki esa hajmiy ulushlarda 3.2-jadvalda keltirilgan.

3.1-jadval

Suyuq yonilg'i	Tarkibi, kg		
	C	H	O
Benzin	0,855	0,145	-
Dizel yonilg'isi	0,870	0,126	0,004

3.2-jadval

Gazsimon yonilg'i	Tarkibi, $m^3$ yoki mol								
	Metan $CH_4$	Etan $C_2H_6$	Protan $C_3H_8$	Butan $C_4H_{10}$	Og'ir uglevodorodlar $C_nH_{2n}$	Vodorod $H_2$	Uglerod oksidi CO	Karbonat angidrid CO <sub>2</sub>	Azot $H_2$
Tabiiy gaz	90,0	2,96	0,	0,55	0,42	0,28	0,28	0,47	5,15
Sintez gaz	52,0	-	17	-	3,4	9,0	11,0	-	24,6
Yorituvchi gaz	16,2	-	-	-	8,6	27,8	20,2	5,0	22,2

### 3.2. Yonilg'i yonishidagi kimyoviy reaksiyalar

Yonilg'i massaviy yoki hajmiy birligining to'liq yonishi uchun aniq miqdordagi havo zarur, u *nazariy zarur bo'lgan havo miqdori* deb ataladi va yonilg'inining elementlar tarkibi bo'yicha topiladi.

Suyuq yonilg'ilar uchun

$$l_0 = \frac{1}{0,23} \left( \frac{8}{3} C + 8H - O \right) \quad (3.3)$$

yoki

$$L_0 = \frac{1}{0,208} \left( \frac{C}{12} + \frac{H}{4} - \frac{O}{32} \right) \quad (3.4)$$

bu yerda  $l_0$  – 1 kg yonilg'i yonishi uchun nazariy zarur bo'lgan havo miqdori (kg da), kg havo/kg yonilg'i;  $L_0$  – 1 kg yonilg'i yonish uchun nazariy zarur bo'lgan havo miqdori (mol da), kmol havo/kg yonilg'i; 0,23-1 kg havodagi kislorodning massaviy ulushi; 0,208-1 kmol havodagi kislorodning hajmiy ulushi.

Bunda

$$l_0 = \mu_x L_0, \quad (3.5)$$

bu yerda  $\mu_x = 28,96$  kg/kmol-1 kmol havoning massasi

Gazsimon yonilg'ilar uchun

$$L_0' = \frac{1}{0,208} \sum \left( n + \frac{m}{4} - \frac{r}{2} \right) C_n H_m O_r, \quad (3.6)$$

bu yerda  $L_0'$  – 1 mol yoki  $1 \text{ m}^3$  yonilg'i yonishi uchun nazariy zarur bo'lgan havo miqdori (mol yoki  $\text{m}^3$  da), (mol havo/mol yonilg'i yoki  $\text{m}^3$  havo/ $\text{m}^3$  yonilg'i).

Dvigatelning ishlash sharoiti, quvvatni sozlash usuli, aralashma hosil qilish turi va yonilg'inining sharoitlariga qarab, yonilg'inining har bir massaviy yoki hajmiy birligiga yonilg'i to'liq yonishi uchun nazariy zarur bo'lganga nisbatan ko'p, teng yoki kam havo miqdori to'g'ri keladi.

1 kg yonilg'i yonishida ishtirok etayotgan havo miqdori  $\ell$  (yoki L)ning nazariy zarur bo'lgan havo miqdori  $\ell_0$  (yoki  $L_0$ )ga nisbatli nazariy *havo ortiqligi koeffitsiyenti* deb ataladi:

$$\alpha = \frac{\ell}{\ell_0} = \frac{L}{L_0}. \quad (3.7)$$

Har xil dvigatellar uchun ularning nominal quvvatida  $\alpha$  ning quyidagi qiymatlarini qabul qilishadi:

Karbyuratorli dvigatellar	0,80–0,96
Forkamera-fakelli o't oldiriladigan dvigatellar	0,85–0,98 va katta
Uchqundan o't oladigan va yonilg'i pürkaladigan dvigatellar	0,85–1,30
Yonish kamerasi ajralmagan va hajmiy aralashma hosil bo'ladigan dizellar	1,50–1,70
Yonish kamerasi ajralmagan va plyonkali aralashma hosil bo'ladigan dizellar	1,50–1,60
Uyurma kamerali dizellar	1,30–1,45
Old kamerali dizellar	1,40–1,50
Nadduvli dizellar	1,30–2,20

Silindr havo bilan produvka qilinadigan dvigatellarda havo ortiqligini summar koeffitsiyentidan foydalaniлади

$$\alpha_{\Sigma} = \varphi_n \alpha,$$

bu yerda  $\varphi_n=1,0-1,25$  – to'rt taktli dvigatelning produvka koefitsiyenti.

Dvigatel ishchi jarayonlari (quvvati)ni forsirovka qilishning samarali yo'llaridan biri  $\alpha$  ni kamaytirishdir. Dvigatelning berilgan quvvati uchun havo ortiqligi koeffitsiyentini ma'lum chegaragacha kamaytirish silindr o'chamlarini ixchamlashtirishga olib keladi. Lekin  $\alpha$  qiymati kamayganda yonilg'i to'liq yonmaydi, tejamkorlik va ekologik ko'satkichlar yomonlashadi. Amalda dvigatelda yonilg'inining to'liq yonishi faqat  $\alpha>1,0$  bo'lganida bo'

lishi mumkin, chunki  $\alpha=1,0$  bo‘lganda yonilg‘ining har bir zar-rachasi kislorodning zarur miqdori bilan ta’minlanadigan yonilg‘i-havo aralashmasini hosil qilib bo‘lmaydi.

Uchqundan alangalanadigan dvigatellarda yonuvchi aralashma (yangi zaryad) havo va bug‘langan yonilg‘idan tarkib topadi va quyidagi qiymat bilan aniqlanadi

$$M_1 = \alpha L_0 + \frac{1}{m_e} \quad (3.8)$$

bu yerda  $M_1$  – yonilg‘i aralashma miqdori (kmol yon. aral./kg yonilg‘i);  $m_e$  – yonilg‘i bug‘larining molekulyar massasi.

Turli yonilg‘ilar uchun  $m_e$  ning quyidagi qiymatlari qabul qilinadi: avtomobil benzinlari uchun 110–120 kg/kmol; dizel yonilg‘ilari uchun – 180–200 kg/kmol.

Siqishdan alangalanadigan dvigatellar uchun  $M_1$  aniqlanganda havo hajmiga nisbatan kichik miqdor sifatida  $1/m_e$  ni hisobga olishmaydi.

Shu sababli bu dvigatellar uchun

$$M_1 = \alpha L_0 \quad (3.9)$$

Gazli dvigatellar uchun

$$M_1 = \alpha L_0 \quad (3.10)$$

bu yerda  $M_1$  – yonuvchi aralashma miqdori (mol yon. aral./mol yonilg‘i yoki  $m^3$  yon.aral./ $m^3$ yonilg‘i).

Istalgan yonilg‘i uchun yonuvchi aralashma massasi

$$m_1 = \alpha l_0 + 1 \quad (3.11)$$

bu erda  $m_1$  – yonuvchi aralashmaning massaviy miqdori, kg yon. aral./kg yonilg‘i.

Yonilg‘i to‘liq yonganida ( $\alpha \geq 1$ ) yonish mahsulotlari tarkibi karbonat angidrid gazi  $CO_2$ , suv bug‘i  $H_2O$ , ortiqcha kislorod  $O_2$  va  $N_2$  lardan iborat bo‘ladi.

Yonilg‘i to‘liq yonganida ( $\alpha \geq 1$ ) suyuq yonilg‘i yonish mahsulotlari alohida komponentlarning miqdori:

Karbonat angidrid (kmol CO<sub>2</sub>/kg yonilg‘i)

$$M_{\text{SO}_2} = S/12;$$

Suv bug‘i (kmol H<sub>2</sub>O/kg yonilg‘i)

$$M_{\text{H}_2\text{O}} = H/2; \quad (3.12)$$

Kislород (k mol O<sub>2</sub>/kg yonilg‘i)

$$M_{\text{O}_2} = 0,208(\alpha - 1)L_0$$

Azot (kmol N<sub>2</sub>/kg yonilg‘i)

$$M_{\text{N}_2} = 0,792\alpha L_0$$

Suyuq yonilg‘i to‘liq yonganida yonish mahsulotlarining umumiy miqdori (kmol yon.mahsul/kg yonilg‘i)

$$M_2 = M_{\text{CO}_2} + M_{\text{H}_2\text{O}} + M_{\text{O}_2} + M_{\text{N}_2} = C/12 + H/2 + (\alpha - 0,208)L_0 \quad (3.13)$$

$\alpha \geq 1$  bo‘lganda gazsimon yonilg‘i yonish mahsulotlari alohida komponentlarining miqdori:

karbonat angidrid (kmol SO<sub>2</sub>/mol yonilg‘i)

$$M'_{\text{CO}_2} = \Sigma n(C_n H_m O_r);$$

suv bug‘i (kmol N<sub>2</sub>O/kg yonilg‘i)

$$M'_{\text{H}_2\text{O}} = \Sigma \frac{m}{2}(C_n H_m O_r); \quad (3.14)$$

kislород (k mol O<sub>2</sub>/kg yonilg‘i)

$$M'_{\text{O}_2} = 0,208(\alpha - 1)L_0$$

azot (kmol N<sub>2</sub>/kg yonilg‘i)

$$M'_{\text{N}_2} = 0,792\alpha L_0 + N_2$$

bu yerda N<sub>2</sub> – azotning yonilg‘idagi miqdori, mol.

Gazsimon yonilg‘i to‘liq yonganida mahsulotlarning umumiy miqdori (mol yon.mahsul/mol yonilg‘i)

$$M'_2 = M'_{CO_2} + M'_{H_2O} + M'_{O_2} + M'_{N_2} \quad (3.15)$$

Yonilg'i chala yonganida ( $\alpha < 1,0$ ) yonish mahsulotlari karbonat angidrid  $CO_2$ , uglerod oksidi  $CO$ , suv bug'i  $H_2O$ , erkin vodorod  $H_2$  va azot  $N_2$  lardan tarkib topadi.

Suyuq yonilg'i chala yonish mahsulotlari alohida komponentlarining miqdori:

Karbonat angidrid (kmol  $CO_2$ /kg yonilg'i)

$$M_{CO_2} = \frac{C}{12} - 2 \frac{1-\alpha}{1+K} 0,208 L_0;$$

Uglerod oksidi (kmol  $CO$ /kg yonilg'i)

$$M_{CO} = 2 \frac{1-\alpha}{1+K} 0,208 L_0;$$

Suv bug'i (kmol  $H_2O$ /kg yonilg'i)

$$M_{H_2O} = \frac{H}{2} - 2K \frac{1-\alpha}{1+K} 0,208 L_0; \quad (3.16)$$

vodorod (kmol  $H_2$ /kg yonilg'i)

$$M_{H_2} = 2K \frac{1-\alpha}{1+K} 0,208 L_0;$$

azot (kmol  $N_2$ /kg yonilg'i)

$$M_{N_2} = 0,792 \alpha L_0$$

bu yerda  $K$  – doimiy kattalik;  $\alpha$  yonish mahsulotlari tarkibidagi vodorodning miqdoriga bo'lgan nisbatga bog'liq (benzinlar uchun  $K=0,45-0,50$ ).

Suyuq yonilg'i chala yonish mahsulotlarining umumiy miqdori (kmol yon. maxsul./kg yonilg'i)

$$M_2 = M_{CO_2} + M_{CO} + M_{H_2O} + M_{H_2} + M_{N_2} = \frac{C}{12} + \frac{H}{2} + 0,792 \alpha L_0 \quad (3.17)$$

Benzinli dvigatel va dizelda yonuvchi aralashma (yangi zarayd), yonish mahsulotlari va ularning tashkil etuvchilari miqdorining havo ortiqligi koeffitsiyentiga bog'liqligi 3.1- va 3.2-

rasmlardagi grafiklarda keltirilgan.

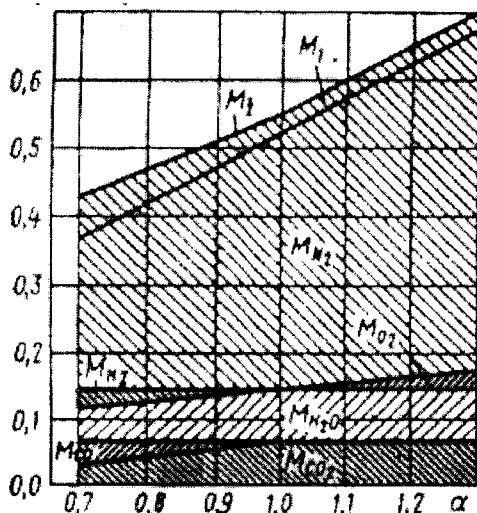
Yonishda ishchi qism mollari miqdorining o'zgarishi quyidagi farqdan topiladi (kmol aral./kg yonilg'i):

$$\Delta M_2 = M_2 - M_1 \quad (3.18)$$

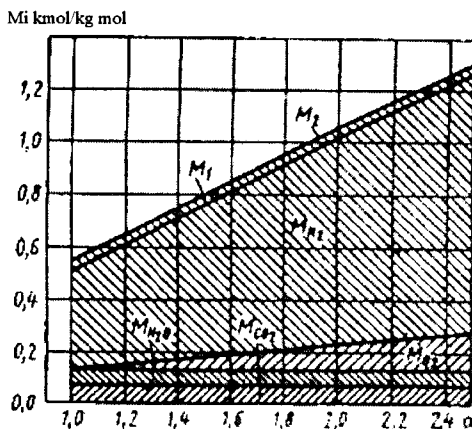
Suyuq yonilg'i uchun yonish mahsulotlari mollari miqdori yangi zaryad (yonuvchi aralashma) mollari miqdoriga qaraganda doim ko'p bo'ladi. Yonish mahsulotlari hajmining kattalashishi  $\Delta M$  kimyoviy reaksiyalar natijasida yonilg'i molekulalarining parchalanishi va yangi molekulalar hosil bo'lishi oqibatida sodir bo'ladi. Yonish mahsulotlari mollari sonining ortishi-ijobiy omil, chuniki yonish mahsulotlari hajmi kattalashadi va natijada kengayishda gazlar foydali ishining biroz ortishiga sabab bo'ladi.

Gazsimon yonilg'inining yonish jarayonida mollar miqdori  $\Delta M$  ning o'zgarishi yonilg'i tarkibiga kiruvchi uglevodorodlar tabiatiga, ularning miqdoriga, uglevodorodlar, vodorod, uglerod oksidi miqdorlari orasidagi nisbatga bog'liq. U musbat yoki manfiy bo'lishi mumkin.

$M_j, \text{ kmol/kg mol}$



3.1-rasm. Benzinli dvigatelda yonuvchi aralashma (yangi zaryad) yonish mahsulotlari va ularni tashkil etuvchilarining havo ortiqligi koeffitsiyentiga bog'liqligi ( $m_t=110$ ).



3.2-rasm. Dizelda yonuvchi aralashma (yangi zaryad) yonish mahsulotlari va ularni tashkil etuvchilarining havo ortiqligi koeffitsiyentiga bog'liqligi.

Yonishda hajmnning nisbiy o'zgarishi *yonuvchi aralashma molekulyar o'zgarishining kimyoviy koeffitsiyenti*  $\mu_0$  bilan tavsiflanadi, u yonish mahsulotlari mollari miqdorining yonuvchi aralashma mollari miqdoriga nisbatini ifodalaydi.

$$\mu_0 = M_2/M_1 = 1 + \Delta M/M_1. \quad (3.19)$$

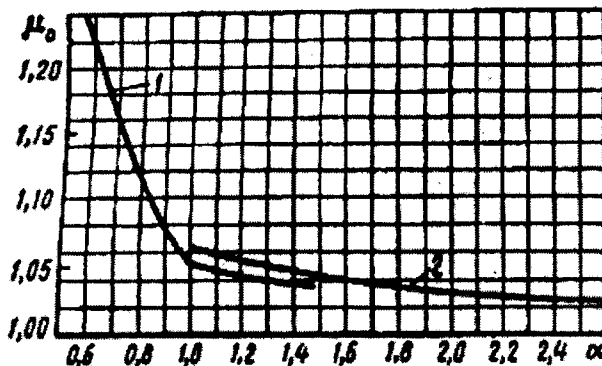
Suyuq yonilg'ilar uchun  $\mu_0$  qiymati doim birdan katta va havo ortiqligi koeffitsiyenti kamayishi bilan ortib boradi (3.3-rasm).

Egri chiziqdagi  $\alpha=1,0$  ga mos nuqtadagi shinish uglerod oksidi CO hosil bo'lishining to'xtashi va yonilg'i uglerodining karbonat angidrid CO<sub>2</sub> hosil qilib to'liq yonishi oqibatida sodir bo'ladi.

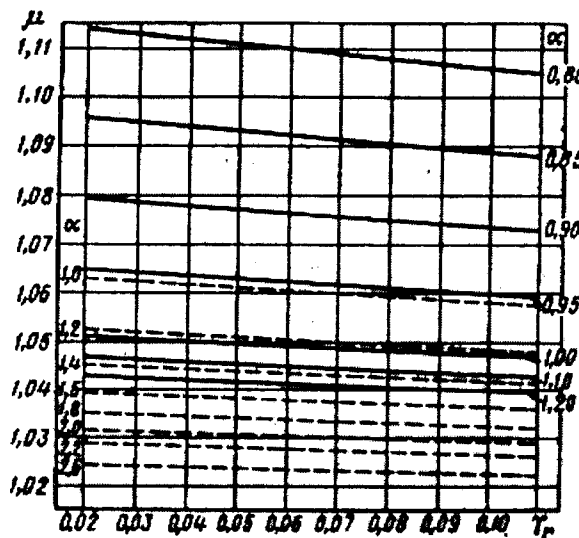
Real dvigatel silindrлarida yonishda yonuvchi aralashma emas, balki ishechi aralashma ishtirot etadi, u yangi zaryad (yonuvchi aralashma) M<sub>1</sub> va qoldiq gazlar M<sub>r</sub> dan tarkib topadi.

Qoldiq gazlarning nisbiy miqdori qoldiq gazlar koeffitsiyenti bilan tavsiflanadi.

$$\gamma_r = M_r/M_1 \quad (3.20)$$



3.3-rasm. Yonuvchi aralashma molekulyar o'zgarishi kimoviy koeffitsiyentining havo ortiqligi koeffitsiyentiga bog'liqligi:  
 1 – benzinning havo bilan aralashmasi; 2 – dizel yonilg'iisining havo bilan aralashmasi.



3.4-rasm. Ishchi aralashma molekulyar o'zgarishi koeffitsiyentining qoldiq gazlar koeffitsiyenti, yonilg'i tarkibi va havo ortiqligi koeffitsiyentiga bog'liqligi:  
 ———— benzin; ———— dizel yonilg'isi

Yonishda ishchi aralashma (yonuvchi aralashma + qoldiq gazlar) hajmining o'zgarishini *ishchi aralashma molekulyar o'zgarishining haqiqiy koeffitsiyenti* hisobga oladi, u yongandan keyin silindrdagi gazlar mollari umumiy miqdori ( $M_2+M_r$ )ning yonishigacha bo'lgan mollar soni ( $M_1+M_r$ ) ni ifodalarydi:

$$\mu_0 = (M_2 + M_r)/(M_1 + M_r) = (\mu_0 + \gamma_r)/(1 + \gamma_r). \quad (3.21)$$

(3.21)-ifodadan shu narsa ko'rinaridiki, ishchi aralashma molekulyar o'zgarishining haqiqiy koeffitsiyenti  $\mu$  qoldiq gazlar koeffitsienti  $\gamma_g$  va yonuvchi aralashma molekulyar o'zgarishining kimyoviy koeffitsiyenti  $\mu_0$  ga bog'liq. O'z navbatida  $\mu_0$  yonilg'i tarkibi va havo ortiqligi koeffitsiyenti  $\alpha$  ga bog'liq.

$\mu$  qiymati o'zgarishiga aynan havo ortiqligi koeffitsiyenti  $\alpha$  eng katta ta'sir o'tkazadi (3.4-rasm).  $\alpha$  kamayishi bilan ishchi aralashma molekulyar o'zgarishining haqiqiy koeffitsiyenti ortib boradi va ayniqsa aralashma bo'yiganida ( $\alpha < 1$ ) bu ortish jadallashadi.

$\mu$  qiymati quyidagi oraliqlarda o'zgaradi:

benzinli dvigatellar .....	1,02–1,12
dizellar uchun .....	1,01–1,06

### 3.3. Yonilg'i va yonilg'i-havo aralashmasining yonish issiqligi

Yonilg'inинг hajmiy yoki massaviy birligi to'liq yonganda ajralib chiqadigan issiqlik miqdori yonilg'inинг yonish issiqligi deyliladi.

Yonilg'inинг yuqori  $N_o$  va quyi  $N_i$  yonish issiqliklarini farqlashadi. Yonishning yuqori issiqligi deganda yonilg'i to'liq yonganida ajralib chiqadigan summar issiqlik miqdori tushuniлади.

Yonishning quyi issiqligi deganda yonilg'i to'liq yonganida ajralib chiqadigan issiqlik miqdori tushuniladi, bunda suv bug'i kondensatsiyalanishi issiqligi  $N_o$  dan bug'ga aylanishining yashi-

rin issiqligi miqdoridan kichik bo'ladi. Ichki yonuv dvigatellarida ishlangan gazlar chiqarishi suv bug'ining kondensatsiyalanishi haroratdan yuqori haroratlarda sodir bo'lishi sababli, yonilg'ining issiqlik qiymatini amalda baholash uchun odatda yonilg'ining quyi yonish issiqligi xizmat qiladi.

Agar suyuq yonilg'ining diametri ma'lum bo'lsa, unig quyi yonish issiqligini ( $\text{MDj/kg}$ ) taxminiy aniqlash uchun D.I. Mendeleyev formulasidan foydalaniadi

$$\begin{aligned} \text{Nu} = & 33,91S + 125,60N - 10,89(O - 9) - \\ & - 2,51(9N - W) \end{aligned} \quad (3.22)$$

bu yerda  $W$  – yonilg'i massaviy yoki hajmiy birligining yonish ma'sulotlaridagi suv bug'i miqdori.

Gazsimon yonilg'i uchun uning quyi yonish issiqligi ( $\text{MDj/m}^3$ )

$$\begin{aligned} \text{Hu} = & 12,8\text{CO} + 10,8\text{N}_2 + 35,7\text{N}_4 + \\ & + 56,0\text{S}_2\text{N}_2 + 59,5\text{S}_2\text{N}_4 + 63,3\text{S}_2\text{N}_6 + \\ & + 90,9\text{S}_3\text{N}_8 + 119,7\text{S}_4\text{N}_{10} + 146,2\text{S}_5\text{N}_{12} \end{aligned} \quad (3.23)$$

Avtotraktor yonilg'ilarini quyi yonish issiqligining taxminiy qiymatlari:

Yonilg'i	Benzin	Dizel	Tabiiy yonilg'isi	Propan	Butan
Ni	44,0	42,5	35,0	85,5	112,0

$\text{MDj/kg}$      $\text{MDj/kg}$      $\text{MDj/m}^3$      $\text{MDj/m}^3$      $\text{MDj/m}^3$

Yonilg'i issiqligi baholanishini batafsilroq tavsiflash uchun nafaqat yonilg'ining yonish issiqligini, balki yonilg'i-havo aralashmalarining yonish issiqliklarini ham bilish zarur. Yonilg'i birinchi yonish issiqligining yonuvchi aralashmaning umumiy miqdoriga nisbati *yonuvchi aralashmaning yonish issiqligi* deyi-ladi.

Yonish issiqligining hajm birligi ( $\text{kmol}$ )ga nisbati –  $\text{MDj/kmol}$  yon.aral. massa birligiga nisbati -  $\text{MDj/kg}$  yon.aral. da ifodala-nadi.

$$H_{\text{yon.aral.}} = H_u / M_1 \quad yoki \quad H_{\text{yon.aral.}} = Hu / m_1. \quad (3.24)$$

$\alpha < 1$  da ishlayotgan dvigatellarda kislorod yetishmasligi tu-

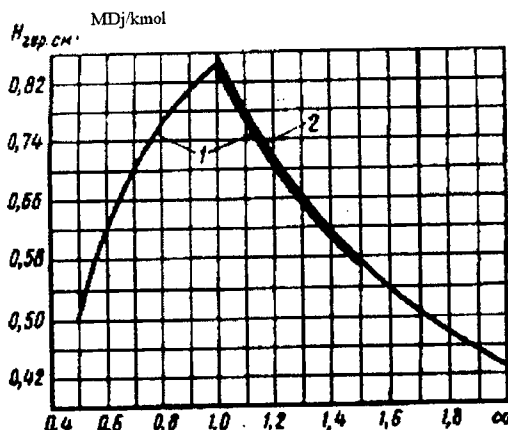
fayli yonilg'i kimyoviy to'liq yonmaydi.

$$\Delta Hu = 119,95 (1 - \alpha) L_0 \quad (3.25)$$

U holda (3.24)-formula  $\alpha < 1,0$  bo'lganda quyidagi ko'rinishga ega bo'ladi:

$$H_{yon.aral.} = (Hu - \Delta Hu) / M_1 \quad yoki \quad H_{yon.aral..} = (Hu - \Delta Hu) / m_1 \quad (3.26)$$

3.5-rasmda yonilg'i-havo aralashmalari yonish issiqligining havo ortiqligi koefitsiyenti  $\alpha$  ga bog'liqligi grafigi keltirilgan. Ishni qayd qilish lozimki, yonuvchi aralashmaning yonish issiqligi yonilg'ining yonish issiqligiga proprotsional emas.  $\alpha$  ning bir xil qiymatlarida dizel yonilg'isi havo bilan aralashmasining yonish issiqligi benzin-havo aralashmasining yonish issiqligidan biroz yuqoriroq. Buning sababi-dizel yonilg'isi bir birligining to'liq yonishi uchun zarur bo'lgan havo miqdori benzinning shuncha miqloti to'liq yonishi uchun zarur bo'lgan havo miqdoridan kamroq bo'ladi. Yonish jarayonida yonuvchi aralashma emas, balki ishchi aralashma (yonuvchi aralashma + qoldiq gazlar) ishtirok etganligi sababli, yonilg'i yonish issiqligini ishchi aralashmaning umumiy miqdoriga nisbatini olish (MDj/kmol ish.aral.) maqsadga muvofiq bo'ladi.



3.5-rasm. Yonilg'i-havo aralashmasi yonish issiqligining havo ortiqligi koefitsiyentiga bog'liqligi:

- 1 – havo-benzin aralashmasi,  $N_m = 44 \text{ MDj/kg};$
- 2 – havo-dizel yonilg'isi,  $N_m = 42,5 \text{ MDj/kg}.$

$\alpha \geq 1$  da

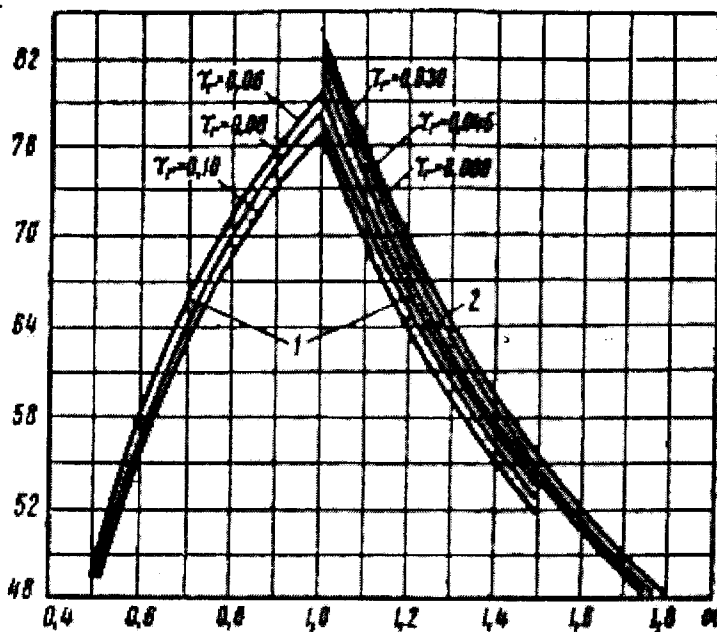
$$Hu_{\text{ish. aral.}} = Hu / (M_1 + M_r) = Hu / [M_1(1 + \gamma_r)] \quad (3.27)$$

$\alpha < 1$  da

$$Hu_{\text{ish. aral.}} = (Hu - \Delta Hu) / [M_1(1 + \gamma_r)] \quad (3.28)$$

(3.27) va (3.28) – tenglamalardan quyidagi xulosani chiqarish mumkin: ishchi aralashmaning yonish issiqligi yonuvchi aralashmaning yonish issiqligi o‘zgarishiga proporsional o‘zgaradi. Havo ortiqligi koeffitsiyentining bir xil qiymatlarida qoldiq gazlar koeffitsiyenti kamayganda ishchi aralashmaning yonish issiqligi ortadi (3.6-rasm). Bu – ham benzin ham dizel yonilg‘isi uchun taalluqlidir.

$H_{\text{rab. sm.}}$  MDj/kmol



3.6-rasm. Ishchi yonish issiqligining ravvo ortiqligi koeffitsiyentiga va qoldiq gazlar koeffitsiyentiga bog‘liqligi:

- 1 – havo, qoldiq gazlar va benzin aralashmasi,  $N_m = 44$  MDj/kg;
- 2 – havo, qoldiq gazlar va dizel yonilg‘isi,  $N_m = 42.5$  MDj/kg.

### 3.4. Gazlarning issiqlik sig‘imi

*Ishchi jismning o‘rtacha issiqlik sig‘imi* deb ushbu jarayonda jismga berilayotgan issiqlik miqdorining haroratning o‘zgarishiga (agar haroratlar farqi oxirgi kattalik bo‘lsa) bo‘lgan nisbatga aytildi. Issiqlik sig‘imining qiymati jism harorati va bosimga, uning fizikaviy xossalariiga va jarayon tavsifiga bog‘liq.

Dvigatellar ishchi jarayonlarini hisoblashda foyda o‘zgarmas  $mc_v$  va o‘zgarmas bosimdagи  $mc_r$  [kJ/(kmol.grad)] o‘rtacha mol issiqlik sig‘imlaridan foydalaniladi. Ular orasida quyidagi bog‘lanish mavjud

$$mc_r - mc_v = 8,315 \quad (3.29)$$

Har xil gazlarning haroratiga qarab o‘rtacha<sup>a</sup> mol issiqlik sig‘imlarini aniqlash uchun empirik formulasidan yoki ma’lumot (spravochnik) jadval‘ari yoki grafiklardan foydalaniladi.

3.3-jadvalda ba’zi gazlarning o‘zgarmas hajmdagi o‘rtacha mol issiqlik sig‘imlarining qiymatlari, 3.4-jadvalda esa jadval ma’lumotlari tahlili asosida olingan empirik formulalar keltirilgan. Empirik formulalar bo‘yicha olingan o‘rtacha mol issiqlik sig‘imining qiymatlarining jadvaldagи qiymatlaridan farqi 1,8% dan ortmaydi.

3.3-jadval

Harorat, °C	Ba’zi gazlarning o‘zgarmas hajmdagi o‘rtacha mol issiqlik sig‘imi, kDj/(kmol.grad)						
	Havo	O <sub>2</sub>	N <sub>2</sub>	H <sub>2</sub>	CO	CO <sub>2</sub>	H <sub>2</sub> O
0	20,759	20,960	20,705	20,303	20,809	27,546	25,185
100	20,839	21,224	20,734	20,621	20,864	29,799	25,428
200	20,985	21,617	20,801	20,759	20,989	31,746	25,804
300	21,207	22,086	20,973	20,809	21,203	33,442	26,261
400	21,475	22,564	21,186	20,872	21,475	34,936	26,776
500	21,781	23,020	21,450	20,935	21,785	36,259	27,316
600	22,091	23,447	21,731	21,002	22,112	37,440	27,881
700	22,409	23,837	22,028	21,094	24,438	38,499	28,476
800	22,714	24,188	22,321	21,203	22,756	39,450	29,079
900	23,008	24,511	22,610	21,333	23,062	40,304	29,694
1000	23,284	24,804	22,882	21,475	23,351	41,079	30,306

1100	23,548	25,072	23,142	21,630	23,623	41,786	30,913
1200	23,795	25,319	23,393	21,793	23,878	42,427	31,511
1300	24,029	25,549	23,627	21,973	24,113	43,009	32,093
1400	24,251	25,763	23,849	22,153	24,339	43,545	32,663
1500	24,460	25,968	24,059	22,333	24,544	44,035	33,211
1600	24,653	26,160	24,251	22,518	24,737	44,487	33,743
1700	24,837	26,345	24,435	22,698	24,917	44,906	34,262
1800	25,005	26,520	24,603	22,878	25,089	45,291	34,756
1900	25,168	26,692	24,766	23,058	25,248	45,647	35,225
2000	25,327	26,855	24,917	23,234	25,394	45,977	35,682
2100	25,474	27,015	25,063	23,410	25,537	46,283	36,121
2200	25,612	27,169	25,202	23,577	25,666	46,568	36,540
2300	25,746	27,320	25,327	23,744	25,792	46,832	36,942
2400	25,871	27,471	25,449	23,908	25,909	47,079	37,331
2500	25,993	27,613	25,562	24,071	26,022	47,305	37,704
2600*	26,120	27,753	25,672	24,234	26,120	47,515	38,060
2700*	26,250	27,890	25,780	24,395	26,212	47,710	38,395
2800*	26,370	28,020	25,885	24,550	26,300	47,890	38,705

### 3.4-jadval

Gaz nomi	Ba'zi gazlarning hajmdagi o'rtacha mol issiqlik sig'imiini topish uchun formulalar, kDj/(kmol.grad), °C haroratlar uchun	
	0 dan 1500	1501 dan 2800 gacha
Havo	$mc_v = 20,600 + 0,002638t$	$mc_v = 22,387 + 0,001449t$
Kislород O <sub>2</sub>	$mc_{vO_2} = 20,930 + 0,004641t - 0,00000084t^2$	$mc_{vO_2} = 23,723 + 0,001550t$
Azot N <sub>2</sub>	$mc_{vN_2} = 20,398 + 0,0025t$	$mc_{vN_2} = 21,951 + 0,001457t$
Vodorod H <sub>2</sub>	$mc_{vH_2} = 20,684 + 0,000206t + 0,00000058t^2$	$mc_{vH_2} = 19,678 + 0,001758t$
Uglerod oksidi CO	$mc_{vCO} = 20,597 + 0,002670t$	$mc_{vCO} = 22,490 + 0,001430t$
Karbonat angidrid CO <sub>2</sub>	$mc_{vCO_2} = 27,941 + 0,019t - 0,000005487t^2$	$mc_{vCO_2} = 39,123 + 0,003349t$
Suv bug'i H <sub>2</sub> O	$mc_{vH_2O} = 24,953 + 0,05359t$	$mc_{vH_2O} = 26,670 + 0,004438t$

Yonish mahsulotlarining o'rtacha mol issiqlik sig'imi gazlar aralashmasining issiqlik sig'imi sifatida aniqlanadi [kJ/(kmol. grad)]:

$$(mC_V)_{t_0}^{t_x} = \sum_{i=1}^{i=n} r_i \left( mC_{V_i} \right)_{t_0}^{t_x}, \quad (3.30)$$

bu yerda  $r_i = M_i/M_2$  – ushbu aralashma tarkibiga kiruvchi har bir gazning hajmiy ulushi;  $(mC_{V_i})_{t_0}^{t_x}$  – ushbu aralashma tarkibiga kiruvchi har bir gazning aralashma harorati  $t_x$  dagi o'rtacha mol issiqlik sig'imi.

Yonilg'i to'liq yonganida  $\alpha \geq 1,0$  yonish mahsulotlari tarkibida karbonat angidrid, suv bug'lari,  $\alpha > 1,0$  bo'lganda esa kislorod ham bo'ladi.

Bu holda,

$$(mC_{V_i})_{t_0}^{t_x} = \frac{1}{M_2} \left[ M_{CO_2} (mC_{VCO_2})_{t_0}^{t_x} + M_{H_2O} (mC_{VH_2O})_{t_0}^{t_x} + M_{N_2} (mC_{VN_2})_{t_0}^{t_x} + M_{O_2} (mC_{VO_2})_{t_0}^{t_x} \right] \quad (3.31)$$

bu erda  $t_0 = 0^\circ\text{C}$  ga teng harorat;  $t_x$  – yonish oxirida aralashma harorati.

Yonilg'i chala yonganida ( $\alpha < 1,0$ ) yonish mahsulotlari tarkibida karbonat angidrid, uglerod oksidi, suv bug'i, vodorod va azot bo'ladi.

Bu holda,

$$(mC_{V_i})_{t_0}^{t_x} = \frac{1}{M_2} \left[ M_{CO_2} (mC_{VCO_2})_{t_0}^{t_x} + M_{CO} (mC_{VCO})_{t_0}^{t_x} + M_{H_2O} (mC_{VH_2O})_{t_0}^{t_x} + M_{H_2} (mC_{VH_2})_{t_0}^{t_x} + M_{N_2} (mC_{VN_2})_{t_0}^{t_x} \right] \quad (3.32)$$

Benzin (tarkibi: S=0,855; N=0,145) yonish mahsulotlarining o'rtacha mol issiqlik sig'iminining  $\alpha$  ga bog'liq qiymatlari 3.5-jadvalda, dizel yonilg'isi (tarkibi: S=0,870; N=0,126 O=0,004) niki esa 3.6-jadvalda keltirilgan.

3.5-jadval

Benzin  $\alpha = \dots$  dagi yonish mahsulotlarining o'rtacha mol issiqlik

Harorat, °C	0,70	0,75	0,80	0,85	0,90	0,95	1,00	1,05	1,10	1,15	1,20	1,25
0	21,683	21,786	21,880	21,966	22,046	22,119	22,187	22,123	22,065	22,011	21,962	21,916
100	21,902	22,031	22,149	22,257	22,356	22,448	22,533	22,457	22,388	22,325	22,266	22,216
200	22,140	22,292	22,431	22,559	22,676	22,784	22,885	22,796	22,722	22,650	22,584	22,523
300	22,445	22,618	22,776	22,921	23,055	23,173	23,293	23,200	23,115	23,036	22,964	22,898
400	22,777	22,968	23,143	23,303	23,450	23,586	23,712	23,613	23,521	23,437	23,360	23,289
500	23,138	23,345	23,534	23,707	23,867	24,014	24,150	24,045	23,948	23,859	23,777	23,702
600	23,507	23,727	23,929	24,113	24,284	24,440	24,586	24,475	24,373	24,280	24,193	24,114
700	23,882	24,115	24,328	24,523	24,702	24,868	25,021	24,905	24,798	24,700	24,610	24,527
800	24,249	24,493	24,715	24,919	25,107	25,280	25,441	25,319	25,208	25,106	25,012	24,925
900	24,608	24,861	25,092	25,304	25,500	25,680	25,680	25,720	25,604	25,498	25,400	25,309
1000	24,949	25,211	25,449	25,668	25,870	26,056	26,056	26,098	25,977	25,867	25,766	25,672
1100	25,276	25,545	25,791	26,016	26,224	26,415	26,415	26,457	26,333	26,219	26,114	26,016
1200	25,590	25,866	26,118	26,349	26,562	26,758	26,758	26,800	26,672	26,554	26,446	26,345
1300	25,887	26,168	26,426	26,662	26,879	27,080	27,080	27,121	26,989	26,868	26,757	26,653
1400	26,099	26,456	26,719	26,959	27,180	27,385	27,385	27,426	27,291	27,166	27,051	26,945
1500	26,436	26,728	26,995	27,240	27,465	27,673	27,673	27,714	27,575	27,447	27,330	27,221
1600	26,685	26,982	27,253	27,501	27,729	27,941	27,941	27,981	27,836	27,708	27,588	27,477
1700	26,924	27,225	27,499	27,751	27,983	28,197	28,197	28,236	28,091	27,958	27,835	27,722
1800	27,147	27,451	27,728	27,983	28,218	28,434	28,434	28,473	28,324	28,188	28,063	27,948
1900	27,359	27,667	27,948	28,205	28,442	28,661	28,661	28,698	28,548	28,409	28,282	28,164
2000	27,559	27,870	28,153	28,413	28,652	28,873	28,873	28,910	28,757	28,616	28,487	28,367
2100	27,752	28,065	28,351	28,613	28,854	29,077	29,077	29,113	28,958	28,815	28,684	28,562
2200	27,935	28,251	28,539	28,803	29,046	29,270	29,270	29,306	29,148	29,004	28,870	28,747

2300	28,104	28,422	28,712	28,978	29,223	29,449	29,449	29,484	29,324	29,177	29,042	28,917
2400	28,268	28,588	28,879	29,147	29,394	29,621	29,621	29,655	29,494	29,345	29,209	29,082
2500	28,422	28,744	29,037	29,305	29,553	29,782	29,782	29,815	29,652	29,502	29,364	29,236
2600	28,570	28,892	29,187	29,458	29,706	29,936	29,936	29,969	29,804	29,653	29,513	29,384
2700	28,711	29,036	29,332	29,604	29,854	30,085	30,085	30,116	29,950	29,797	29,657	29,527
2800	28,847	29,173	29,470	29,743	29,994	30,226	30,226	30,257	30,090	29,936	29,794	29,663

### 3.6-jadval

Dizel yonilg'isi  $\alpha = \dots$  dagi yonish mahsulotlarining o'rtacha  
mol issiqlik sig'mini,  $kDj/(kmol.grad)$

Harorat $^{\circ}\text{C}$	1	1,1	1,2	1,3	1,4	1,5	1,6	1,8	2,0	2,2	2,4	2,6
0	22,184	22,061	21,958	21,870	21,794	21,728	21,670	21,572	21,493	21,428	21,374	21,328
100	22,545	22,398	22,275	22,169	22,078	21,999	21,929	21,812	21,717	21,640	21,574	21,519
200	22,908	22,742	22,602	22,482	22,379	22,289	22,210	22,077	21,970	21,882	21,808	21,745
300	23,324	23,142	22,989	22,858	22,745	22,647	22,560	22,415	22,300	22,202	22,121	22,052
400	23,750	23,554	23,390	23,249	23,128	23,022	22,930	22,774	22,648	22,544	22,457	22,384
500	24,192	23,985	23,811	23,662	23,533	23,421	23,322	23,157	23,023	22,914	22,822	22,743
600	24,631	24,413	24,229	24,073	23,937	23,819	23,716	23,541	23,401	23,285	23,188	23,106
700	25,096	24,840	24,648	24,484	24,342	24,218	24,109	23,927	23,780	23,659	23,557	23,471
800	25,490	25,251	25,050	24,879	24,731	24,602	24,488	24,298	24,144	24,018	23,912	23,822
900	25,896	25,648	25,439	25,261	25,107	24,973	24,855	24,657	24,487	24,366	24,256	24,162
1000	26,278	26,021	25,804	25,620	25,460	25,321	25,199	24,993	24,828	24,692	24,578	24,481
1100	26,641	26,375	26,151	25,960	25,795	25,652	25,525	25,313	25,142	25,001	24,883	24,783
1200	26,987	26,713	26,482	26,286	26,116	25,967	25,837	25,618	25,442	25,296	25,175	25,071
1300	27,311	27,029	26,792	26,589	26,415	26,262	26,128	25,903	25,722	25,572	25,447	25,341
1400	27,618	27,328	27,085	26,877	26,698	26,541	26,404	26,173	25,986	28,833	25,705	25,596
1500	27,907	27,610	27,361	27,148	26,805	26,664	26,427	26,237	26,080	25,948	25,836	25,705

1600	28,175	27,873	27,618	27,400	27,212	27,049	26,905	26,663	26,468	26,308	26,173	26,059
1700	28,432	28,123	27,863	27,641	27,449	27,282	27,135	26,888	26,690	26,526	26,389	26,272
1800	28,669	28,354	28,089	27,863	27,668	27,497	27,348	27,096	26,894	26,727	26,587	26,469
1900	28,895	28,575	28,305	28,076	27,877	27,704	27,552	27,296	27,090	26,921	26,781	26,658
2000	29,107	28,782	28,508	28,275	28,073	27,898	27,743	27,483	27,274	27,102	26,958	26,835
2100	29,310	28,980	28,703	28,466	28,262	28,083	27,926	27,663	27,451	27,276	27,130	27,005
2200	29,503	29,169	28,888	28,648	28,441	28,260	28,101	27,834	27,619	27,442	27,294	27,168
2300	29,680	29,342	29,057	28,815	28,605	28,422	28,261	27,991	27,774	27,595	27,444	27,317
2400	29,851	29,510	29,222	28,976	28,764	28,580	27,471	28,144	27,924	27,743	27,591	27,462
2500	30,011	29,666	29,375	29,127	28,913	28,726	28,562	28,286	28,064	27,881	27,728	27,598
2600	30,164	29,816	29,523	29,272	29,056	28,868	28,702	28,424	28,199	28,015	27,860	27,729
2700	30,311	29,960	29,664	29,412	29,194	29,004	28,837	28,557	28,331	28,144	27,988	27,856
2800	30,451	30,097	29,799	29,546	29,326	29,135	28,966	28,684	28,456	28,269	28,111	27,978

---

## **IV BOB. DVIGATELLARNING HAQIQIY SIKLLARI**

### **4.1. Umumiy holatlar**

Avtomobil va traktor dvigatellarining ekspluatatsiya rejimlari bir-biridan keskin farqlanadi. Yengil avtomobillarning dvigatellari odatda kam yuk (nagruzka)larda, lekin tirsakli val aylanishlar chastotasining katta diapazonlarida ishlaydi. Yuk avtomobillarning dvigatellari kattaroq yukda ishlaydi, tirsakli vali aylanishlar chastotasi o'zgarishining diapazoni kichikroq bo'ladi.

Ekspluatatsiya sharoitida avtomobil dvigatellari yuk, yo'l sharoitlari va harakat tezligiga qarab kam, o'rta va katta aylanishlar chastotasi va yuklarda ishlaydi. Kam, o'rta va katta yuklar va aylanishlar chastotasi deganda nominal 100%ga nisbatan mos ravishda 25, 50 va 75% ga yaqin yuk va aylanishlar chastotalari tushuniladi.

Traktor dvigatellari ekspluatatsiya sharoitida nominalga yaqin bo'lgan 2000 ayl/min ga yaqin yoki undan biroz kattaroq va u regulyator bilan cheklanadi.

Avtomobil va traktor dvigatellarining ekspluatatsiyasi – 4.1-jadvalda keltirilgan.

**4.1-jadval**

Ish rejimi	Dvigatellar	
	Avtomobil	Traktor
Val aylanishlar soni	Minimaldan maksimalgacha o'zgaradi	Deyarli o'zgarmas, maksimalga yaqin
Quvvat o'zgarishi	Keng diapazonda	Tor diapazonda
Quvvatdan foydalanish	To'liq quvvatdan kam foydalilanadi	Deyarli ko'pincha to'liq quvvatdan foydalilanadi
Dvigatelni o't oldirish	Tez-tez	Ora-sira

Avtomobil va traktor ichki yonuv dvigatellarining haqiqiy (ishchi) sikli yuqorida ko‘rilgan nazariy termodynamik sikllardan sezilarli darajada farqlanadi, chunki ularda faraz qilingan ba’zi sharoitlarni real sikllarda bajarib bo‘lmaydi. Agar nazariy siklda gaz tarkibi va miqdori o‘zgarmas deb qabul qilingan bo‘lsa, haqiqiy siklda gazning nafaqat fizikaviy, balki kimyoviy tarkibi ham o‘zgaradi, gaz miqdori doimiy bo‘lmaydi. Haqiqiy sikl tugagandan so‘ng ishlangan gaz o‘zining birlamchi holatiga qaytmaydi, u atmosferaga chiqarib yuboriladi, uning o‘rniga silindrga yangi zaryad (uchqundan o‘t oldiriladigan dvigatellarda yonilg‘i-havo aralashmasi, dizellarda esa havo) kiritiladi.

Yonish tezligining chekliligi va dissotsiatsiya tufayli yonilg‘ining yashirin kimyoviy energiyasi bir onda ajralib chiqmaydi. Kengayish jarayonida (yonib ulgurmagan) yonilg‘i yonishda davom etadi, dissotsiyalangan gazlar assotsiyalanadi, bunda issiqlik ajralib chiqishi davom etadi.

Haqiqiy siklda gazlarning issiqlik sig‘imini o‘zgarmas deb qabul qilib bo‘lmaydi, sikl silindr-gazlarning harorati va tarkibi sezirarli darajada o‘zgaradi. Bundan tashqari haqiqiy siklda qo‘shimcha issiqlik va gidrodinamik yo‘qotishlar mavjud.

#### **4.2. Kiritish va gaz almashish jarayoni**

Ichki yonuv dvigatellarida silindrلarning yangi zaryad bilan to‘lishi kiritishning: dastlabki, asosiy va kech kiritish jarayonlarining majmuasidan tarkib topadi.

Silindr dan ishlangan gazlarni chiqarish va silindrni yangi zaryad bilan to‘ldirish jarayonlari gaz almashish jarayonlari deyiladi. Dvigatel siklida chiqarish va kiritish jarayonlarining davomiyligi va ketma-ketligi klapanlar ochilishining davomiyligi va ketma-ketligi, ya’ni *gaz taqsimlash fazalari* bilan aniqlanadi. Gaz taqsimlash fazalari krivoshipning burchak koordinatalarida va yu.ch.h. va q.ch.h. larga nisbatan graduslarda beriladi.

#### 4.2.1. Dastlabki va asosiy kiritish

**Dastlabki kiritish I** (4.1-rasm, 1-2 yoy) kiritish klapani ochila boshlaganda, yu.ch.h. ga  $10 \div 35^\circ$  ga yetmasdan oldin (4.1-rasmda 1-nuqta) boshlanadi va yu.ch.h. da tugaydi (2-nuqta). Dastlabki kiritishda nadduvsliz dvigatellarda silindrga yangi zaryad kirmaydi. Bu bosqichning vazifasi silindrga gazlar kira boshlanishiga kiritish klapanining mumkin qadar ko'proq ochilishini va natijada asosiy kiritishda silindrga mumkin qadar ko'proq yangi zaryad kirishini ta'minlashdir. Nadduvli dvigatellarda dastlabki kiritishdan silindrлarni produvka (ishlangan qoldiq gazlardan tozalash) qilish uchun foydalilanadi, bu tadbir qoldiq gazlar miqdorini kamaytiradi, yonish kamerasini tashkil qiluvchi detallar haroratini pasaytiradi.

Hisoblashda produvkaning ta'siri tozalash koeffitsiyenti  $\varphi_{toz}$  bilan hisobga olinadi.  $\varphi_{toz}$  qiymati asosan nadduv darajasi, dvigatelning tezlik rejimi va klapanlar qoplashish (barobariga ochiq holatda bo'lish) davrining davomiyligiga bog'liq. Tozalash koeffitsiyenti odatda, nadduvli dvigatellarni hisoblashda hisobga olinadi. produvka bo'limganida  $\varphi_{toz}=1$ , klapanlar qoplashishi davrida silindrлar yonish mahsulotlaridan to'liq tozalanganda  $\varphi_{toz}=0$ .

**Asosiy kiritish** yu.ch.h. da boshlanadi va q.ch.h. da tugaydi, ya'ni  $180^\circ$  davom etadi. U porshen tezligi ortayotganda ( $0^\circ$  dan taxminan  $80^\circ$  gacha)

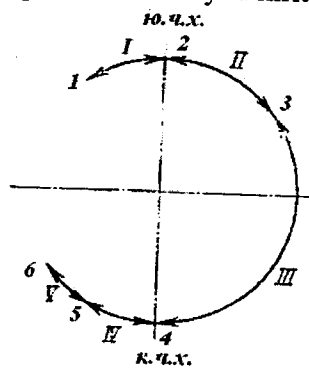
Kiritish va porshen tezligi sekinlashayotganida ( $\sim 80^\circ$  dan  $180^\circ$  gacha) kiritishlardan tarkib topadi.

Porshen tezligi ortayotganda kiritish II (4.1 va 4.2-rasmlar, 2-3 yoy) yu.ch.h. da (2-nuqta) boshlanadi va porshen tezligi maksimal qiymatga yetganida, ya'ni tirsakli val yu.ch.h. dan taxminan  $80^\circ$  ga burilganida, tugaydi (3-nuqta). Porshen yu.ch.h. kiritish tirkishi hali kam ochilganligi sababli silindrga gaz kam kiradi, oldingi sikldan yonish kamerasida qolgan ishlangan gazlar kengayadi va silindrda bosim pasayadi. porshen tezligi orta borgani sari kiritish kollektoridagi gazlar porshen bo'shashayotgan hajmga tobora katta tezlikda kira boshlaydi.

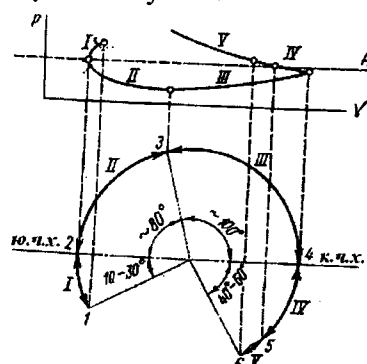
Porshen tezligi sekinlashayotganda kiritish III (4.1 va 4.2-rasmlar, 3-4 yoy) porshen eng katta tezlikka erishganda (3-nuqta) boshlanadi va q.ch.h. da (4-nuqta), porshen tezligi nolga teng bo'lganida tugaydi. Porshen tezligi kamayib borgani sari silindr-ga kirayotgan gaz tezligi biroz sekinlashadi, lekin nolga teng bo'l-maydi. Nadduv�iz dvigatellarda porshen tezligi sekinlashayotganda silindr-ga gaz porshen bo'shatayotgan silindr hajmining ortishi hamda gazlar inertsiyasining ortishi hisobiga kiradi. Bunda silindr-dagi gazlar bosimi asta-sekin ortib boradi.

#### 4.2.2. Kech kiritish

Kech kiritish IV va V (4.1. va 4.2-rasmlar, 4-5 va 5-6 yollar) porshen q.ch.h. (4-nuqta) dan o'tayotganda boshlanadi va kiritish tirqishi berkilgan onda (6-nuqta) tugaydi. Kech kiritish silindr-dagi gazlar hajmi kamayayotganda sodir bo'ladi. Kiritish klapanining kech berkitilishi kiritish tizimidagi gazlarning tezlik bosimi (napor), inertsiyon va to'lqin hodisalaridan foydalanib, dvigatel silindriga yangi zaryadning qo'shimcha massasini kiritish imkonini beradi, bu esa silindr ishchi hajmidan foydalanish darajasini oshiradi. Porshen q.ch.h. dan o'tganidan keyin silindr-ga qo'shimcha zaryad kiritish dozaryadka deyiladi.



4.1-rasm. Kiritish jarayonining davrlari.



4.2-rasm. Kiritish jarayonining indikator diagrammasi.

Val aylanishining kichik sonlarida, masalan dvigatel o't oldi-  
rilayotganda, kiritish kollektordagi gazlarning inertsiyasi deyarli  
bo'lmaydi, shu sababli kech kiritishda silindrda oldin, asosiy  
kiritish paytida kirgan gazlarning bir qismi qaytib chiqadi.

Aylanishlarning o'rtacha sonlarida gazlarning inertsiyasi kat-  
taraoq bo'ladi, shuning uchun porshen haroratining boshlanishida  
dozaryadka bo'ladi. Lekin porshen ko'tarilgani sari silindrda  
siqilayotgan gazlarning bosimi ortib boradi va boshlangan doza-  
ryadka tugab, silindrda kirgan gazlar qaytib chiqaboshlaydi.

Valning katta aylanishlar sonida kiritish kollektordagi gazlar  
oqimining inertsiyasi katta bo'ladi, shuning uchun dozaryadka  
intensiv bo'ladi, gazlarning silindrda qaytib chiqishi esa sodir  
bo'lmaydi. Shunday qilib, valning har xil aylanishlar sonida kech  
kiritishda: gazlarning faqat qaytib chiqishi; dastlab dozaryadka,  
so'ngra esa qaytib chiqish; faqat dozaryadka bo'lishi mumkin.

Dozaryadka IV q.ch.h. da boshlanadi va 5 nuqtada tugaydi  
(4.2-rasm), 5 nuqtada dozaryadka qaytib chiqish V ga aylanadi va  
qaytib chiqish kiritish klapani yonadigan on (6 nuqta) da tugaydi.

Val aylanishlar chastotasi o'zgarganda dvigateldagi doza-  
ryadka tugab, qayta chiqarish boshlanadigan on o'zgaradi. Kichik  
aylanishlar sonida dozaryadka qaytib chiqishga erta, ya'ni q.ch.h.  
ga yaqin holatda, katta aylanishlar chastotasida esa kech aylanadi.

Bir siklda silindrda kiradigan yangi zaryadning summar  
miqdori G sikl:

$$G_{\text{sikl}} = G_{\text{asosiy}} + G_{\text{dozaryadka}} - G_{\text{qaytib chiqish}}$$

G sikl asosan kiritish jarayonining oxirida silindrda gaz-  
larning bosimi  $r_a$  va harorati  $T_a$  hamda dozaryadka bilan qaytib  
chiqishga bog'liq.

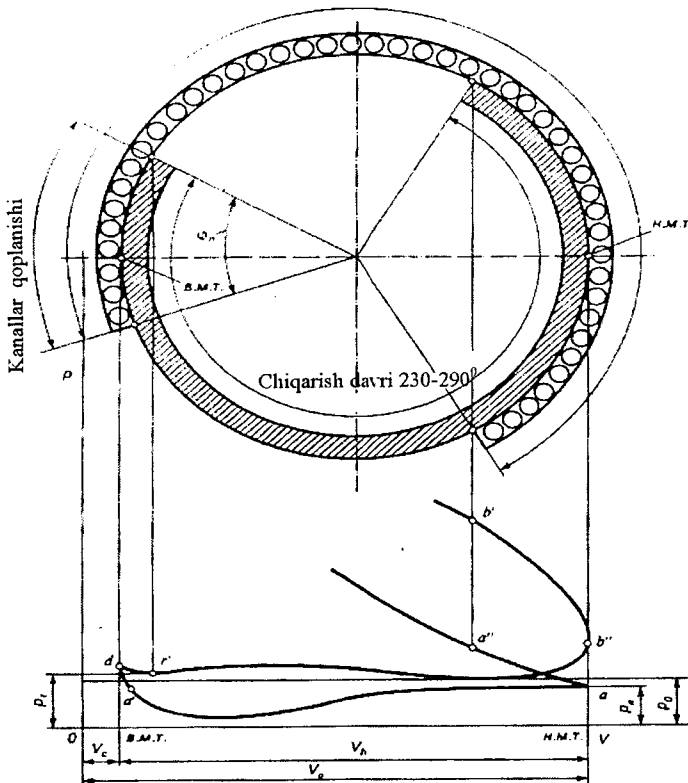
Dozaryadkaning kiritish jarayoni parametrlariga ta'sirini  
hisoblashda dozaryadka koeffitsiyenti  $\varphi_{\text{doz}}$  orqali hisobga olinadi.

$$\varphi_{\text{doz}} = G_{\text{sikl}}/G_{\text{asosiy}}$$

Silindr ishchi hajmining yangi zaryad bilan dozaryadkasi  
asosan gaz taqsimlash fazalarini (birinchi navbatda kiritish kla-

pani berqilishining kechikish burchagi qiymatini) mos ravishda to‘g‘ri tanlashga, kiritish traktining uzunligiga va tirsakli val aylanishlar chastotasiga bog‘liq. Prof. I.M. Lenin ma‘lumotlari bo‘yicha yuqorida qayd etilgan parametrlar to‘g‘ri tarqalganda dvigatelning nominal ish rejimida dozaryadka 12–15% ga ya’ni,  $\varphi_{doz} = 1,12–1,15$  ga yetishi mumkin. Lekin aylanishlar chastotasi kamayganda dozaryadka koefitsiyenti kamayadi, aylanishlar minimal chastotasida esa dozaryadka o‘rniga qaytib chiqishi bo‘ladi, uning qiymati 5–12% ga yetadi, ya’ni  $\varphi_{doz} = 0,95–0,88$  ga tenglashadi.

Kiritkich davri  $230\text{--}290^{\circ}$



4.3-rasm. 4 taktili dvigatel gaz taqsimlanishi fazalarining doiraviy diagrammasi.

Zamonaviy tezyurar dvigatellarda kiritish klapani porshen yu.ch.h. ga  $10-35^\circ$  yetmasdan ochila boshlaydi, berkilishi esa – q.ch.h. dan  $40-85^\circ$  o‘tgandan keyin sodir bo‘ladi. Chiqarish klapani porshen yu.ch.h. dan  $10-30^\circ$  o‘tgandan keyin yopiladi. Gaz taqsimlash fazalarinin diagrammasi 4.3-rasmida tirsakli val burilish burchagi bo‘yicha doiraviy diagramma ko‘rinishida chiqarish va kiritish jarayonlarining indikatori diagrammasiga bog‘lab keltirilgan.

Kiritish va chiqarish traktlarining asosiy geometrik o‘lchamlari va kompanovka sxemalari tajribaviy ma’lumotlar asosida o‘rnatalidi va dvigatel yangi modelining eksperimental sinovida albatta aniqlashtiriladi.

**Gaz taqsimlanish fazalari, kiritish traktining asosiy geometrik o‘lchamlari va printsipial sxemalarini hamda boshlang‘ich sharoitlar – atrof-muhit, ishlangan gazlar va yangi zaryad haroratlari va bosimlarini to‘g‘ri tanlash – yangi dvigatelning muvaffaqiyatini hisoblash, uni yaratish imkonini beradi.**

#### **4.2.3. Kiritish jarayonida silindrga kiradigan yangi zaryad hajmi**

Kiritish jarayonida silindrga kirayotgan yangi zaryad qoldiq gazlar bilan muntazam aralashib boradi. Lekin qoldiq gazlar yangi zaryaddan izolyatsiya qilingan-ku, ammo ular bilan bosimi va harorati bir xil deb faraz qilib, qoldiq gazlarning o‘zi alohida egallaydigan hajjni ko‘rib chiqish mumkin.

Yangi zaryadni kiritish jarayonida silindrda gazlar bosimi  $R_r$  dan  $R_a$  ga pasayadi (4.4-rasm), natijada qoldiq gazlar hajmi  $V_r$  dan  $V_r^I$  gacha ortadi, harorati esa  $20-40\ ^\circ C$  ga pasayadi. Silindrga yangi zaryad kirgani sari, qoldiq gazlar ularga o‘z issiqligining bir qismini berib soviydi, natijada ularning hajmi kamayadi ( $r^I, r^{II}$  chiziq). Porshen q.ch.h. ga kelganida qoldiq gazlarning keltirilgan hajmi  $V_r^{II}$ , yonish kamerasi hajmining taxminan yarmini tashkil qiladi.

Natijada yangi zaryad egallagan hajmi quyidagiga teng bo‘ladi

$$V_{ya.z.} = V_h + 0,5V_c$$

$$\varepsilon = (V_h + V_s) \quad V_s \text{ va } V_s = V_h / (\varepsilon - 1)$$

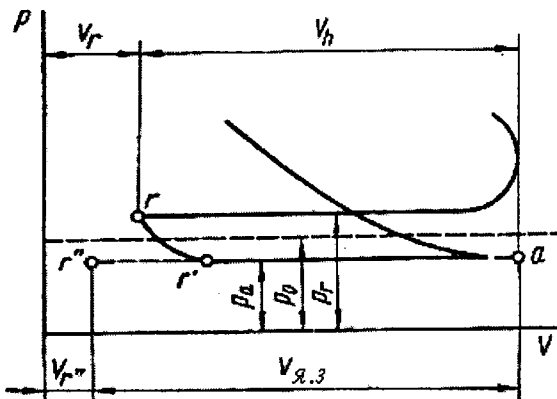
bo'lganligidan,

$$V_{ya.z.} = V_h + 2,5 V_h (\varepsilon - 1) = V_h (\varepsilon - 0,5) / (\varepsilon - 1)$$

yoki

$$V_{ya.z.} = V_h \cdot \delta$$

bu yerda  $\delta = (\varepsilon - 0,5) / (\varepsilon - 1)$ ; yoki  $\delta = 1,08 - 1,03$ , ya'ni silindrda yangi zaryad hajmi uning ishchi hajmidan 3-8% ga katta bo'ladi.



4.4-rasm. Kiritish jarayonining indikator diagrammasi.

#### 4.2.4. Kiritish jarayonini tavsiflovchi parametrlarni aniqlash

**Atrof-muhit bosimi va harorati.** Dvigatel nadduv siz ishlaganda silindrda havo atmosferadan kiradi. Bu holda dvigatelinning ishchi sikli hisoblanganda atrof-muhit bosimi  $r_0 = 0,1$  MPa, harorati esa  $T_0 = 273$  K ga teng deb qabul qilinadi.

Avtomobil va traktor dvigatellari nadduv bilan ishlaganda silindrda havo kompressordan keladi, u yerda havo siqiladi. Bunga mos ravishda nadduvli dvigatel ishchi sikli hisoblanganda atrof-muhit bosimi va harorati kompressordan chiqayotgan havo-

ning bosimi  $r_k$  va harorati  $T_k$  ga teng deb qabul qilinadi. Oralig sovutkichi bo'lganida havo kompressordan dastlab sovutkichiga, so'ngra dvigatel silindriga keladi. Bu holda atrof-muhit bosimi  $r_k$  va harorati  $T_k$  sifatida sovutkichdan chiqayotgan havo bosimi va harorati olinadi.

Nadduv darajasiga qarab nadduv havosi bosimining quyidagi qiymatlari olinadi:

past nadduvda.....	$1,5 r_0;$
o'rta nadduvda.....	$(1,5-2,2)r_0;$
yuqori nadduvda.....	$(2,2-2,5)r_0.$

Kompressordan chiqishda havo harorati

$$T_k = T_0 \left( p_k / p_0 \right)^{(n_k - 1) / n_k}, \quad (4.1)$$

bu yerda  $n_k$  – kompressorda havo siqilishi politropasining ko'rsatkichi.

(4.1) ifodadan quyidagi xulosa chiqadi: nadduv havosining harorati kompressordagi bosim ortishi darajasi va siqish politropasining ko'rsatkichiga bog'liq.

Nadduv aggregatining turi va sovitish darajasiga qarab tajribaviy ma'lumotlar bo'yicha  $n_k$  ning qiymatini quyidagicha qabul qilihadi:

porshenli kompressorlar uchun.....	$1,4-1,6;$
hajmiy kompressorlar uchun.....	$1,55-1,75;$
o'qli va markazdan qochirma kompressorlar uchun.....	$1,4-2,0.$

$T_k$  haroratini quyidagi ifodadan aniqlash mumkin

$$T_k = T_0 \left[ 1 + \frac{\left( p_k / p_0 \right)^{(k-1)k} - 1}{\eta_{ad.k}} \right], \quad (4.2)$$

bu yerda  $\eta_{ad.k}=0,66-0,80$  – kompressorining adiabatik f.i.k.

**Qoldiq gazlar bosimi.** Chiqarish jarayonidan keyin dvigatel silindrning yonish kamerasida doim ma'lum bir miqdorda *qoldiq gazlar* qoladi. Qoldiq gazlar bosimi klapanlar soni va joylashishi,

kiritish va chiqarish traktlarining qarshiliklari, gaz taqsimlanish fazalari, nadduv xarakteri, dvigatel tez yuruvchanligi, yuki, sovitish tizimi va boshqa omillarga bog'liq.

Nadduv siz hamda nadduvli bo'lib, ishlangan gazlar atmosferaga chiqariladigan dvigatellar uchun qoldiq gazlar bosimi (MPa)

$$p_r = (1,05 - 1,25)p_0.$$

Tirsakli val aylanishlar chastotasi katta bo'lgan dvigatellar uchun  $r_k$  ning katta qiymatlari olinadi. Yonilg'i bevosita purkala digan va ta'minlash tizimi elektron boshqariladigan dvigatellarda  $r_k$  qiymatlari kichik bo'ladi.

Nadduvli va chiqishda gaz turbinasi bo'lgan dvigatellar uchun

$$p_r = (0,75 - 0,98)p_k.$$

Tirsakli val aylanishlar chastotasi kamayganda qoldiq gazlarning bosimi sezilarli darajada pasayadi.

Dvigatelning har xil tezlik rejimlarida va nominal rejimda  $r_r$  ning tanlangan qiymatida qoldiq gazlar bosimini quyidagi taxminiy formula yordamida aniqlash mumkin

$$p_r = p_0(1,035 + A_r 10^{-8} p^2),$$

bu yerda  $A_r = (r_{rN} - 1,035 p_0) \cdot 10^8 / (r_0 p_N^2)$ ;  $r_{rN}$  – nominal rejimda qoldiq gazlar bosimi, MPa;  $n_N$  – nominal rejimda tirsakli val aylanishlar chastotasi,  $\text{min}^{-1}$ .

**Qoldiq gazlar harorati.** Qoldiq gazlar harorati asosan yonish jarayonida ajralib chiqadigan issiqlik miqdoriga (ya'ni dvigatel yukiga), siqish darajasiga, aylanishlar chastotasiga, aralashma tar-kibiga bog'liq.

Dvigatel turi, siqish darjasasi, aylanishlar chastotasi va havo ortiqligi koeffitsiyentiga qarab, qoldiq gazlar harorati quyidagi oraliqlarda bo'ladi:

uchqundan alangalanadigan dvigatellar

uchun.....900–1100 K;

dizellar uchun.....600–900 K;

gazli dvigatellar uchun.....750–1000 K.

$T_r$  qiymatini tanlashda shu narsaga e'tibor berish kerak-ki, siqish darjasasi ortganda va ishchi aralashma boyiganida qoldiq

gazlar harorati pasayadi, aylanishlar chastotasi kattalashganda esa ortadi.

**Yangi zaryad qizish harorati  $\Delta T$ .** Kiritish jarayonida silindrga kirgan yangi zaryad dvigatelning qizigan detallariga tegib va qoldiq gazlar bilan aralashib qiziydi.  $\Delta T$  kiritish trubo-provodi joylashish va konstruksiyasi, sovitish tizimi, qizishiga to‘plangan maxsus qurilmaning mavjudligi, dvigatel tez yurarligi va nadduvga bog‘liq. Haroratning ko‘tarilishi yonilg‘i bug‘lanishi jarayonini yaxshilaydi, lekin yangi zaryad zichligini kamaytiradi va natijada silindr to‘lishiga salbiy ta’sir qiladi. Qizish harorati ko‘tarilishi natijasida paydo bo‘ladigan bu ikki qarama-qarshi omillari  $\Delta T$  qiymatini tanlashda inobatga olinishi lozim.

Dvigatel turiga qarab  $\Delta T$  qiymatlari quyidagicha topiladi:

uchqundan alangalanadigan dvigatellar

uchun..... $0-20^\circ$ ;

nadduvsiz dizellar uchun..... $10-40^\circ$ ;

nadduvli dvigatellar uchun..... $(-5) - (+10)^\circ$ .

Nadduvli dvigatellarda yangi zaryadning qizishi dvigatel detallari harorati va nadduv havosi harorati orasidagi farq kamayishi tufayli pasayadi. Nadduv havosining harorati sezilarli ko‘tarilganda  $\Delta T$  ning qiymati manfiy ham bo‘lishi mumkin.

Taxminiy hisoblarda dvigatel tezlik rejimiga qarab  $\Delta T$  qiymatining o‘zgarishi quyidagi formuladan aniqlanishi mumkin

$$\Delta T = A_T (110 - 0,0125n), \quad (4.4)$$

bu yerda  $A_T = \Delta T_N / (110 - 0,0125n_N)$ ;  $\Delta T_N$  va  $n_N$  – mos ravishda dvigatel nominal rejimda ishlaganida qizish harorati va tirsakli valning aylanishlar chastotasi.

**Kiritish oxirida gazlar bosimi.** Kiritish oxiridagi bosimi (MPa) – dvigatel silindriga kirgan ishchi jism miqdorini belgilovchi asosiy omildir:

$$p_a = p_k - \Delta p_a \quad \text{yoki} \quad p_a = p_0 - \Delta p_a \quad (4.5)$$

Kiritish tezligi qarshiligi va silindrda zaryad harakati tezligining so'nishi hisobiga bosim yo'qotilishi  $\Delta r_a$  ni ma'lum yaqinlashuvda Bernulli tenglamasida aniqlash mumkin:

$$\Delta p_a = (\beta^2 + \xi_{kir}) (\omega_{kir}^2 / 2) \rho_k \cdot 10^{-6}, \quad (4.6)$$

bu yerda  $\beta$  – silindrning ko'rileyotgan kesimida zaryad harakati tezligi so'nishining koeffitsiyenti;  $\xi_{kir}$  – eng tor kesimga nisbatan olinan kiritish tezligining qarshilik koeffitsiyenti;  $\omega_{kir}$  – kiritish tezligining eng tor kesimida zaryad harakatining o'rtacha tezligi (oda'tda klapan tirqishida yoki purkovchi darchalarda);  $\rho_k$  va  $\rho_0$  – mos ravishda nadduvda va nadduv bo'lmaganida ( $r_k=r_0$  va  $\rho_k=\rho_0$  da) kirishda zaryad zichligi.

Tajribaviy ma'lumotlar bo'yicha zamonaviy avtomobil dvigatellarda nominal ish rejimida  $(\beta^2 + \xi_{KIR})=2,5-4,0$  va  $\omega_{vp}=50-130$  m/s. Elektron purkagichli dvigatellar uchun karbyurator bo'lmaganligi sababli  $(\beta^2 + \xi_{KIR})$  qiymatlari kichikroq olinadi.

Tish kesimlari kattalashtirilganda, klapanlarga silliq (oqib o'tadigan) shakl berilganda, kiritish tizimining ichki sirtlari aniqlanganda gaz taqsimlash gidravlik qarshiligi kamayadi.

Kiritishda zaryad zichligi [kg/m<sup>3</sup>]

$$\rho_k = p_k \cdot 10^6 / (R_x T_k) \quad \text{yoki} \quad \rho_0 = p_0 \cdot 10^6 / (R_x T_0), \quad (4.7)$$

bu yerda  $R_H$  – havoning solishtirma gaz doimiysi:

$$R_x = R / \mu_x = 8315 / 28,96287 \text{ Dj/(kg · grad)} \quad (4.8)$$

bu yerda  $R=8315 \text{ Dj/(kmol · grad)}$  – universal gaz doimiysi.

Kiritish tizimining eng kichik kesimida zaryad harakatining o'rtacha tezligi

$$\omega_{kir} = v_{n_{max}} \frac{F_p}{f_{vp}} = \frac{\pi R}{30} n \sqrt{1+\lambda^2} \cdot \frac{\pi D^2}{4 f_{kir}} = n \frac{R \cdot \pi^2 D^2}{120 f_{kir}} \sqrt{1+\lambda^2} = A_n n \quad (4.9)$$

bu yerda  $F_n$  – porshen yuzasi,  $\text{m}^2$ ;  $f_{\text{kir}}$  – kiritish tezligi eng kichik kesmining yuzasi,  $\text{m}^2$ ;  $R$  va  $D$  – mos ravishda krivoshin radiusi va porshen diametri, m;  $\lambda = R/L_{\text{sh}}$  – krivoshin radiusining shatun uzunligiga nisbatli;  $n$  – tirsakli valning aylanishlar chastotasi,  $\text{min}^{-1}$ ;

$$A_n = \left( R \cdot \pi^2 D^2 n \sqrt{1 + \lambda^2} \right) / 120 f_{\text{kir}}.$$

(4.9) ni (4.6) formulaga qo'yib, quyidagini olamiz

$$\Delta p_a = (\beta^2 + \xi_{\text{kir}}) (A_n^2 n^2 / 2) \rho_k \cdot 10^{-6}. \quad (4.10)$$

Nadduvlilik to'rt takli dvigatellarda  $\Delta r_a$  qiymati quyidagi oraliqda o'zgaradi:

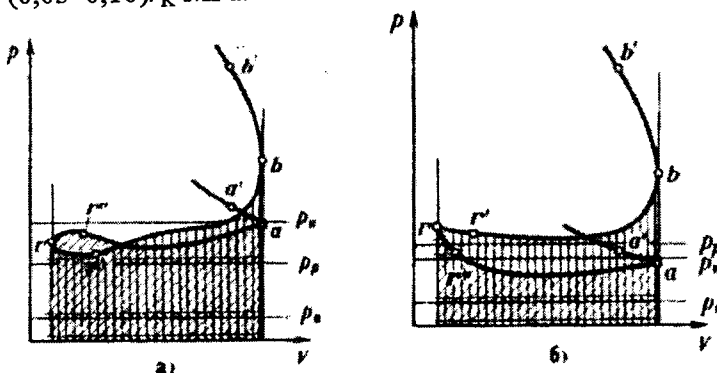
uchqundan alangananadigan

dvigatellarda..... $(0,05-0,20)r_0$ ;

nadduvlilik dizellarda..... $(0,03-0,18)r_0$ .

Bir xil aylanishlar chastotasida dizellarda benzinli dvigatellarga nisbatan  $\Delta r_a$  qiymati biroz kichikroq bo'ladi, sababi-karburator mavjud emasligi va kiritish tezligining ancha soddaligi tufayli gidravlik qarshilik biroz pasayadi.

Nadduvli dvigatel ishlaganda  $r_a$  qiymati  $r_K$  ga biroz yaqinlashadi (4.5, a,b,-rasm), lekin kiritish tizimida qarshiliklarning absolyut qiymatlari ortadi. Nadduvli to'rt takli dvigatellar uchun  $\Delta r_a = (0,03-0,10)r_K \text{ MPa}$ .



4.5-rasm. Nadduvli to'rt takli dvigatel gaz almashish jarayonlarining indikator diagrammasi:

a –  $r_K/r_R > 1,0$  ( $r_R$  – chiqarish klapani ortidagi bosim);

b –  $r_K/r_R < 1,0$ .

**Qoldiq gazlar koeffitsiyenti.** *Qoldiq gazlar koeffitsiyenti*  $\gamma_f$  silindrni yonish mahsulotlaridan tozalashni tavsiflaydi. U silindrda qolgan gazlar miqdori  $G_r$  ning silindrga kirgan yangi zaryad miqdori  $G$  yangi zaryadga bo'lgan nisbatini ifodalaydi,  $\gamma_f = G_r/G$  yangi zaryad. U ortishi bilan kiritish jarayonida dvigatel silindriga kiradigan yangi zaryad miqdori kamayadi.

To'rt taktli dvigatellar uchun qoldiq gazlar koeffitsiyenti: silindr produvksi va dozaryadkani hisobga olganda

$$\gamma_r = \frac{T_k + \Delta T}{T_r} \frac{\varphi_{toz} p_r}{\varepsilon \varphi_{doz} p_a - \varphi_{toz} p_r}; \quad (4.11)$$

produvka va dozaryadka hisobga olinmaganda ( $\varphi_{toz} = \varphi_{doz} = 1$ )

$$\gamma_r = \frac{T_k + \Delta T}{T_r} \frac{p_r}{\varepsilon p_a - p_r}, \quad (4.12)$$

bu yerda  $\varepsilon$  – siqish darajasi;  $\varphi_{toz}$  – tozalash koeffitsiyenti.

To'rt taktli dvigatellarda  $\gamma_f$  qiymati siqish darajasiga, kiritish oxirida ishchi jism parametrlariga, aylanishlar chastotasi va boshqa omillarga bog'liq. Siqish darajasi  $\varepsilon$  va qoldiq gazlar harorati  $T_r$  ortganda  $\gamma_f$  miqdori kamayadi, qoldiq gazlar bosimi  $r_r$  va aylanishlar chastotasi n ortganda – kattalashadi.

$\gamma_f$  qiymati quyidagi oraliqlarda o'zgaradi:

nadduv siz benzinli va gazli

dvigatellarda ..... 0,04–0,10;

nadduv siz dizellarda ..... 0,02–0,05.

Nadduvda qoldiq gazlar koeffitsiyenti kichiklashadi.

### Kiritish oxirida harorat

Silindrga kirgan yangi zaryad dvigatel detallaridan qiziydi ( $\Delta T$ ) va bundan tashqari issiqlikning sezilarli miqdorini qaynoq qoldiq gazlardan oladi. 1% qoldiq gazlar yangi zaryadni taxminan  $8^\circ$  ga qizitadi deb qabul qilish mumkin, u holda kiritish

## oxirida gazlar harorati

$$T_a \approx T_0 + \Delta T + 8\gamma_r.$$

Kiritish oxiridagi harorat qoldiq gazlarning solishtirma miqdoriga bog'liq; ular ko'payishi bilan yangi zaryad ko'proq qiziydi. Shu sababli siqish darajasining kattaligi va qoldiq gazlarning kamligi bilan dizellarda kiritish oxiridagi harorat 75 °C dan deyarli ortmaydi.

Benzinli dvigatellarda darajasi to'sig'i to'liq ochiq bo'lganda kiritish oxiridagi harorat 75–125 °C oralig'ida bo'ladi. Drossel-langanda qoldiq gazlar miqdori deyarli o'zgarmaydi, silindrga kirayotgan yangi zaryad miqdori esa keskin kamayadi, natijada kiritish oxiridagi harorat ko'tariladi.

Kiritish oxiridagi harorat ( $T_a$  K da) yetarli darajadagi aniqikda kiritish chizig'i bo'ylab  $r$  nuqtadan  $\alpha$  nuqtagacha (4.5-rasm) tuzilgan issiqlik balansi tenglamasi asosida aniqlanishi mumkin:

$$M_1 \left( mc_p \right)_{t_0}^k (T_k + \Delta T) + M_r \left( mc_p \right)_{t_0}^r T_r = (M_1 + M_r) \left( mc_p \right)_{t_0}^a T_a, \quad (4.13)$$

bu yerda  $M_1 \left( mc_p \right)_{t_0}^k (T_k + \Delta T)$  – zaryadning devorlardan qizishi hisobiga olingan holda yangi zaryad keltirgan issiqlik miqdori;  $M_r \left( mc_p \right)_{t_0}^r T_r$  – qoldiq gazlardagi issiqlik miqdori;  $(M_1 + M_r) \left( mc_p \right)_{t_0}^a T_a$  – ishehi aralashmadagi issiqlik miqdori.

(4.13) – tenglamada  $\left( mc_p \right)_{t_0}^k = \left( mc_p \right)_{t_0}^r = \left( mc_p \right)_{t_0}^a$  deb qabul qilamiz, u holda:

$$T_a = (T_k + \Delta T + \gamma_r T_r) / (1 + \gamma_r). \quad (4.14)$$

$T_a$  qiymati asosan ishchi jism harorati, qoldiq gazlar koefitsiyenti, yangi zaryad qizishi darajasi va kam darajada qoldiq gazlar haroratiga bog'liq.

Zamonaviy to'rt taktsi dvigatellarda kiritish oxiridagi harorat  $T_a$  quyidagi oraliqlarda o'zgaradi:

benzinli dvigatellarda.....	320–370 K;
dizellarda.....	310–350 K;
nadduvli to'rt takti dvigatellarda.....	320–400 K.

### To'lish koeffitsiyenti

*To'lish koeffitsiyentining ta'rifi.* Silindrga kiritish jarayonida qancha ko'p yangi zaryad kirsa, bir siklda olingan ish shunchalik katta bo'ladi. Turli dvigatellarda silindrlerarga kirgan yangi zaryad miqdori har xil bo'ladi, chunki bu miqdor asosan ishchi hajm bilan aniqlanadi; shuning uchun ishchi hajm katta bo'lgan dvigatellarga doim ko'p yangi zaryad kiradi. Shu sababli silindrga kiyadigan yangi zaryad miqdori gaz almashinish jarayonlari takomilligining mezoni bo'lmaydi, chunki u silindr o'chamlariga kiritish truboprovodidagi havo (yoki aralashma) parametrlariga bog'liq.

Turli dvigatellar silindrlerining miqdoriy to'lishini nisbiy birlklarda, masalan foizlarda qiyoslash qulay. *To'lish koeffitsiyenti* deb silindrga amalda kirgan yangi zaryad miqdori  $G_h$  ning nazariy sharoitlarda (silindrda harorat va bosim atrof-muhit harorati va bosimiga tenglashgan)  $V_h$  ishchi hajmni to'ldirishi mumkin bo'lgan nazariy zaryad miqdori  $G_0$  ga bo'lgan nisbatga aytildi:

$$\eta_v = \frac{G_x}{G_0} = \frac{M_x}{M_0} = \frac{G_x}{(\rho_k V_h)}. \quad (4.15)$$

Cheklangan hajmdagi gaz uchun Klayperon tenglamasidan  $p_k V_h = G_x R T_k$  dan

$$G_x = p_k V_h / (R T_k) = \rho_k V_h \quad (4.16)$$

u holda (4.15)  $\eta_v = \frac{G_x}{(\rho_k V_h)}$  ko'rinishga ega bo'ladi.

Gaz holati tenglamasini  $p_k V_h = M_x R_\mu T_k$  (kilomollarda) ko'rinishida yozamiz, u holda:

$$M_x = p_K V_h / (R_\mu T_K) = \rho_K \mu V_h, \quad (4.17)$$

bu yerda  $R_\mu = 8,3144 \text{ kDj/(kmol}\cdot\text{K)}$  – gazning molyar (universal) doimiysi.

Gaz almashinish jarayonini muvozanatlangan (равновесный) deb qarab, *zarayadning nazariy miqdori* haqida tushuncha hosil qilish mumkin. Agar porshenning tezligi cheksiz kichik, silindr devorlari esa mukammal issiqlik izolyatsiyasiga ega bo'lsa, to'lishda silindrda bosim kollektordagi bosimga teng, zaryad devoridan qizimaydi va u qoldiq gazlar bilan aralashmasa, uning harorati kiritish klapanlari ortidagi harorat  $T_k$  ga teng bo'ladi. Muvozanatlangan chiqarish jarayonining oxirida (to'rt taktli dvigatellarda yu.ch.h. da) silindrda bosim chiqarish truboprovodidagi bosimga, nadduvsiz porshenli dvigatellarda esa atmosfera bosimida yonish kamerasi hajmi  $V_s$  ga teng hajmni egallaydi.

Porshenli dvigatel to'lish koeffitsiyenti nazariy zaryad miqdorini atmosfera bosimi va haroratida hisoblab aniqlanadi va (4.15) ifoda quyidagi ko'rinishda yoziladi.

$$\eta_V = G_x / (\rho_{\text{atm}} V_h) = M_x / (\mu p_{\text{atm}} V_h). \quad (4.18)$$

Haqiqiy zaryad massasi odatda nazariy massadan kichik, to'lish koeffitsiyenti esa birdan kichik bo'ladi. Lekin ma'lum sharoitlarda to'lish koeffitsiyenti birdan katta bo'lishi mumkin.

*Haqiqiy yo'naliish jarayonida silindrda kirgan yangi zaryad miqdorini belgilovchi asosiy omillarni qayd qilamiz.*

Kiritish oxirida (q.ch.h. da) silindrda bosim  $r_a$ , odatda, kiritish kanali va kiritish klapani tirqishidagi gidravlik qarshiliklar tufayli kiritish truboprovodidagi bosim  $r_k$  dan kichik bo'ladi.

Kiritish oxirida silindrda yangi zaryad harorati gaz devorlaridan qizish hisobiga kiritish truboprovodidagi harorat  $T_k$  dan yuqori bo'ladi.

Qoldiq gazlar hajmi ko'p hollarda (4.16) formula bo'yicha nazariy zaryad massasi hisoblanganda qabul qilingan hajmdan,

ya'ni yonish kamerasi hajmidan, katta bo'ladi.

To'lish koefitsiyenti quyidagi hollarda:

- silindr produvka qilinganda - qoldiq gazlar hajmi (to'rt taktli dvigatelda) yonish kamerasi hajmidan kichik bo'lganda;
- kiritish (va chiqrish) truboprovodidagi to'lqin hodisalari natijasida kiritish oxirida silindrda bosim kiritish truboprovodidagi o'rtacha bosimdan yuqori bo'lganda bordan katta bo'lishi mumkin.

### To'lish koefitsiyentini hisoblash

Dozaryadka oxiri (siqish boshlanishi)da silindrda iishchi jism  $M_1$  kmol yangi zaryad va  $M_r$  kmol qoldiq gazlar aralashmasidan tarkib topadi:

$$M_a = M_1 + M_r = M_1 \left( 1 + \frac{M_r}{M_1} \right) = M_1 (1 + \gamma_r)$$

Q.ch.h. da silindrda gazlar parametrlari  $r_a$  va  $T_a$  ma'lum deb, Klayperon-Mendeleyev tenglamaridan q.ch.h. da silindrning  $V_a$  hajmidagi gazlar aralashmasi miqdorini aniqlaymiz:

$$p_a V_a = M_a R_\mu T_a.$$

U holda:

$$M_1 = \frac{M_a}{1 + \gamma_r} = \frac{p_a V_a}{R_\mu T_a (1 + \gamma_r)}. \quad (4.19)$$

$$V_a / V_h = V_a / (V_a - V_c) = 1 / (1 - V_c / V_a) = 1 / (1 - 1/\varepsilon) = \varepsilon / (\varepsilon - 1)$$

ifodani hisobga olib, (4.19) va (4.17) ifodalarni (4.15) ga qo'yib to'lish koefitsiyentini olamiz.

$$\eta_v = [\varepsilon / (\varepsilon - 1)] p_a T_K / [p_k T_a (1 + \gamma_r)]. \quad (4.20)$$

Ba'zi algebraik o'zgarishlarni bajarib, (4.20) ifodani tahlil uchun qulay ko'rinishga keltiramiz:

$$\eta_v = \frac{T_k}{T_k + \Delta T} \frac{1}{\varepsilon - 1} \frac{1}{p_k} (\varepsilon p_a - p_r). \quad (4.21)$$

To'rt taktli dvigatellar uchun silindr produvkasi va dozar-yadkani hisobga olinganda, bu ifoda quyidagi ko'rinishga ega bo'ladi.

$$\eta_v = \frac{T_k}{T_k + \Delta T} \frac{1}{\varepsilon - 1} \frac{1}{p_k} (\varphi_{doz} \varepsilon p_a - \varphi_{loz} p_r). \quad (4.22)$$

To'lish koeffitsiyentining qiymati asosan dvigatel taktiga, uning tezyurarligiga va gaz taqsimlash tizimining takomillash-ganligiga bog'liq.

(4.21) va (4.22) ifodalardan shuni xulosa qilish mumkin: to'lish koeffitsiyenti kiritish oxiridagi bosim kattalashganda ortadi va chiqish bosimi ishchi aralashma harorati ko'tarilganda pasaya-di.

Turli avtomobil va traktor dvigatellari to'liq yukda ishlaganda to'lish koeffitsiyenti  $\eta_v$  ning qiymatlari quyidagi oraliqlarda bo'ladi:

elektron purkagichli dvigatellar uchun.....	0,80–0,96
karbyuratorli dvigatellar uchun.....	0,70–0,90
nadduvsız dizellar uchun.....	0,80–0,94
nadduvli dizellar uchun.....	0,80–0,97

### Dvigatel sinovida to'lish koeffitsiyentini aniqlash

Porshenli to'rt taktli dvigatelda produvka bo'lmaydi, shuning uchun bir siklda silindrga kirgan havo (yoki aralashma) yangi zaryad miqdoriga teng bo'ladi va uning miqdorini dvigateldagi havo sarfini va tirsakli val aylanishlar chastotasi  $n$  (ayl/ min)ni o'chab aniqlash mumkin. Havoning massaviy sarfi  $G_k$  (kg/s)ni sikllar chastotasi  $f_{sikl}(s^{-1})$  va dvigateldagi silindrler soni  $i$  ga bo'lib, yangi zaryad massasi aniqlanadi:

$$f_{sikl} = n / (60\tau / 2), \quad (4.23)$$

$\tau$  – bir sikldagi taktlar soni.

U holda

$$G_{\text{sikl}} = 30G_k \tau / in. \quad (4.24)$$

(4.24) va (4.16) ifodani (4.15) ga qo'yib quyidagi ifodani olamiz

$$\eta_V = 30G_k \tau / (\rho_k V_h i n) \quad \text{éksi} \quad \eta_V = 30G_k \tau / (\rho_0 i V_h n), \quad (4.25)$$

bu yerda  $G_k$  – dvigateldagi havo sarfi, kg/s;  $V_h$  – ishchi hajm,  $m^3$ .

To'lish koeffitsiyentini aniqlash uchun kiritish kollektoridagi havo (yoki aralashma) ning bosimi  $r_k$  va harorati  $T_k$  larni (kombinatsiyalashgan dvigatel sinalayotganda) yoki binodagi havoning bosimi va haroratini (porshenli dvigatel sinalayotganda) o'lhash zarur.

#### 4.2.5. Konstruktiv va ekspluatatsion omillarning silindr to'lishiga ta'siri

##### Kech kiritishda dozaryadka va qaytib chiqish

Asosiy kiritishda silindrga kirgan yangi zaryad miqdori

$$G_{\text{asosiy}} = [p_a V_h / (RT_a)] \delta.$$

Porshen q.ch.h. ga kelganida gaz (aralashma yoki havo) kiritish truboprovodida hali harakatini davom etirayotgan bo'ladi. Bu gaz ma'lum inertsiyaga ega bo'ladi, bu inertsiyadan q.ch.h. dan keyin silindrga qo'shimcha gaz kiritish maqsadida foydalanish mumkin. Shu sababli hamma ichki yonuv dvigatellarida kiritish klapani yonilishni q.ch.h. dan keyinga kechiktirib, kiritish jarayonini cho'zishadi. Aylanishlar soni katta bo'lganda bu davrda silindrga yangi zaryad kirishda davom etadi, kichik aylanishlar sonida esa gaz oqimining inertsiyasi kam bo'ladi va natijada qo'shimcha kirish o'miga silindrga kirgan gazning qaytib chiqishi kuzatiladi, kichik aylanishlar sonida silindrning to'lishi yomonlashadi.

To'liq sikl davomida dvigatel silindriga kiradigan yangi zaryad miqdori

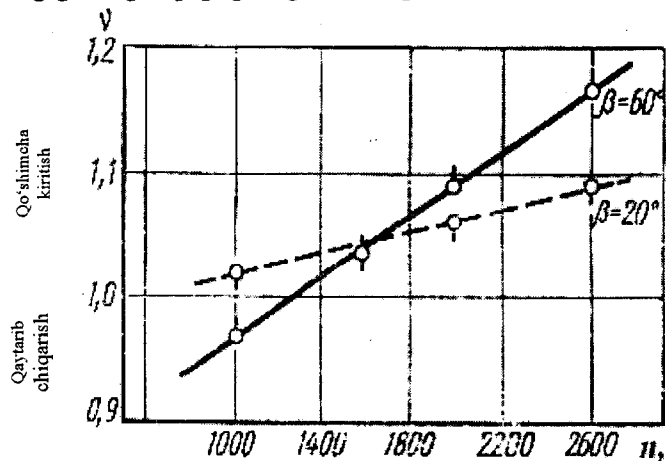
$$G_{\text{sikl}} = \varphi_{\text{doz}} G_{\text{asosiy}}$$

yoki

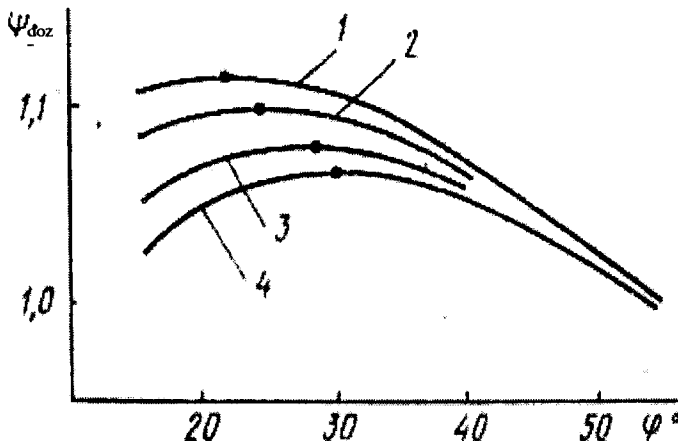
$$G_{\text{sikl}} = [r_a V_h \delta / (RT_a)] \varphi_{\text{doz}}$$

Dozaryadka koefitsiyenti  $\varphi_{\text{doz}}$  truboprovod o'lchamlariga, kiritish tirkishlarining o'lchamlari hamda bu tirkishning ochilish va yopilish onlariga bog'liq. Muayyan gaz taqsimlash fazasi va kiritish tizimiga ega bo'lgan berilgan dvigatel uchun dozaryadka koefitsiyenti o'zgarmas bo'lmaydi, chunki u tirsakli val aylanishlar chastotasi bilan belgilanadigan kiritish truboprovodidagi gazzarning tezligiga bog'liq. Kiritish klapani berkitish burchagi ortganda katta tezliklarda silindr dozaryadkasi ko'payadi, kichik aylanishlar sonida esa dozaryadka kamayadi, qaytib chiqish esa ko'payadi (4.6-rasm).

4.7-rasmda valning har xil aylanishlar chastotasida dozaryadka koefitsiyenti  $\varphi_{\text{doz}}$  ning kiritish klapani berkilishining burchagiga bog'liqligi grafigi keltirilgan.



4.6-rasm. Kiritish tirkishi berkilishining  $\beta=20$  va  $60^\circ$  burchaklarida dozaryadka koefitsiyenti  $\varphi_{\text{doz}}$ .



4.7-rasm. Valning har xil aylanishlar chastotasida  $\varphi_{doz}$  ning kiritish klapani berkilishi burchagiga bog'liqligi:

1 –  $n=1400$  ayl/min; 2 –  $n=1600$  ayl/min; 3 –  $n=1800$  ayl/min;  
4 –  $n=2000$  ayl/min.

### Valning har xil aylanishlar sonida bir siklda silindrning to'lishi

Yuqorida qayd etilganidek, bir siklda silindrغا kiradigan yangi zaryad miqdori  $G_{sikl}$  quyidagi tavsifiy tenglama yordamida aniqlanishi mumkin

$$G_{sikl} = [r_a V_h / (RT_a)] \delta \varphi_{doz}. \quad (4.26)$$

Dvigatel to'liq yukda valning har xil aylanishlar sonida ishlaganida bir siklda silindrغا kiradigan yangi zaryad miqdori o'zgarmas bo'lib qolmaydi. Aylanishlar soni ortganda kiritish kollektoridagi gaz oqimi tezligi ortadi, ya'ni kiritish tezligining gidravlik qarshiligi ko'payadi, natijada kiritish bosimi  $r_a$  pasayadi, ya'ni dvigatelning siklaviy to'lishi kamayadi. Agar kiritish klapani q.ch.h. da yopiladi deb faraz qilinsa, ya'ni to'lish koeffisi-

tsiyenti birga teng deb qabul qilinsa, dvigatelning siklaviy to‘lishi 1-chiziq bilan belgilanadi (4.8,*a*-rasm). Lekin kiritish klapani doim q.ch.h. dan 40–60° o‘tgandan keyin berqilishini hisobga olsak, bu kech kiritishda kichik aylanishlar sonida qaytib chiqish, katta aylanishlar sonida esa dozaryadka bo‘ladi (4.8,*a*-rasm, 2-chiziq).

Shunday qilib, kiritish klapanining kechroq berqilishi katta aylanishlar sonida siklaviy to‘lishni sezilarli darajada yaxshilaydi, kichik aylanishlar sonida esa yomonlashtiradi.

### **Valning har xil aylanishlar sonida vaqt birligida dvigatelning miqdoriy to‘lishi**

To‘rt taktli dvigatelning vaqt birligida miqdoriy to‘lishi (kg/min), ya’ni minutda to‘lishi  $G_{\min}$ , valning minutiga  $n$  aylanishlar sonida, beriigan vaqt oraliq‘ida bajarilgan amaldagi siklaviy to‘lish  $G_{\text{sikl}}$  lar summasiga teng bo‘ladi:

$$G_{\min} = G_{\text{sikl}}(n/2)10^{-6},$$

bu yerda  $10^{-6}$  – mg dan kg ga o‘tish koeffitsiyenti.

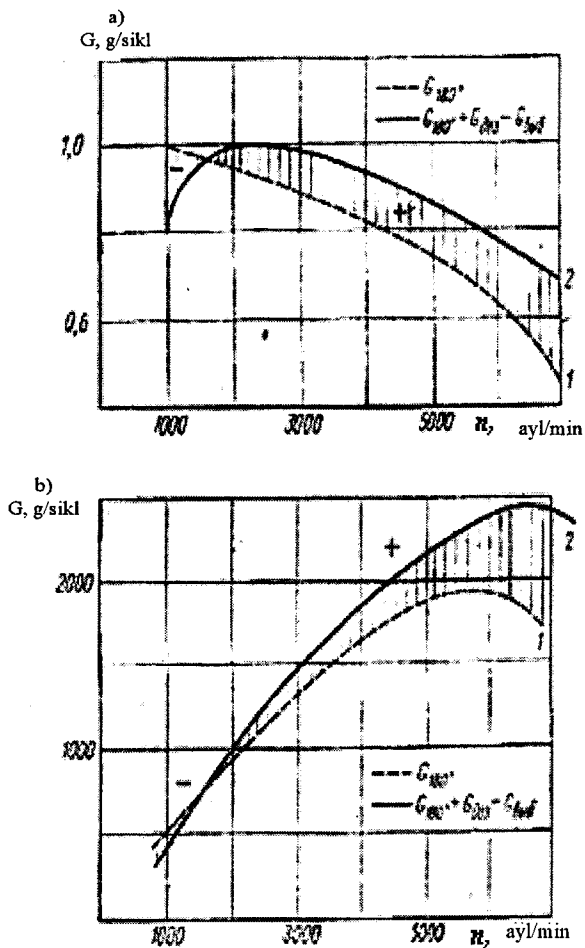
Silindrlarning bir soatda to‘lishi (kg/soat)

$$G_{\text{soat}} = 60G_{\min} = 30G_{\text{sikl}} \cdot n \cdot 10^{-6}$$

Bu ifodaga (4.26) – formuladagi  $G_{\text{sikl}}$  qiymatini qo‘yib, quyidagini olamiz (kg/soat)

$$G_{\text{soat}} = 30 [P_a V_h \delta / (RT_a)] \varphi_{\text{doz}} \cdot n \cdot 10^{-6} \quad (4.27)$$

To‘liq yukda ishlayotgan dvigatelning valning har xil aylanishlar sonida bir siklda va bir minutda to‘lish grafiklari 4.8,*a,b*-rasmida keltirilgan.

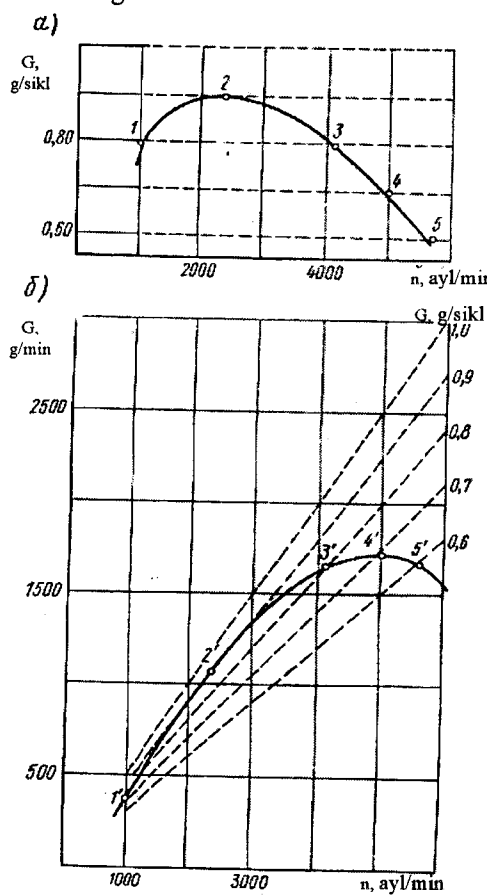


4.8-rasm. Kiritish klapani q.ch.h. da (chiziq-1) va q.ch.h. dan  $50^{\circ}$  o'tgandan keyin (chiziq-2) berkilganda dvigate�ning siklaviy to'lishi (a) va bir minutda miqdoriy to'lishi (b).

Agar valning har xil aylanishlar sonida dvigate�ning siklaviy to'lishi o'zgarmas, masalan, 1 g/sikl bo'lib qolsa va gorizontal to'g'ri chiziq bilan ifodalansa (4.9-rasm), u holda bunga mos keladigan minutli to'lish koordinata boshidan chiqqan 1 g/sikl

og'gan to'g'ri chiziq (4.9,*b*-rasm) tasvirlanar edi.

Agar siklaviy to'lish valning har xil aylanishlar sonida o'zgarmas, lekin 1,0 g/sikl emas, balki 0,9; 0,8; 0,7 va 0,6 g/sikllarni tashkil qilsa (4.9, *a*-rasmda gorizontal shtrixli to'g'ri chiziqlar bilan tasvirlangan), siklaviy to'lishlarining bu qiymatlariga 4.9,*b*-rasmda 0,9; 0,8; 0,7; 0,6 shtrixli og'gan to'g'ri chiziqlar bilan ko'rsatilgan minutli to'lishlar mos kelar edi.



4.9-rasm. Dvigatelning siklaviy (*a*) va vaqt birligida massaviy (*b*) to'lishi.

Demak, kichik aylanishlar sonida siklaviy to‘lish katta emas (49, $\alpha$ -rasm, 1-nuqta), lekin aylanishlar soni kattalashib borgani sari G<sub>sikl</sub> dastlab ortib borib, maksimumga erishadi (dozaryadka hisobiga) (2-nuqta), so‘ngra esa kamayib boradi (kiritish tizi-mining gidravlik qarshiligining ortib borishi hisobiga (3, 4 va 5-nuqtalar).

Aylanishlar soni ortganda vaqt birligidagi sikllar soni ortadi, natijsada siklaviy to‘lishi kamayishiga qaramasdan, dvigatelning vaqt birligida to‘lishi ortib boradi va 4' nuqtada maksimumga erishadi. Bundan keyin shu siklaviy to‘lish darajada intensiv kamayadiki, sikllar sonining ortib borishi buni qoplay olmaydi va vaqt birligida massaviy to‘lish kamayib boradi (4', 5' nuqtalar).

Demak, aylanishlar sonining cheklagichsiz ishlayotgan har bir dvigatelda valning shunday aylanishlar chastotasi mavjudki, unda vaqt birligida silindrga kiradigan yangi zaryad miqdori maksimal qiymatga erishadi.

### **Turli omillarning to‘lish koeffitsiyentiga ta’siri**

Istalgan ichki yonuv dvigatelin konstruktsiyalashda to‘lish koeffitsiyentining maksimal qiymati olishga intilish zarur, chunki dvigatel quvvati va tejamkorligi silindrarga kiradigan yangi zaryad miqdoriga bog‘liq.

To‘lish koeffitsiyentining kattaligiga ta’sir qiluvchi omillar:

- kiritish va chiqarish oxiridagi bosim;
- tirsaklı valning aylanishlar chastotasi;
- dvigatel yuki;
- zaryad qizishi;
- qoldiq gazlar koeffitsiyenti;
- yonilg‘i va ta’minalash tuzish;
- atmosfera sharoitlari;
- gaz taqsimlash fazalari;
- dvigatel nadduvi;
- dvigatel kiritish va chiqarish traktlarining konstruksiyasi.

Kiritish oxiridagi bosim  $r_a$  – to‘lish koeffitsiyentiga ta’sir

qiluvchi asosiy parametrdir. Qolgan bir xil sharoitlarda  $r_a$  ning 0,01 MPa ga ko‘tarilishi to‘lish koeffitsiyentining 15–18% ga ortishiga sabab bo‘ladi. Qoldiq gazlar bosimi  $r_g$  ning shunchaga ko‘tarilishi  $\eta_V$  qiymatining atigi 15–20% ga kamaytiradi. Shuning uchun hamma loyihalanayotgan dvigatellar uchun kiritish oxiridagi bosim  $r_a$  ni ko‘tarishga harakat qilishadi.

Kiritish oxiridagi bosim kiritish tizimining gidravlik qarshiligi (u o‘z navbatida yangi zaryad tezligining kvadratiga va kiritish tezligining qarshilik koeffitsiyentiga proporsional), kiritish klapani berqilishining kechikish fazasiga va turboprovodlarga bosim tebranishiga bog‘liq. Kiritish oxiridagi bosim  $r_a$  ni oshirish uchun gaz taqsimlanishining optimal fazalari o‘rnataladi, kiritish turboprovodlari va klapanlari o‘tish kesimlarining yuzalarini kattalashtiriladi; truboprovodlar mumkin qadar kalta, keskin qayilishlarsiz (katta radiusda) va ichki sirti silliq qilib tayyorlanadi; kritis, klapanlari va ularning o‘rindiqlari silliq (oqib o‘tadigan) shaklda tayyorlanadi. Ba’zan o‘tish kesimini kattalashtirish maqsadida ikkita (yoki undan ko‘p) kiritish klapani o‘rnataladi.

*Chiqarish oxiridagi bosim  $r_g$  ning to‘lish koeffitsiyenti  $\eta_V$  ga ta’siri Ra ta’siriga qaraganda ancha kam, lekin siqish kamerasi produvka qilinganda hamda kiritish va chiqarish tizimlarida pulsatsiya hodisalaridan foydalanilganda  $\eta_V$  qiymatining sezilarli darajada oshirilishiga erishish mumkin.*

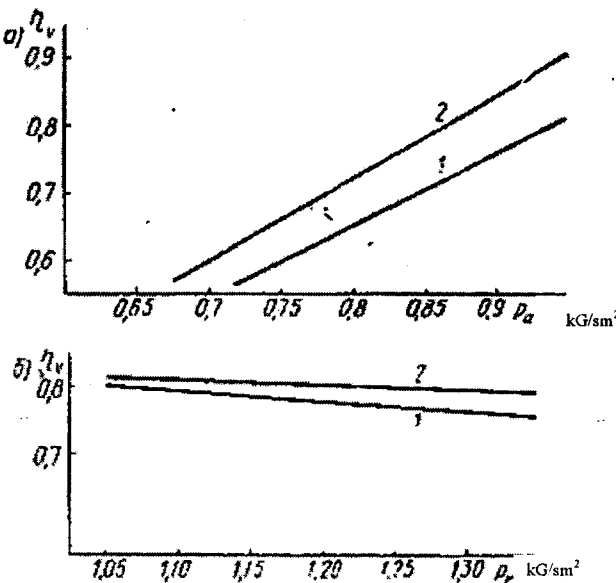
Chiqarish oxiridagi bosim  $r_g$  ning pasayishi qoldiq gazlar koeffitsiyentining kamayishiga, demak,  $\eta_V$  qiymatining ortishiga olib keladi. Shuning uchun chiqarish traktiga, kiritish traktiga qo‘yiladigan talablarga o‘xshash talablar qo‘yiladi.

4.10-rasmda benzinli (1-chiziq) va dizel (2-chiziq) dvigatellari uchun to‘lish koeffitsiyenti  $\eta_V$  ning  $r_a$  (4.10, $a$ -rasm) va  $r_g$  (4.10, $b$ -rasm) larga hisobiy bog‘liqligi tasvirlangan.

Keltirilgan grafiklardan ko‘rinadiki, kiritish bosimi  $r_a$  chiqarish bosimi  $r_g$  ga nisbatan  $\eta_V$  qiymatiga kuchli ta’sir qiladi. Shu sababli ko‘p dvigatellarda kiritish traktining o‘tish kesimi chiqarish traktinikiga nisbatan katta bo‘ladi. Dizellarda, benzinli dvigatellarga nisbatan kiritish oxirida gazlar harorati pastroq

bo'lishi hamda qoldiq gazlar kamroq qolishi sababli,  $\eta_v$  qiymati kattaroq bo'ladi.

Dvigatel yukining to'lish koeffitsiyentiga ta'siri benzinli va dizel dvigatellarida har xil bo'ladi. Miqdoriy sozlanishga ega bo'lgan benzinli dvigatellarda yuk drossel to'sig'ining ochilishiga mos ravishda o'zgaradi. Yuk ko'payganda dvigatel silindrlariga kirayotgan yonuvchi aralashma miqdorini ko'paytirish, ya'ni drossel to'sig'ini kattaroq ochish lozim bo'ladi. Yuk ko'payganda esa drossel to'sig'ining ochilishi kamaytiriladi. Demak, yuk ko'payganda to'lish koeffitsiyenti ma'lum chegaragacha ortadi, yuk kamayganda esa –  $\eta_v$  kamayadi (4,11, a-rasm).

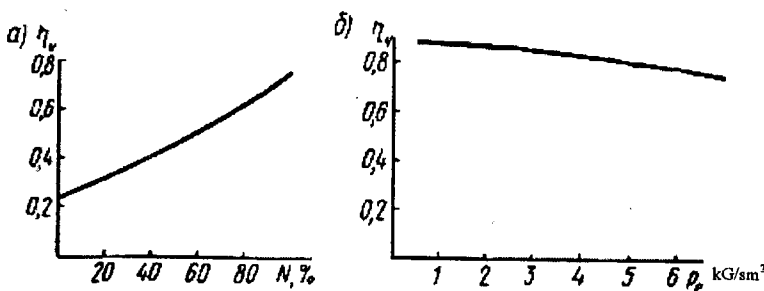


4.10-rasm. To'lish koeffitsiyentining  $r_a$  (a)  
va  $r_g$  (b) larga hisobiy bog'liqligi.

Sifatiy sozlashga ega bo'lgan d.zellarda yuk sıklida silindr-larga kiradigan (purkaladigan) yonilg'i miqdori hisobiga o'zgaradi, bunda havo miqdori deyarli o'zgarmas bo'lib qoladi. Yuk o'rtacha effektiv bosim  $r_s$  ko'payganda dvigatelning issiqlik rejimi

ko'tariladi, natijada to'lish koeffitsiyenti biroz pasayadi (4.11,*b*-rasm).

Zaryad qizishi yangi zaryad haroratiga nisbatan ancha yuqori haroratga ega bo'lgan truboprovodlar, silindr va porshen devorlaridan sodir bo'ladi. Qiziganda zaryad zichligi va natijada  $\eta_V$  qiymati kamayadi. Zaryad qizishi valning aylanishlar chastotasi, yukga, sovitish tizimi va dvigatelning konstruktiv xususiyatlariiga bog'liq.



4.11-rasm. Benzinli (a) va dizel (b) dvigatellarning to'lishiga yukning ta'siri.

Benzinli dvigatellarda yangi zaryad qizdirilishi lozim, chunki bunda kiritish trakti bo'yicha aralashma harakatlanganda yonilg'ining bug'lanishi yaxshilanadi. Shuning uchun benzinli dvigatellarda kiritish truboprovodi ishlangan gazlar yoki sovituvchi suyuqlik issiqligi hisobiga doim sun'iy ravishda qizdiriladi. Lekin darajasi shunday tanlanadiki,  $\eta_V$  sezilarli darajada pasaymasin, ya'ni dvigatelning quvvat va iqtisodiy ko'rsatkichlari yomonlashmasin.

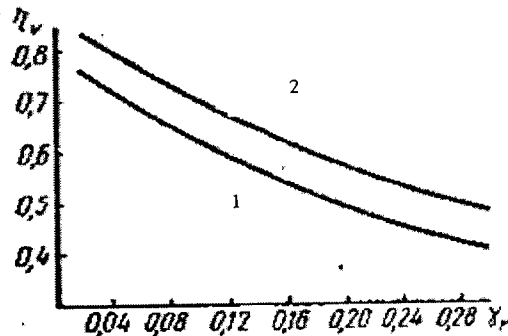
Dizellarda detallar qizishining harorati benzin dvigatellari-nikiga qaraganda pastroq bo'ladi, chunki dizellar kambag'al aralashmada ishlaydi; bundan tashqari dizellarda yangi zaryad sun'iy ravishda qizdirilmaydi. Shuning uchun dizellarda yangi zaryad benzinli dvigatellardagi nisbatan kamroq qiziydi. Natijada dizellarda  $\eta_V$  qiymati kattaroq bo'ladi.

Dvigatel nadduv bilan ishlaganda yangi zaryadning qizishi

kompressordan chiqishdagi havo haroratiga, agar bu havo oraliqda sovutilsa, sovutgichdan chiqishdagi haroratga bog'liq. Bu harorat qanchalik yuqori bo'sa yangi zaryad silindrda shunchalik kam qiziydi.

*Qoldiq gazlar koeffitsiyenti* to'lish koeffitsiyenti qiymatiga sezirrali darajada ta'sir qiladi. 4.12-rasmda benzinli (1-chiziq) ( $\varepsilon=8$ ;  $r_a=0,8$ ;  $r_0=1,03$ ;  $T_0=288$  K;  $\Delta T=30$  K;  $T_g=1000$  K) va dizel (2-chiziq) ( $\varepsilon=15$ ;  $r_a=0,9$ ;  $r_0=1,03$ ;  $T_0=288$  K;  $\Delta T=20$  K;  $T_g=800$  K) dvigatellari uchun to'lish koeffitsiyenti  $\eta_v$  ning qoldiq gazlar koeffitsiyenti  $\gamma_g$  bog'liqligining hisobiy grafigi keltirilgan. Chizmadan ko'rindaniki,  $\gamma_g$  0,02 dan 0,20 gacha ko'payganda to'lish koeffitsiyenti benzinli dvigatellarda 35% ga, dizellarda esa 31% ga pasayadi.

Benzinli dvigatellarda yukni kamaytirish uchun drossel to'si'i berkitiladi, bu'ning natijasida kiritish tizimining aerodinamik qarshiligi ko'payadi, bu to'lish koeffitsiyentining kamayishiga olib keladi. Buning oqibatida qoldiq gazlarning samaradorligi kamayadi, yonish tezligi sekinlashadi va issiqlik yo'qotilishi ko'payadi. Bu dvigatel tejamkorligining keskin yomonlashishiga olib keladi.

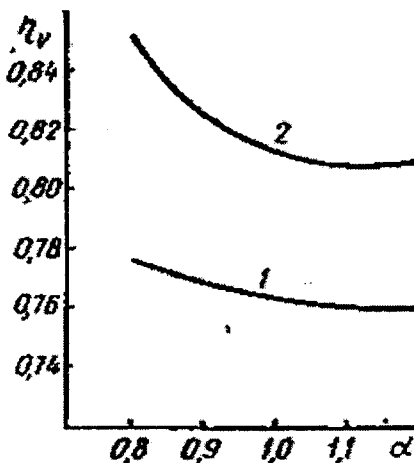


4.12-rasm. Benzinli va dizel dvigatellarida to'lish koeffitsiyentining qoldiq gazlar koeffitsiyentiga bog'liqligi.

*Yonilg'i va ta'minlash tizimi* faqat benzinli dvigatellarning to'lish koeffitsiyentiga ta'sir qiladi, chunki bu dvigatellarda to'lish

jarayonida yonilg'i bug'lanadi, buning natijasida yangi zaryad harorati pasayadi. Shuning uchun benzinli dvigatellarning to'lish koeffitsiyenti ham yonilg'i navaiga (bug'lanish issiqligi har xil bo'lganligi uchun) va ham havo ortiqligi koeffitsiyenti bilan tavsiflanadigan yangi zaryad (aralashma) tarkibiga bog'liq.

4.13-rasmda dvigatel benzinda (1-chiziq) va spirtda (2-chiziq) ishlaganda to'lish koeffitsiyentining  $\alpha$  ga bog'liqlik grafiklari keltilrilgan. Grafiklardan shu narsa ko'rindiki, to'lish koeffitsiyenti dvigatel spirtda ishlaganida, benzinda ishlaganiga nisbatan, katta bo'ladi, chunki spirtning bug'lanish koeffitsiyenti 875–910 kDj/kg, benzinniki esa faqat 275–305 kdj/kg. Aralashma kambag'allashganida yangi zaryad tarkibida yonilg'inинг nisbiy miqdori kamayishi natijasida dvigatel ikkala yonilg'ida ishlaganida ham to'lish koeffitsiyenti kamayadi.



4.13-rasm. Dvigatel benzin va spirtda ishlaganda to'lish koeffitsiyentining  $\alpha$  ga bog'liqligi.

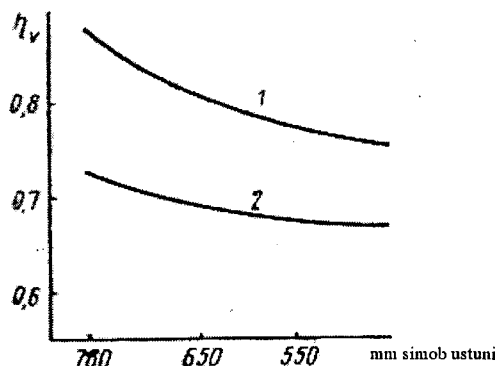
Yengil yonilg'i kiritish trakti yoki silindrga purkaladigan dvigatellarda, karbyuratorli dvigatellardagiga nisbatan, to'lish koefitsiyenti katta bo'ladi. Drossel patrubkasi diffuzori kengayishi natijasida kiritish traktining qarshiligi kamayganligi tufayli to'lish koeffitsiyenti kattalashadi.

*Atmosfera sharoitlari*, ya'ni dvigatel silindrlariga kirayotgan havoning barometrik bosimi, harorati va nisbiy namligi, to'lish koeffitsiyenti qiymatiga, demak, dvigatelning quvvat va tejamkorlik ko'rsatkichlariga ta'sir qiladi.

Silindrga kirayotgan havo haroratining ko'tarilishi to'lish koeffitsiyentini pasaytiradi, natijada silindrga kiradigan zaryad miqdori kamayadi va dvigatel quvvati pasayadi. Benzinli dvigatellarda dvigatel tejamkorligi yomonlashadi va ishlangan gazlar tarkibida chala yonish mahsulotlari ( $\text{CO}$ ) miqdori ortadi.

Barometrik bosim ham to'lish koeffitsiyentiga ta'sir qiladi: bosim pasayganda  $\eta_v$  kamayadi.

4.14-rasmda dizel (1-chiziq) va benzinli dvigatel (2-chiziq)lar to'lish koeffitsiyentlarining barometrik bosimga qarab o'zgarishi grafigi keltirilgan. Barometrik bosim pasayganda havo zichligi va massasi kamayadi, buning oqibatida yangi zaryad inertsiyasi kamayadi va to'lish koeffitsiyenti kichiklashadi.

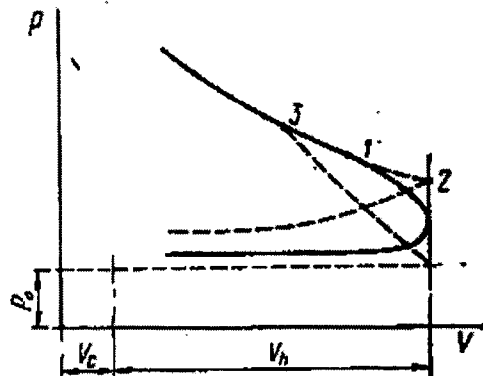


4.14-rasm. Barometrik bosimning dizel va benzinli dvigatel to'lish koeffitsiyentlariga ta'siri.

Harorat va bosim o'zgarmas bo'lganida havo namligi to'lish koeffitsiyentiga sezilarli ta'sir qilmaydi.

*Gaz taqsimlash fazalari* dvigatelning to'lish koeffitsiyentiga sezilarli ta'sir qiladi. Silindrlarni ishlangan gazlardan tozalanish darajasi va ularning yangi zaryad to'lishi gaz taqsimlash fazalarining to'g'ri tanlanganligiga bog'liq.

Tirsakli va burilishi burchaklarida ifodalanadigan, kiritish va chiqarish klapanlari ochilishi va yopilishining ilgariligi burchaklari eksperimental ma'lumotlar asosida tanlanadi. Silindrni ishlangan gazlardan yaxshiroq tozalash va ularni itarib chiqarish uchun sarflanadigan ishni kamaytirish uchun chiqarish klapanini 1 nuqtada (4,15-rasm) biroz ilgarilatib ochish maqsadga muvofiq bo'ladi. Bu holda indikator diagrammaning yuzasi klapan q.ch.h. da (2 nuqta) yoki haddan tashqari katta ilgarilik bilan (3 nuqta) ochilgandagiga qaraganda kattaroq bo'ladi.



4.15-rasm. Chiqarish klapani ochilish onining indikator diagramma yuzasiga ta'siri.

Chiqarish klapani porshen yu.ch.h. dan o'tganidan keyin yopiladi. Bunda klapanning vaqt-kesimi kattalashadi va chiqarish trakti bo'ylab harakatlanayotgan ishlangan gazlar inertsiyasidan foydalilaniladi, bu silindr yaxshi tozalanishiga xizmat qiladi. Kiritish klapani porshen yu.ch.x. ga kelmasidan oldin ochiladi. Hamma tezyurar dvigatellarda kiritish va chiqarish klapanlarining gaz taqsimlash fazalari qoplashishadi. Klapanlar qoplashishi davrida ularning yuritish kesimlari juda kichik bo'ladi, shuning uchun ishlangan gazlarning kiritish truboprovodidagi bosimlar farqi kichik bo'ladi va u ishlangan gazlar inertsiyasini yengib, ularning harakat yo'nalishini o'zgartirishga qodir bo'lmaydi.

Kiritish va chiqarish klapanlarining ochilishi ilgariligi va yopilishining kechikish burchaklari dvigatev vallarining aylanish-

lar chastotasiga va traktlarning konstruktsiyasiga qarab tajriba yo'li bilan o'rnatiladi.

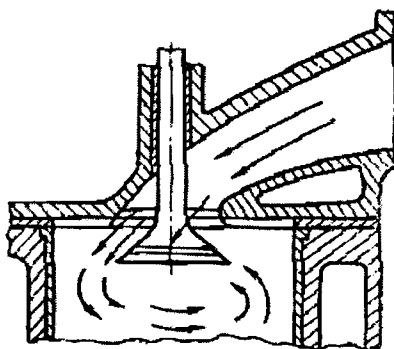
Gaz taqsimlash fazalarining qiymatlari nafaqat dvigatel ishining tezlik rejimiga, balki klapanlar joylashishiga, kiritish va chiqarish traktlarining konstruksiyasiga va boshqalarga bog'liq.

Benzinli dvigatellarda gaz taqsimlash fazalari antidentalotsion ko'rsatkichlarga ham ta'sir qiladi. Shu sababli to'liq yukda tanlangan gaz taqsimlash fazalari detonatsiya vujudga kelishi ehtimolini bartaraf qilish uchun dvigatel ishining boshqa rejimlarida ham tekshirilishi lozim.

Dvigatel nadduvi kiritishda zaryadning zichligi hisobiga to'listi koeffitsiyentining ortishini ta'minlaydi. Nadduv bilan ishlayotgan dizellarda kiritish va chiqarish klapanlarining qoplashishini nadduvsiz ishlayotgan dvigatellardagiga nisbatan kattaroq tanlashadi, bundan maqsad—yonish kamerasini produvka qilish va qizigan detallarni sovitishdir. Natijada qoldiq gazlar koeffitsiyenti kichiklashadi ( $ba'zan \gamma_g = 0$  gacha) va yangi zaryad qizish harorati  $\Delta T$  pasayadi.

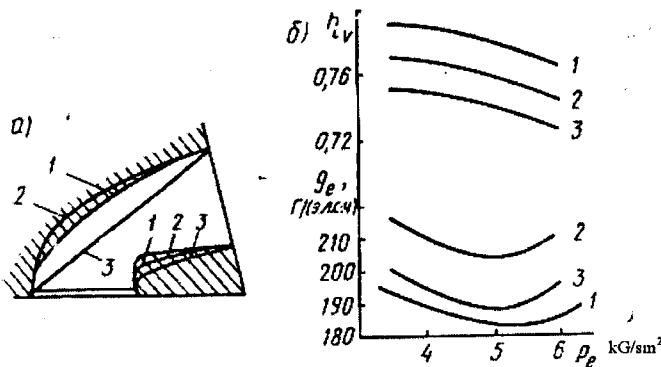
*Dvigatel kiritish va chiqarish traktlarining konstruksiyasi to'lish koeffitsiyentining qiymatiga kuchli ta'sir qiladi.*

Kiritish klapanlarining shakli nafaqat tulish koeffitsiyentini orttirish maqsadida, balki yangi zaryad dvigatel silindrida yo'nalgan harakatda bo'lishini ta'minlash nuqtai nazaridan ham tanlanadi. Zaryadning yo'nalgan harakati, ajratilgan kameralar va porshen tubida joylashgan kameralar yaxshi aralashma hosil bo'lishini va yonishning katta tezligini ta'minlaydi. Shuning uchun to'rt taktli dvigatellarning ko'pidagi kiritish patrubkalari silindrga nisbatan tangentsial yo'nalgan bo'ladi (4.16-rasm), bu kiritish jarayonida dvigatel silindrida zaryadning uyurma harakatlanishini ta'minlaydi.



4.16-rasm. Silindrda uyurma harakat hosil bo'lishi uchun tangensial kiritish kanali.

4.17,*a*-rasmda kiritish kanallarining sxemalari, 4.17,*b*-rasmda bu kanallar shakllarining har xil yukda dvigatelning to'lish koeffitsiyentiga ta'siri keltirilgan. Chizmadan ko'rindik 1 kanalda to'lish koeffitsiyenti eng katta, 2 kanalda esa kamroq, chunki kiritish patrubkasi buralish radiusi kichiklashtirilgan. 3 kanalda esa to'lish koeffitsiyenti eng kichik, bunda kanal o'tish kesimi yuzasi kamayishi hisobiga kiritish tizimining qarshiligi ko'paygan.



4.17-rasm. Kiritish kanali shaklining to'lish koeffitsiyenti va yonilg'inining solishtirma sarfiga ta'siri.

Lekin 3 kanalda dvigatel silindrlari to‘lishi yomonlashganligiga qaramasdan 2 kanalga nisbatan ishchi jarayonning effektiv ko‘rsatkichi – yonilg‘i tejamkorligi yaxshilangan; bunga silindr-dagi gazning uyurma harakati kuchayishi hisobiga erishilgan.

Kiritish va chiqarish klapanlarining o‘lchamlari va konstruktiv bajarilishi ham to‘lish koeffitsiyentiga ta’sir qiladi. Klapan diametri va ko‘tarilishi balandligi ushbu dvigatel uchun maksimal ruxsat etilgan darajada bo‘lishi kerak.

Oxirgi paytda tezyurar transport dvigatellarining ko‘p qismi kalta yo‘lli, ya’ni porshen yo‘lining silindr diametriga nisbati S/D birga teng yoki birdan kichik, qilib tayyorlanmoqda. Bunda porshen yo‘li qisqartirilib, silindr diametri kattalashtirilmoqda. Bunda dvigatel ishchi hajmi saqlangani holda, porshenning o‘rtacha tezligi birlamchi ruxsat etilgan qiymatga yetgunicha tirsakli val aylanishlar chastotasi orttirilishi hisobiga dvigatel quvvatini oshirish imkoniyati tug‘iladi. Bu kiritish klapani diametrini kattalashtirish va silindrga kirishda yangi zaryad harakatining o‘rtacha tezligini kamaytirish imkonini beradi. Shuning uchun kalta yo‘lli dvigatellarda, oddiy dvigatellarga nisbatan to‘lish koeffitsiyentining qiymati kattaroq bo‘ladi.

### **4.3. Siqish jarayoni**

#### **4.3.1. Umumiy holatlar**

Siqish jarayonida porshen q.ch.h. dan yu.ch.h. gacha siljiydi, bunda kiritishda silindrga kirgan gazlar hajmi kamayib boradi. Gazlarni siqib borayotgan porshenni siljitim uchun qanchadir miqdorda ish sarflanishi zarur, bu ish bajarilishi uchun quvvat shatun va tirsakli val orqali maxovik va boshqa silindrlardan keltiriladi. Porshen siljigani va siqilayotgan gazlar hajmi kamaygani sari, bu gazlarning bosimi va kamroq darajada harorati ko‘tarilib boradi.

Ichki yonuv dvigatelining haqiqiy siklda siqish jarayoni:

- ishchi sikl harorat chegaralarini orttirish;
- yonuvchi aralashma alanganishi va yonishi uchun zarur

bo‘lgan sharoitlarni yaratish uchun xizmat qiladi; bu sharoitlar issiqlikning foydali ishga effektiv aylantirilishini ta’minlaydi.

Dvigatelda aralashma hosil bo‘lishi va yonilg‘i alangalani-shining qaysi usuli qo‘llanilishiga qarab, siqish jarayoniga qo‘yi-ladigan talablar har xil bo‘ladi.

Aralashma tashqarida hosil bo‘ladigan va tashqi manba (o‘t oldirish svechasi)dan o‘t oladigan dvigatellarda, silindrda yonilg‘i-havo aralashmasi siqilayotganda, siqish jarayonida aralash-maning qo‘srimcha aralashishi sodir bo‘ladi, natijada butun hajm bo‘yicha aralashma tarkibining bir xilligi ortadi. Bu yonish kamerasi bo‘ylab alanga tarqalishini osonlashtiradi va tezlashtiradi. Dvigatel ishi ko‘rsatkichlarini yaxshilash uchun siqish darajasini orttirishga intilish lozim. Lekin siqish darajasi shunday bo‘lishi kerakki, siqish oxiridagi harorat va bosim vaqtidan oldin alanga paydo bo‘lishi yoki detanatsion yonishga sabab bo‘lmasin. Shuning uchun siqish darajasining yuqori chegarasi yonilg‘i xossalari, yonuvchi aralashma tarkibi, issiqlik uzatish sharoitlari, yonish kamerasingin konstruktsiyasiga va h.k.larga bog‘liq.

Havoga purkalgan, siqish tufayli yuqori haroratgacha qizigan yonilg‘i o‘z-o‘zidan alangalanadigan dvigatellarda siqish oxirida yonilg‘i silindrga purkaladigan onda yonish kamerasida siqilgan havo oqimining turbulent harakati mavjud bo‘lishi maqsadga muvofiq bo‘ladi. Bu purkalayotgan yonilg‘ining havo zaryadida taqsimlanishini osonlashtiradi, demak, mavjud havodan yonish uchun foydalanishni yaxshilaydi. Lekin havoning yonish kamera-sidagi harakati yonish kamerasingin shakli va purkalayotgan yonilg‘i fakeli yo‘nalishiga mos tashkil qilinishi kerak.

Dizellar ishlashi uchun siqish oxiridagi harorat purkalgan yonilg‘i o‘z-o‘zidan alangalanishi uchun yetarli bo‘lishi zarur. Dvigatel ishlay oladigan minimal siqish darajasi shu talab bo‘yi-chaga aniqlanadi.

Lekin amalda siqish darajasi quyidagi sabablarga ko‘ra ancha yuqori bo‘lishi kerak:

- haroratning ortishi yonilg‘i purkalishi boshlangan on va uning alangalanishi orasidagi davr – alanga tutilib qolishi davrini qisqartiradi, bu dvigatelning yumshoqroq ishlashini ta’minlaydi,

unda yonishda bosim keskin ortib ketmaydi;

- siqish oxiridagi yuqoriroq harorat oddiy sharoitlarda dvigatelning harorati past bo‘lgan havo so‘rilayotganda ham ishlashini hamda sovuq dvigatelning ishonchli o‘t olishini ta’minlaydi.

Shunday qilib, muayyan dvigatelning siqish darajasi ekspluatatsiya sharoitlariga va uning konstruktiv xususiyatlariiga bog‘liq. Atrof-muhitning past haroratlarida ishlaydigan dvigatellar, ajratilgan yonish kamerali dvigatellar va silindrлarning o‘lchamlari kichik bo‘lgan dvigatellarning siqish darajasi kattaroq bo‘lishi kerak.

Har xil turdagи dvigatellar uchun siqish darajasi  $\epsilon$  ning chegaralari:

Benzinli dvigatellar .....	7,5–11,0;
Nadduv�iz dizellar.....	14–24;
Nadduvli dizellar .....	12–17.

Ruxsat yetiladigan siqish darajasi benzinli dvigatellarda benzinning oktan soni (O.S.) bilan aniqlanadi:

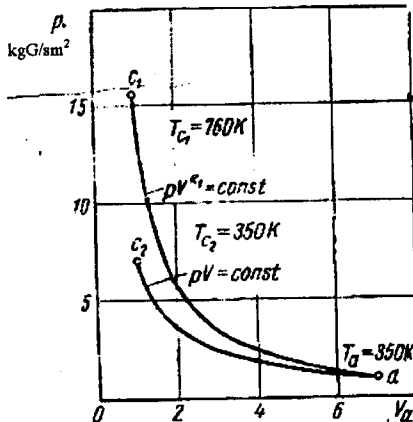
Oktan soni	73–76	77–80	81–90	91–100	100 dan katta
$\epsilon$	6,5–7,0	7,1–7,5	7,6–8,5	8,6–9,5	12,5 gacha

Dizellarda siqish darajasi katta qiymatlarining cheklani-shining sababi shundaki, u ortganda siqish oxiridagi bosim va mos ravishda yonishning maksimal bosimi katta bo‘lib ketadi. Natijada krivoship-shatunli mexanizmga tushadigan yuk kattalashadi, uning detallari va umuman dvigatel og‘irlashib ketadi. Bundan tashqari, porshenga ta’sir qilayotgan maksimal bosim ortganda, dvigatelda ishqalanishni yengishga sarflanadigan quvvat ortadi. Bu – ayniqsa nadduvli dvigatellarga taalluqlidir, ularda siqish darajasi yonilg‘ini ishonchli o‘t oldirish ta’minlaydigan darajada minimal olinadi.

Shuni qayd qilamizki, siqish darajasi uning katta qiymatlarigacha ( $\epsilon \geq 20$ ) orttirilganda issiqlikdan foydalanish juda kam yaxshilanadi.

### 4.3.2. Siqish jarayonining borishi

Ikkita nazariy – izotermik va adiabatik siqish jarayonlarini ko‘rib chiqamiz (4.18-rasm).



4.18-rasm. Siqishning adiabatik va izotermik grafiklari.

Porshen q.ch.h. dan yu.ch.h. ga siljishining boshidan oxi-  
rigacha silindr devorlari sovutilgan holdagini siqish jarayoni  
izotermik bo‘lishi mumkin, chunki faqat shundagina siqilayotgan  
gazlar haroratini o‘zgarmas holda saqlash mumkin. Adiabatik  
siqish ( $\alpha_s$ ) issiqlikni absolyut o‘tkazmaydigan devorlar mavjud  
bo‘lgandagina sodir bo‘lishi mumkin.

Real dvigatel silindrida devorlar sovitilishi tufayli adiabatik  
siqilish mumkin emas. Shu tufayli haqiqiy siqilish jarayonida  
gazlar bosimi, adiabatik siqishga qaraganda, sekinroq ortadi va  
real dvigatelda siqilish chizig‘i adiabata chizig‘idan pastda joyla-  
shadi.

Siqilayotgan gazlardan silindr devoriga nisbatan ko‘p bo‘l-  
magan miqdorda issiqlik olib ketilishi tufayli ularning harorati  
ko‘tarilib boradi, bosimi esa izotermik siqishdagiga nisbatan tez-  
roq ortadi. Shuning uchun real dvigateling siqish chizig‘i izo-  
termik siqish chizig‘iga nisbatan yuqorida joylashadi.

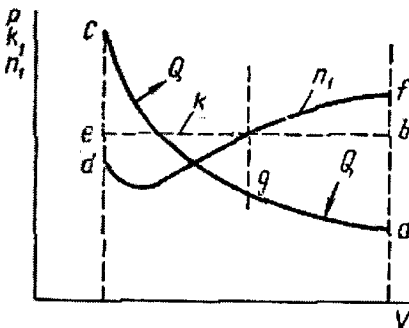
### **4.3.3. Siqish jarayonida issiqlik almashinuvi**

Dvigatelning haqiqiy siklida siqish jarayoni ishchi jism va dvigatel detallari orasida issiqlik almashinuvi sharoitida boradi, shuning uchun adiabatik bo‘lmaydi. Bu issiqlik almashinuvi murakkab tavsifga ega va uni termodinamik munosabatlar yordamida aniq ifodalash ancha qiyin. Hisoblarni soddalashtirish maqsadida siqish jarayoni politropik kechadi; bunda  $p_2$  o‘zgarmas o‘rtacha politropa ko‘rsatkichi deb qabul qilinadi. Bu holda o‘zgarmas ko‘rsatkich  $p_1$  dagi siqish ishi o‘zgaruvchi ko‘rsatkichdagi ishga teng bo‘lishi mumkin.

4.19-rasmda siqish (*as*), adiabata (*vs*) va siqishning haqiqiy politropasi (*fd*)larning o‘zaro joylashishi ko‘rsatilgan.

Siqish jarayonining har xil davrlarida issiqlik oqimining yo‘nalishi bir tomonga bo‘lmaydi. Siqishning boshlanish davrida silindrдаги gazning harorati uni o‘rab turgan sirtlar (silindr gilzasi, kallak, porshen tubi, klapanlar kallaklari) haroratlaridan past bo‘ladi. Shu sababli siqish yo‘lining birinchi qismida (4.19-rasm, *ad* uchastka) siqilayotgan ishchi jism bu sirtlardan qo‘sishma qiziydi. Bu davrda tashqi ishning sarflanishi davomida tashqi muhitdan issiqlik qabul qilib turiladi, demak, siqish politropasi ko‘rsatkichi  $p_1$  adiabata ko‘rsatkichi  $k$  dan katta bo‘ladi. Siqish davomida ishchi jism harorati ortib borishi bilan, devorlardan qabul qilinayotgan issiqlik miqdori kamayib boradi, shu sababli politropa ko‘rsatkichi uzlusiz pasayib boradi. Siqilayotgan gazning va yonish kamerasi ichki devorlarining o‘rtacha haroratlari tenglashgan onda, issiqlik almashinuvi to‘xtaydi, ya’ni bu onda siqish jarayoni adiabatik ( $p_1 = k_1$ ) bo‘ladi.

Siqilayotgan gaz haroratining yanada ortishi issiqlik oqimining yo‘nalishini o‘zgartiradi; issiqlik gazdan yonish kamerasi sirtiga berila boshlanadi (*ds* uchastka), bunda adiabata ko‘rsatkichi siqish politropasi ko‘rsatkichidan katta bo‘ladi ( $p_1 < k_1$ ) va silindrдаги gaz harorati ko‘tarilib borishi natijasida bu farq ortib boradi.



4.19-rasm. Siqish ( $as$ ), adiabata ( $vs$ ) va siqishning haqiqiy politropasi ( $f/d$ )larning o'zaro joylashishi.

Yonish kamerasi sirtining mahalliy haroratlariga qarab ikkala hodisa: yuqoriroq haroratda qizigan detallardan ishchi jismga issiqlik berilishi va ishchi jismdan sovuqroq detallarga issiqlik olib ketilishi bir vaqtning o'zida kechishi mumkin.

Siqish politropasi ko'rsatkichi  $p_1$  yu.ch.h. yaqinida ishchi jismning harorati yuqori bo'l shiga qaramasdan, adiabata ko'rsatkichi  $k_1$  dan kichik bo'lgani holda, biroz kattalashadi. Buni quyidagi bilan tushuntirish mumkin: siqish oxirida sovitish yuzasi kamayadi, ishchi jism yonish kamerasida yuqoriroq haroratga qizigan detallarga tegib turadi, natijada devorlarga issiqlik uza tilishi biroz kamayadi.

Demak, haqiqiy siklda ishchi jismning siqilishi – politropa ko'rsatkichi o'zgaruvchi bo'lgan jarayondir. Amaliyotda politropaning o'zgaruvchi ko'rsatkichini qandaydir o'rtacha ko'rsatkich  $p_1 = 1,32 - 1,39$  bilan almashtirishadi. Bu raqamlar siqishning to'liq davrida ko'p hollarda issiqlikning qandaydir miqdori uzatilishi (yo'qotilishi)ni bildiradi. Lekin uzatiladigan issiqlikning umumiyl miqdori juda kam, shuning uchun dvigatellardagi siqish jarayoni adiabatikka juda yaqin. Porsheni sovitilmaydigan dvigatellarda  $p_1 \geq 1,4$  bo'lishi ham mumkin.

Siqish politropasi ko'rsatkichi  $p_1$  ga ta'sir qiluvchi asosiy omillar:

- silindr sovitilishining intensivligi;

- silindr o‘lchamlari;
- tirsakli val aylanishlar chastotasi;
- zaryad harakatining intensivligi.

Silindr sovitilishining ta’siri yaqqol ko‘zga tashlanadi: silindr devorlarining harorati past bo‘lganda siqilayotgan gazzlardan issiqlikning olib ketilishi intensiv bo‘ladi, ya’ni politropa ko‘rsatkichi kichiklashadi. Masalan, suyuqlik bilan sovitiladigan dvigatellarda, havo bilan sovitiladigan dvigatellarga nisbatan,  $p_1$  qiymati kichikroq bo‘ladi.

Silindr o‘lchamlari kichik bo‘lgan dvigatellarda va ayniqsa, yonish kamerasi ajralgan dvigatellarda siqish politropasining o‘rtacha ko‘rsatkichi odatda biroz kichikroq bo‘ladi, chunki ularda solishtirma sovitilish yuzasi – siqilayotgan gaz massasi birligiga mos keladigan yonish kamerasining sirti – nisbatan kattaroq bo‘ladi.

Porshen halqalari va klapanlar nozichliklari orqali gazning oqib ketishi ham siqish politropasining ko‘rsatkichiga ta’sir qiladi –  $p_1$  qiymati pasayadi.

Tirsakli val aylanishlar chastotasi siqish vaqtida devorlarga uzutiladigan issiqlikning summar miqdoriga ta’sir qiladi. Jarayoning umumiy davomiyligi tirsakli val aylanishlar chastotasiga teskari proporsional, shuning uchun aylanishlar chastotasi ortganda siqish politropasining o‘rtacha ko‘rsatkichi  $p_1$  ortadi.

Nadduv�iz dizellarda yukning siqish jarayoniga ta’siri sezilsiz darajada. Politropa ko‘rsatkichining siqish darajasiga bog‘liqligi ham sezilarsiz.

Miqdoriy sozlanadigan (benzinli) dvigatellarda hamda naduvli dizellarda yuk rejimi o‘zgarganda zaryad zichligi o‘zgaradi.

Zaryad zichligi ortishi bilan sovitiladigan solishtirma yuza kamayadi, natijada yuk ortganda siqish politropasi ko‘rsatkichi ortadi va aksincha, yuk kamayganda uning qiymati kichiklashadi.

#### 4.3.4. Siqish jarayonini hisoblash

Siqish jarayonining hisobi siqish politropasining o‘rtacha ko‘rsatkichi  $p_1$ , siqish oxiridagi parametrlar ( $r_s$  va  $T_s$ ) va siqish oxirida ishchi jismning issiqlik sig‘imi  $(mc_v)_{t_0}^{t_c}$  ni ( $t_c$  – siqish oxirida aralashma harorati, °C) aniqlashga keltiriladi.

Siqish politropasi o‘rtacha ko‘rsatkichi  $p_1$  qiymati dvigateл tirsakli vali aylanishlar chastotasi, siqish darajasi, silindr o‘l-chamlari, porshen va silindr materiallari, issiqlik almashinuvi va boshqa omillar bo‘yicha tajribaviy ma’lumotlar bo‘yicha o‘rnatalidi.

Siqish jarayoni yetarli darajada tez kechganligi (nominal rejimda 0,015–0,005 S) tufayli, siqish jarayonida ishchi jism va silindr devorlari orasidagi summar issiqlik almashinuvi juda kam bo‘ladi, shu sababli  $p_1$  qiymatini adiabataning o‘rtacha ko‘rsatkichi bo‘yicha baholash mumkin.

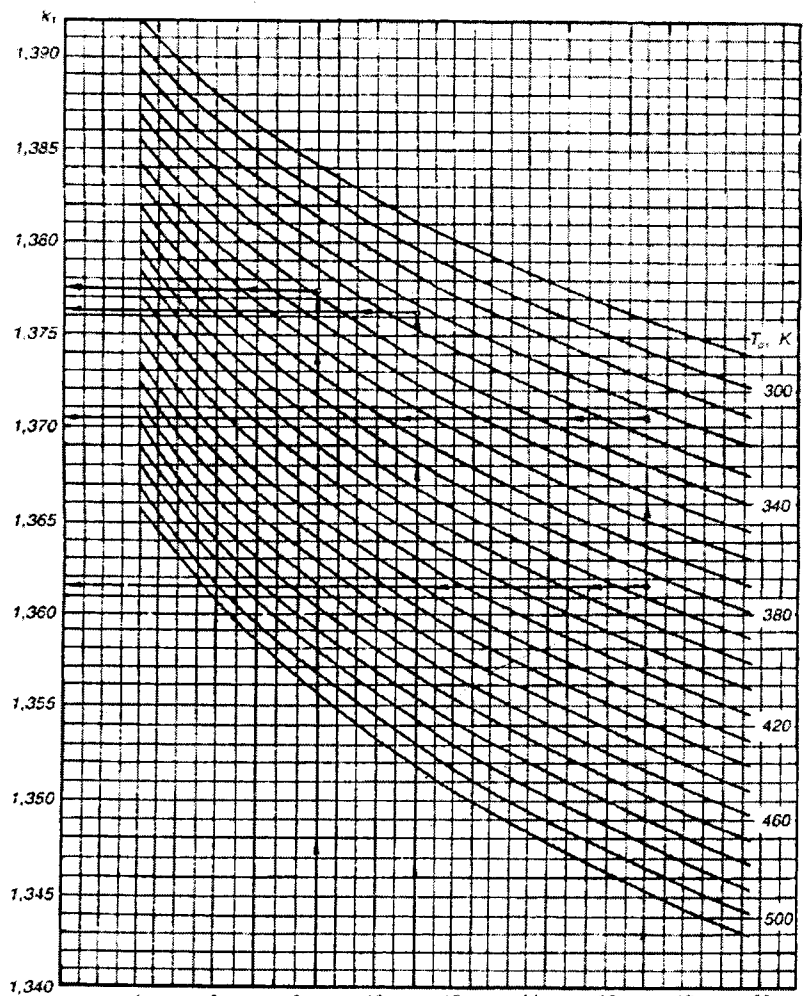
4.20-rasmda tasvirlangan nomogrammadan  $\varepsilon$  va  $T_a$  larning mos qiymatlari uchun  $k_1$  qiymati aniqlanadi. Nomogramma  $k_1$  ni  $T_a$ ,  $T_s$ ,  $\varepsilon$  va havoning issiqlik sig‘imi  $(mc_v)_{t_a}^{t_c}$  lar bilan bog‘lovchi ikkita tenglamani birgalikda echish natijasida qurilgan:

$$k_1 = 1 + (\lg T_c - \lg T_a) / \lg \varepsilon \quad (4.27)$$

$$k_1 = 1 + 8,315 / (mc_v)_{t_a}^{t_c} \quad (4.28)$$

$$(mc_v)_{t_a}^{t_c} = [(mc_v)_{t_a}^{t_c} t_c - (mc_v)_{t_0}^{t_a} t_a] / (t_c - t_a) \quad (4.29)$$

Agar (4.28) formulada havoning issiqlik sig‘imi  $(mc_v)_{t_a}^{t_c}$  ishga aralashmaning issiqlik sig‘imi  $(mc_v)_{t_a}^{t_c}$  bilan almashtirilsa, nomogramma aniqroq quriladi.



4.20-rasm. Siqish adiabatasi ko'rsatkichi  $k_1$  ni aniqlash uchun nomogramma.

Siqish politropasi o'rtacha ko'rsatkichi  $p_1$  ning qiymatlarini quyidagi oraliqlarda olish mumkin:

- benzinli dvigatellar uchun ..... $(k_1 - 0,00) \div (k_1 - 0,04)$ ;
- dizellar uchun ..... $(k_1 + 0,02) \div (k_1 - 0,02)$ .

$\varepsilon$  va  $T_a$  larning bir xil qiymatlarida benzinli dvigatellar uchun  $p_1$  qiymati dizellarnikiga qaraganda odatda kichikroq bo‘ladi, chunki yonilg‘i-havo aralashmasi siqilganda yonilg‘i bug‘lanadi, bug‘lanishda esa issiqlik yutiladi. Bundan tashqari, yonilg‘i bug‘larining mavjudligi aralashma issiqlik sig‘imini orttiradi. Bu ikkala omil  $p_1$  qiymatini pasaytiradi.

Politropa ko‘rsatkichi  $p_1$  qiymati o‘rnatilgandan so‘ng, siqish oxirida ishchi jism parametrlari holatning politropik o‘zgarishlari tenglamalaridan aniqlanadi:

bunda siqish oxiridagi bosim

$$p_c = p_a \varepsilon^{n_1} \quad (4.30)$$

siqish oxiridagi harorat

$$T_c = T_a \varepsilon^{n_1 - 1} \quad (4.31)$$

Zamonaviy avtomobil va traktor dvigatellarida siqish oxirida bosim va harorat quyidagi oraliqlarda bo‘ladi:

Elektron purkaladigan

dvigatellarda .....  $r_s = 1,0-2,5$  MPa;

Karbyuratorli

dvigatellarda .....  $r_s = 0,9-2,0$  MPa;  
 $T_s = 600-800$  K;

Nadduvsız tezyurar

dizellarda .....  $r_s = 3,5-5,50$  MPa;  
 $T_s = 700-900$  K;

Nadduvli va porsheni

sovitoladigan

dizellarda .....  $r_s = 5,5-9,0$  MPa  
 (va ko‘proq)  
 $T_s = 700-1100$  K.

Siqish oxirida yangi zaryadning o‘rtacha mol issiqlik sig‘imi havo issiqlik sig‘imiga teng qilib olinadi. 3.3-jadvaldan yoki  $0-1500$  °C haroratlar intervalida 3.4-jadvaldagagi formuladan aniq-

lanadi.

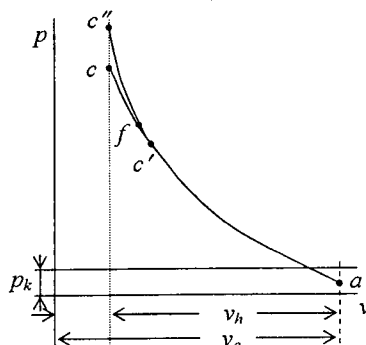
Siqish oxirida qoldiq gazlarning o‘rtacha mol issiqlik sig‘imi  $(mc_v'')_{t_0}^{t_c}$  [kJ/(kmol·grad)] benzin uchun 3.5-jadvaldan, dizel yonilg‘isi uchun esa 3.6-jadvaldan bevosita aniqlanishi mumkin.

Bu jadvallar bo‘yicha  $(mc_v'')_{t_0}^{t_c}$  ni aniqlashning iloji bo‘lmaganida (yonilg‘i elementar tarkibining mos emasligi) qoldiq gazlarning o‘rtacha mol issiqlik sig‘imi quyidagi tenglamadan aniqlanadi

$$(mc_v'')_{t_0}^{t_c} = \frac{1}{M_2} \left[ M_{CO_2} (mc_{vCO_2}'')_{t_0}^{t_c} + M_{CO} (mc_{vCO}'')_{t_0}^{t_c} + M_{H_2O} (mc_{vH_2O}'')_{t_0}^{t_c} + M_{H_2} (mc_{vH_2}'')_{t_0}^{t_c} + M_{N_2} (mc_{vN_2}'')_{t_0}^{t_c} + M_{O_2} (mc_{vO_2}'')_{t_0}^{t_c} \right] \quad (4.32)$$

Ishchi aralashma (yangi zaryad + qoldiq gazlar)ning o‘rtacha mol issiqlik sig‘imi quyidagi ifodadan aniqlanadi

$$(mc_v'')_{t_0}^{t_c} = \frac{1}{1 + \gamma_r} [(mc_v)_{t_0}^{t_c} + \gamma_r (mc_v'')_{t_0}^{t_c}] \quad (4.33)$$



4.21-rasm. Siqish jarayonida yonish boshlanishini hisobga olish.

Hisobdan va  $s$  nuqtaning parametrlari aniqlangandan so‘ng yonish boshlanadigan onni hisobga olish maqsadida siqish chizig‘i taqrifiy to‘g‘rulanadi. 4.21-rasmida  $s'$  nuqtaning holati o‘t

oldirish (yonilg'i purkash) ilgariligi burchagi bilan aniqlanadi. Zamonaviy tezyurar dvigatellarda, ularning nominal ish rejimida o't oldirish ilgariligi burchagi  $30\text{--}40^\circ$  oraliqda, yonilg'i purkala boshlanishi ilgariligi burchagi esa –  $15\text{--}25^\circ$  oraliqda bo'ladi. Yonish chizig'ining ( $f$  nuqta) siqish chizig'idan ajralishi ishchi aralashmaning alanganishi tutilib qolishi davri bilan aniqlanadi. Bunda siqish oxirida bosim taxminan  $p_e = (1,15\ldots 1,25)$  gacha ( $s''$  nuqta) ko'tariladi.

#### 4.4. Yonish jarayoni

##### 4.4.1. Yonuvchi aralashmalarni hosil qilish

Yonilg'i oksidlanishi reaktsiyasining boshlanishi va rivojlanishi reagentlar yonilg'i va kislorod molekulalari kontaktisiz mumkin emas. Bunday kontaktlarning zaruriy miqdori reagentlarni aralashtirish – *aralashma hosil qilish* yo'li bilan ta'min-lanadi.

Yonilg'i yonishi to'liqligi va tezligi nafaqat aralashmadagi yonilg'i va havo miqdorlarining umumiy nisbati (havo ortiqligi koeffitsiyenti), balki aralashma bir jinsliligi, aralashma hosil bo'lishi tezligi, joy va vaqt kabi omillar bilan ham aniqlanadi.

Yonilg'ining har bir molekulasi yonida kislorod, azot va boshqa komponentlarning bir xil miqdori joylashgan aralashma bir jinsli deb ataladi. Turli agregat holatlarda, masalan, oksidlovchi gaz, yonilg'i esa tomchi yoki plynka ko'rinishida bo'lган komponentlardan tarkib topgan aralashma doim bir jinsli bo'lmaydi, uni ikki fazali yoki geterogen aralashma deyishadi. Faqat gomogen aralashmagina bir jinsli bo'lishi mumkin.

Zamonaviy dvigatellarda aralashma hosil bo'lishi jarayoni  $0,0005\text{--}0,06$  s ni tashkil qiladi. Komponentlar haroratini ko'tarish; oqimlarni alohida oqimchalarga bo'lib, aralashish yuzalarini ottirish; bir muhitdan ikkinchisiga nafaqat alohida molekulalar, balki komponentlarning ma'lum hajmlarining ham o'tishiga

yordam beruvchi turbulentli diffuziyani tashkil qilish yo‘li bilan diffuzion jarayonlarni intensivlash mumkin.

Komponentlarning har xil agregat holatlari havo va engil bug‘lanadigan suyuq yonilg‘idan yonuvchi aralashma hosil qilishni qiyinlashtiradi. Aralashish diffuzion jarayonlaridan oldin yonilg‘i bug‘lanishi kerak.

Yonilg‘i bug‘lanishini tezlatish maqsadida karbyurator purkagi-chidan oqib chiqayotgan yonilg‘i 100–300 mkm o‘lchamli alohida tomchilarga purkaladi, natijada bug‘lanish sirti yuzlab marta kattalashadi. Yonilg‘i bug‘langanda aralashmaning harorati pasayadi; bu yonilg‘i to‘yingan bug‘larining bosimini pasaytiradi, natijada aralashmaning bir birlik hajmida bug‘langan yonilg‘i miqdori kamayadi. Bug‘lanish tezligini sekinlatmaslik uchun aralashma shunday qizdiriladiki, aralashma forsunkadan silindr-larga borish yo‘lida yonilg‘ining 60–80% bug‘lansin. Yonilg‘i ning qolgan qismi silindr-larga tomchi va plyonka ko‘rinishida bug‘-havo aralashmasi oqimi bilan kiradi. Bunda alohida silindr-larga suyuq fazada kiradigan yonilg‘i miqdori har xil bo‘ladi. Silindrarda suyuq yonilg‘i bug‘lanishi uchun sharoitlar har xil bo‘lishi mumkin; bu turli silindrlardagi aralashmalarning bir xil bo‘imasligini belgilaydi; turli silindrlardagi aralashmalar nafaqat bir jinsli emasligi darajasi, balki tarkibi bo‘yicha ham farqlanadi. Ko‘p silindrli dvigatellarda bu farq o‘rtachadan 5–15% gacha yetishi mumkin.

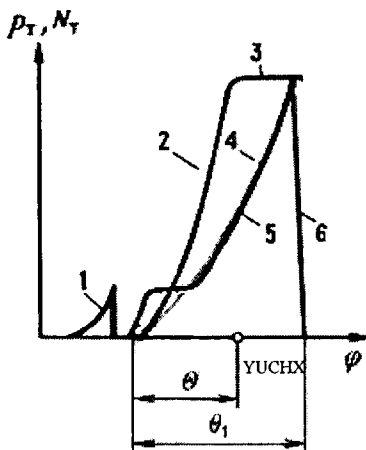
Yonilg‘ini maydarоq purkash va dvigatelning kiritish tizimida ikki fazali aralashmani intensivroq qizdirish yo‘li bilan alohida silindrлar bo‘yicha aralashma tarkibining bir xil bo‘lishini va aralashmaning bir jinsli bo‘lishini yaxshiroq ta‘minlash mumkin. Lekin karbyuratsiyalashda tomchi o‘lchamlarini kichiklashtirish va ularni qizdirish silindrлar to‘lishini kamaytiradi. Shuning uchun karbyuratsiyalash  $T = 250\text{--}350$  K haroratlarda va karbyurator diffuzorlarida havoning nisbatan kam tezliklarida (25–150 m/s) amalga oshiriladi.

Karbyuratsiyalash o'rniga yonilg'i forsunka orqali kiritish patrubkalariga (0,25–0,50 MPa bosim ostida) yoki bevosita silindrlerga (0,9–1,5 MPa bosim ostida) purkalganda aralashma hosil bo'lishini yanada yaxshilash mumkin. Yonilg'i purkalishi silindrler to'lishini, purkalishni va silindrler bo'yicha yonilg'ini dozalashni, dvigatel ish sharoiti bo'yicha yonilg'i uzatilishini sozlashni yaxshilaydi. Silindr ichida aralashmani hosil qilishdan foydalanish siqish darajasini orttirish imkonini beradi, chunki kiritish trubasida yonilg'i qizimaydi, yonilg'inining kech qizishi esa yonilg'i molekulalari ortiqcha qizishining oldini oladi.

Yonilg'i bevosita silindrda purkalganda dvigatelni o't oldirish osonlashadi, yonilg'i sarfi 10% gacha kamayadi, quvvat 6–10% ga ortadi va ishlangan gazlar zaharliligi kamayadi.

Siqilgan zaryac issiqligidan yonilg'i alangalanadigan dvigatellarda aralashma hosil bo'lishining xususiyatlari: yonilg'i yomon bug'lanadi, bug'lanishning sezilarli qismi vaqt bo'yicha yonish jarayoni bilan bir vaqtدا davom etadi, yonish kamerasingning hajmi bo'yicha yonilg'i notejis tarqaladi. Dizel yonilg'isining bug'lanishini tezlatish uchun uning purkalishi va tomchilarining qizishini ta'minlash zarur. Bu ko'p jihatdan yonilg'i purkala boshlanadigan onni, purkalish davomiyligini va purkalishda yonilg'i bosimini belgilaydi.

Zamonaviy dvigatellarda yonilg'i purkalishi ilgariligi burchagi  $\theta$  (4.22-rasm) tirsakli val burilishi burchagi bo'yicha yu.ch.h. gacha  $10\text{--}30^\circ$  ni, to'la quvvatga mos keladigan yonilg'i fazasi purkalishining davomiyligi  $\theta_1=12\text{--}40^\circ$  ni tashkil qiladi. Purkalishning mayinligini ta'minlash uchun purkalish bosimi purkash boshlanishida ajratilgan yonish kameralari uchun kamida 7,5 MPa ni va ajratilmagan yonish kameralari uchun kamida 25 MPa ni tashkil qiladi va purkash davomida bosim mos ravishda 25–245 MPa gacha yetadi.



4.22-rasm. Yonilg'i purkalishi bosimi  $r_yo$  ning tirsakli val buralish burchagiga bog'liqligi:

- 1 – ikki fazali purkashda yonilg'ining birlamchi o't olish dozasini purkash;
- 2 va 4 – ortib borayotgan bosimda purkash; 3 – o'zgarmas bosimda purkash;
- 5 – bosqichli purkash; 6 – purkash oxiri.

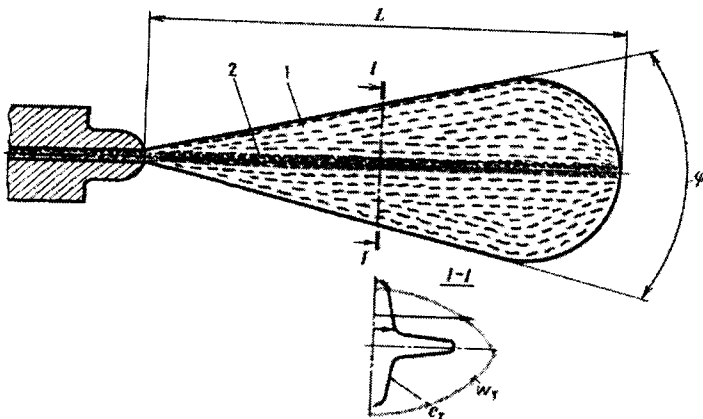
Yonilg'i purkovchi teshiklar kanallari bo'ylab oqqanda va bu teshiklar qirrasidan ajralganda oqimda to'lqin hosil bo'ladi; oqim-dagi bosimning ko'ndalang va bo'ylama tebranishlari oqimni deformatsiyalaydi va ba'zi hollarda uni bo'laklarga parchalaydi. Oqim yonish kamerasidagi zikh havo zaryadi bilan to'qnashganda oqimning notejis sirtidagi sirt tarangligi kuchlari bilan havo zar-yadining aerodinamik kuchlari orasida o'zaro ta'sir boshlanadi. Oqim siljigani va havo zaryadidan qizigani sari bu kuchlarga oqimda hosil bo'layotgan bosim kuchlari qo'shilib boradi.

Bu kuchlar ta'sirida oqim shakli va kattaligi har xil bo'lgan alohida hajmlarga bo'linadi. Oqim parchalangani sari bu hajmlar sirtlaridagi aerodinamik kuchlarning nisbiy qiymatlari ortib boradi, qizigan sari esa sirt tarangligi kuchlari kamayadi. Alohida hajmlar siljigani sari ularning havoga nisbatan tezligi kamayishi natijasida, ularning sirtlaridagi aerodinamik kuchlar kamayadi; bu hajmlar sirt tarangligi kuchlari va atrofdagi bosim ta'sirida shar-

simon shaklni egallay boshlaydi. Tomchilar bug‘lanish va davom etayotgan parchalanish natijasida kichiklashib boradi. Natijada boshida monolit bo‘lgan oqim, parchalana borib, alohida tomchilar, tomchilar orasini to‘ldiruvchi yonilg‘i bug‘lari va gazlar- dan tarkib topgan fakel hosil qiladi.

Purkalgan va bug‘langan yonilg‘i fakelining tuzilishi (4.23-rasm) purkash paytida uzlusiz o‘zgarib boradi. Dastlab fakel uzunligi  $L$  ortib boradi; yonilg‘i kontsentratsiyasi  $S_{yo}$  fakel kesimlarda notejis bo‘ladi ( $\sigma$  q bo‘ylab fakel o‘zagini tashkil qiluvchi oqimlar va tomchilar ko‘rinishida asosiy massa joylashadi);  $\sigma$  qdan chetlashgan sari tomchi o‘lchamlari va ularning tezligi  $w_{yo}$  kamayadi, tomchilar va bug‘lar soni esa ortib boradi; tomchilardan o‘zak atrofida «fakel qobig‘i» hosil bo‘ladi. Birinchi tomchilar ortida gaz va bug‘lar oqimi yo‘ldoshi paydo bo‘ladi, unda harorat tomchilar bug‘lanishi tufayli pasayadi. Buning natijasida keyingi tomchilar sekinroq parchalanadi va bug‘lanadi va fakelni uzaytirib, forsunkadan uzoqroqqa uchib boradi. Kichik boshlang‘ich kinetik energiyaga va katta nisbiy sirtga ega bo‘lgan mayda tomchilar tezroq tormozlanadi, natijada fakel bo‘ylab tomchilar o‘lchamlari bo‘yicha separatsiyalanadi: yirik tomchilar mayda tomchilarga nisbatan uzoqroqqa uchib boradi.

Tomchilar siljigani sari ularning traektoriyasi  $\sigma$  qdan og‘ib boradi, bunga fakel  $\sigma$  qidan tasodifly yo‘nalgan natijaviy aerodinamik kuchlar va fakel markaziy qismining massaviy zichlanishi natijasida hosil bo‘ladigan itaruvchi kuchlar sabab bo‘ladi. Natijada fakel kesimi ortib boradi, fakel Tani burchagi  $\varphi$  bilan tavsiflanadi. Fakelning ochilib borishi va hajmning ortib borishi jarayoniga aylanayotgan tomchilar periferiyadan ilib olayotgan havoning fakelga so‘rib olinishi hamda tomchilar boshlang‘ich o‘lchamlari va massasining kamayishi sabab bo‘ladi.



4.23-rasm. Purkalayotgan yonilg'i fakel tuzilishining sxemasi:  
1-qobiq; 2-o'zak.

Yonilg'i hali fakel endi rivojlanayotgan paytda alanganishi mumkin; mahalliy issiqlik ajralib chiqishi natijasida harorati yuqori bo'lgan, yonish mahsulotlari bilan to'lgan, mahalliy bosimi ortayotgan zonalar hosil bo'lishi mumkin. Bu fakelning buzilishiga va qayta qurilishiga, tomchilar qizishi va bug'lanishining tezlanishiga olib keladi. Yonilg'i purkalishi to'xtagandan so'ng purkalayotgan teshik oldidagi bosim keskin kamayadi, fakel kattalashadi, uning kesimi esa kichiklashadi.

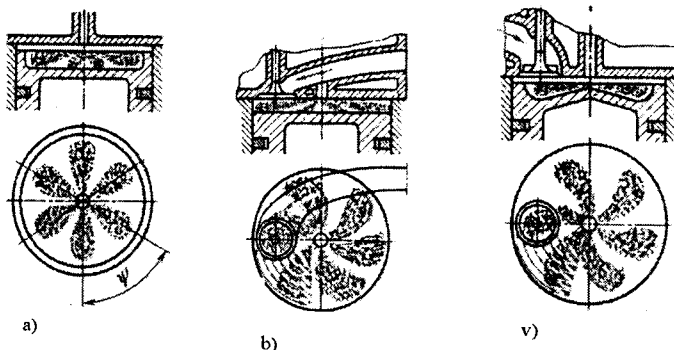
Yonilg'inинг havo zaryadida taqsimlanishi yonilg'ini purkash, uning yoyilishi va bug'lanishi jarayonlaridan boshlanadi. Yonilg'i bug'larining havoga molekulyar diffuziyasi jarayoni tomchining zaryadi 600 m/s gacha bo'lgan tezlikda harakatlanishida tezlashadi, buning oqibatida tomchi sirtidan purkalib haydalayotgan bug'lar uning ortida shleyflar hosil qiladi; shleyflarning hajmi tomchi hajmidan yuz va ming martalab katta bo'ladi. Yonilg'i molekulalari bu shleyflardan qo'shni havo hajmlariga diffuziyalnib o'tadi.

Yonilg'i fakellari ichidagi turbulentlik va ular sonining ko'payishi diffuziya tezligini orttiradi. Bu hamda purkash jarayonida fakellar geometrik parametrlarining o'zgarishi yonilg'i tomchilarining yonish kamerasi hajmida tarqalishiga sabab bo'ladi.

Turbulentli diffuziya va havo zaryadiga intensiv uyurma harakat berishni tashkil qilish yo'li bilan yonilg'ining yonish kamerasi hajmi bo'ylab tekislikda tarqalishiga erishiladi.

Dizellarda aralashma hosil qilishning qayd qilingan prinsiplari konstruktiv shakllantirilganda, har xil sharoitlarda ishlaydi-gan, turli yonilg'ilardan foydalanadigan dvigatellarda zaruriy natijalarga erishish imkonini beradigan yonish kameralari ishlab chiqilgan.

Yonish kameralari ajratilmagan va ajratilganlarga bo'linadi. 4.24-rasmda ajratilmagan yonish kameralarining asosiy konstruktiv shakllari keltirilgan.



4.24-rasm. Ajratilmagan yonish kameralarining asosiy shakllari:  
a – silindrsimon, porshen tubida joylashgan; b – tekis, ularda uyurma kiritish kanali yordamida hosil bo'ladi; c – toroidal, u yerda uyurma kiritish kanalidagi shirma yordamida hosil bo'ladi.

Bunday kameralarda aralashma hosil qilishning asosiy printsipi purkalgan yonilg'ini yonish kamerasining butun hajmi bo'yicha taqsimlashga intilishdir. Bunday aralashma hosil qilish *hajmiy* deb ataladi. Buning uchun fakel shaklini yonish kamerasi shakliga muvofiqlashtirishga intilishadi, fakellar sonini ko'paytirishadi. Bunday kameralarda yonilg'i butun hajm bo'yicha notejis tarqaladi, shuning uchun bunday kameralardan foydalanilganda havo ortiqligi koeffitsiyentining katta qiymatlari ( $\alpha=1,5-2,2$ )ni qo'lla-

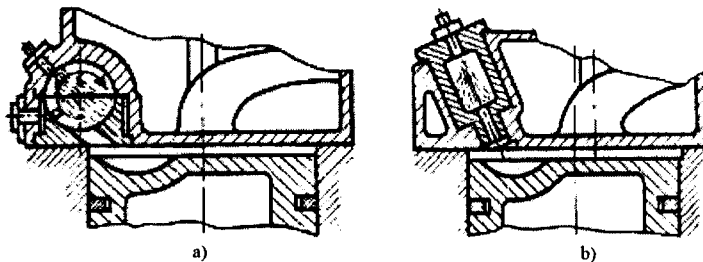
shadi, yonilg‘ini purkash bosimi yuqori (20–245 MPa) bo‘ladi.

Yonilg‘i tomchilarining kamera bo‘ylab taqsimlanishini yaxshilash uchun zaryadga silindr o‘qi bo‘ylab aylanma harakat beriladi, hosil bo‘lgan oqim fakellarga perpendikulyar yo‘nalishda harakat qiladi. Bunday uyurma harakat kiritish kanalining maxsus shakli (4.24,b-rasm) yoki kiritish klapanlari tarelkasidagi maxsus shirma yordamida hosil qilinadi. Gazning perpendikulyar oqimlari yonilg‘ining fakellar orasidagi hajmda taqsimlanishiga xizmat qiladi (4.24,b,v-rasm).

Ajratilmagan yonish kameralari keng tarqalgan va silindr diametri  $D \geq 100$  mm bo‘lgan dvigatellarning hamma turlarida keng qo‘llanadi. Ularning asosiy afzalliklari: konstruktsiya soddaligi, siqish darajasi katta bo‘limgani ( $\varepsilon=14-17$ ) holda dvigatellning yuqori yonilg‘i tejamkorligi, sovitish tizimi elementlarining yuqori kontaktliligi va o‘t oldirish sifatining yaxshiligi.

Ajratilmagan yonish kameralarining asosiy kamchiliklari: dvigatel hisobiy rejimlarda ishlamaganida 1 yonilg‘i shakli va o‘lchamlarining yonish kamerasi shakli va o‘lchamlariga muvofiqligining buzilishi; havo ortiqligi koeffitsiyentining katta qiyamatlari; yonilg‘ini purkash bosimining yuqoriligi. Bunday tashqari aralashma hosil bo‘lishi shartining yonilg‘i sifatiga bog‘liqligi bunday dvigatellarda yonilg‘ining har xil navlaridan foydalanish imkonini bermaydi.

Bu nuqtai nazardan ajratilgan yonish kameralari (4.25-rasm) o‘zini yaxshi namoyon qildi. Ular ikki: porshen ustidagi va kallakda joylashgan hajmlardan iborat bo‘lib, bu hajmlar o‘zarobir yoki bir nechta teshik (yoki tirqish) orqali tutashadi. Shu sababli siqish jarayonida yonish kamerasi kallakda joylashgan qismining to‘lishi bosimlarning katta farqida amalga oshadi, bu esa u yerda intensiv turbulentlik hosil qiladi, natijada purkala-yotgan yonilg‘i yangi zaryad bilan yaxshi aralashadi; purkalayotgan yonilg‘ining miqdori va massaviy tezligiga deyarli bog‘liq bo‘lmaydi.



4.25-rasm. Ajratilgan yonish kameralarining asosiy turlari:  
a) uyurma kamerali; b) old kamerali.

Ajratilgan yonish kameralarining ikkinchi tavsifiy xususiyati shunda-ki, ular sirtining (kamida) bir qismi, ajratilmagan yonish kameralari sirtiga nisbatan, kamroq intensivlikda sovitiladi, natijada ularning harorati yuqoriyoq (1050 K gacha) bo‘ladi. Bu zaryad haroratini ko‘taradi va yonilg‘i bug‘lanishini yaxshilaydi. Shu sababli ajratilgan kamerali dvigatellar yonilg‘ining har xil navlarida, havo ortiqligi koeffitsiyentining kichik qiymatlarda va yonilg‘i kam bosimda purkalganda ham yaxshi ishlaydi, dvigatellar ishash sharoitining o‘zgarishiga kam ta’sirchan, yuklar va aylanishlar chastotalarining o‘zgarishi keng diapazonlarida ishslash uchun yaxshi moslashgan.

Sharsimon, silindrsimon yoki bochkasimon shakldagi uyurma kameralar silindrler bloki kallagida joylashadi va asosiy kamera bilan silindrsimon yoki oval shakldagi bitta-uchta kanal yoki bitta tirqish orqali tutashadi (4.25,*a*-rasm); ular yuqori haroratli o‘rnatma (vstavka)da kamera doirasiga urinma qilib o‘rnatiladi. Bu kamerada uyurma hosil qiladi. Yonilg‘i, odatda, yuqori haroratli o‘rnatma sirt yo‘nalishida purkaladi. Purkalgan yonilg‘i fakeli yonish kamerasi hajmi bo‘yicha yaxshi taqsimlanadi, bu esa havo ortiqligi koeffitsiyentining kichik qiymatlari ( $\alpha=1,15-1,4$ ) dan foydalanish imkonini beradi.

Ajratilgan uyurma kameraning hajmi to‘liq hajmi  $V_s$  ning 40–60% ini tashkil qiladi; bu hajmi 30% gacha kamaytirish tendensiyasi kuzatiladi. Tutashtiruvchi teshiklarning summar

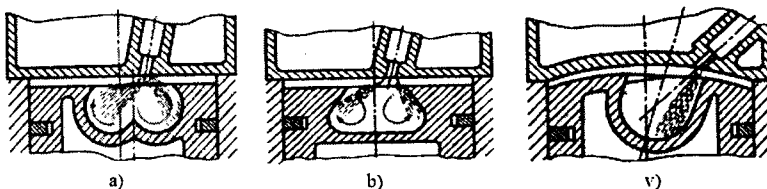
yuzasi porshen yuzasining 0,8–2,7% ni tashkil qiladi, bu 200 m/s gacha oqim tezligini olish imkonini beradi. Purkashning boshlang‘ich bosimi 12–15 MPa dan katta emas. Lekin yonish kamerasining har xil qismlaridagi bosimlar farqining kattaligi hamda issiqlik uzatish yuzasining kattalashganligi tufayli bu dizellarda siqish darajasi 17 dan katta olinadi. Uyurma kameralar  $D \leq 150$  mm bo‘lgan dizellarda qo‘llanadi.

Old kameralar (yoki forkameralar) silindrlar bloki kallagida joylashtiriladi va yonish kamerasining asosiy qismi bilan bir yoki bir nechta (sakkiztagacha) kanallar bilan tutashtiriladi; bu havo-nirg (nisbatan) unga katta bo‘lmagan tezliklarida (320 m/s gacha) va old kameraning kichik o‘lchamlarida u yerda intensiv tartibsiz uyurmalar hosil qiladi; bu uyurmalar fakelni buzib tashlaydi va yonilg‘ini havo bilan aralashtrib yuboradi (4.25,*b*-rasm). Katta siqish darajalarida ( $\epsilon=19\text{--}22$ ) va qizigan o‘matma mavjudligida purkashning boshlang‘ich bosimini 7,8–12,3 MPa gacha, havo ortiqligi koeffitsiyenti  $\alpha$  ni esa 1,05–1,2 gacha kamaytirish imkonini beradi, old kameraning hajmi  $V_s$  hajmining 20–40% ni tashkil qiladi; tutashtiruvchi kanallarning summar kesim yuzasi porshen yuzasining 0,3–1,0% ni tashkil qiladi, bu siqish oxirida old kameradagi va porshen ustidagi hajmdagi bosimlarning maksimal farqlanishini (0,3–0,5 MPa) ta’minkaydi.

Old kameralardan oqib chiqqan chala yonish mahsulotlari va yonilg‘i bug‘lari porshen ustki hajmidagi zaryad bilan intensiv aralashadi, bu yonishning etarli darajada to‘liq bo‘lishini ta’minlaydi. Old kameralar dvigatellarni, uyurma kameralilarga nisbatan ham, yonilg‘i navi va ish rejimiga sezgirligini kamaytiradi; uyurma kameralarga nisbatan oqib o‘tish yo‘qotishlari va issiqlik almashinuvi yo‘qotishlarining kamligi old kameralar silindrining diametri  $D \leq 350$  mm gacha bo‘lgan dvigatellarda qo‘llash imkonini beradi.

Aralashma hosil bo‘lishi jarayonini yaxshilash va ajratilgan yonish kameralarining kamchiliklarini kamaytirishga intilish «yarim ajralgan» yonish kameralarini yaratishga olib keldi (4.26-rasm); ular porshen tubida joylashadi. Dastlab porshenning chiqib turgan qismi bilan zaryadni porshendagi kameraga siqib chiqarish

va ish bilan aralashma hosil bo'lishini yaxshilamoqchi bo'lishdi. Lekin bu usul, S. Moyrer plenkali aralashma hosil qilishni ishlab chiqmagunicha, natija bermadi.



4.26-rasm. Yarim ajralgan yonish kameralarining asosiy shakllari:

a – torosimon (Tatra); b – konussimon (TSNIDI);

v – nosimmetrik (DSITTS).

Plyonkali aralashma hosil qilish uchun purkalayotgan yonilg'i dozasining asosiy qismini (90–95% gacha) yonish kamerasi devoriga katta bo'lmanan burchak ostida berish zarur; bunda yonilg'i devor bo'ylab yupqa qatlamda oqib tushishi, devor yonida esa zaryad harakatini shunday tashkil qilish lozimki, pylonkadan yonilg'i bug'lari intensiv olib ketilsin, lekin pylonka buzilmasin. Bu yonilg'i fakeli bo'ylab yo'nalgan, devor yonida tezligi taxminan 10–15 m/s bo'lgan uyurmada mumkin bo'ldi.

Pylonka qalinligi, pylonka ustidagi zaryad harakatining intensivligi va devor haroratining optimal mutanosibligi bug'lanishning optimal tezligini ta'minlaydi. Devorning harorati alohida ahamiyatga ega, chunki devor harorati yetarli darajada yuqori bo'lmasa pylonkaning qizishi ham yetarli bo'lmaydi; harorat haddan tashqari yuqori bo'lsa intensiv hosil bo'layotgan bug'lar pylonkani qizitayotgan sirdan ajratishadi va natijada issiqlik keltirilishining intensivligi kamayadi. Mavjud konstruksiyalarda  $T_{devor} = 620\text{--}725 \text{ K}$ .

Alanganish zaryad harorati devor haroratidan yuqori bo'lган, fakeldan yonilg'i bug'lanishi natijasida hosil bo'lgan aralashmada sodir bo'ladi.

Yarim ajralgan kameralarning porshen tubidagi hajmi to'liq hajm  $V_c$  ning 70–90% ni tashkil qiladi; yonish kamerasining

minimal kesimi porshen yuzasi  $F_p$  ning 36–75% iga teng; havo ortiqligi koefitsiyenti  $\alpha=1,3–1,6$ ; yonilg‘i purkalishi boshlanishidagi bosim 15–17 MPa; soplodagi teshiklar soni  $z=2–5$ .

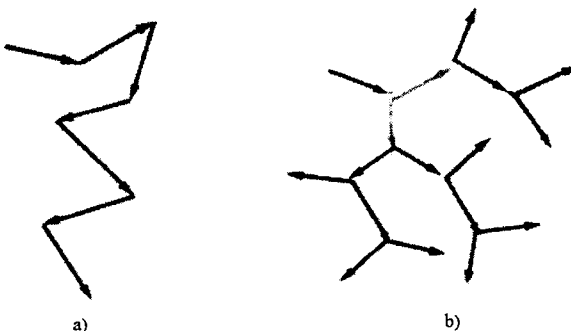
Plyonkali aralashma hosil qilish uchun yarim ajralgan kameralar eng qulay bo‘lib chiqdi – ular ixcham (компактные), havo yonish kamerasiga siqib chiqarilayotganda hosil bo‘ladigan uyurmalarini, silindr to‘lishida hosil qilinadigan havoning aylanma harakati bilan uyg‘unlashtirish imkonini beradi. Yonish kamerasi devorlari qalinligini o‘zgartirib, zarurat tug‘ilganda porshen sovitilishini ham sozlab, yonish kamerasi devorlari yuzasidagi haroratlar maydonini sozlash imkonini vujudga keldi; forsunkalar va purkalgan yonilg‘i fakellarning joylashishi ham qulay bo‘lib chiqdi. Sof plyonkali aralashma hosil qilishning kamchiliklari namoyon bo‘lganda (ishchi jarayonni takomillashtirish murakkabligi, dvigatellarni o‘t oldirish qiyinligi, ishlangan gazlar zaharliligining yuqoriligi, kam yuklarda ishlaganda tutash) bu afzallikkardan foydalanildi va hajmiy – plyonkali aralashma hosil qilishga o‘tildi, bunda yonilg‘ining 40–60% devorga beriladi hamda siqib chiqarish uyurmalarini va zaryad aylanma harakatining urinma tashkil etuvchilaridan foydalanildi. Qolgan yonilg‘i yonish kamerasidagi zaryad hajmiga berildi.

#### **4.4.2. Alangalanish va yonish jarayonlari**

Yonish boshlanishi uchun energiyaning birlamchi sarfi zarur, bu vazifani siqilgan zaryad issiqligi yoki elektr razryadi energiyasi bajaradi.

Oksidlanish jarayoni – bu elektronlarning oksidlanayotgan modda atom va ionlari orbitasidan oksidlovchi modda atom va ionlari orbitasiga o‘tish jarayonidir. Elektronlarning bunday siljishi uchun energiya zarur, u molekulalarga reaksiya boshlanishida o‘zaro urilishlardagi kinetik energiya ko‘rinishida keltiriladi. O‘zaro urilishlar soni va ularning energiyasi reagentlar konentratsiyasiga va haroratga bog‘liq va ular gomogenli va geterogenli aralashmalar uchun molekulyar fizika qonunlaridan aniqlanishi mumkin.

Sharoitga qarab reaksiya zonasida tarmoqlanmagan va tarmoqlangan zanjirli reaksiya rivojlanishi mumkin (4.27-rasm). Birinchi holda bitta aktiv markaz tugagunicha yoki mahalliy noqulay sharoitlar tufayli reaksiya uzilgunicha davom etadi.



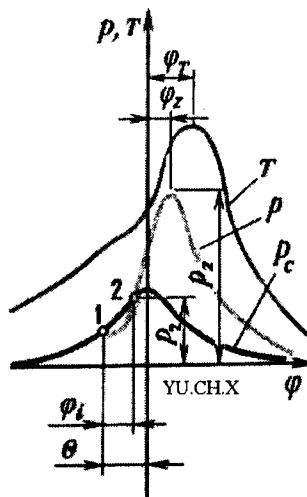
4.27-rasm. Oksidlanishning zanjirli reaksiyalari sxemasi:  
a—tarmoqlanmagan; b—tarmoqlangan.

Ikkinchi holda reaksiya natijasida bitta aktiv markaz o‘rnida ikkita yoki ko‘proq yangi aktiv markazlar hosil bo‘lishi mumkin; natijada reagentlar konsentratsiyasi kamayishiga qaramasdan oksidlanish reaksiyasi tezlashib boradi. Tarmoqlangan zanjirli reaksiyada yonish tezligi tezda cheksizgacha yetishi mumkin edi. Lekin bu sodir bo‘lmaydi, chunki tarmoqlarning bir qismi uziladi (asosan yonish kamerasi devorlari yaqinida), aralashma sarf bo‘lgani sari esa, reaksiyaga kirishadigan zarrachalar soni kamayib boradi. Maksimal qiymatga yetgandan so‘ng, reaksiya tezligi kamaya boshlaydi.

Reaksiyaga yetarli darajada ko‘p molekulalar kirishgandan so‘ng, zaryad issiqligining devorlarga va yonilg‘i bug‘lanishiga uzatilishi ajralib chiqayotgan oksidlanish issiqligi bilan qoplanadi (issiqlik muvozanati oni) va yonish kamerasida kritik harorat  $T_{kr}$  yoki aralashmaning alanganishi harorati o‘matiladi; bundan keyin harorat va bosim tez ko‘tarila boshlaydi. Agar indikator bosimi bilan oldin kameradagi bosim yonilg‘i purkalmasdan, so‘ngra esa yonilg‘i purkalganda yozilsa, issiqlik muvozanati

onini sezish mumkin.

Bosim yetarli darajada sezgir datchik bilan yozilganda ishni sezish mumkin-ki, yonilg'i purkalishi boshlangan 1-nuqta (4.28-rasm)dan keyin bosim chizig'i dastlab yonilg'i purkalmagandagi siqish chizig'idan pastroqda o'tadi, so'ngra 2-nuqtada siqish chizig'ini kesib o'tadi va tez ko'tarila boshlaydi. Purkash boshlanishida bosim chizig'ining pasayishini issiqlikning purkalgan yonilg'i tomchilarini qizitish va bug'latishga sarflanishi bilan tushuntirish mumkin. 1- va 2-nuqtalar orasida, yonish go'yo mavjud emas yoki yonilg'i berilishiga nisbatan kechikayotganda, oksidlanish jarayonlarining yashirin davri mavjudligini qayd etish mumkin. Bu davr *induksiya davri* yoki *yonilg'i alangananishining kechikishi davri* deyiladi va  $\tau_i$  (sekundda) yoki  $\varphi_i$  (gradusda) bilan belgilanadi. Burchak  $\varphi_i$  yonilg'ining fizik-kimyoviy xossalariiga va yonish kamerasida oksidlanish jarayonlarining rivojlanishi sharoitlariga bog'liq.



4.28-rasm. Bosim va harorat diagrammalari.

Eksperimentlar shuni ko'rsatadiki,  $\tau_i$  davomiyligi va hosil bo'layotgan yonish o'choqlari soni yonilg'ining mayda purkali-

shiga ko'pda bog'liq emas, chunki yonilg'i juda qo'pol purkal-ganda ham alangalanish uchun yetarli miqdorda mayda tomchilar hosil bo'lar ekan. Yonilg'i purkalishi ilgariligi burchagini katta-lashtirish yonilg'inining hamma navlari uchun alangalanishning tutilib turish davrini uzaytiradi, chunki yonilg'inining qizish va bug'lanish jarayonlari hamda komyoviy reaktsiyalarning tez-lashishi ancha past haroratlarda boshlanadi; turbulentlikning intensivlashishi haroratning pasayishi va yonish o'chog'i hosil bo'lishi mumkin bo'lgan joyda yonilg'i bug'lari kontsentratsiyasi kamayishi oqibatida  $\tau_i$  davni uzaytiradi.

Agar hosil bo'lgan yonish o'chog'inining hajmi yetarli darajada katta, uning mavjud vaqt o'rabi turgan aralashma qatlamlarini qizitish va alangalatish uchun yetarli bo'lsa, yonish jarayoni tarqala boshlaydi va birmuncha vaqt  $\tau_i$  (alangalanishning tutilib turish davri) o'tgandan keyin bosimlarning indikator diagrammasida bosim chizig'inining siqish bosimi chizig'idan ajralib chiqqanini (4.28-rasm, 2-nuqta) ko'rish mumkin. Agar yonish o'chog'i hajmi va uni razryad bilan qo'llab-quvvatlash davomiyligi yetarli bo'lmasa, o'chog' o'chadi va yonish rivojlanmaydi.

Alanganing tutilib turish davri yonilg'i naviga, aralashma tarkibiga, siqish oxirida aralashmaning harorati va bosimiga hamda elektr razryadi quvvatiga bog'liqligi tajribalarda aniqlangan. Agar yonilg'inining alangalanish harorati qanchalik past va uning termik stabilligi qanchalik kam bo'lsa, alanganing tutilib turish davri shunchalik qisqa bo'ladi; aralashma boyigani sari tutilib turish davri qisqarib boradi. Aralashma harorati va bosimining ortishi  $\tau_i$  ni qisqartiradi; razryad quvvatining ortishi  $\tau_i$  ni qisqartiradi.

Yuqori haroratli alangalanish elektr razryadidan o't oldiri-ladigan hamma dvigatellar uchun, hamda tarkibida ko'p aromatiklar bo'lgan yonilg'ilardan foydalilaniladigan dizellar uchun xarakterlidir.

## Majburan o't oldiriladigan dvigatellarda yonish

Uchqun ta'siri natijasida yonish o'chog'ining hosil bo'lishida uning hajmi yonish mahsulotlari bilan to'yinib boradi hamda yonmagan aralashma bilan hosil bo'lgan yonish mahsulotlari orasida ajratuvchi qatlam hosil bo'ladi. Bu qatlamga aralashma atrofidan diffuziya natijasida yonilg'i va oksidlovchining molekulalari, yonish o'chog'i tarafidan esa – yonish mahsulotlari va issiqlik kirib keladi. Natijada alanganing laminar fronti hosil bo'ladi. Bu qatlamda harorat  $T_{\text{aralashma}}$  dan  $T_{\text{yonish mahsulotlari}}$  gacha keskin o'zgaradi, bu diffuziya jarayonlarining tezlashishiga sabab bo'ladi. Alanga yonuvchi aralashma tarafiga  $w_n$  normal tezlikda siljiy boshlaydi. Normal tezlik  $w_n$  yonuvchi aralashma tarkibiga bog'liq. Benzin-havo aralashmalari uchun  $w_n$  maksimal qiymatga  $\alpha = 0,85-0,95$  da erishadi.

Harorat va bosim ko'tarilganda alanganishning kontsentration chegaralari kengayadi,  $w_n$  tezlik ortadi; aralashmada qoldiq gazlar ko'payganda kontsentratsion chegaralar torayadi,  $w_n$  tezlik kamayadi.

Vujudga kelayotgan mayda mashtabli (mikroturbulentlik) va yirik mashtabli (makroturbulentlik) pulsatsiyalar yonish kamerasi bo'ylab alanga tarqalishini tezlatadi. Makroturbulentlikning vujudga kelishi kiritish va siqish jarayonlarida uyurma hosil bo'lishi bilan belgilanadi.

Mikroturbulentlik diffuziya intensivlashishi natijasida  $w_n$  ning ortishiga sabab bo'ladi; makroturbulentlik rivojlangani sari alanga fronti notejislashadi, so'ngra uziq-yuluqqa aylanadi; alanga frontining aralashma tarafga siljish tezligi 15–80 m/s gacha ortadi; u turbulentli tezlik  $w_t$  deb ataladi. Vaqt birligida yonayotgan aralashma miqdori ortadi. Issiqlik ortib chiqishi tezligi ortishi natijasida dvigatel silindridagi harorat va bosim ko'tarilishi tezlashadi (4.28-rasm).

Alanga yonish kamerasining butun hajmi bo'ylab tarqalgandan so'ng, reaktsiyaga kirishayotgan aralashma miqdori kamayadi. Reaktsiyalar tezligi ham pasayadi, chunki yonish zona-

sida yonilg'i va oksidlagich kontsentratsiyalari kamayadi, yonish mahsulotlarining kontsentratsiyasi esa ko'payadi. Poshenning  $\varphi$  burchakka mos holatida bosim maksimal qiyomatga etib, pasaya boshlaydi, chunki porshen yu.ch.h. dan q.ch.h. tomon siljiy boshlaganda silindr hajmi ortib, yonish kamerasi devorlariga issiqlik yo'qotish ko'payib boradi.

Agar yonish kamerasida ko'p o'z-o'zidan alangalanish markazlari hosil bo'lsa, yonishda kuchli shovqin hosil bo'ladi.

Ba'zi sharoitlarda normal yonish jarayoni buzilishi mumkin, bu dvigatel quvvatiga, tejamkorligiga, shovqinga, ishlangan gazlar zaharliligiga, ishonchlilikiga hamda dvigatel xizmati muddati (resurs)ga ta'sir qilishi mumkin.

Yonishning buzilishlariga quyidagilar kiradi:

1. Aralashma haddan tashqari kambag'allashib ketishi, uchqun hosil bo'imasligi yoki uchqun quvvatining kam bo'lishi natijasida ololmaydi yoki quvvatini oshira olmaydi.

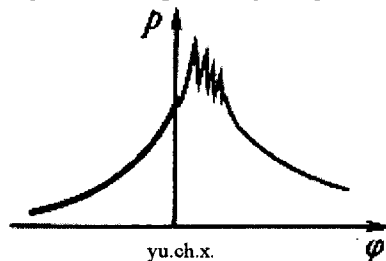
2. Kiritish tizimida o't olish asosan aralashma haddan tashqari kambag'allashib ketgani sababli yonishning kichik tezligi yoki kech o't olish hisobiga sodir bo'lishi mumkin; aralashma bu holda hatto chiqarish taktida ham yonishda davom etadi va gaz taqsimlash fazalari qoplashishi katta bo'lsa, kiritish tizimidagi aralashma yonib ketishi mumkin, bu karbyuratoridan chiqayotgan o'q tovushidek tuyuladi.

3. Silindrda aralashmaning uchqun paydo bo'lishidan oldin o'z-o'zidan alangalanishi; bu yonish kamerasining mahalliy joylari (chiqarish klapanlari, svechalar, silindrler kallagini ba'zi joylari) qizib ketganda yoki bu yuzalardagi so'xtalarning qizib ketishida (kalil o't olish) sodir bo'lishi mumkin; kalil o't olishning belgilari: porshen yu.ch.h. ga yaqinlashib qolganida bosim haddan tashqari ortib ketganligi tufayli dvigatel quvvatining pasayishi; dvigatelning qizib ketishi; bosim tez ko'tarilib ketishi natijasida bo'g'iq shovqinlarning paydo bo'lishi.

4. Detonatsiya – alohida sharoitlarda yonuvchi aralashmada rivojlanadigan murakkab kimyoviy – issiqlik jarayonidir; detonatsiyaning tashqi belgilari: dvigatel quvvati kamayadi, o'zi qiziydi, chiqarish tizimidan qora tutun chiqadi; qorong'ida porsheni yengil

qotishmalardan tayyorlangan dvigatellarning chiqaruvchi patrub-kalaridan yashil rangli alanga chiqayotganini sezish mumkin; detonatsiya paytida yozilgan indikator diagrammada maksimal bosimlar zonasida bosimning o'tkir cho'qqilar ko'rinishida keskin tebranishi kuzatiladi (4.29-rasm).

Oktan soni kam bo'lgan yonilg'ilar, biroz boyigan ( $\alpha \approx 0,9$ ) aralashma tarkibi, yuqori siqish darajasi, dvigatelga tushayotgan katta yuk, dvigatel vali aylanishlar chastotasining kamayishi, haddan tashqari katta o't oldirish ilgariligi burchagi, dvigatelga kirishda yuqori harorat va bosim, yonish kamerasi devorlarining qizib ketishi, silindr o'lchamlarining katta bo'lishi detonatsiya-ning paydo bo'lishiga va uning kuchayishiga sabab bo'ladi.



4.29-rasm. Detonatsion yonishda bosim diagrammasi.

Detonatsion yonish o't oldirish svechasidan uzoqda joylashgan qizigan devorlar yaqinida vujudga keladi. Bunday joylarda aralashma normal yonish alangasining fronti yetib kelgunicha kuchli qizib ketadi va intensiv siqiladi, bu alanganish oldi reaksiyalarining tez rivojlanishiga sabab bo'ladi.

Bunday jarayonlar natijasida aralashma o'z-o'zidan alanganadi, jarayonlar o'z-o'zidan tezlashadi. Yonish portlash tavsifiga ega bo'ladi, mahalliy harorat keskin ortadi, bosimning zarbiy to'lqini hosil bo'ladi; kamerada to'lqin tarqalish tezligi 1000–2300 m/s gacha yetishi mumkin. Yonish kamerasi devorlariga urilib qaytib, zarbiy to'lqin yangi to'lqinlarni va yangi alanganish o'choqlarini hosil qiladi, ular dissotsiatsiyani kuchaytiradi, issiqikning katta qismi yutiladi.

Dissotsiatsiya mahsulotlari va yonilg‘ining yonib ulgurmagan qismi kengayish jarayonida qisman yonadi, yonish effektivligi kam bo‘ladi, dvigatel quvvati va tejamkorligi pasayadi. Zarbiy to‘lqinlar lokal va qisqa muddatli ta’sir qilib, fazalar ishini orttirmaydi, lekin devorlarga issiqlik uzatilishini, detallarga tushadigan mexanik va issiqlik zarbini keskin orttiradi.

Dvigatel detonatsiya bilan ishlashiga ruxsat etib bo‘lmaydi, chunki dvigatel qizib ketadi, detallarga haddan tashqari katta yuklar tushadi, yonish kamerasining engil qotishmalardan tayyorlangan detallarining sirtlari intensiv erroziyalanadi (ishlangan gazlarning yashil rang bo‘lishining sababi).

5. Chiqarish tizimida alanganishlar, ular o‘q tovushiga o‘xshash shovqin hosil qiladi; bunday alanganishlar silindrlerda alanganish bo‘limgani tufayli u yerda to‘planib qolgan yonuchi aralashmaning yonishi yoki dvigatel yuki keskin ko‘payganda qizigan detallardan uziladigan qurum natijasida hosil bo‘ladi.

### **Dizellarda yonish**

Dizellarda yonish kamerasida yonish o‘choqlari hosil bo‘lgandan keyin ularning atrofida alanga fronti shakllanadi; issiqlikning ajralib chiqishi va yonish mahsulotlarining kengayishi issiqlik to‘lqinining hosil bo‘lishi va aralashmaning siqilishiga olib keladi. Bu alanga oldi reaksiyalarini va yonishning yangi o‘choqlari hosil bo‘lishini tezlashtiradi. O‘choqlarda yonishga madad berish va tarkibi bir xil bo‘lmagan aralashmada yangi o‘choqlarning hosil bo‘lishi oksidlanish kimyoviy reaksiyalarining tezligi bilan emas, balki yonuvchi tarkibli aralashmalar hosil bo‘lishi tezligi bilan belgilanadi. Shu sababli 1000 K dan yuqori haroratlarda diffuzion jarayonlar va zaryadning uyurma harakati yonilg‘i yonib tugashining tezligini belgilovchi omil bo‘ladi.

Agar alanganishning tutilib turish vaqtida ko‘p yonilg‘i purkalgan bo‘lsa, yonishning ko‘p o‘choqlari paydo bo‘ladi. Buning natijasida kimyoviy reaksiyalar va yangi aralashmalar hosil bo‘lishi keskin tezlashadi; issiqlik ajralib chiqishi va bosim-

ning ortish tezligi haddan tashqari katta bo‘lishi mumkin, bunda yonish «qattiq» deb tavsiflanadi.

Yonishning bundan keyingi rivojida yonish zonasiga yonilg‘i bug‘lari yoki kislorodning kelishi tezligi kamayadi, ba’zi zonalarda aralashma yonilg‘i yoki, aksincha, kislorodga kambag‘allashib ketadi. Reaktsiya zonalarida yonish mahsulotlari konstratsiyasining ortishi, bosim va haroratning pasayib borishi yonish tezligining pasayishiga, uning kengayish jarayonida davom etishiغا, aralashma tarkibi yonuvchanlikni ta’minlaydigan zonada yonishning to‘xtashiga olib keladi.

Dizellarda yonishning buzilishi tutun chiqishida yoki silindrarda bosim haddan tashqari katta tezlikda ortishida (bunda shovqin hosil bo‘ladi) namoyon bo‘ladi. Yonilg‘i uzatish tizimidagi nosozlik yoki havo ortiqligi koeffitsiyentining kamayishi bunga sabab bo‘ladi.

Yonilg‘i uzatilishi nosozligiga:

- kokslanish yoki yejilish natijasida forsunkalardagi purkaydigan teshiklar o‘lchamlari va shaklining o‘zgarishi;
- forsunkalar ignalari yoki yonilg‘i nasoslar klapanlari prujinalari elastikligini yo‘qotishi;
- pretszision juftliklar yejilishi;
- forsunkalar va nasoslar ignalari va klapanlarining o‘z qo‘zg‘aluvchanligini yo‘qotishi sabab bo‘lishi mumkin.

Bu effektlar natijasida yonilg‘ini purkash yomonlashadi, fazalar o‘zgaradi, purkash davomiyligi va yonilg‘ining siklaviy uzatilishi buziladi, alanga hosil bo‘lmaydigan hollar vujudga kelishi mumkin.

Siqish oxirida zaryad harorati va bosimining pasayishiga:

- havo filtrining ifloslanishi;
- klapanlarning kokslanishi;
- klapanlar va halqalar zichlikni ta’minlamasligi;
- gaz taqsimlash fazalarining o‘zgarishi;
- nadduvli dvigatellarda gaz-havo traktida nozichliklar tuyfayli havo bilan ta’minlashning buzilishi sabab bo‘lishi mumkin.

Yonilg‘i va moylarning mos bo‘lmagan navlaridan foydalanish

natijasida intensiv so'xta hosil bo'lishi, tutash, «qattiq» yonish ham yonish jarayonining buzilishiga sabab bo'lishi mumkin.

#### **4.4.3. Yonish jarayonini tashkil qilish metodlari**

Dvigatel quvvati, tejamkorligi va ishonchliligin belgilovchi yonish jarayonining asosiy parametrlari:

- bosim ortishining maksimal va o'rtacha tezliklari;
- maksimal bosim kattaligi va unga erishiladigan moment;
- kengayish jarayonida yonadigan yonilg'i miqdori.

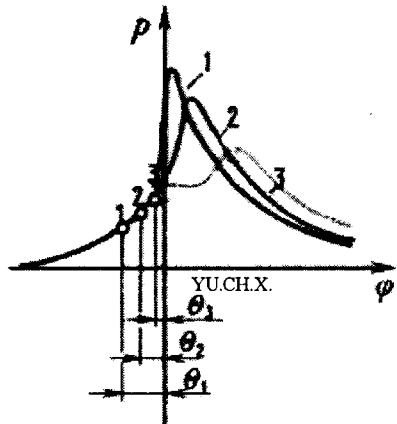
Ushbu parametrlarning zaruriy qiymatlari yonish jarayonini tashkil qilish bilan ta'minlanadi.

*Uchqun bilan o't oldiriladigan dvigatellarda tanlangan yonilg'i navi va siqish darajasida yonish jarayoniga o't oldirish ilgariligi burchagi va aralashmaning yonish tezligini (vaqt birligida yonadigan aralashma miqdorini) o'zgartirish bilan yonish jarayoniga ta'sir qilish mumkin.*

*O't oldirish ilgariligi burchagi* yonish jarayoniga kuchli ta'sir qiladi. O't oldirish ilgariligi burchagi  $\theta_1$  haddan tashqari katta bo'lganda yonish juda barvaqt boshlanadi, bunda porshen yu.ch.h. ga qarab siljishida katta qarshilikka uchraydi (4.30-rasm, 1-chiziq), bosimning ortish tezligi va maksimal qiymati haddan tashqari katta bo'ladi, gaz kuchlari ta'sirida dvigatel zo'riqadi, uning quvvati va tejamkorligi optimal qiymatlarga yetmaydi, detonatsiya vujudga kelishi mumkin. O't oldirish ilgariligi burchagi  $\theta_3$  haddan tashqari kichik (kech o't oldirish) bo'lganda yonishning rivoji kechikadi (3-chiziq), dvigatel quvvati kamayadi, tejamkorligi yomonlashadi, u qizib ketadi. Burchak  $\theta_2$  optimal bo'lganda bosimning ortish tezligi va maksimal qiymati normal bo'ladi (2-chiziq), dvigatel maksimal quvvat va tejamkorlikka erishadi. O't oldirish ilgariligi burchagining qiymati aralashma alangalani-shining tutilib turishi davri va yonish vaqt bilan belgilanadi.

*Aralashmaning yonish tezligi* alanga fronti siljishining tezligi  $w_{yo}$  va uning yuzasi bilan aniqlanadi. Alanga fronti siljishininng tezligini aralashma tarkibi bilan, alanga frontining kattaligini esa

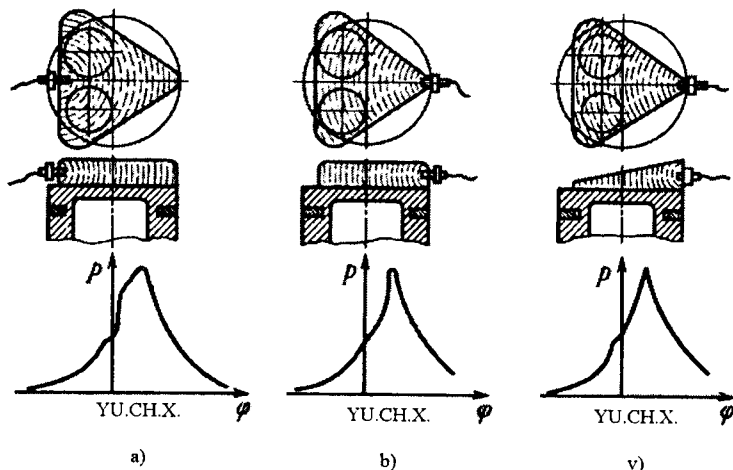
yonish kamerasingin shakli bilan rostlash mumkin.



4.30-rasm. Yonilg'i o't oldirilishi yoki purkalishining har xil ilgariligi burchaklarda bosim diagrammalari.

Sxemasi 4.31, $\alpha$ -rasmda ko'rsatilgan yonish kamerasi uchun alanga fronti yuzasi front siljishining yuoshida tez ortib boradi va siljish oxirida bu yuza kamayib boradi. Natijada bunday kamerada yonish boshida bosim juda tez, yonish oxirida esa sekin ortib boradi. Yonishning to'liq davri uchun bosim ortishining o'rtacha tezligi katta bo'lmaydi, lekin dvigatel «qattiq» ishlaydi. 4.31,b-rasmda keltirilgan sxema bo'yicha bajarilgan yonish kamerasida svecha yonish kamerasingin tor joyida joylashgan. Bunda yonish kamerasi bo'ylab tarqalgani sari alanga frontining yuzasi kattalashib boradi, kamerada harorat va bosim ko'tarilib borgani tufayli front tezligi ortib boradi; bosim ortishi tezligi muttasil kattalashib boradi va dvigatel ishi «qattiq» bo'ladi.

4.31,v-rasmda keltirilgan yonish kamerasida svechadan uzoqlashgan sari balandlik kamayib boradi, shuning uchun alanga frontining yuzasi kam o'zgaradi, alanga tarqalishi tezligi ortib borayotganda, yonish kamerasi hajmi kattalashib borishini hisobga olsak, bosim deyarli o'zgarmas, katta bo'limgan tezlikda ortib borishini anglaymiz.



4.31-rasm. Alanga fronti yuzasini o'zgartirish yo'li bilan yonish tezligini rostlash imkonini beradigan yonish kameralari sxemalari.

Detonatsion yonish ehtimolini kamaytirish uchun oktan soni yuqori bo'lgan yonilg'idan foydalanish, porshen va kallakkarni tayyorlash uchun issiqlikni yaxshiroq o'tkazadigan materiallarni qo'llash va ularni intensiv sovitish, boyroq aralashmalardan foydalanish va alanga frontini turbulentlash orqali alanga fronti tarqalishi tezligini oshirish, elektr razryadini intensivlash va svechani chuqurlashtirib joylashtirish hisobiga elektrodlar zonasida uyurmalarini kamaytirish, ixchamroq kamerani tanlash, svechani kamera markazida joylashtirish, ikkita svecha o'rnatish lozim.

Dizellarda yonish jarayoniga yonish kamerasining turini, purkash ilgariligi burchagini, purkash bosimi o'zgarishi qonunini tanlash bilan ta'sir qilish mumkin.

#### **4.4.4. Indikator diagramma bo'yicha yonish jarayonini tahlil qilish.**

##### **Dvigatellarda yonishning asosiy fazalari**

Yonish jarayonlarining eksperimental tadqiqotlarida to'plan-gan katta tajriba indikator diagrammaning ko'rinishi bo'yicha yonish jarayonining takomilligi haqida xulosa chiqarish imkonini

beradi. Masalan, dvigatel maksimal quvvat va tejamkorlikka ega bo‘lganida normal yonishda indikator diagramma qanday bo‘lishi kerakligi ma’lum. Yonish jarayonini tahlil qilishda eksperimental indikator diagrammadan tashqari, gaz holati tenglamasi bo‘yicha hisoblangan harorat chizig‘i diagrammasidan ham foydalaniladi. Bosim va harorat egri chiziqlari tavsifi bo‘yicha yonish asosiy fazalarining shartli chegaralarini belgilashadi va yonish jarayonining sifatini baholashadi.

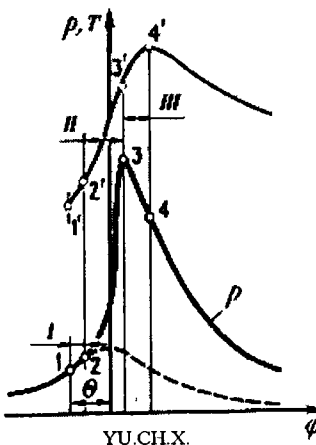
### **Majburan o‘t oldiriladigan dvigatellarda yonish fazalari**

*Birinchi faza I – elektr uchqunidan boshlang‘ich alanga o‘chog‘ining hosil bo‘lishi va alanga turbulent frontining rivojlanishi.* Birinchi faza faza davomiyligini alangalanishning tutilib turish davomiyligi – svecha elektrodlari orasida uchqun paydo bo‘lgan ondan (4.32-rasm, 1-nuqta) silindrda bosim keskin orta boshlashigacha (2-nuqta) bo‘lgan davrga teng qilib olishadi; 2-nuqtada yonishdagi bosim chizig‘i (uzluksiz chiziq) yonish bo‘magandagi chiziq (shtrixli chiziq)dan ajralib ko‘tarila boshlaydi.

*Ikkinci faza II – tez yonish fazasi – asosiy faza.* Ikkinci faza davomida alanga fronti yonish kamerasi hajmining ko‘p qismiga tarqaladi va silindr devorlariga yetadi. Silindrda bosim maksimal qiymatga yetganida (3-nuqta) asosiy yonish tugaydi deb qabul qilishadi.

*Uchinchi faza III – yonish tugashi.* Uchinchi faza bosim maksimal qiymatga yetganda boshlanadi va yonilg‘i yonib bo‘lganda (4-nuqta) tugaydi deb hisoblashadi; kengayish jarayonining boshlanishida yonish biroz muddat davom etadi. Uchinchi fazada alanga fronti ortidagi va devor oldi qatlamdagi, porshen bilan silindr kallagi orasidagi tirkishdagi yonilg‘ining chala yongan mahsulotlari yonib tugaydi.

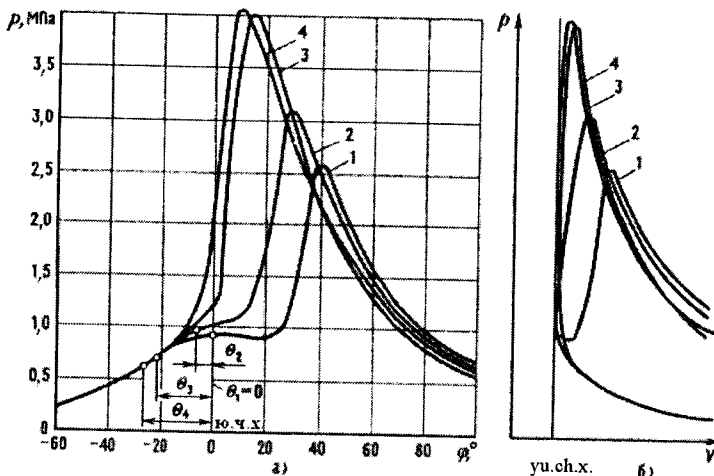
Yonilg‘i yonishi tugashi belgilarining biri sifatida issiqlik ajralib chiqish tezligining devorlarga issiqlik yo‘qotilishi tezligiga teng bo‘lishi (jarayonning kvazi adiabatik nuqtasi) hisoblanadi.



4.32-rasm. Normal yonishda majburan o't oldiriladigan dvigatel silindridagi bosim va haroratning indikator diagrammasi.

*Indikator diagramma bo'yicha yonish jarayonini tahlil qilish.* Agar silindrda bosim tirsakli val yu.ch.h. dan  $12\text{--}15^\circ$  burchakka burilganida maksimal qiymatga yetsa, bosimning tez orta boshlanishi esa tirsakli val yu.ch.h. ga  $12\text{--}15^\circ$  yetmasidan boshlansa dvigatel eng katta quvvatga ega bo'ladi va yonilg'i sarfi eng kam bo'ladi. Alanga frontining tezligi val aylanishlar chastotasiga deyarli proportional o'zgaradi, shuning uchun ikkinchi faza davomiyligi tirsakli val burilishi burchaklarida kam o'zgaradi. Lekin alanganing tutilib turishi davomiyligi va yonib tugash fazalari val aylanishlar chastotasi ortganda uzayadi. Shuning uchun jarayon normal kechishini ta'minlash va bosimning tez ortishi krivoshipning deyarli bir xil holatida (yu.ch.h. gacha  $12\text{--}15^\circ$  da) boshlanishi uchun valning aylanishlar chastotasi ortganda o't oldirish ilgariligi burchagi kattalashtiriladi va aksincha, aylanishlar chastotasi kamayganda bu burchak kichiklashtiriladi.

O't oldirish ilgariligi burchagini optimaldan istalgan tomonga og'ishi indikator diagramma ko'rinishini sezilarli darajada o'zgartiradi (4.33-rasm) – quvvat kamayadi, yonilg'i sarfi ortadi.

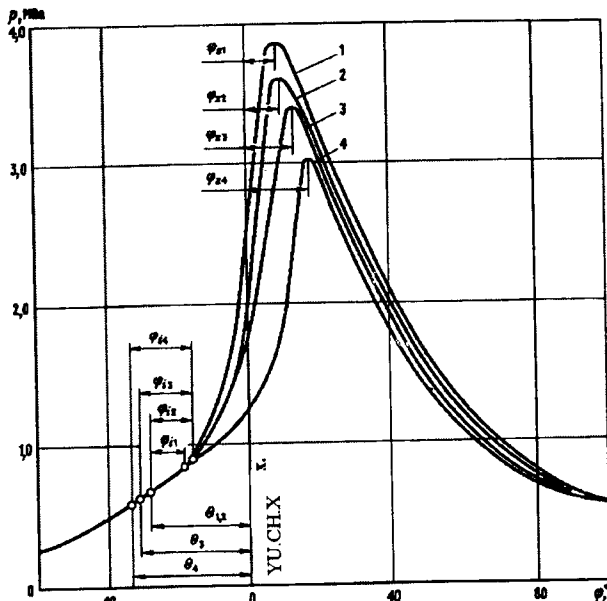


4.33-rasm. O't oldirish ilgariligi burchagi  $\theta$ ning har xil qiymatlarida majburan o't oldiriladigan dvigatel indikator diagrammalarning fragmentlari:

$$1 - \theta_1 = 0^\circ; \quad 2 - \theta_2 = 7^\circ; \quad 3 - \theta_3 = 22^\circ; \quad 4 - \theta_4 = 27^\circ.$$

Indikator diagrammadan yonish jarayonining normaldan farqlanishini ko'rish mumkin. Detonatsion yonishda jarayon asosiy (ikkinchisi) fazaning oxirida, kalil yonishda esa boshida buziladi. Ikkala holda ham dvigatel «qattiq» ishlaydi, dvigatel shovqini kuchayadi.

Boy aralashma ( $\alpha = 0,8-0,9$ ) yonganida alanganing turbulent fronti eng katta tezlikda tarqaladi (4.34-rasm). Aralashma kambag'allashib borgani sari alangalanishning utilib turishi davomiyligi va yonib tugash fazalari cho'ziladi, shuning uchun quvvat va tejamkorlik bo'yicha optimal o't oldirish ilgariligi burchagi kattalashtiriladi. Dvigatel kambag'al aralashmada ishlaganida yonish davomiyligi sezilarli darajada uzayadi, maksimal bosim holati indikator diagrammada yu.ch.h. dan uzoqroqqa siljiydi. Aralashma kambag'allashganda asosan yonishda ajralib chiqadigan issiqlikning kamayishi hisobiga siklning maksimal bosimi pasayadi. Dvigatellarning o't oldirish tizimlari o't oldirish ilgariligini kamida ikkita parametr – aralashma tarkibi va tirsakli valning aylanishlar chastotasi bo'yicha avtomatik rostlovchi qurilmalar bilan jihozlanadi.



4.34-rasm. Turli tarkibli aralashmalarda ishlagan majburan o't oldiriladigan dvigatellarning indikator diagrammallari:  
 $1 - \alpha = 0,84; \quad 2 - \alpha = 0,65; \quad 3 - \alpha = 1,0; \quad 4 - \alpha = 1,18.$

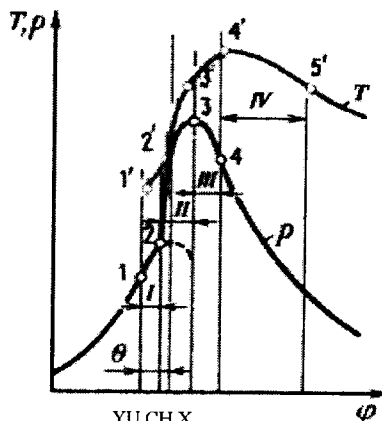
### Dizellarda yonish fazalari. Indikator diagramma bo'yicha yonish jarayonini baholash

Dizellarda yonish jarayonini to'rtta: alanganishning tutilib turish, tez yonish, o'zgarmas bosimda yonish va yonib tugash fazalariga bo'lish qabul qilingan.

*Birinchi faza I – o'z-o'zidan alanganishning tutilib turishi* (4.35-rasm). Uning davomiyligini  $r-\varphi$  koordinatalardagi indikator diagrammadan yonilg'i purkaliishi boshlanishidan (1-nuqta), yonilg'i purkalmagandagi siqishdagi bosim chizig'idan yonishdagi bosim chizig'i ajralib chiqadigan on (2-nuqta)gacha aniqlanadi.

*Ikkinchi faza II – tez yonish fazasi.* Ikkinchi fazada o'z-o'zidan alanganishning tutilib turishi vaqtida purkalgan yonilg'inining

katta qismi, hamda ikkinchi fazada purkalayotgan yonilg'ining bir qismi yonadi. tutilib turish vaqtida purkalayotgan yonilg'i bug'-lanib ulgurgan yonuvchi kontsentratsiyali aralashma hosil bo'lgan joylarda alanganing o'choqlari paydo bo'ladi va alanga yonish kamerasi hajmi bo'ylab tez tarqaladi. Yonilg'i purkalishi odatda, ikkinchi fazada tugaydi.



4.35-rasm. Normal yonishda dizel silindridagi bosim va haroratlar diagrammasi.

*Uchinchi faza III – deyarli o'zgarmas yoki biroz pasayayotgan bosimda yonish. Uchinchi fazaning boshlanishi maksimal bosim holati (3-nuqta) bilan, oxiri esa – silindriddagi gazlar maksimal haroratinining holati (4-nuqta) aniqlanadi.*

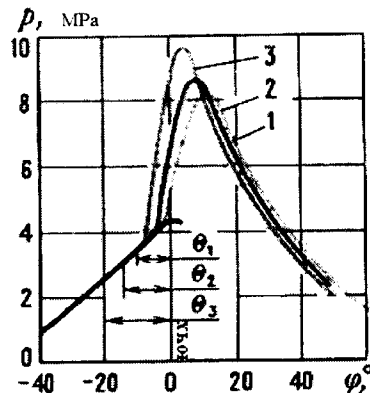
*To'rtinchi faza IV – yonilg'i va chala yonish mahsulotlarining yonib tugashi. Yonib tugash fazasida yonuvchi aralashma nisbatan sekin hosil bo'ladi, chunki yonish kamerada foydalanmasdan qolgan havoning miqdori kam bo'ladi. Bundan tashqari yonish zonalarida va ularning atrofida yonish mahsulotlari ko'p bo'ladi, natijada yonish tezligi pasayadi. Yonish 5-nuqtada tugaydi.*

*Indikator diagramma bo'yicha yonish jarayonini baholash. Dizellarda yonish jarayoni yuqori bosimda va havo ortiqligi koeffitsiyentining nisbatan katta qiymatlarida sodir bo'ladi. Bunday sharoitda yonish mahsulotlari amalda dissotsatsiyalanmaydi.*

Havoning ortiq bo'lishiga qaramasdan aylanishlar soni katta bo'lgan dizellarda yonilg'ining to'liq yonishiga erishish qiyin, ishlangan gazlar tarkibida, asosan qurum ko'rinishida, chala yonish mahsulotlari bo'ladi.

Yonilg'i purkalishi ilgariligi burchagini rostlab, quvvat va tejamkorlik ko'rsatkichlari bo'yicha optimal ko'rsatkichlarni o'rnatish mumkin. Lekin ilgarilash burchagi kattalashgani sari silindr-ga yonilg'i taboro pastroq harorat va bosimda purkala boshlanadi, natijada o'z-o'zidan alanganishning tutilib turishi cho'ziladi, demak, dinamiklik oshishi ham kuchayadi. Natijada siklning maksimal bosimi kattalashadi, silindrda bosim ko'tarilishi tezligi ortadi (4.36-rasm). Setan soni kichik bo'lgan yonilg'ida ishlaganda va siqish oxirida silindrdaqи gazlar harorati nisbatan past bo'lganda o'z-o'zidan alanganishning tutilib qolishining uzayishini faqat purkash ilgariligi burchagini kattalashtirish bilan qoplab bo'lmaydi.

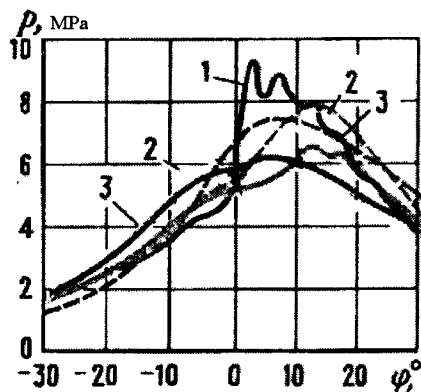
Val aylanishlar chastotasi ortishi bilan o'z-o'zidan alanganishning tutilib turish davomiyligi (burchak graduslarida) kattalashadi, purkash ilgariligining optimal burchagi ham kattalashadi. Yer usti transportiga o'matiladigan ko'p dvigatellar yonilg'i purkalishi ilgariligi burchagini avtomatik rostlovchi qurilma bilan jihozlanadi.



4.36-rasm. Yonilg'i purkalishi ilgariligi burchagining dizel indikator diogrammasiga ta'siri:

$$1 - \theta = 10^\circ; \quad 2 - \theta = 15^\circ; \quad 3 - \theta = 20^\circ.$$

Plyonkali aralashma hosil bo‘ladigan va yonish kamerasi ajratilgan dizellar «yumshoq» ishlaydi. Plyonkali aralashma hosil bo‘ladigan dizellarda yonilg‘i bug‘lanish tezligi va aralashma hosil bo‘lish tezligiga yonish kamerasi devorlarining harorati va zaryadning nisbiy tezligi ta’sir qiladi.



4.37-rasm. Yonish kamerasingin dizel indikator diagrammasiga ta’siri:  
1 – ajratilmagan kamerali; 2 – uyurma kamerali; 3 – old kamerali.

Ajratilgan yonish kameralarida jarayonning ikkinchi – tez yonish fazasida yonish tezligini cheklash, ya’ni bosim ortishini cheklashga quyidagicha erishiladi: alangananish va yonishning boshi katta bo‘lmagan hajmda – old kamera yoki uyurma kamerala havo yetishmasligi ( $\alpha < 1,0$ ) sharoitida amalga oshiriladi. Yonish kamerasi ajratilgan dizellarda silindrda bosim ortishi tezligi va maksimal bosim sezilarli darajada past bo‘ladi (4.37-rasm).

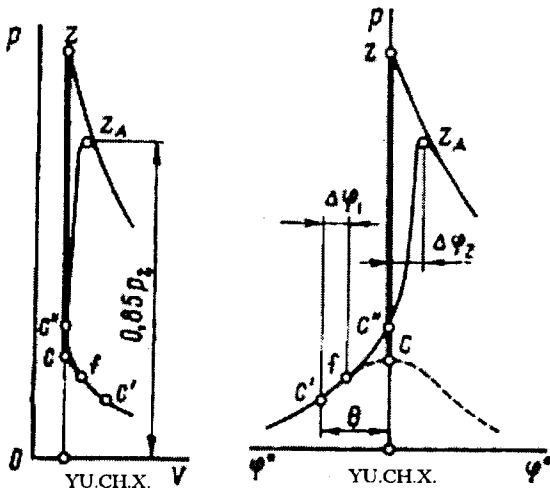
Nadduvli dvigatellarda nadduv bosimi qanchalik yuqori bo‘lsa, siqish oxirida silindrda bosim va harorat shunchalik yuqori bo‘ladi. O‘z-o‘zidan alanganishning tutilib turishi qisqaradi va bosimning ortishi tezligi sekinlashadi.

#### 4.4.5. Yonish jarayonini hisoblash

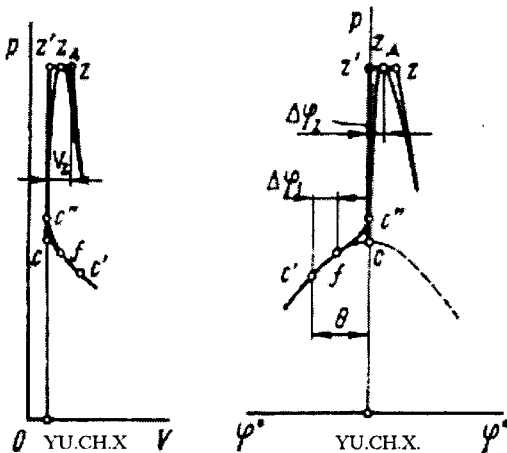
Yonish jarayoni – dvigatel ishchi siklining asosiy jarayoni bo‘lib, bu jarayonda ajralib chiqadigan issiqlik ishchi jism ichki energiyasining oshirishga, so‘ngra mexanik ishni bajarishga sarflanadi.

Majburan o‘t oldiriladigan dvigatelda yonilg‘i yonishi jarayonida bosimning o‘zgarishi 4.38-rasmda, dizeldagi esa 4.39-rasmda ko‘rsatilgan. Dvigatellar silindrida yonish jarayonida bosimning haqiqiy o‘zgarishini  $c/fc''z_h$  chiziq sxematik ifodalandi. Real dvigatellarda yonilg‘ining yonib tugashi  $z_h$  nuqtadan keyin ham davom etadi.

Yonish jarayoning borish xarakteriga turli omillar: kiritish va siqish jarayonlarining parametrlari, yonilg‘i purkalishi sifati, tirsakli val aylanishlar chastotasi va h.k.lar ta’sir qiladi. Yonish jarayoni parametrlarining qator omillarga bog‘liqligi, hamda motor yonilg‘isi yonish jarayonining fizik-kimyoviy mohiyati hozircha yetarli darajada to‘liq o‘rganilmagan.



4.38-rasm. Majburan o‘t oldiriladigan dvigatelda yonish jarayonida bosimning o‘zgarishi.



4.39-rasm. Dizelda yonish jarayonida bosimning o'zgarishi.

Avtomobil va traktor dvigatellarining termodynamik hisoblarini soddallashtirish maqsadida majburan o't oldiriladigan dvigatellarda yonish jarayoni  $V=const$  da, ya'ni izoxora bo'yicha (4.38-rasm,  $cc''z$  to'g'ri chiziq), dizellarda esa – dastlab  $V=const$  da va so'ngra  $r=const$  da (4.39-rasm,  $cc''z$  va  $z'z$  to'g'ri chiziqlar) sodir bo'ladi deb qabul qilinadi.

Yonish jarayoni hisobi maqsadi – asosiy yonish oxirida ( $z$  va  $z_h$  nuqtalar) gazlarning bosimi va haroratini, dizellarda esa  $V_z$  hajmni ham aniqlashdir.

Asosiy yonish oxirida gaz harorati  $T_z$  termodynamikaning birinchi qonuni asosida aniqlanadi, unga muvofiq

$$dQ = DU + dh$$

Avtomobil va traktor dvigatellariga qo'llaganda:

$$\begin{aligned} Nu - Q_{yo'q} &= (U_z - U_c) + \\ &+ L_{cz} - \alpha \geq 1 \text{ da yonish}, \end{aligned} \quad (4.34)$$

$$\begin{aligned} (Nu + \Delta Nu) - Q_{yo'q} &= (U_z - U_c) + \\ &+ L_{cz} - \alpha < 1,0 \text{ da yonish}, \end{aligned} \quad (4.35)$$

bu yerda  $Ni$  – yonilg'i yonishining quyi issiqligi, kDj;  $Q_{yo'q}$  – issiqlik uzatilishi, kengayishda yonilg'inинг yonib tugashi va

dissotsiatsiya oqibatida issiqlik yo'qotilishi, kDj;  $U_z$  – asosiy yonish oxirida gazlarning ichki energiyasi, kDj;  $U_c$  – siqish oxirida ishchi aralashmaning ichki energiyasi, kDj;  $L_{cz}$  – s nuqtadan z nuqtagacha gazlar kengayishida bajariladigan ishga sarflanadigan issiqlik (majburan o't oldiriladigan dvigatellarda  $L_{cz}=0$ ), kDj.

$cz$  uchastkadagi issiqlik balansini quyidagi ko'rinishda yozish mumkin:

$$\xi_z Hu = (U_z - U_c) + L_{cz} \quad (4.36)$$

$$\xi_z (Hu - \Delta Hu) = (U_z - U_c) + L_{cz} \quad (4.37)$$

bu yerda  $\xi_z = [(Hu - \Delta Hu) - Q_{\text{ayk}}]/(Hu - \Delta Hu)$  – asosiy yonish uchastkasi  $cz$  da issiqlikdan foydalanish koeffitsiyenti.

$\xi_z$  koeffitsiyenti gazning ichki energiyasini oshirishga ( $U_z$  –  $U_c$ ) va  $L_{cz}$  ishni bajarishga foydalaniladigan yonilg'i yonishi quyi issiqligning ulushini ifodalaydi.

Issiqlikdan foydalanish koeffitsiyentining qiymati dvigatel konstruksiyasi, uning ish rejimi, sovitish tizimi, yonish kamerasing shakli, aralashma hosil qilish usuli, havo ortiqligi koefitsiyenti va tirsakli val aylanishlar chastotasiga bog'liq bo'lib, eksperimental ma'lumotlar asosida qabul qilinadi.

Tajribaviy ma'lumotlar bo'yicha dvigatel to'liq yukda ishlaganida  $\xi_z$  quyidagi oraliqlarda o'zgaradi:

Elektron purkagichli dvigatellarda ..... 0,90–0,96;

Karbyuratorli dvigatellarda ..... 0,80–0,95;

Yonish kamerasi ajratilmagan tez yurar

dizellarda ..... 0,70–0,88;

Yonish kamerasi ajratilgan

dizellarda ..... 0,65–0,80;

Gazli dvigatellarda ..... 0,80...0,85.

Issiqlikdan foydalanish koeffitsiyentining kichik qiymatlari aralashma hosil bo'lishi takomillashgan, devorlarga issiqlik ko'p yo'qotiladigan dvigatellarga taalluqlidir. Gazlardan issiqliknii devorlarga yo'qotilishini kamaytirish, yonish kamerasing ratsional shaklini tanlash, yonilg'inining kengayish jarayonida yonishni

kamaytirish, ishchi aralashmaning tez yonishini ta'minlaydigan havo ortiqligi koeffitsiyentini tanlash hisobiga  $\xi_z$  qiymatini oshirish mumkin. Issiqlikdan foydalanish koeffitsiyentining qiymati dvigatel ishining yuk va tezlik rejimlariga ham bog'liq va odatda yuk va aylanishlar chastotasi pasayganda  $\xi_z$  kamayadi.

Avtomobil va traktor dvigatellari uchun yonishning hisobiy tenglamalari issiqlik balansi tenglamalari (4.36) va (4.37)ni o'z-gartirish yo'li bilan olinadi (4.38- va 4.39-rasmlar, cz uchastkasi).

Issiqlik  $V=const$  da kiritiladigan sikl bo'yicha ishlaydigan dvigatellar uchun yonish tenglamasi quyidagi ko'rinishga ega bo'ladi:

$$\xi_z H_{\text{ishchi aral.}} + \left( mc_v \right)_{t_0}^{t_c} t_c = \mu \left( mc_v \right)_{t_0}^{t_z} t_z \quad (4.38)$$

bu erda  $N_{\text{ishchi aral.}}$  – ishchi aralashma yonishi issiqligi, (3.22) va (3.23) formulalardan topiladi;  $\left( mc_v \right)_{t_0}^{t_c}$  – siqish jarayonining oxirida ishchi aralashmaning o'rtacha mol issiqlik sig'imi, (4.23) formula bo'yicha aniqlanadi;  $\left( mc_v \right)_{t_0}^{t_z}$  – yonish mahsulotlarining o'rtacha mol issiqlik sig'imi, (4.32) formuladan aniqlanadi.

Issiqlik dastlab  $V=const$  da,  $r=const$  da keltiriladigan sikl bo'yicha ishlaydigan dvigatellar uchun yonish tenglamasi quyidagi ko'rinishda bo'ladi:

$$\xi_z H_{\text{ishchi aral.}} + \left[ \left( mc_v \right)_{t_0}^{t_c} + 8,315 \lambda \right] t_c + 2270(\lambda - \mu) = \mu \left( mc_p \right)_{t_0}^{t_z} t_z \quad (4.38)$$

bu yerda  $\lambda = p_z/p_c$  – bosimning ortish darajasi;  $2270 = 8,315 \cdot 273$ .

Dizellar uchun bosimning ortish darajasi asosan silindrga berilayotgan yonilg'i miqdori, yonish kamerasingning shakli va aralashma hosil qilish usuliga qarab, tajriba ma'lumotlari asosida o'rnatiladi. Bundan tashqari  $\lambda$  qiymatiga yonilg'i alangalani-shining tutilib turish davri ham ta'sir qiladi, bu davr cho'zilganda bosimning ortish darajasi kattalashadi.

Tajribaviy ma'lumotlar bo'yicha dvigatel to'liq yuk rejimida ishlaganda bosimning ortish darajasi quyidagi oraliqlarda bo'ladi:

Ajratilmagan yonish kamerali va hajmiy aralashma  
 hosil bo‘ladigan dizellar uchun .....  $\lambda = 1,6 - 2,5$   
 Uyurma kamerali va old kamerali dizellar hamda  
 ajratilmagan kamerali va plyonkali aralashma hosil  
 bo‘ladigan dizellar uchun .....  $\lambda = 1,6 - 2,5$   
 Nadduvli dizellar uchun  $\lambda$  qiymati asosiy yonish oxirida harorat va bosimning ruxsat etiladigan qiymatlari bilan belgilanadi.

(4.38) va (4.39) yonish tenglamalariga ikkita noma’lum qiymat: asosiy yonish oxiridagi harorat  $t_z$  va yonish mahsulotlarining hajm o‘zgarmas bo‘lgandagi issiqlik sig‘imi  $(mc_v'')_{t_0}^{t_z}$  yoki o‘sha  $t_z$  haroratda o‘zgarmas bosimdagi issiqlik sig‘imi  $(mc_p'')_{t_0}^{t_z}$  kiradi. Issiqlik sig‘imlari  $(mc_v'')_{t_0}^{t_z}$  va  $(mc_p'')_{t_0}^{t_z}$  qiymatlarini 3.3-jadvaldan topib, yonish tenglamalari  $t_z$  ga nisbatan ketma-ket yaqinlashish metodi bilan echiladi. Issiqlik sig‘imlari  $(mc_v'')_{t_0}^{t_z}$  va  $(mc_p'')_{t_0}^{t_z}$  larni aniqlash uchun taqrifiy formulalardan (3.4-jadvalga qarang) foydalanilganda yonish tenglamalari ularga hamma ma’lum bo‘lgan parametrlar qo‘yilganidan hamda ba’zi o‘zgartishlardan so‘ng ikkinchi tartibli tenglama ko‘rinishiga ega bo‘ladi

$$At_z^2 + Bt_z - C = 0 \quad (4.40)$$

bu erda A, V va S – ma’lum kattaliklarning son qiymatlari.

Bu tenglamadan

$$t_z = \left( -B + \sqrt{B^2 + 4AC} \right) / (2A), \text{ } ^\circ\text{C} \quad \text{va} \quad T_z = t_z + 273 \text{ K}$$

Yonish oxiridagi bosim  $p_z$  amalgal oshirilayotgan sikl xarakteriga qarab aniqlanadi.

Issiqlik  $V=const$  bo‘lganda kiritiladigan dvigatellar uchun bosim (MPa)

$$p_z = p_c \mu T_z / T_c \quad (4.41)$$

bosimning ortish darajasi

$$\lambda = p_z / p_c \quad (4.42)$$

Benzinli dvigatellar uchun  $\lambda = 3,2\text{--}4,2$ , gazli dvigatellar uchun  $\lambda=3\text{--}5$ .

Issiqlik aralash  $V=const$ , so‘ngra  $r=const$  da kiritiladigan sikl bo‘yicha ishlaydigan dvigatellar uchun

$$p_z = \lambda / p_c \quad (4.43)$$

dastlabki kengayish darajasi

$$\rho = \mu / (p_c / p_z) (T_z / T_c) = (\mu / \lambda) (T_z / T_c) \quad (4.44)$$

Dizellar uchun  $\rho = 1,2\text{--}1,7$ .

Dastlabki kengayish jarayonida porshen bo‘shatadigan hajm:

$$V_z - V_c = V_c (\rho - 1) \quad (4.45)$$

Zamonaviy avtomobil va traktor dvigatellari to‘liq yuk reji-mida ishlaganda yonish oxiridagi harorat va bosim qiymatlari:

Benzinli dvigatellar uchun .....  $T_z = 2400\text{--}3100$  K

$$r_z = 3,5\text{--}7,5 \text{ MPa}$$

$$r_{zh} = 3,0\text{--}6,5 \text{ MPa}$$

Dizellar uchun .....  $T_z = 1800\text{--}2300$  K

$$r_z=r_{zh}= 5,0\text{--}12,0 \text{ MPa}$$

Gazli dvigatellar uchun .....  $T_z = 2200\text{--}2500$  K

$$r_z = 3,0\text{--}5,0 \text{ MPa}$$

$$r_{zh} = 2,5\text{--}4,5 \text{ MPa}$$

Benzinli va gazli dvigatellarga nisbatan dizellarda yonish oxiridagi haroratning pastroq bo‘lishining sabablari:

– havo ortiqligi koeffitsiyenti  $\alpha$  ning qiymati katta, natijada havoni isitishga ko‘proq issiqlik yo‘qotiladi (sarflanadi);

– asosiy yonish uchastkasida issiqlikdan foydalanish koeffitsiyenti  $\xi_z$  ning qiymati kichikroq;

– kengayishda yonish;

– dastlabki kengayishda (z’z uchatskasi) ish bajarilishiga is-siqlikdan qisman foydalanish.

#### **4.4.6. Dvigatellarda yonilg‘i yonganida zaharli moddalarning hosil bo‘lishi**

Iyodlarining ishlangan gazlari asosan karbonat angidrid va suv bug‘idan tarkib topadi. Shu bilan birga yonish jarayonida dvigatellarda zararli moddalarning ikki turi: qisman parchalanish va chala yonish mahsulotlari hamda azot oksidlari hosil bo‘ladi.

Ana’naviy uglevodorod yonilg‘isi yonishida hosil bo‘ladigan moddalar – yonilg‘ining qisman oksidlanish va parchalanish mahsulotlari: uglerod oksidi, kimyoviy tarkibi va tuzilishi har xil bo‘lgan uglevodorodlar va qurum zararli moddalarning birinchi turiga kiradi. Yonmagan yonilg‘i bug‘larini ham uglevodorod-larga kiritishadi; ularning ishlangan gazlar tarkibida bo‘lishi yonilg‘i oksidlanishi jarayoniga bevosita bog‘liq emas.

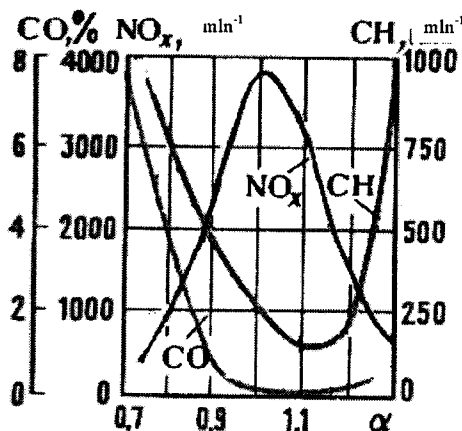
Azot oksidlari zaharli moddalarning ikkinchi turini tashkil qiladi; ular foydalanilayotgan yonilg‘i turi va xossalariiga bog‘liq bo‘lmagan holda yonish jarayonida hosil bo‘ladi. Majburan o‘t oldiriladigan dvigatellar ishlangan gazlarining zaharliligi uch asosiy komponent bo‘yicha ruxsat etiladigan chegaradan chiqadi, shu sababli bu dvigatellarda zaharli moddalar hosil bo‘lishi qonuniyatlarini o‘rganishga alohida e’tibor qaratiladi.

#### **Uglerod oksidi**

Majburan o‘t oldiriladigan dvigatellar boy aralashma ( $\alpha < 1,0$ )-da ishlaganda yonilg‘i to‘liq oksidlanishi uchun kislород yetish-maganligi tufayli yonish mahsulotlari tarkibida uglerod oksidi kontsentratsiyasi katta qiymatlarga yetadi. Kambag‘al aralashma ( $\alpha > 1,0$ ) yonganida ham zanjirli reaktsiyalarning oraliq mahsuloti sifatida uglerod oksidi hosil bo‘ladi, lekin ularning katta qismi keyingi reaktsiyalar natijasida (erkin kislород mavjud bo‘lsa) karbonat angidridga oksidlanadi.

Ishlangan gazlar tarkibidagi uglerod oksidi kontsentratsiyasi asosan yonuvchi aralashmadagi o'rtacha havo ortiqligi koefitsiyenti bilan aniqlanadi: dvigatel boy aralashmada ishlaganida u ko'p – 7% gacha (4.40-rasm) va kambag'al aralashmada ishlaganida u ko'p emas – 0,2–0,3% gacha bo'ladi. Haddan tashqari kambag'al aralashma quyi konsentratsiya chegarasi ( $\approx 1,3$ )ga yaqinlashganda nisbatan sekin yonadi, ishlangan gazlar tarkibida yonilg'ining chala oksidlangan mahsulotlari, jumladan uglerod oksidi, konsentratsiyasi ortadi.

Dizellarda boy aralashma zonalarida yonishda hosil bo'lgan uglerod oksidi kengayish jarayonida yonib ulguradi, chunki dizel silindridda doim ortiqcha kislorod bo'ladi. Dizellarning ishlangan gazlari tarkibida CO konsentratsiyasi ko'p emas – 0,2–0,3% oraliqda bo'ladi.



4.40-rasm. To'rt taktili karbyuratorli dvigatel ishlangan gazlari tarkibida zaharli moddalar konsentratsiyasi.

### Uglevodorodlar

Uglevodorod birikmalari ishlangan gazlar tarkibida yonilg'ining chala oksidlanishi va parchalanishi mahsulotlari ko'rinishida va yonilg'i bug'i ko'rinishida dvigatelnинг hamma ish rejimlarida mavjud bo'ladi.

Majburan o't oldiriladigan dvigatellarda yonilg'ining chala yonishi yonuvchi aralashmaning devor oldidagi yupqa qatlamida sodir bo'ladi; u yerda yonish kamerasi devoriga issiqlik uzatilishi tufayli harorat sezilarli darajada past bo'ladi va natijada reaksiyalar tezligi yonilg'i to'liq oksidlanishi uchun yetarli bo'lmaydi.

Dvigatel o'rtacha yukda kambag'al aralashmada ( $\alpha=1,1-1,2$ ) ishlaganida ishlangan gazlar tarkibida uglevodorodlar konsentratsiyasi minimal darajaga yetadi. Havo ortiqligi ko'effitsiyentining taxminan ish qiymatlarida dvigatel eng yaxshi tejamkorlikka ega bo'ladi.

Aralashma tarkibining ( $\alpha=1,1-1,2$  dan) ham kambag'al tarafga va ham boy tarafga o'zgarishi ishlangan gazlar tarkibiga uglevodorodlar konsentratsiyasining keskin ko'payishiga sabab bo'ladi. Dvigatel quyi konsentratsion chegaraga yaqin kambag'al aralashmada ishlaganida alohida silindrlardagi aralashmalarning tarkibi bir xil bo'imasligi tufayli ba'zi silindrlardagi aralashma haddan tashqari kambag'al bo'lib qolishi mumkin. Bunday hololarda aralashma alanganmaydi, natijada uglevodorodlar konsentratsiyasi keskin ko'payadi, chunki chiqarish kollektoriga yonmagan yonilg'i bug'lari o'tadi.

Dvigatel boy aralashmada ( $\alpha<1,0$ ) ishlaganda uglevodorodlar konsentratsiyasi kislorod yetishmaganligi tufayli ko'payadi.

Dizellarda yonilg'ining qurum va uglevodorodlar (asosan metan va etilen) hosil qilib chala yonishi forsunkadan oqib chiqayotgan yonilg'i yomon purkalishi tufayli sodir bo'ladi.

Uglevodorodlar yonilg'i fakelining juda kambag'al aralashma zonasini bilan chegarasida ham hosil bo'ladi.

Dizellarning ishlangan gazlarida uglevodorodlar konsentratsiyasi ko'p emas va ular oddiy shahar ekspluatatsiya sharoitlari uchun me'yorlanmaydi.

## Azot oksidlari

Azot – atmosfera sharoitlarida kimyoviy inert gaz, kislorod bilan yuqori harorat va bosimlarda reaksiyaga kirishadi, bunda asosan azot oksidi NO va kam miqdorda azot ikki oksidi  $\text{NO}_2$  hosil bo‘ladi. Harorat 1500 K dan yuqoriroq bo‘lganda azot oksidlanishi boshlanadi, harorat 2300 K dan ortganida reaksiya juda tez (reaksiya vaqt 10<sup>-2</sup>–10<sup>-6</sup> s) kechadi.

Dvigatel stexiometrikka yaqin aralashmada ( $\alpha=1,0-1,05$ ) ishlaganida ishlangan gazlarda azot oksidi kontsenratsiyasi makmuunga yetadi; bunda yonish mahsulotlarida bog‘lanmagan kislorod konsentratsiyasi yetarli darajada yuqori (4.41-rasm), siklning maksimal harorati esa boy boy aralashmada ( $\alpha=0,90-0,95$ ) ishlagan-dagi absolyut maksimaldan atigi biroz pastroq bo‘ladi.

Dvigatel boy aralashmada ( $\alpha<1,0$ ) ishlaganda azot oksidi (NO)ning biroz qismi azot ( $\text{N}_2$ ) va kislorod ( $\text{O}_2$ ) larga parchalanadi.

NO kontsenratsiyasi gazlar sovushi tezligiga bog‘liq.

Qurum kislorod yetishmagan muhitda yuqori harorat va bosimda yonilg‘i pirolizi natijasida hosil bo‘ladi. Bunday sharoit yonilg‘ining oxirgi portsiyalari purkalishida forsunka yaqinida yonilg‘i fakeli yadrosida kuzatiladi. Qurum bilan birga uglerod oksidi va uglevodorodlar ham hosil bo‘ladi. Qurum – boshlang‘ich diametri 0,45 mkm ga yaqin bo‘lgan qattiq sferasimon zarrachalardir. Zarrachalar o‘lchami bir necha mikron bo‘lgan strukturaviy birikmalar hosil qiladi.

### **4.4.7. Zaharli moddalar chiqishi va yonilg‘i sarfini kamaytirish maqsadida aralashma hosil qilish va yonish jarayonlarini takomillashtirish**

Zaharli moddalar hosil bo‘lishi tabiatи va mexanizmini o‘rga-nish zaharli moddalar chiqishini kamaytirish maqsadida yonish

jarayoniga ta'sir qilishining yo'li va printsiplarini asoslash imkonini beradi. Yonuvchi aralashmada kislorodning yetarli darajada ortiqcha bo'lishi va yonishning yuqori tezligi ishlangan gazlarda uglerod oksidi va uglevodorodlar konsentratsiyasining kam bo'lishini ta'minlovchi sharoit bo'ladi. Yonilg'i resursi cheklanganligi tufayli yonilg'i sarfini oshirmaydigan, bil'aks uni kamaytiradigan, ta'sir usullarini dolzarb deb hisoblash mumkin.

*Majburan o't oldiriladigan dvigatellarda* SO va SN konsentratsiyasi va yonilg'i sarfining kamayishini ta'minlovchi aralashma hosil bo'lishi va yonishga ta'sir qilishning quyidagi usullari qo'llaniladi:

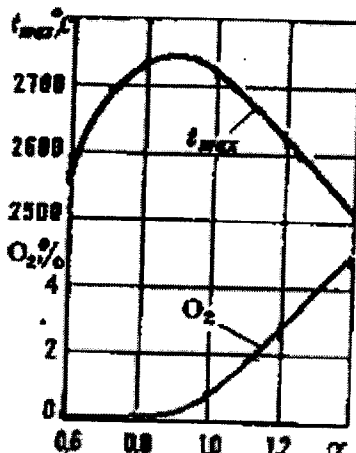
–yonish kamerasida aralashma turbulentligi intensivligini oshi-rishadi, dvigatel kambag'al aralashmada ishlaydigan zonani ken-gaytirish uchun elektr uchquni davomiyligi va quvvatini orttiri-ladi;

–dvigatelning hamma ish rejimlarida, jumladan barqaror bo'lмаган режими ва маъбурий салт исхода, зарур бо'лган тарқибли бир жинсли аралашманосига бо'лишни та'minlash учун карбураторларни тақомиллаштириш, yonilg'ini forsunka orqali purkash bilan yonilg'i purkalishi va uning bug'lanishini yaxshilashadi;

–kiritish truboprovodida aralashma turbulizatsiyasini va uning qizishi oshiriladi; bunda hamma silindrلarda aralashma tarkibi optimalga yaqin bo'lishiga imkon tug'iladi, alohida silindrлarda aralashma tarkibi bir xil bo'lishi yaxshilanadi;

–devorlar haroratini ko'tarishadi, yonish kamerasi sirtini kamaytirishadi; bundan maqsad – devor oldida alanga o'chadigan qatlamdagи aralashma hajmini kamaytirish va uglevodorodlar konsentratsiyasini pasaytirishdir.

Maksimal harorat dvigatel juda boy (4.41-rasm) yoki juda kambag'al ( $\alpha > 1,3$ ) aralashmada ishlaganida hamda o't oldirish ilgariligi burchagi kamayganda pasayadi.



4.41-rasm. Majburan o't oldiriladigan to'rt taktli dvigatel silindrida gazlarning maksimal harorati va ishlangan gazlarda kislород концентрацияси.

## Qurum

Aralashma kambag'allashganda azot oksidlari va uglerod oksidi kontsentrasiyasini pasayadi, bunda uglevodorodlar konentrasiyasi ko'paymaydi, yonish sarfi esa kamayadi, shu sababli bu usul dvigatellarda qo'llash uchun istiqbolli hisoblanadi.

Azot oksidlarining konentratsiyasini kamaytirish uchun yonish kamerasida shunday sharoit yaratiladiki (gazlarning maksimal harorati pasaytiladi va yonish mahsulotlarida bog'lanmagan kislород концентрацияси kamaytiriladi), unda azotning oksidlanish reaksiyalarini tezligi kamayadi.

Mikroprotsessorlar bazasidagi o't oldirish ilgariligi burchagi va aralashma tarkibini rostlovchi elektron tizim atrof-muhit harorati, kiritish kollektoridagi gaz bosimi,sovutish tizimidagi suyuqlik harorati, tirsakli val aylanishlar chastotasi, drossel to'sig'inинг holatini hisobga olgan holda, ularni optimallashtirish imkonini beradi.

*Dizellarda zaharlilik va tutunni kamaytirish aralashma hosil qilish va yonish jarayonlariga ta'sir qilish yo'li bilan amalga oshiriladi. Amaldagi me'yoriy hujjatlarda faqat ishlangan gazlar tutunligi cheklangan, zaharlilik esa havo almashishi cheklangan ekspluatatsiya sharoitlari uchun me'yorlangan, bunda asosiy e'tibor azot oksidlari chiqishini kamaytirishga qaratilgan.*

Yonilg'i purkalishini yaxshilash, aralashma hosil bo'lishi va yonishni takomillashtirish bilan tutun va azot oksidlari chiqishini kamaytirishga erishiladi. Tutunga qarshi prisadkalarni qo'llash, yonilg'ini bo'lib-bo'lib purkash va ishlangan gazlarni qisman (10–15%) sirkulyatsiya qilish istiqbolli hisoblanadi. Yonilg'i purkash ilgariligi burchagini biroz kamaytirish maqsadga muvofiq hisoblanadi.

Azot oksidlarining chiqishini kamaytirishning eng samarali yo'li bu yonilg'i alanganishining tutilib turishi davrini qisqartirishdir, chunki bunda bosim ortishi tezligi ham yonish boshlanishida issiqlik ajralib chiqishi tezligi kamayadi, natijada gazzarning maksimal harorati pasayadi. Yonilg'i purkalishi ilgariligi burchagini kamaytirish ham azot oksidlari chiqishini kamaytiradi, lekin bu burchakni cheklangan miqdorda kamaytirish sarfi ortadi. Yonilg'i bo'lib-bo'lib purkalganda alanga tutilib turishi davomiyligi qisqaradi, buni azot oksidlari chiqishini va tutunni kamaytirishning istiqbolli usullaridan biri deb hisoblash mumkin.

Yonilg'i purkalishini yaxshilash uchun purkash bosimini orttirishadi, bunda tutun va yonilg'i sarfi kamayadi bu ayniqsa, valning kichik aylanishlar chastotasida kuchli seziladi.

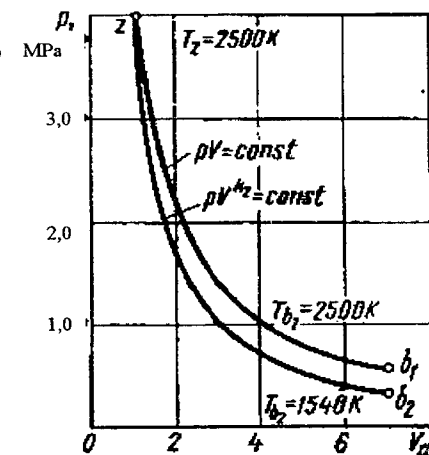
## **4.5. Kengayish jarayoni**

### **4.5.1. Kengayish jarayoni termodinamikasi**

Kengayish jarayonida harorati yuqori bo'lgan yonish mahsulotlarining ichki energiyasi mexanik ishga aylanadi. Ish bilan birga kengayish jarayonining boshlanishida yonish jarayonida tugal-

lanishga ulgurmagan oksidlanish reaktsiyalari davom etadi. Kengayish jarayoni boshlanishida issiqlikning qo'shimcha ajralib chiqishi yonib tugallanish deyiladi.

Bosim pasayishi bilan bog'langan kengayishning ikkita termodinamik jarayonlari: izotermik –  $zb_1$  va adiabatik –  $zb_2$  (4.42-rasm) dvigatellardagi kengayish jarayoniga nazariy jihatdan eng yaqin bo'ladi.



4.42-rasm. Adiabatik va izotermik kengayish jarayonlari.

Izotermik kengayish faqat kengayayotgan gazga intensiv issiqlik kiritilishida, adiabatik kengayish esa faqat tashqi muhit bilan issiqlik almashinuvchi bo'lмаган holda bo'lishi mumkin.

Nazariy siklga nisbatan farqli ravishda haqiqiy kengayishda gaz va devorlar (silindr, kallak va porshen tubi) orasida intensiv issiqlik almashinuvi sodir bo'ladi, nozichliklar orqali gazning bir qismi oqib ketadi, yonib tugash va dissotsiatsiya mahsulotlari bir qismining qayta tiklanishi natijasida gazlarga issiqlik kiritiladi hamda kengayishda haroratning pasayishi oqibatida gazlarning issiqlik sig'imi kamayadi.

Kengayish jarayoni davomida issiqlik ham kiritiladi, ham

uzatiladi. Kiritilayotgan va uzatilayotgan issiqlik miqdorlari nisbati kengayish davomida o'zgarib boradi.

Gazdan devorlarga issiqliknинг uzatilishi kengayish jarayoni ning boshidan oxirigacha sodir bo'ladi, chunki kengayayotgan gazlarning harorati silindr devorlari, kallak va porshen tubi haroratlaridan ancha yuqori bo'ladi. Gazdan devorlarga issiqlik uzatilishi kengayish davomida o'zgarib boradi, chunki hajm kengaygani sari gazlar harorati pasayib, gazga tegib turadigan devorlar sirti esa ortib boradi.

Yonilg'i yonib tugashi va dissotsiatsiya mahsulotlari bir qismining qayta tiklanishi natijasida ajralib chiqadigan issiqliknинг summar miqdori kengayish jarayonining har xil uchastkalarida har xil intensivlikda boradi. Kengayish jarayonining boshlanish qismida issiqlik eng intensiv ajralib chiqadi.

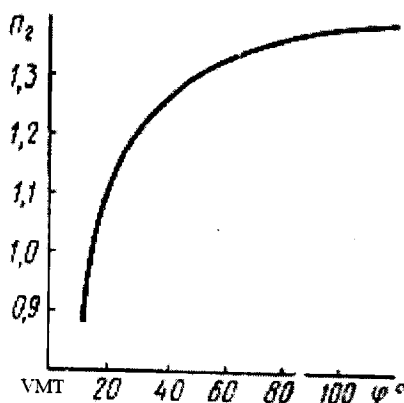
Silindrda nozichliklar orqali gazning oqib ketishi kengayish jarayonining boshlanishida, gazlarning bosimi katta bo'lgan paytda sodir bo'ladi.

Ko'rsatilgan omillar ta'siri natijasida *haqiqiy kengayish jarayoni* ko'rsatkichi o'zgaruvchi ( $p_2 = 0,9-1,5$ ) bo'lgan politropa bo'yicha kechadi.

4.43-rasmda karbyuratorli dvigatelda kengayish politropasi ko'rsatkichi  $p_2$  ning kengayish davomida o'zgarishi ko'rsatilgan.

Kengayish jarayonining boshlanishida yonilg'inining intensiv yonib tugashi oqibatida gazlarga kelayotgan issiqlik miqdori, devorlarga uzatilayotgan issiqlikdan ancha ko'p, shuning uchun bu paytda politropa ko'rsatkichi adiabata ko'rsatkichidan kichik bo'ladi. Kengayish davomida yonib tugash intensivligi kamayib, politropa ko'rsatkichi  $p_2$  ortib boradi. Yonib tugashda ajralib chiqayotgan issiqlik devorlarga yo'qotilayotgan issiqlikka tenglashganda,  $p_2 = k$  bo'ladi. Gazlarning bundan keyingi kengayishida devorlarga issiqlik yo'qotilishi ko'payib boradi, kengayish jarayoni oxirida esa  $p_2 = 1,5-2,0$  gacha ortadi. Hisobni osonlashtirish maqsadida ko'rsatuvchisi o'zgaruvchi bo'lgan ken-

gayishning haqiqiy egri chizig‘ini, siqish jarayonidagi kabi, o‘z-garmas ko‘rsatkichli politropik egri chiziq bilan almashtirishadi.



4.43-rasm. Karbyuratorli dvigatelda kengayish politropasi ko‘rsatkichi  $p_2$  ning val burilishi burchagi  $\varphi$  ga bog‘liq holda o‘zgarishi.

Kengayish politropasi o‘rtacha ko‘rsatkichi  $p_2$  ning qiymati tajribaviy ma’lumotlar bo‘yicha o‘rnatalidi. Issiqlikdan foydalanish koeffitsiyenti ortganda, porshen yo‘li  $S$  ning silindr diametri  $D$  ga nisbati kattalashganda va sovitish intensivligi ko‘payganda  $p_2$  qiymati ortadi. Yuk ko‘payganda va silindrning chiziqli o‘chamlari ( $S/D = \text{const}$  da) kattalashganda kengayish politropasining o‘rtacha qiymati  $p_2$  kichiklashadi. Dvigatel tez yurarligi ortganda, odatda,  $p_2$  kichiklashadi.

Tajribaviy ma’lumotlar bo‘yicha kengayish politropasining o‘rtacha qiymati  $p_2$  adiabata ko‘rsatkichi  $k_2$  dan biroz, odatda, kichik tomonga, farqlanishini hisobga olsak, yangi loyihalayotgan dvigatellarni dastlabki hisoblashda  $p_2$  qiymatini  $\varepsilon$  (yoki  $\delta$ ),  $\alpha$  va  $T_z$  larning mos qiymatlari uchun  $k_2$  qiymati bo‘yicha baholash mumkin.

Bu holda kengayish adiabatasining ko'rsatkichi quyidagi ikki tenglamani birgalikda yechish natijasida aniqlanadi:  
benzinli dvigatellar uchun

$$k_2 = 1 + (\lg T_z - \lg T_b) / \lg \varepsilon \quad (4.46)$$

yoki dizellar uchun

$$k_2 = 1 + (\lg T_z - \lg T_b) / \lg \delta \quad (4.47)$$

va

$$k_2 = 1 + 8,315 / (mc_v''_{t_b} t_z) \quad (4.48)$$

bu yerda

$$(mc_v''_{t_b})_{t_b} = [(mc_v''_{t_0} t_z - mc_v''_{t_b} t_b) / (t_z - t_b)] \quad (4.49)$$

Bu tenglamalarni  $k_2$  va  $T_b$  qiymatlarini tanlash metodi bilan echish ancha murakkab, aniqlik darajasi ham har xil bo'ladi. (4.46) – (4.49) tenglamalar tizimi va yonish mahsulotlarining o'rtacha mol issiqlik sig'imirlarini aniqlash uchun formulalar (3.4-jadvalga qarang) asosida  $k_2$  ni aniqlash bo'yicha hisoblashni soddalashtirish uchun nomogrammalar (4.44- va 4.45-rasmlar) qurilgan.

Nomogrammalardan  $k_2$  quyidagicha aniqlanadi:  $\varepsilon$  (yoki dizel uchun  $\delta$ ) va  $T_z$  qiymatlari bo'yicha  $\alpha = 1,0$  dagi  $k_2$  qiymati topiladi. Berilgan  $\alpha$  dagi  $k_2$  qiymatini aniqlash uchun topilgan nuqta gorizont bo'ylab  $\alpha = 1,0$  vertikal chizig'i bilan kesishguncha ko'chiriladi, so'ngra yordamchi egri chiziq bilan kesishguncha suriladi. Hisoblanayotgan benzinli dvigatel va dizel uchun  $k_2$  ni aniqlash 4.44- va 4.45-rasmlarda ko'rsatilgan.

Dvigatelning nominal ish rejimida kengayish politropasining o'rtacha qiymati  $p_2$ :

Benzinli dvigatellar uchun .....	1,23–1,30
Dizellar uchun .....	1,18–1,28
Gazli dvigatellar uchun .....	1,25–1,35

#### 4.5.2. Kengayish oxirida gazlar bosimi va harorati

Politropa tenglamasidan foydalananib, kengayish jarayoni  $zb$  oxiridagi bosim topiladi

$$p_b = p_z (V_z / V_b)^{n_2} = p_z / \delta^{n_2} \quad (4.50)$$

Ideal gazdagı politropa jarayoni uchun politropa va Klayperon tenglamalaridan kengayish oxiridagi haroratni aniqlash uchun tenglama hosil qilamiz

$$\frac{T_b}{T_z} = (V_z / V_b)^{n_2-1} \quad \text{еки} \quad T_b = T_z / \delta^{n_2-1} \quad (4.51)$$

Keyingi kengayish koeffitsiyenti  $\delta = V_b/V_z$  yonish jarayoni hisobi natijalari bo'yicha aniqlanadi, bunda  $\varepsilon = \rho\delta$  tenglikdan foydalilanildi.

Majburan o't oldiriladigan dvigatel sikli hisoblanayotganda  $V_b=V_z$  deb qabul qilinadi, u holda  $\varepsilon = \delta$  va

$$p_b = p_z / \varepsilon^{n_2}; \quad T_b = T_z / \varepsilon^{n_2-1}$$

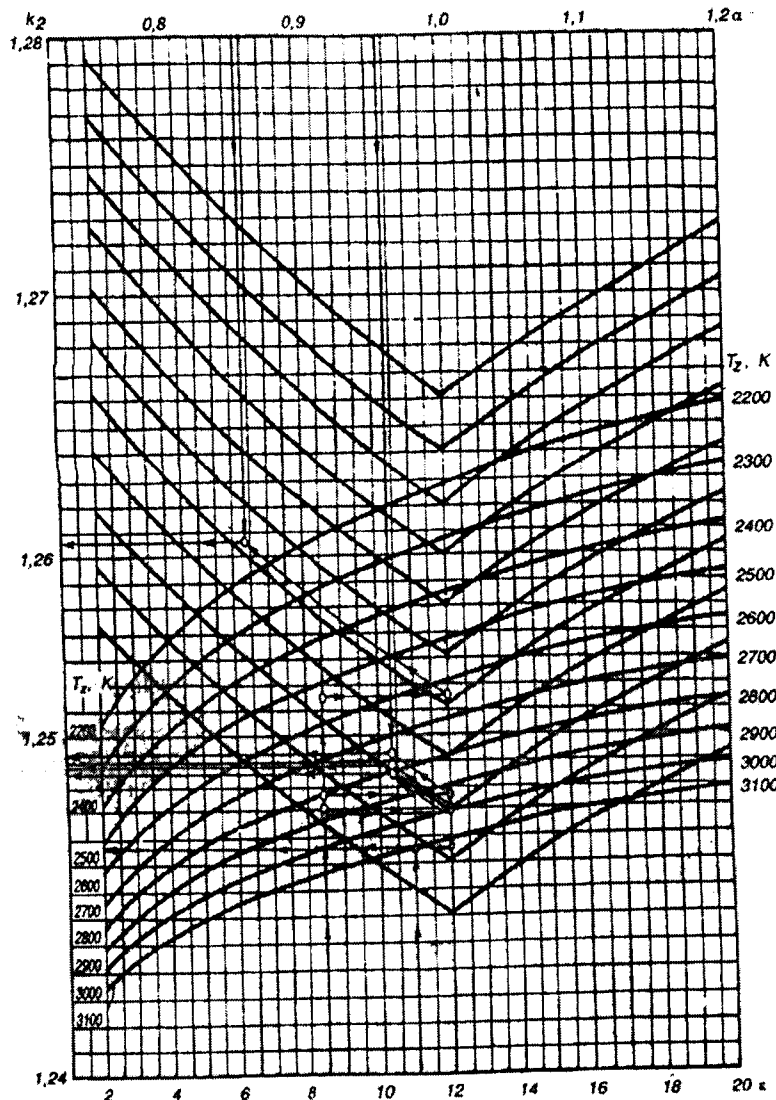
Nominal ish rejimida nadduv siz avtomobil va traktor dvigatellari uchun bosim  $p_b$  va harorat  $T_b$  larning taxminiy qiymatlari:

Benzinli dvigatellar uchun .....  $p_b = 0,35\text{--}0,60 \text{ MPa}$

$$T_b = 1200\text{--}1500 \text{ K}$$

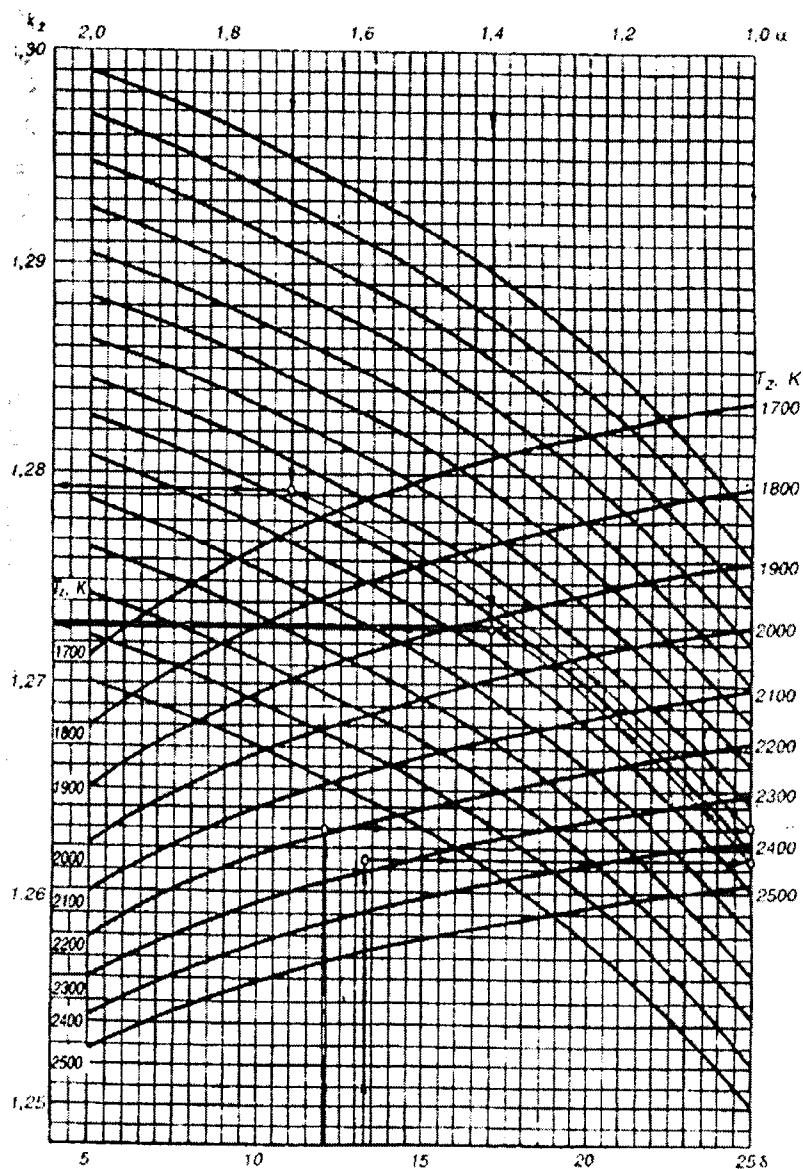
Dizellar uchun .....  $p_b = 0,25\text{--}0,50 \text{ MPa}$

$$T_b = 1000\text{--}1200 \text{ K}$$



4.44-rasm. Benzinli dvigatel uchun kengayish adiabatasi ko'rsatkichi  $k_2$  ni aniqlash nomogrammasi:

- a) karbyuratorli dvigatel uchun  $k_2$  qiymatini aniqlash to'rt rejim:  $n_{\min}$ ;  $n_M$ ;  $n_N$  va  $n_{\max}$  uchun keltirilgan; b) yonilg'i purkaladigan dvigatel uchun  $k_2$  qiymatini aniqlash bir  $n_M$  rejim uchun keltirilgan.



4.45-rasm. Dizel uchun kengayish adiabatasi ko'rsatkichi  $k_2$  ni aniqlash nomogrammasi.

## **4.6. Chiqarish jarayoni va ekspluatatsiyada dvigatellar zaharliliginini kamaytirish metodlari**

### **4.6.1. Chiqarish jarayoni**

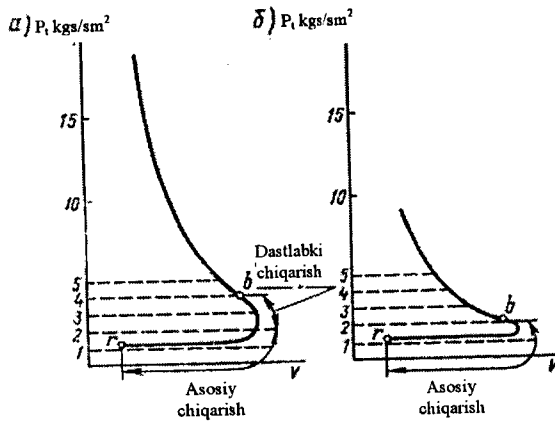
Chiqarish davrida ishlangan gazlar dvigatel silindridan tash-qariga chiqarib yuboriladi.

To'rt taktli dvigatellarda chiqarish klapani porshen q.ch.h. ga tirsakli val burilishi burchagi bo'yicha  $40\text{--}80^\circ$  yetmasdan oldin ochiladi va porshen yu.ch.h. dan  $20\text{--}40^\circ$  o'tgandan keyin berkiladi. Demak, chiqarish klapani ochiqligi davomiyligi, ya'ni silindrarni ishlangan gazlardan tozalash davomiyligi turli dvigatellarda  $240$  dan  $300^\circ$  gacha burchakni tashkil qiladi.

Chiqarish jarayonini (4.46-rasm) dastlabki chiqarish va asosiy chiqarishlarga bo'lish mumkin. Dastlabki chiqarish porshen pastga harakatlanayotganda,  $40\text{--}80^\circ$  davomida, asosiy chiqarish esa porshen q.ch.h. dan chiqarish klapani yopilgunicha harakatlananida, ya'ni tirsakli valning  $200\text{--}220^\circ$  ga burilishi davomida sodir bo'ladi.

**Dastlabki chiqarish.** Dastlabki chiqarish paytida porshen q.ch.h. tomon harakatlanayotgan bo'ladi, shuning uchun u ishlangan gazlarni silindrda haydab chiqara olmaydi. Lekin dastlabki chiqarish boshlanishida dvigatel to'liq yuk rejimida ishlayotganda silindrda bosim taxminan  $0,4$  MPa ni tashkil qiladi. Shu sababli ishlangan gazlar o'zlarining bosimi ostida silindrda  $400\text{--}500$  m/s ga yetadigan kritik tezlikda otilib chiqadi. Gazlarning bunday katta tezlikda chiqishi baland shovqin hosil qiladi, bu shovqinni pasaytirish uchun dvigatelga tovush so'ndirgich o'matiladi.

Porshen q.ch.h. ga kelganida silindrda gazlar bosimi va harorati pasayadi, ishlangan gazlarning oqib chiqish tezligi kamayib boradi.



4.46-rasm. Dvigatelning har xil yukida chiqarish jarayonining indikator diogrammalari: a – katta; b – kichik.

**Asosiy chiqarish.** Porshen q.ch.h. ga kelganida silindrdağı bosim taxminan 0,2 MPa gacha pasayadi. Asosiy chiqarishda ishlangan gazlarning oqib chiqishi kamayib boradi va chiqarish oxirida 60–100 m/s ni tashkil qiladi. Shuning uchun dastlabki chiqish va asosiy chiqishda silindrda chiqadigan gazlar miqdori deyarli bir-biriga teng bo‘ladi.

Dastlabki chiqarish indikator diogrammaning foydali yuzasini biroz kamaytiradi, lekin porshen asosiy chiqarishda q.ch.h. dan yu.ch.h. ga harakatlanganida kam qarshilikka uchraydi, natijada, umuman olganda, indikator diogrammaning foydali yuzasi ko‘payadi.

Chiqarish klapanining biroz kech berkilishi silindrda chiqib bo‘lgan gazlarning inertsiyasidan silindrni ishlangan gazlardan yaxshiroq tozalash uchun foydalanish imkonini beradi. Bunga qaramasdan ishlangan gazlarning bir qismi silindrda yonish kamerasi hajmida qoladi.

Dvigateli loyihalashda nasos yo‘qotishlari va qoldiq gazlar koeffitsiyenti ortib ketishining oldini olish maqsadida qoldiq gazlar bosimi  $p_r$  kichikroq bo‘lishiga intilishadi. Bundan tashqari  $p_r$  kattalashganda to‘lish koeffitsiyenti kichiklashadi, yonish jarayoni yomonlashadi, qoldiq gazlar harorati ko‘tariladi va miqdori ko‘payadi. Gazturbinali nadduvli dvigatelda chiqarish

oxirida bosimning katta bo‘lishi, odatda, kiritishda bosim ortishi bilan kompensatsiyalanadi.

#### **4.6.2. Ekspluatatsiyada dvigatellar zaharliliginini kamaytirish metodlari**

Oxirgi yillarda avtomobil va traktor parkining tez rivojlanishi natijasida ekspluatatsiya paytida dvigatellar zaharliliginini kamaytirish muammosi paydo bo‘ldi. Dvigatellarni ekspluatatsiya qilish paytida atrof-muhitni ifloslantiruvchi asosiy manba – bu yonish mahsulotlari bo‘lib, ularning asosiy komponentlari: uglerod oksidi ( $\text{CO}$ ), azot oksidlari ( $\text{NO}_x$ ) va uglevodorodlardir ( $\text{C}_n\text{H}_m$ ). Bundan tashqari uglevodorodlar yonilg‘i va moy bug‘lari ko‘rinishida baklar, yonilg‘i nasoslari, karbyuratorlar va karterlardan atmosferaga o‘tadi. Ba’zi ma’lumotlar bo‘yicha bir avtomobil dvigateli yil davomida atmosferaga taxminan 600 kg uglerod oksidi va 40 kg azot oksidlarini chiqaradi.

Hozirgi paytda zaharlilikni kamaytirish muammosini ham dvigatelni loyihalovchilar ham undan foydalanuvchilar echishmoqda. Dvigatel konstruksiyasi nuqtai nazaridan bu muammo uch asosiy yo‘nalish bo‘yicha echilmoqda.

1. Yonish mahsulotlari, yonilg‘i va moy bug‘lari bilan birga atmosferaga chiqariladigan zaharli moddalarni kamaytirish maqsadida ichki yonuv dvigatellarining ishchi jarayonlarini takomillashtirish. Aralashma hosil qilish va yonish jarayonlariga ta’sir qiluvchi turli usullarni qo‘llash: masalan, elektron boshqariladigan ta’minalash tizimlari, yonish kameralarini takomillashtirish; siqish darajasini va tirsakli val aylanishlar chastotasini kamaytirish hisobiga dvigatellarni deforsirovka qilish; karterni ventilyatsiya qilish; yonish mahsulotlari zaharliligi kam bo‘lgan yonuvchi aralashmalarni tanlash va boshqa tadbirlarni qo‘llash avtomobil va traktor dvigatellarini ekspluatatsiya qilish jarayonida atmosfera ifloslanishini kamaytirish imkonini bermoqda.

2. Qo‘srimcha qurilmalarni (neytralizatorlar, ushlab qolgichlar, dojigatellar va sh.k.) ishlab chiqish va ularni dvigatellarga o‘rnativsh yonish mahsulotlarini zaharli komponentlardan ma’lum miqdorda tozalash imkonini bermoqda.

3. Printsipial yangi dvigatellarni ishlab chiqish.

---

## V BOB. DVIGATELNING INDIKATOR KO'RSATKICHLARI

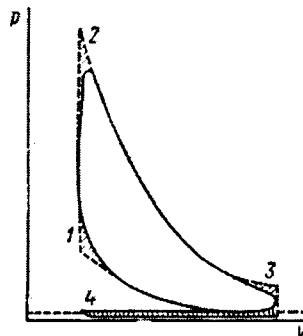
Indikator ko'rsatkichlar haqiqiy ishchi siklni tavsiflaydi. Ularga indikator ish  $L_i$ , o'rtacha indikator bosimi  $r_i$ , indikator quvvati  $N_i$ , indikator f.i.k.  $\eta_i$  va yonilg'ining solishtirma indikator sarfi  $g_i$  kiradi.

### 5.1. Indikator ish, o'rtacha indikator bosim va indikator quvvat

#### 5.1.1. Indikator ish

Ishchi sikl bajarilishi natijasida yonilg'i yonganida ajralib chiqqan issiqlikning bir qismi foydali mexanik ishga aylanadi dvigatel silindrlarida gazlar (bosimi) bajariladigan bu ish-indikator ishi deb ataladi. Indikator ish ishlayotgan dvigateldan yozib olingan indikator diagrammaning ichki konturi yuzasi bo'yicha aniqlanadi.

Real indikator diagramma bo'limgan holda u dvigatelning issiqlik hisobi ma'lumotlari bo'yicha qurilishi mumkin, lekin real va nazariy (hisobiy) indikator diagrammalar bir-biridan biroz farqlanadi (5.1-rasm).



5.1-rasm. Haqiqiy va hisobiy indikator diagrammalar.

Haqiqiy diagramma konturi ichidagi yuza  $G_h$  nazariy diagramma yuzasi  $G_{nazariy}$  dan 5–6% ga kichik bo'ladi. Buning sabablari: o't oldirilishi yoki yonilg'i purkalishi ilgariligi nati-jasida siqish chizig'i yonish chizig'iga silliq o'tadi, bunda yuza-ning bir qismi (5.1-rasm, 1-yuza) yo'qotiladi; yonish bir onda tugamaganligi tufayli 2-yuza yo'qotiladi; chiqarish klapani por-shen q.ch.h. ga yetib kelmasdan oldin ochilishi sababli 3-yuza yo'qotiladi.

Haqiqiy siklning hisobiy sikldan og'ishi tufayli nazariy indi-kator diagramma yuzasining kamayishi *diagramma to'liqligi koef-fitsiyenti*  $\varphi_u$  bilan baholanadi.

$$\varphi_u = G_{nazariy} / G'$$

Diagramma to'liqligi koejffitsiyenti  $\varphi_u$  qiymatlari quyidagi oraliqlarda olinadi:

Yonilg'i elektron purkaladigan dvigatellar

uchun ..... 0,95–0,98

Karbyuratorli dvigatellar uchun ..... 0,94–0,97

Dizellar uchun ..... 0,92–0,95

Bundan tashqari indikatorning bir qismi  $\Delta L_i$  kiritish va chiqarish jarayonlarini amalga oshirishga, ya'ni gaz almashtirish jarayonlariga sarflanadi.  $\Delta L_i$  yo'qotishlar kiritish va chiqarish chiziqlari orasida joylashgan indikator diagramma yuzasiga ekvivalent bo'ladi (5.1-rasm 4-yuza). Shunday qilib, indikator ish

$$\Delta L_i = \varphi_u L_{sikl} - \Delta L_i. \quad (5.1)$$

### 5.1.2. O'rtacha indikator bosim

Hisoblar qulay bo'lishi va turli dvigatellarni qiyoslash uchun indikator diagramma konturi ichidagi yuzani, o'sha asos ( $V_h$ )da qurilgan, yuzalari teng bo'lган to'g'ri burchakli to'rburchakka aylantirish mumkin. Bu qurilish 5.2- va 5.3-rasmlarda bajarilgan. Bu to'rburchakning balandligi indikator diagrammaning o'rtacha balandligiga yoki o'rtacha nazariy indikator bosimiga teng bo'lib,  $R_i'$  orqali belgilanadi.

O'rtacha nazariy indikator bosim effektiv doimiy bosim

bo'lib, porshen yu.ch.h. dan q.ch.h. ga harakatlanganida unga shartli ravishda ta'sir qiladi deb qabul qilinadi.

O'rtacha nazariy indikator bosimi  $r_i'$  bir siklda bajarilgan nazariy indikator ish  $L_{\text{sikl}}$  ning ishchi hajm  $V_h$  ga nisbatiga teng bo'lib, bir birlik ishchi hajmdan olinadigan nazariy ishni ifoda-laydi.

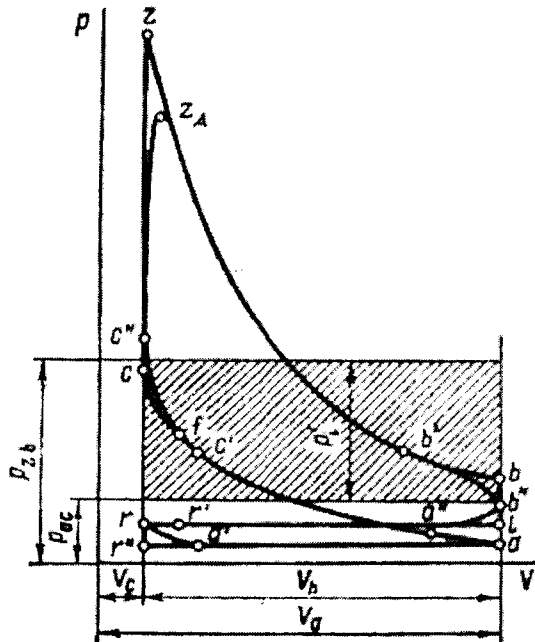
$$r_i' = L_{\text{sikl}}/V_h$$

Issiqlik  $V=\text{const}$  da kiritiladigan sikl bo'yicha ishlayotgan dizellar uchun (5.2-rasm) nazariy o'rtacha indikator bosim

$$p_i' = \frac{P_c}{\varepsilon-1} \left[ \frac{\lambda}{n_2-1} \left( 1 - \frac{1}{\varepsilon^{n_2-1}} \right) - \frac{1}{n_1-1} \left( 1 - \frac{1}{\varepsilon^{n_1-1}} \right) \right] \quad (5.2)$$

Issiqlik aralash kiritiladigan sikl bo'yicha ishlayotgan dizellar uchun (5.3-rasm)

$$p_i' = \frac{P_c}{\varepsilon-1} \left[ \frac{\lambda \rho}{n_2-1} \left( 1 - \frac{1}{\delta^{n_2-1}} \right) - \frac{1}{n_1-1} \left( 1 - \frac{1}{\varepsilon^{n_1-1}} \right) + \lambda(\rho+1) \right] \quad (5.3)$$



5.2-rasm. Benzinli dvigatelning indikator diagrammasi.

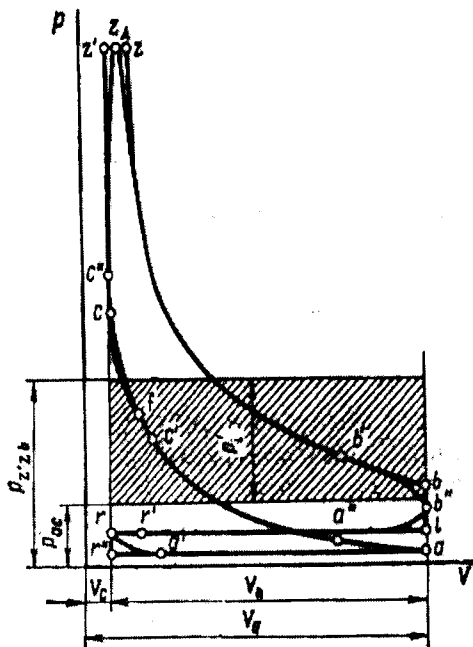
Haqiqiy siklning o'rtacha indikator bosimi  $r_i$   $r'_i$  qiymatidan  $c$ ,  $z$ ,  $b$  nuqtalarda silliqlanishi hisobiga hisobiy diagramma kamayishiga proporsional qiymatga hamda nasos yo'qotishlari o'rtacha bosimi qiymati  $\Delta r_i$  ga kichik bo'ladi, ya'ni

$$r_i = \varphi_b r'_i - \Delta r_i \quad (5.4)$$

Kiritish va chiqarish jarayonlarida nasos yo'qotishiari o'rtacha bosimi

$$\Delta r_i = r_r - r_a \quad (5.5)$$

Nadduv�iz to'rt taktli dvigatellarda  $\Delta r_i$  qiymati musbat bo'ladi. Yuritmani haydagichli nadduvli dvigatellarda  $r_a > r_g$  bo'lganida  $\Delta r_i$  qiymati manfiy bo'ladi. Gaz turbinali nadduvda  $r_a$  qiymati  $r_g$  qiymatidan ham katta va ham kichik bo'lishi, ya'ni  $\Delta r_i$  qiymati ham manfiy va ham musbat bo'lishi mumkin.



5.3-rasm. Dizelning indikator diagrammasi.

Nominal quvvat rejimlarida dvigatellar har xil turlari uchun  $r_i$  qiymati (MPa):

To'rt taktli benzinli dvigatellar uchun .....	0,6–1,4
Kuchaytirilgan to'rt taktli benzinli dvigatellar uchun .....	0,9–1,9
To'rt taktli nadduvvsiz dizellar uchun .....	0,7–1,2
To'rt taktli nadduvli dizellar uchun .....	1,4–2,2

### 5.1.3. Indikator quvvat

Gazlar dvigatel silindrlari ichida vaqt birligida bajariladigan ish indikator quvvat deb ataladi. Odatda, u dvigatel sinovida olingan indikator diagrammaga ishlov berish yo'lli bilan olinadi.

Gazlarning silindrda bir siklda bajariladigan ishi, N.M/sikl

$$L_i = r_i \cdot V_h \quad (5.6)$$

Dvigatel taktlining (bir siklda porshen yuradigan yo'llari soni)  $\tau$  va bir liniyada valning aylanishlar sonini  $p$  bilan belgilab, bir silindrda bir minutda bajariladigan ishchi sikllar sonini aniqlaymiz, u  $2p/\tau$ , ga teng bo'ladi.

Agar valning aylanishlar chastotasi  $\text{min}^{-1}$ da berilgan bo'lsa: to'rt taktli dvigatellarning indikator quvvati (kVt)

$$N_i = r_i \cdot i \cdot V_h \cdot 2n/(60 \cdot \tau) = r_0 \cdot (i \cdot V_h)n/120, \quad (5.7)$$

Ikki taktli dvigatellarning quvvati (kVt)

$$N_i = r_i \cdot (i \cdot V_h)n/60, \quad (5.7')$$

Bir silindrdaqи indikator quvvati

$$N_{its} = r_i \cdot V_h \cdot n/(30 \cdot \tau). \quad (5.8)$$

Bu bog'lanishlarga muvofiq indikator quvvat o'rtacha indikator bosim, dvigatel ishchi hajmi (litraji) va tirsakli val aylanishlar chastotasiga to'g'ri proporsional bo'ladi.

Turli dvigatellarni qiyoslash uchun *litrli indikator quvvat*, ya'ni dvigatel ishchi hajmining bir metrdan olinadigan indikator quvvat tushunchasidan foydalilanadi.

## 5.2. Indikator f.i.k

Indikator ishining ushbu ishni olish uchun sarflangan issiqlikka nisbiy *indikator f.i.k.* deb ataladi.

1 kg yonilg‘i uchun indikator f.i.k.

$$\eta_i = L_i / Hu, \quad (5.9)$$

bu erda  $L_i$  – indikator ishga ekvivalent issiqlik, mDj/kg;

$Hu$  – yonilg‘i yonishining quyi issiqligi, mDj/kg.

Indikator f.i.k. haqiqiy siklning tejamkorligini tavsiflaydi; siklning termik f.i.k. dan farqli ravishda indikator f.i.k. nafaqat issiqlik  $Q_2$  ning sovuq manbagaga uzatilishini, balki noto‘liq yonish, dissotsiatsiya, nozichliklar orqali ishchi jismning oqib o‘tishi, issiqliknинг devorlariga uzatilishi va ishlangan gazlar bilan chiqib ketishini ham hisobga oladi.

Indikator f.i.k.ni mos termodinamik (nazorat) siklining termik f.i.k. bilan qiyoslash haqiqiy siklning takomillik darajasini baholash imkonini beradi. Buning uchun indikator va termik f.i.k. lari nisbatiga teng bo‘lgan nisbiy f.i.k.  $\eta_g$  dan foydalaniladi.

$$\eta_g = \eta_i / \eta_t. \quad (5.10)$$

Nisbiy (haqiqiy) f.i.k.  $\eta_g$  qiymati 0,7–0,9 ni tashkil qiladi, bu haqiqiy takomillashtirish imkoniyatlari hali ko‘pligini bildiradi.

Indikator f.i.k. tenglamasini echaniz. Agar (5.6) tenglamada  $V_h$  deganda shunday shartli ishchi hajm tushunilsaki, bu hajmda bir ishchi siklda yonilg‘i birligini zaruriy havo miqdorida yoqish mumkin bo‘lsin, u holda bu tenglama bir birlik yonilg‘i yondirilganda olinadigan ishni ifodalaydi.

Bu hajmni xarakteristik tenglamadan topish mumkin

$$r_k \eta_v V_h = R_\mu M_1 T, \quad (5.11)$$

bu yerda  $R_\mu$  – universal gaz doimiysi;  $\eta_v$  – kiritishda ishchi jism bosimi  $r_k$  va harorati  $T_k$  bo‘lganda to‘lish koeffitsiyenti

U holda (5.6) tenglamadan

$$L_i = M_1 R_\mu p_i T_k / (\eta_v p_k). \quad (5.12)$$

Bu ifodani (5.9) ga qo‘yib, indikator f.i.k. tenglamasini hosil qilamiz

$$\eta_i = \frac{p_i R_\mu M_i T_k}{H u p_k \eta_i} \quad (5.13)$$

yoki

$$\eta_i = p_i l_0 \alpha / H u p_k \eta_i. \quad (5.13')$$

Gazli dvigatellarda  $Ni$  standart shartlardagi  $1 \text{ m}^3$  yonilg'iغا taalluqli bo'ladi, shuning uchun  $M_1 1 \text{ m}^3$  yonilg'i bo'yicha olinadi, ya'ni

$$\eta_i = 371,2 \cdot 10^{-6} M_1 T_k p_i / (H u' p_k \eta_v). \quad (5.14)$$

Nominal rejimda ishlayotgan zamonaviy avtomobil indikator f.i.k. qiymati:

Yonilg'i elektron purkaladigan dvigatellar uchun .....	0,35–0,45
Korbyuratorli dvigatellar uchun .....	0,30–0,40
Dizellar uchun .....	0,40–0,50
Gazli dvigatellar uchun .....	0,28–0,35

### 5.3. Yonilg'i sarfi

**1 siklda yonilg'i sarfi.** Ichki yonuv dvigatellari ishlashi uchun ularning silindrlariga yonilg'i va havo kiritishi zarur. Har bir kiritishda silindrga kiraqidan yangi zaryad miqdori

$$G_{\text{sikl}} = [p_k V_h / (R_\mu T_k)] \eta_v, \quad (5.15)$$

bunda yonilg'i miqdori  $1/(l_0 \alpha)$ ga teng bo'lgan ulushni tashkil qiladi

U holda yonilg'iining bir sikldagi sarfi

$$G_{\text{yo.sikl}} = G_{\text{sikl}} / (l_0 \alpha) = [p_k V_h / (R_\mu T_k)] (\eta_v / l_0) (1/\alpha). \quad (5.16)$$

**Yonilg'iining 1 soatdagi sarfi.** *Yonilg'iining 1 soatdagi sarfi*  $G_{\text{yo.s}}$  ni aniqlash uchun yonilg'iining bir sikldagi sarfini bir soatdagi sikllar soniga ko'paytirish kerak.

To'rt taktli dvigatel uchun (kg/soat)

$$G_{\text{yo.s}} = G_{\text{yo.sikl}} (p/2) 60 = 30 G_{\text{yo.sikl}} p. \quad (5.17)$$

**Yonilg'iining solishtirma indikator sarfi**

Haqiqiy sikllarning tejamkorligini ko'rsatuvchi ikkinchi ko'rsatkich – bu yonilg'iining solishtirma indikator sarfidir; u yonilg'i bir soatda sarfining indikator quvvatga bo'lgan nisbatga

teng:

suyuq yonilg‘ida ishlaydigan dvigatellar uchun [g/(kVt·soat)]

$$g_i = G_{yo.c} \cdot 1000 / N_i \quad (5.18)$$

gaz yonilg‘isida ishlaydigan dvigatellar uchun [ $m^3/(kVt·soat)$ ]

$$v_i = V_i / N_i$$

Indikator f.i.k. va yonilg‘ining solishtirma indikator sarfi orasidagi bog‘lanishni aniqlaymiz, buning uchun bir soatdag‘i indikator ish tenglamasini (5.9) va issiqlikning bir soatdag‘i sarfini quyidagi ko‘rinishda yozamiz

$$\eta_i = \frac{N_i \cdot 3600}{Hu G_{eo.c} \cdot 1000} = \frac{3600}{(Hu G_{eo.c} \cdot 1000 / N_i)}, \quad (5.19)$$

ya’ni

$$\eta_i = 3600 / (Hu \cdot g_i)$$

yoki

$$g_i = 3600 / (\eta_i \cdot Hu). \quad (5.20)$$

(5.20) ga  $\eta_i$  ning (5.13) dagi ifodasini qo‘yib, quyidagini hosil qilamiz [g/(kVt·soat)]

$$g_i = \frac{3600 \cdot p_k \cdot \eta_v}{p_i R_\mu M_1 T_k}$$

yoki

$$g_i = \frac{3600 \cdot p_k \cdot \eta_v}{p_i l_0 \alpha}. \quad (5.21)$$

Gaz dvigatellari uchun (5.19) va (5.20) tenglamalarga  $g_i$  o‘rniga  $v_i$  ( $m^3/(kVt·soat)$ ) ni qo‘yamiz; u holda (5.21) tenglama quyidagi ko‘rinishga ega bo‘ladi:

$$v_i = 3,6 / (\eta_i \cdot Hu')$$

yoki

$$v_i = \frac{3600 \cdot 22,4 p_k \cdot \eta_v}{p_i R_\mu M_1 T_k}$$

yoki

$$v_i = \frac{9700 p_k \cdot \eta_v}{p_i M_1 T_k}. \quad (5.22)$$

Turli gazsimon yonilg‘ilarning yonish issiqligi bir-biridan kuchli farqlanadi; bu dvigatel turli yonilg‘ilarda ishlaganida

ularning ishchi sikllari tejamkorligi  $v_i$  bo'yicha taqqoslash imkonini bermaydi. Ularning tejamkorligini *issiqlikning solishtirma sarfi*  $g_i$  [MDj/(kVt·soat)] bo'yicha taqqoslash ancha qulay bo'ladi.

Bir birlik qvvat ishlab chiqarishga sarflanadigan issiqlikning solishtirma sarfi

$$g_i = v_i Hu' = 9700 \eta_v p_k Hu' / (M_1' T_k p_i). \quad (5.23)$$

Dvigatelning nominal ish rejimida yonilg'ining solishtirma indikator sarfi:

yonilg'i elektron purkaladigan dvigatellar

uchun .....  $g_i = 180 - 230 \text{ g/kVt}$

karbyuratorli dvigatellar

uchun .....  $g_i = 210 - 275 \text{ g/(kVt.soat)}$

dizellar uchun .....  $g_i = 170 - 210 \text{ g/(kVt.soat)}$

gazli dvigatellar uchun .....  $g_i = 10,5 - 13,5 \text{ MDj/(kVt.soat)}$

#### **5.4. Turli omillarning indikator ko'rsatkichlarga ta'siri**

(5.13) va (5.14) tenglamalarni  $p_i$  ga nisbatan echaniz:

$$p_i = \frac{1}{R_\mu} \frac{Hu}{M_1} \eta_v \eta_i \frac{p_k}{T_k}, \quad (5.24)$$

$$p_i = \frac{1}{R_\mu} \frac{Hu'}{M_1'} \eta_v \eta_i \frac{p_k}{T_k}. \quad (5.25)$$

(5.24) va (5.25) tenglamalardan shu narsa ko'rindiki, siklda foydalilaniladigan issiqlik yonuvchi aralashmaning yonish issiqligi va uning miqdori bilan, bularning o'zi esa o'z navbatida  $\eta_v$  va  $p_k/T_k$  nisbatga proprotsional bo'lgan yonuvchi aralashma hajmi va zichligi bilan aniqlanadi. Issiqlikdan foydalananish sifati indikator f.i.k. bilan aniqlanadi.

#### **5.4.1. Konstruktiv va rostlovchi omillarning ta'siri**

**Siqish darajasi.** (2.5) tenglamaga muvofiq siqish darajasi  $\varepsilon$  ning ortishi bilan hamma termodinamik (nazariy) sikllarning termik f.i.k.  $\eta_t$  va o'rtacha bosimi  $r_t$  ortadi. (5.10) nisbatdan  $\eta_g$  o'zgarmas bo'lganda  $\eta_T$  ortishi bilan indikator f.i.k.  $\eta_i$  ham ortadi. Lekin  $\varepsilon$  ning haddan tashqari katta qiymatlarida devorlarga issiqlik uzatilishi (yo'qotilishi) va ishchi jism nozichliklardan oqib ketishining ko'payishi hamda yonish jarayonining buzilishi natijasida  $\eta_g$  amalda pasayishi mumkin.

**Silindr o'lchamlari.**  $S/D$  nisbiy o'zgarmas bo'lganda silindr diametri  $D$  ning kattalashishi gaz taqsimlash klapanlarining burchak-kesimini orttirish va silindrning yangi zaryad bilan to'lishini yaxshilash imkonini beradi, lekin bunda majburan o't oldiriladigan dvigatellarda distansiyaning vujudga kelishi imkoniyati ortadi, natijada siqish darajasini kamaytirish yoki ikkita svecha o'rmatish yoki oktan soni kattaroq bo'lgan yonilg'idan foydalanish zarurati tug'iladi.

Dizellarda silindr diametri  $D$  ning 300 mm gacha kattalash-tirilishi yonilg'i uzatilishini va ajralmagan yonish kameralarida aralashma hosil bo'lishini soddalashtiradi, lekin fakellar uzoq-roqqa yetib borishi uchun purkash bosimni orttirish, fakellar sonini ko'paytirish va uyurma intensivligini orttirish zaruratini tug-diradi.  $S/D$  ning optimal nisbatida silindr diametri kattalashganda gazlardan issiqlik oladigan nisbiy sirt kamayadi, natijada indikator f.i.k. ortadi.

**Konstruksion materiallar.** Majburan o't oldiriladigan porshenlar va silindrlar kallagini cho'yan o'miga yengil, issiqlikni yaxshi o'tkazadigan materiallardan tayyorlash, bu detallar sirtidagi haroratni pasaytirish imkonini beradi.

Bu detonatsiya vujudga kelish ehtimolini kamaytiradi va siqish darajasini 0,5–1,2 birlikka orttirish imkonini beradi, bunda zaryad qizishi pasayishi bilan birga to'lish koeffitsiyenti  $\eta_v$  ni orttirish imkonini beradi, natijada  $\eta_i$  va  $p_i$  ortadi.

Dizellarda esa, aksincha, cho'yan va po'latlarni qo'llash maqsadga muvofiq, chunki bunda o'z-o'zidan alanganishning tutilib

turish davri qisqaradi, devorlarga issiqlik yo‘qotilishi kamayadi, yonish yumshoq va o‘z vaqtida bo‘ladi,  $\eta$  ning ortishi esa, devor ko‘proq qizishi hisobiga to‘lish koeffitsiyentining biroz kamayishi ta’sirini qoplaydi. Shu sababli alyumin qotishmasi o‘rniga cho‘yan va po‘latlardan foydalanish  $p_i$  ni 0,05–0,12 MPa oshirish imkonini beradi.

Lekin dizellarda porshen, kallak, klapanlar sirtlarining issiqlikni kamroq o‘tkazadigan keramik qoplamlar bilan qoplash ularning tejamkorligini 1–2% ga kamaytirishi mumkin. Tarkibida sirkoniy, seziy va kremniy bo‘lgan keramika yorish reaksiyasiga sekinlatuvchi kattalik ta’sir o‘tkazsa kerak.

**Sovitish intensivligi.** Uchqun bilan o‘t oldiriladigan dvigatellarda sovitish intensivligi kuchaytirilganda  $\eta$  ning ortishi o‘rtacha indikator bosimi  $p_i$  ni orttirish imkonini beradi; kattaroq siqish darajasidan foydalanish, aralashma hosil qilish va yonish jarayonlarining biroz sekinlashishiga qaramasdan, indikator f.i.k.  $\eta$  ni orttirish imkonini beradi.

Dizellarda sovitish intensivligini oshirish ko‘pda maqsadga muvofiq emas, chunki bu yonilg‘i bug‘lanishi, aralashma hosil bo‘lishi va yonishni sezilarli darajada sekinlashtiradi, natijada  $\eta$  pasayish va yonish qattiqligining ortishiga olib kelishi mumkin. Shu sababli kam forsirovka qilingan dizellarda havo bilan sovitish (intensivligi kam) keng qo’llaniladi.

**To‘ldirish koeffitsiyenti.** (5.13) va (5.14) formulalarga muvofiq  $\eta$  ortishi bilan  $\eta$  kamayishi kerak. Lekin  $\eta_v$  ning ortishi hisobiy siklga keltiriladigan issiqlik miqdorini ko‘paytirish imkonini beradi va (5.24), (5.25) formulalarga muvofiq (5.13) va (5.14) formulalarga kiruvchi  $p_i$  miqdorini orttiradi. Shu sababli  $\eta$  ning ortishi indikator f.i.k. ni kamaytirmaydi.

**Yonish kamerasining shakli.** Yonish kamerasining shakli aralashma hosil qilish va yonish sifatiga, issiqlik almashinadigan yuza va gidravlik qarshiliklar qiymatiga ta’sir qiladi. Elektr uchquni yordamida o‘t oldiriladigan dvigatellarda ixcham yonish kameralarida  $p_i$  va  $\eta$  qiymatlari katta bo‘ladi, chunki ixcham yonish kameralari kattaroq siqish darajasidan foydalanish va natijada siqish, yonish, kengayishi jarayonlarida issiqlik yo‘qoti-

lishini kamaytirish imkonini beradi.

Ishchi aralashmani turbilizatsiya qiluvchi turli konstruktsiyalar (old kamera, siqib chiqargich) quvvat to‘liq bo‘lmagan rejimlarda  $\eta_i$  ni oshirish imkonini beradi, lekin, odatda ular gidravlik qarshilikni ko‘paytiradi, yonish kamerasining ixchamligi yo‘qoladi, to‘liq quvvatlar rejimida  $p_i$  va  $\eta_i$  qiymatlari pasayadi.

Dizellarda yonish kamerasining shakli va turi havo ortiqligi koeffitsiyentining o‘rtacha qiymatini, yonish kamerasi devorlariga issiqlik yo‘qotilishini belgilaydi hamda havo sarfi ko‘pligi, klapanlar atrofida gaz oqimining deformatsiyalanishi tufayli gaz taqsimlash klapan organlaridagi gidravlik qarshiliklarga kuchliroq ta’sir qiladi.

**Yonilg‘ini uzatish qonuniyati.** Uchqun bilan o‘t oldiriladigan dvigatellarda o‘t oldiriladigan onda engil bug‘lanadigan yoki gazsimon yonilg‘ining uzatilishi tugagan, aralashma esa yetarli darajada bir jismli bo‘ladi. Shuning uchun yonilg‘ining uzatilishi  $p_i$  va  $\eta_i$  ga amalda ta’sir qilmaydi.

Dizellarda aralashma hosil bo‘lishi va yonish yonilg‘i uzatilishi jarayoni bilan qoplashishadi. Yonilg‘i nasosi kulachogi profili yoki forsunkalar ochilishi qonuniyati bilan purkalish mayinligiga va yonilg‘i uzatilishining oniy tezligiga ta’sir qilish, ya’ni yonish jarayonida bosimning ortishi, maksimal bosim va unga erishiladigan on, ya’ni  $\lambda$ ,  $\rho$  va  $\delta$  kabi parametrlarga ta’sir qilishi mumkin. Shu sababli yonilg‘i uzatilishi qonuniyati bilan o‘rtacha indikator bosim  $p_i$  va indikator f.i.k.  $\eta_i$  larga ta’sir qilishi mumkin: purkash boshlanishda yonilg‘i uzatish tezligi katta bo‘lganda  $\eta_i$ , bosimning ortish tezligi va  $p_z$  kattalashadi; yonilg‘ining siklaviy uzatilishini ko‘paytirib  $p_i$  ni,  $p_z$  va bosim ortishi tezligining ruxsat etilgan qiymatlari chegarasida orttirish mumkin.

**Aralashma tarkibi.** (5.13) va (5.14) formulalarga  $M_1$  kiradi, u esa o‘z navbatida  $\alpha$  ga bog‘liq. Formal nuqtai nazardan  $\alpha$  ortishi bilan  $\eta_i$  ham ortib borishi kerak. Amalda esa uchqun yordamida o‘t oldiriladigan dvigatellarda  $\alpha=1,05-1,15$  gacha  $\eta_i$  ortib boradi. Agar  $\alpha$  qiymati yanada ortib borsa, yonish tezligi sekinlashadi, yonish kechroq tugaydi, devorlarga issiqlik uzatilishi (yo‘qo-

tilishi) ko'payadi.

Dizellarda aralashma yonish tezligining  $\alpha$  ga bog'liqligi kamroq namoyon bo'ladi, chunki ularda aralashma tarkibi yonish kamerasining hajmi va vaqt bo'yicha bir xil bo'lmaydi. Shuning uchun dizellarda  $\eta_i$  ajratilmagan yonish kameralarida  $\alpha=2,8-3,5$  gacha, ajratilgan yonish kameralarida esa  $\alpha=5-6$  gacha ortib boradi.

(5.24) va (5.25) formulalarga muvofiq  $p_i$  ning  $\alpha$  ga bog'liqligi  $M_1$  va  $\eta_i$  qiymatlari bilan aniqlanadi. Agar yonilg'i hajmining  $M_1$  ga ta'sirini hisobga olmasak, hamma dvigatellar uchun (5.24) va (5.25) formulalarni quyidagi ko'rinishda yozish mumkin:

$$p_i \approx \frac{1}{R_\mu} \frac{Hu}{L_0} \eta_v \frac{\eta_i}{\alpha} \frac{p_k}{T_k}; \quad (5.26)$$

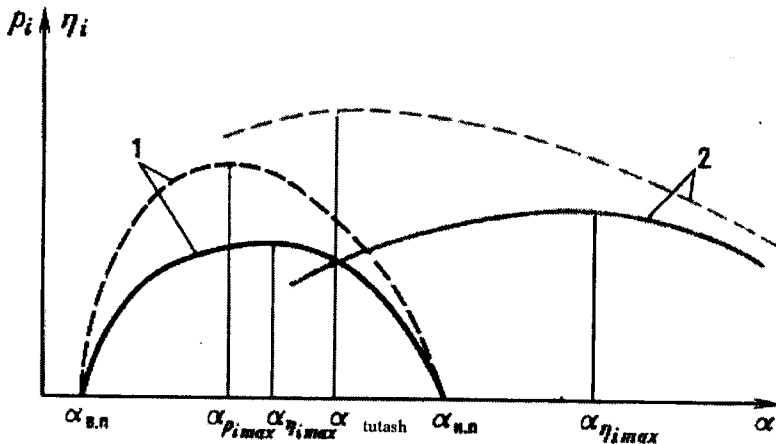
$$p_i \approx \frac{1}{R_\mu} \frac{Hu'}{L_0} \eta_v \frac{\eta_i}{\alpha} \frac{p_k}{T_k}. \quad (5.27)$$

Bu tenglamalardan shu ko'rinaliki, qolgan ko'paytuvchilar bil xil bo'lganda,  $\eta_i/\alpha$  ning maksimal qiymatida  $p_{i\max}$  ga erishiladi.

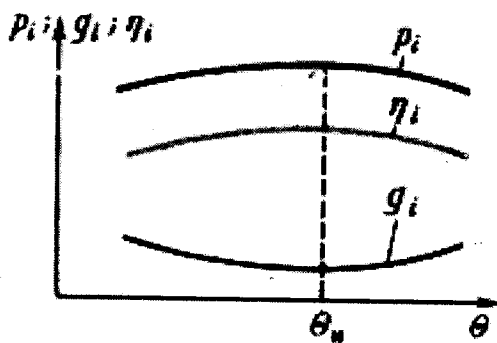
Uchqun bilan o't oldiriladigan dvigatellarda issiqlik ajralib chiqish tezligi maksimal ( $\alpha < \alpha_{\eta i\max}$ ) bo'lganda, ya'ni  $\alpha_{p_{i\max}}$  da ( $\eta_i/\alpha$ )<sub>max</sub> bo'ladi (5.4-rasm). Dizellarda ( $\eta_i/\alpha$ )<sub>max</sub> ga  $1 < \alpha < \alpha_{tutash}$  da erishiladi. Dvigatelning tutab ishlashi ruxsat etilmaganligi sababli, dizellarda maksimal bosimga  $p_{i\max}$   $\alpha < \alpha_{\eta i\max}$  da erishiladi.

**O't oldirish va yonilg'i purkalish ilgariligi burchaklari.** Ilgarilik burchagi  $\theta_0$  optimal bo'lganda  $p_i$  va  $\eta_i$  qiymatlari maksimal bo'ladi (5.5-rasm).  $\theta$  o'zgarganda (5.13), (5.14), (5.24) va (5.25) tenglamalarga kiruvchi parametrlardan faqat  $T_k$  va  $\eta_i$  (qizishning o'zgarishi natijasida) biroz o'zgaradi, shuning uchun  $p_i$  va  $\eta_i$  ekvivalent chiziqlar bo'yicha o'zgaradi.

Dvigatelning har xil ish rejimlari uchun burchak  $\theta_0$  ning qiymatlari har xil bo'ladi. Dvigatelga tushayotgan yuk ortganda aralashma alanganishining tutilib turish davri qisqaradi va alanga foniylar tarqalish tezligi ortadi, chunki bunda yangi zaryad ko'proq qiziydi va uchqun yordamida o't oldiriladigan dvigatellarda qoldiq gazlar miqdori kamayadi, shuning uchun  $\theta_0$  ham kamayadi (5.6 a-rasm).

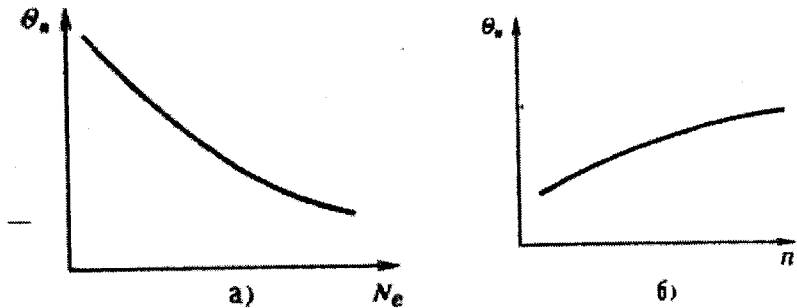


5.4-rasm. Indikator f.i.k.  $\eta_i$  va o'rtacha indikator bosim  $p_i$  ning havo ortiqligi ko'effitsiyenti  $\alpha$  ga bog'liqligi.



5.5-rasm. Qolgan shartlar bil xil bo'lganda indikator ko'rsatkichlarining  $\theta$  ga bog'liqligi.

Tirsakli valning aylanishlar chastotasi ortganda siqish politropasi ko'rsatkichi  $n_1$  ortishi tufayli zaryad harorati ko'tariladi, qoldiq gazlar harorati va yonish kamerasidagi uyurmalar intensivligi ortadi. Natijada alangananish tutilib turish davri va yonilg'i yonishining asosiy davri vaqt bo'yicha qisqaradi, lekin tirsakli val burilishi burchagi bo'yicha cho'ziladi. (5.6,b-rasm).



5.6-rasm. O't oldirish va yonilg'i purkalishning optimal burchaklari  $\theta_0$  ning  $N_e$  va  $n$  ga bog'liqligi.

#### 5.4.2. Ekspluatatsion omillarning ta'siri

**Kiritish va chiqarishdagi shartlar.** (5.4) va (5.5) tenglamalarga muvofiq kiritish oxiridagi bosim  $r_a$  o'rtacha indikator bosim  $r_i$  ga bevosita ta'sir qiladi. Bu silindrlarga kiritishdagi yo'qotishlarni kamaytirish va nadduvni qo'llash cho'yan bilan dvigatelnii takomillashtirish imkonini beradi. (5.26) va (5.27) tenglamalardan shu narsa ko'rindiki,  $r_i$  nafaqat  $r_k$  ga, balki kiritishda ishchi jism zichligini belgilovchi  $r_k/T_k$  nisbatiga ham bog'liq.

Elektr uchqunidan o't oldiriladigan dvigatellarda  $T_k$  va  $r_k$  ning ortishi hali yonmagan aralashmada alanga oldi kimyoviy jarayonlarini tezlashtiradi, bu esa detanotsiya vujudga kelish ehtimolini orttiradi. Shuning uchun bu dvigatellarda nadduvning qo'llanilishi yonilg'inining oktan soni bilan cheklanadi.

Dizellarda  $r_k$  va  $T_k$  larning ortishi  $\eta_i$  va  $p_i$  larning ortishiga sabab bo'ladi. Nadduvda nadduv havosining sovitilishi  $p_i$  ning yuqori bosimlarida yonilg'inining o'z-o'zidan alangalanishini cheklamaydi, chunki yonish kamerasi devorlarining harorati havoning zaruriy qizishini ta'minlaydi. Nadduvda dvigatel ishchanlik qobiliyatini saqlab qolish maqsadida  $r_k$  ortishi bilan  $\alpha$  ni ham orttirshadi, bu ham  $\eta_i$  ning qo'shimcha ortishiga sabab bo'ladi.

Chiqishda qarshilikning ortishi (shovqin so'ndirgich, ishlangan gazlar neytralizatorlari, turbokompressorlar qo'llanilishi) to'lish koeffitsiyentini kamaytiradi, gaz almashinuviga yo'qotishlarni ko'paytiradi va silindrдagi qoldiq gazlar miqdorini orttiradi. Shuning uchun chiqishdagi qarshilik ortganda doim  $\eta_i$  va  $p_i$  kamayadi.

**Yuk.** Uchqun bilan o't oldiriladigan dvigatellarda aralashma tarkibini o'zgartirish yo'li bilan quvvatni rostlash imkoniyati bir jism aralashmalarining alanganishi chegaralari bilan cheklanadi. Shu sababli bu dvigatellarda quvvatni rostlash bir siklda yoqiladigan aralashma miqdorini o'zgartirish bilan amalga oshiriladi; rostlash kiritish tizimida o'matiladigan drossel to'sig'i yordamida bajariladi.

Dizellarda dvigatel yukini oshirish uchun yonilg'inining siklaviy uzatilishi ko'paytiriladi, ya'ni havo ortiqligi koeffitsiyenti kamaytiriladi.

**Tirsakli valning aylanishlar chastotasi.** Elekt uchquni bilan o't oldiriladigan dvigatellarda indikator f.i.k. drosel to'sig'i to'liq ochiq bo'lganda  $p$  0,6–0,8  $n_N$  gacha ortganida ko'payadi; buning sababi: aralashma hosil bo'lishi yaxshilanadi, devorlarga issiqlik yo'qotilishi kamayadi,  $\alpha$  ortadi. Aylanishlar soni ortishda davom etganda yonishga vaqt yetishmasligi natijasida indikator f.i.k. pasaya boshlaydi. O'rtacha indikator bosimi esa to'lish koeffitsieynti va indikator f.i.k. ortishi tufayli  $p$  ning kattaroq qiymatlariga ortib boradi.

Dizellarda  $p$  ortganda hamma sanab o'tilgan omillar benzinli dvigateldagi kabi ta'sir qiladi.

---

## VI BOB. DVIGATEL ISHINING EFFEKTIV KO'RSATKICHLARI

### 6.1. Effektiv quvvat va mexanik yo'qotishlar

Dvigatel silindrlarida hosil bo'ladigan indikator quvvatning bir qismi dvigatelning o'zi ishlashi uchun sarflanadi va bu quvvatdan foydalanib bo'lmaydi. Bu quvvat *mexanik yo'qotishlar quvvati* deyiladi.

Mexanik yo'qotishlar quvvati quyidagilardan tarkib topadi:

- dvigatel harakatlanuvchi detallari orasidagi ishqalanishni engishga sarflanadigan quvvat  $N_{ishq}$  (masalan, porshen va porshen halqlarining silindr devorlariga ishqalanishi; podshipniklardagi ishqalanish, gaz taqsimlash mexanizmidagi ishqalanish va sh.k.);
- harakatlanayotgan detallar va havo yoki gazlar orasidagi ishqalanishni engishga sarflanadigan quvvat  $N_d$  (masalan, shatunlar harakati, maxovik aylanishi, turbina va kompressorlar aylanishi, karterda moyni sachratish);
- dvigatel agregatlari va qurilmalari: yonilg'i, moy va suv nasoslari, ventilyator, generator va sh.k. larni harakatga keltirish uchun sarflanadigan quvvat  $N_a$ ;
- silindrlarni qoldiq gazzlardan tozalash va yangi zaryad bilan to'ldirishga sarflanadigan quvvat (nasos yo'qotishlar)  $N_{n.y.}$

Dvigatelning iste'molchiga beradigan *effektiv* (foydali) quvvati  $N_e$  indikator quvvatdan mexanik yo'qotishlar quvvaticha kam bo'ladi.

Agar dvigateldagi hamma yo'qotishlarga mos quvvatni  $N_m$  bilan belgilasak, u holda dvigatelning effektiv quvvati

$$N_e = N_i - N_m \quad (6.1)$$

bu yerda

$$N_m = N_{ishk} + N_d + N_a + N_{n.y.} \quad (6.2)$$

Valning aylanishlar chastotasining dvigateldagi alohida

yo‘qotishlarning qiymatiga ta’sirini bartaraf etish uchun *ishqalanishning o‘rtacha bosimi* ifodasidan foydalanish maqsadga muvofiq bo‘ladi. Uning qiymati ishqalanish ishining  $1 \text{ m}^3$  silindrning ishchi hajmi  $V_h$  nisbatiga teng bo‘ladi.

U holda mexanik yo‘qotishlarning o‘rtacha bosimi, MPa

$$p_m = p_{ishk} + p_o + p_a + p_{n.y.} \quad (6.3)$$

va

$$p_i - p_m = p_e \quad (6.4)$$

bu yerda  $r_e$  – o‘rtacha effektiv bosim.

O‘rtacha effektiv bosim – bu dvigatel foydali ishining silindr-larning ishchi hajmiga bo‘lgan nisbatiga aytildi.

O‘rtacha indikator bosim va indikator quvvat o‘zaro qanday bog‘langan bo‘lsa [(5.7) va (5.8) formulalarga qarang], dvigateling o‘rtacha effektiv bosimi va effektiv quvvati ham o‘zaro shunday bog‘lanadi:

$$N_e = p_e i V_h n / 30 \tau \quad (6.5)$$

Demak,

$$p_e = 30 \tau N_e / (i V_h n) \quad (6.6)$$

$$p_m = 30 \tau N_m / (i V_h n) \quad (6.7)$$

**Mexanik yo‘qotishlar** tufayli dvigatel quvvatining kamayishi mehanik f.i.k.  $\eta_m$  dvigatel effektiv quvvatining indikator quvvatiga bo‘lgan nisbatiga teng:

$$\eta_m = N_e / N_i = p_e / p_i \quad (6.8)$$

(6.8) ifodada  $N_e$  ni ( $N_i - N_m$ ) bilan yoki  $r_e$  ni ( $r_i - r_m$ ) bilan almashtirib, mehanik f.i.k. formulasini olamiz:

$$\eta_m = 1 - N_m / N_i = 1 - p_m / p_i \quad (6.9)$$

O‘zgaruvchi yukda va o‘zgarmas aylanishlar chastotasida ishlaganda, bu majburan o‘t oldiriladigan dvigatellarda drossel to‘sиг‘ini ochish yoki yopish bilan (miqdoriy rostlash), dizellarda esa yonilg‘i nasosi reykasini surish bilan (sifatiy rostlash) amalgao shiriladi, mehanik yo‘qotishlar o‘rtacha bosimi benzinli dvigatellarda siklning o‘rtacha bosimi o‘zgarishi natijasida o‘zgaradi, dizellarda esa deyarli o‘zgarmaydi. (6.9) tenglamadan

shu narsa ko'rinadiki, indikator bosim  $r_i$  kamayganda o'rtacha effektiv bosim  $r_e$  pasayadi, dvigatel salt ishida esa, ya'ni  $r_i = r_m$  bo'lganda,  $r_e$  nolga teng bo'ladi, indikator quvvatning hammasi mexanik qarshiliklarni yengishga sarflanadi.

Dvigatel har xil aylanishlar chastotasi va o'zgarmas o'rtacha indikator bosim  $r_i$  da ishlaganda mexanik yo'qotishlarning o'rtacha bosimi  $r_m$  dvigateldagi ishqalanish ishi, nasos va boshqa yo'qotishlar o'rtacha bosimi o'zgarishi oqibatida o'zgaradi. Valning aylanishlar chastotasi ortganda mexanik f.i.k.  $\eta_m$  kamayadi (6.8-formula).

(6.2) tenglamadagi har bir tashkil etuvchini alohida aniqlash qiyin. Shuning uchun mexanik yo'qotishlar ikki qiymat: ishqalanish ishi (bunga nasos yo'qotishlaridan tashqari hamma yo'qotishlarni kiritishadi) va nasos yo'qotishlaridan tarkib topadi deb hisoblashadi, ya'ni

$$R_m = r_{ishq} + r_{n.yo'q.} \quad (6.10)$$

Mexanik yo'qotishlar o'rtacha bosimini porshen o'rtacha tezligi  $v_{p.o.r.}$  ga bog'liq holda quyidagi ko'rinishdagi empirik formulalar bo'yicha aniqlashadi:

$$R_m = A + V v_{p.o.r.} \quad (6.11)$$

$A$  va  $V$  koeffitsiyentlarning qiymatlari eksperimental o'rnatiladi.

Har xil turdag'i dvigatellardagi mexanik yo'qotishlar o'rtacha bosimi  $R_m$  (MPa) qiymatini aniqlash uchun formulalar:

silindrler soni oltitagacha va  $S/D > 1$  bo'lgan benzinli dvigatellar uchun

$$R_m = 0,049 + 0,0152 v_{p.o.r.} \quad (6.12)$$

$S/D < 1$  bo'lgan sakkiz silindrli dvigatellar uchun

$$R_m = 0,039 + 0,0122 v_{p.o.r.} \quad (6.13)$$

silindrler soni oltitagacha va  $S/D \leq 1$  bo'lgan dvigatellar uchun

$$R_m = 0,034 + 0,0113 v_{p.o.r.} \quad (6.14)$$

yonilg'i purkaladigan va elektron boshqariladigan yuqori forsirovka qilingan dvigatellar uchun

$$R_m = 0,024 + 0,0053 v_{p.o.r.} \quad (6.15)$$

ajratilmagan kamerali to'rt taktli dizellar uchun

$$R_m = 0,089 + 0,0118 v_{p.o.r}; \quad (6.16)$$

old kamerali dizellar uchun

$$R_m = 0,103 + 0,0153 v_{p.o.r}; \quad (6.17)$$

uyurma kamerali dizellar uchun

$$R_m = 0,089 + 0,0135 v_{p.o.r}. \quad (6.18)$$

Nadduv qo'llanilganda harakatlanuvchi detallarga tushadigan yuk ortishi natijasida ishqalanish ishi ko'payadi. Nadduvli tez yurar dizellar ishlaganda ishqalanish o'rtacha bosimining tashqi tezlik xarakteristika bo'ylab o'zgarishini quyidagi nisbatdan aniqlash mumkin:

$$R_{ishq} = R_{ishq.nom} (p/p_{nom})^{\alpha} (P_k/P_{k.nom})^v,$$

bu yerda  $R_{ishq.nom}$  va  $P_{k.nom}$  – dvigatel nominal aylanishlar chastotasida ishlaganida mos ravishda ishqalanishning o'rtacha bosimi va bosim ortishi koeffitsiyenti;  $\alpha$  va  $v$  – eksperimental ko'rsatkichlar:  $\alpha \approx 1,3 - 1,4$  va  $v \approx 0,1$ .

**O'rtacha effektiv bosim** (6.4) formula bo'yicha hisoblanadi.

Dvigatel nominal rejimda ishlaganida o'rtacha effektiv bosim  $r_e$  (MPa) qiymatlari:

To'rt taktli karbyuratorli dvigatellar

uchun ..... 0,6–1,1

To'rt taktli forsirovka qilingan karbyuratorli dvigatellar

elektron purkagichli dvigatellar uchun ..... 1,3 gacha

Nadduvsiz to'rt taktli dizellar uchun ..... 0,65–0,85

Nadduvli to'rt taktli dizellar uchun ..... 2,0 gacha

Ikki taktli nadduvsiz tezyurar dizellar

uchun ..... 0,4–0,75

Ikki taktli nadduvli dizellar uchun ..... 0,8–1,3

Gazli dvigatellar uchun ..... 0,5–0,75

**Mexanik f.i.k.** O'rtacha indikator bosimning o'rtacha indikator bosimiga nisbatli *dvigatelnning mexanik f.i.k.* deyiladi:

$$\eta_m = r_e / r_i = 1 - r_m / r_i. \quad (6.19)$$

Dvigateldagi yo'qotishlar ortishi bilan  $\eta_m$  kamayadi. Benzinli dvigatelda yuk kamayganda gaz almashinuviga nisbiy yo'qotishlar ortishi tufayli  $r_m$  ortadi, ya'ni  $\eta_m$  kamayadi. Dvigatel salt ishida  $r_i = r_m$  va  $\eta_m = 0$ .

Nominal rejimda ishlayotgan har xil turdag'i dvigatellarning mexanik f.i.k.:

Benzinli dvigatellar uchun .....	0,75–0,92
Nadduv siz to'rt taktli dizellar uchun .....	0,70–0,82
Nadduvli to'rt taktli dizellar uchun .....	0,80–0,92
Ikki taktli tezyurar dizellar uchun .....	0,70–0,85
Gazli dvigatellar uchun .....	0,75–0,85

**Effektiv quvvat.** Dvigate'l validan vaqt birligida olinadigan foydali ish *effektiv quvvat* deyiladi, uning qiymati ( $kVt$ ) indikator quvvatdan mexanik f.i.k. orqali aniqlanishi mumkin:

$$N_e = N_i \eta_m = p_e V_h in / (30\tau) \quad (6.20)$$

bu yerda  $R_e$  – MPa da;  $V_h$  – litrda;  $p$  –  $\text{min}^{-1}$  da ifodalangan.

Effektiv quvvat va dvigatelning asosiy parametrlari orasidagi bog'lanish quyidagicha ifodalananadi:

$$N_e = \frac{V_h in}{30\tau} \frac{Hu}{al_0} \rho_k \eta_v \eta_t \eta_m \quad (6.21)$$

bu yerda  $V_h$  – litrda;  $p$  –  $\text{min}^{-1}$  da;  $Hu$  = MDj/kg da;  $\rho_k$  = kg/m<sup>3</sup> da ifodalangan.

(6.21) formulaning tahlili shuni ko'rsatadiki, dvigatelning effektiv quvvati quyidagilar hisobiga orttirilishi mumkin:

- silindrlar sonini ko'paytirish;
- dvigate'l tirsakli vali aylanishlar chastotasini orttirish;
- yonilg'i yonishining quyi issiqligini orttirish;
- zaryad zichligini va to'lish koeffitsiyentini oshirish (masalan, Nadduvni qo'llash; gaz almashinuvini tashkil qilishni takomillash-tirish; kiritish va chiqarishda qarshiliklarni kamaytirish; dozaryad-kani ko'paytirish maqsadida inertsion nadduvni qo'llash va sh.k.);
- indikator f.i.k. ni oshirish (yonish jarayonini takomillash-tirish va siqish hamda kengayish jarayonlarida issiqlik yo'qotilishini kamaytirish hisobiga);
- dvigate'l mexanik f.i.k. ni oshirish (masalan, yuqori sifatli moylardan foydalanish; tutash yuzalarni kamaytirish; nasos yo'qotishlarni qisqartirish va sh.k. lar hisobiga).

## 6.2. Effektiv f.i.k. va yonilg‘ining solishtirma effektiv sarfi

**Effektiv f.i.k.**  $\eta_e$  va yonilg‘ining solishtirma effektiv sarfi  $g_e$  – dvigatel ishi tejamkorligining ko‘rsatkichlaridir.

Dvigatel validagi foydali ishgaga ekvivalent issiqlik miqdori  $L_u$  ning dvigatelga yonilg‘i bilan kiritilgan issiqlikning umumiy miqdori  $Hu$  ga nisbati effektiv f.i.k. deb ataladi:

$$\eta_e = L_e / Hu \quad (6.22)$$

$$L_e = p_e V_h = p_i V_h \eta_m \text{ bo‘lganligi uchun (5.9) formulaga binoan}$$

$$\eta_e = (V_h p_i / Hu) \eta_m = \eta_i \eta_m \quad (6.23)$$

(6.23) formulaga (5.13) va (5.14) ifodalarni qo‘yib, quyida-gilarni olamiz:

suyuq yonilg‘ida ishlaydigan dvigatellar uchun

$$\eta_e = \frac{p_i \eta_m R_\mu M_1 T_k}{Hu \rho_k \eta_v} = \frac{p_e R_\mu M_1 T_k}{Hu \rho_k \eta_v} \quad (6.24)$$

gazli dvigatellar uchun

$$\eta_e = 371,2 \cdot 10^{-6} \frac{M_1' T_k p_i \eta_m}{Hu' \rho_k \eta_v} = 371,2 \cdot 10^{-6} \frac{M_1' T_k p_e}{Hu' \rho_k \eta_v} \quad (6.25)$$

Dvigatelning f.i.k. dvigateldagi hamma – issiqlik va mexanik yo‘qotishlarni hisobga olgan holda yonilg‘i issiqligidan foydalish darajasini tavsiflaydi.

O‘rtacha effektiv bosim  $r_e$  bilan tavsiflanadigan dvigatel yukli va tirsakli val aylanishlar chastotasi o‘zgarganda  $\eta_i$  va  $\eta_m$ , demak  $\eta_e$  ham o‘zgaradi. Aylanishlar chastotasi o‘zgarmas bo‘lganda effektiv bosim  $r_e$  ortishi bilan mexanik f.i.k.  $\eta_m$  ortadi, indikator f.i.k.  $\eta_i$  esa biroz pasayadi, shu sababli effektiv f.i.k.  $\eta_e$  dvigatelning nominal yuk zonasida maksimal qiymatga erishadi. Yuk (o‘rtacha effektiv bosim  $r_e$ ) kamayganda effektiv f.i.k.  $\eta_e$  kamayadi va  $r_e = 0$  (salt ishi)da  $\eta_e = 0$  bo‘ladi. Valning ma’lum aylanishlar chastotasida  $\eta_i$  maksimal qiymatga erishadi,  $\eta_m$  esa  $p$

ortishi bilan uzlusiz kamayib boradi, bularga mos ravishda  $\eta_e$  dastlab ortadi, so'ngra esa kamayib boradi.

Nominal ish rejimida effektiv f.i.k. ning qiymatlari:

Benzinli dvigatellar uchun .....	0,25–0,38
Nadduvtsiz dizellar uchun .....	0,35–0,42
Nadduvli dizellar uchun .....	0,23–0,30
Gazli dvigatellar uchun .....	0,38–0,45

Dizellarda benzinli dvigatellarga nisbatan effektiv f.i.k. yuqori bo'lishining asosiy sababi shundaki, ularda havo ortiqligi koeffitsiyentining qiymati katta, ya'ni yonilg'i to'liqroq yonadi. Yengil yonilg'i purkaladigan dvigatellarda bu kamchilik deyarli yo'q.

**Yonilg'inining solishtirma effektiv sarfi  $g_e$  [g/kVt·soat] yoki  $v_e$  [ $m^3/(kVt\cdot soat)$ ] yonilg'i bir soatda sarfining effektiv quvvatga nisbatiga teng. U quyidagi ifodadan aniqlanishi mumkin:**

$$\eta_e = \frac{L_e}{Hu} = \frac{3600}{Hug_e} = \frac{3600}{Hu'v_e} \quad (6.26)$$

U holda suyuq yonilg'ida ishlaydigan dvigatellar uchun

$$g_e = \frac{3600}{Hu\eta_e} = \frac{3600}{R_\mu M_1 p_i \eta_m T_k} = \frac{3600}{R_\mu M_1 p_e T_k} \quad (6.27)$$

gazsimon yonilg'ida ishlaydigan dvigatellar uchun

$$g_e = \frac{3600}{Hu'\eta_e} = \frac{3600 \cdot 22,4 p_k \eta_v}{R_\mu M_1 p_i \eta_m T_k} = \frac{3600 \cdot 22,4 p_k \eta_v}{R_\mu M_1 p_e T_k} \quad (6.28)$$

Yonilg'inining solishtirma effektiv sarfi  $g_e$  yoki  $v_e$  effektiv f.i.k.  $\eta_e$  ga teskari proportsional qiymat bo'lib, valning aylanishlar chastotasi o'zgarmas bo'lganda,  $\eta_e$  maksimal qiymatga erishganda minimal bo'ladi. o'rtacha effektiv bosim  $r_e$  kamayganda yonilg'inining solishtirma effektiv sarfi  $g_e$  yoki  $v_e$  ortadi va  $r_e = 0$  bo'lganda cheksizga teng bo'ladi.

Yuk nominal bo'lganda yonilg'inining solishtirma effektiv sarfi  $g_e$  quyidagi qiymatlarga ega bo'ladi:

Yonilg'i elektron purkaladigan dvigatellar

uchun ..... 200–290 g/(kVt·soat)

Karbyuratorli dvigatellar uchun ..... 230–310 g/(kVt·soat)

### Ajratilmagan kamerali dizellar

uchun ..... 200–235 g/(kVt·soat)

### Old kamerali va uyurma kamerali dizellar

uchun ..... 220–260 g/(kVt·soat)

Gaz yonilg‘isining yonish issiqligi keng oraliqda o‘zgarishi tufayli, gazli dvigatellar uchun issiqlikning solishtirma effektiv sarfi [mDj/(kVt·soat)] ko‘rsatkichidan foydalaniladi.

$$g_e = v_e Hu' = 9700 p_k \eta_v Hu' / (p_e M'_k T_k) \quad (6.29)$$

Zamonaviy gazli dvigatellarda  $g_e = 12\text{--}17$  mDj/(kVt·soat).

Yonilg‘ining solishtirma effektiv sarfi  $g_e$  yoki  $v_e$  ni aniqlash uchun dvigatel sinovida yonilg‘ining 1 soatdagি sarfi  $G_{yo}$  (kg/soat) yoki  $V_{yo}$  ( $\text{m}^3/\text{soat}$ ) hamda dvigatelning effektiv quvvati  $N_e$  (kVt) o‘lchanadi.

U holda,

$$g_e = G_{yo} / M_e \quad \text{yoki} \quad v_e = V_{yo} / N_e \quad (6.30)$$

### 6.3. Dvigatel silindrining asosiy o‘lchamlari

Agar dvigatelning effektiv quvvati, nominal aylanishlar chastotasi berilgan va  $S/D$  nisbati tanlangan bo‘lsa, dvigatelning asosiy konstruktiv parametrlari (silindr diametri va porshen yo‘li) quyidagicha aniqlanadi.

Effektiv quvvat, tirsakli valning aylanishlar chastotasi va o‘rtacha effektiv bosim bo‘yicha dvigatel litraji (l) aniqlanadi

$$V_n = 30 \tau N_e / (p_e n) \quad (6.31)$$

bu yerda  $N_e$  – kVtt da;  $r_e$  – MPa da va  $p$  –  $\text{min}^{-1}$  da ifodalangan.

Bir silindrning ishchi hajmi (l)

$$V_h = V_1 / i \quad (6.32)$$

Silindr diametri (mm)

$$D = 100 \sqrt{\frac{4V_h}{(\pi S/D)}} \quad (6.33)$$

Porshen yo‘li (mm)

$$S = D \cdot \frac{S}{D} \quad (6.34)$$

*D* va *S* larning olingan qiymatlari oxiri nol yoki besh bilan tugagan butun sonlargacha yiriklashtiriladi. Qabul qilingan *D* va *S* qiymatlari bo'yicha dvigatelning asosiy parametrlari va ko'rsat-kichlari aniqlanadi:

dvigatel litraji (l)

$$V_n = \pi D^2 S i / (4 \cdot 10^6) \quad (6.35)$$

effektiv quvvat (kVt)

$$N_e = p_e V_i n / (30 \tau) \quad (6.36)$$

effektiv burovchi moment (N·m)

$$M_e = (3 \cdot 10^4 / \pi) (N_e / n) \quad (6.37)$$

yonilg'ining bir soatdagi sarfi (kg/soat)

$$G_{yo} = N_e g_e \quad (6.38)$$

porshenning o'rtacha tezligi (m/s)

$$v_{p.ur.} = S n / (3 \cdot 10^4) \quad (6.39)$$

#### 6.4. Dvigatel kuchlanganligi ko'rsatkichlari

Dvigatelning issiqlik va dinamik kuchlanganligini, ishchi hajm-dan foydalanishni baholash va turli dvigatellarni qiyoslash uchun litrli va porshenli quvvat kabi ko'rsatkichlardan foydalanishadi.

Dvigatelning *nominal quvvati* deyilganda ishning ma'lum sharoitlarida (atmosfera sharoitlari, valning aylanishlar chastotasi, ish davomiyligi va sh.k.) ishlab chiqaruvchi zavod kafolatlaydigan effektiv quvvat tushuniladi.

**Dvigatel litrli quvvati**  $N_{el}$  (kVt/l) deb nominal quvvatning ishchi hajm (litraj)ga bo'lgan nisbatga aytildi.

Ta'rifga muvofiq

$$N_{el} = N_e / (i V_h) = p_e n / (30 \tau), \quad (6.40)$$

ya'ni dvigatelning litrli quvvati o'rtacha effektiv bosim, taktlilik va valning aylanishlar chastotasiga bog'liq.

Agar (6.40) ifodaga  $r_e = p_i \eta_m$  ni qo'ysak, u holda (5.24) va (5.25) ifodalardan foydalanib, suyuq yonilg'ida ishlaydigan dvigatellar uchun

$$N_{\text{el}} = \frac{1}{30R_\mu} \frac{Hu p_k n}{M_1 T_k \tau} \eta_i \eta_v \eta_m \quad (6.41)$$

va gazli dvigatellar uchun

$$N_{\text{el}} = \frac{1}{30R_\mu} \frac{Hu' p_k n}{M_1' T_k \tau} \eta_i \eta_v \eta_m \quad (6.42)$$

ifodalarni olamiz.

(6.41) va (6.42) formulalarning tahlili ishchi jarayon alohida parametrlarining litrli quvvatga ta'sirini aniqlash va shu bilan dvigatelning berilgan geometrik o'chamlarida eng katta quvvatni olish uchun dvigatelni forsirovka qilish (kuchaytirish) yo'llarini belgilash imkonini beradi.

Dvigatelning **porshenli quvvati**  $N_{\text{ep}}$  ( $\text{kVt/dm}^2$  yoki  $\text{kVt/sm}^2$ ) deb nominal quvvatning dvigatel porshenlarining summar yuzasiga bo'lgan nisbatiga aytildi.

Ta'rifga muvofiq

$$N_{\text{ep}} = N_e / \left( i \frac{\pi D^2}{4} \right) = p_e S n / (30 \tau) \quad (6.43)$$

bu yerda  $D$  va  $S$  – mos ravishda porshen diametric va yo'li (dm).

(6.43) ifodaga porshen o'rtacha tezligini qo'yib, quyidagini olamiz

$$N_{\text{ep}} = 10 p_e v_{\text{p,ur.}} / \tau \quad (6.44)$$

(6.44) ifodadan shu narsa ko'rindiki, dvigatelning porshenli quvvati o'rtacha effektiv bosim, porshen o'rtacha tezligi bilan ifodalanadigan dvigatel tez yurarligi va taktlilikka bog'liq.

Agar (6.43) ifodaga  $r_e$  uchun formulani qo'ysak, dvigatel porshenli quvvatining ishchi jarayon parametrlariga bog'liqligini tavsiflovchi ifodani olamiz:

suyuq yonilg'ida ishlaydigan dvigatellar uchun

$$N_{\text{ep}} = \frac{1}{30R_\mu} \frac{Hu}{M_1} \frac{1}{\tau} \frac{p_k}{T_k} \eta_i \eta_v \eta_m n S \quad (6.45)$$

va gazli dvigatellar uchun

$$N_{\text{ep}} = \frac{1}{30R_\mu} \frac{Hu'}{M_1} \frac{1}{\tau} \frac{p_k}{T_k} \eta_i \eta_v \eta_m n S \quad (6.46)$$

Suyuq yonilg'ida ishlaydigan dvigatellar uchun  $M_1 = \alpha L_o$  deb qabul qilib va (6.41), (6.45) ifodalarda  $p_k/T_k = \rho_k R$  va  $L_o = l_o R / R_\mu = l_o / 28,95$  almashinislarni bajarib, quyidagilarni hosil qilamiz:

$$N_{\text{el}} = \frac{1}{30} \frac{Hu}{l_o} \frac{1}{\tau} \frac{\eta_i}{\alpha} \eta_v \eta_m \rho_k n \quad (6.47)$$

$$N_e = \frac{1}{30} \frac{Hu}{l_o} \frac{1}{\tau} \frac{\eta_i}{\alpha} \eta_v \eta_m \rho_k n S \quad (6.48)$$

---

## VII BOB. DVIGATELNING ISSIQLIK HISOBI VA ISSIQLIK BALANSI

### 7.1. Boshlang'ich parametrlarni tanlash

Issiqlik hisobi yangi loyihalanayotgan dvigatelning asosiy parametrlarini analitik usulda yetarli darajadagi aniqlikda aniqlash hamda real ishlayotgan dvigatelning haqiqiy sikli takomillashganlik darajasini tekshirish imkonini beradi.

**Quvvat va tirsakli valning aylanishlar chastotasi.** Dvigatel hisoblanayotganda nominal quvvat odatda beriladi yoki uni tortuv hisobi yordamida aniqlanadi.

Avtomobil va traktor dvigatellarida *nominal quvvat* tirsakli valning nominal aylanishlar chastotasidagi maksimal quvvatga teng bo'ladi. Nominal quvvatni tanlash dvigatel vazifasi (yengil yoki yuk avtomobili, traktor uchun), uning turi (benzinli-karbyuratorli yoki yengil yonilg'i purkaladigan, gazli, dizel), ekspluatsiya sharoitlari va h.k. lar bilan aniqlanadi. Zamonaviy avtomobil va traktor dvigatellarining quvvati keng oraliqda (15–500 kVt) o'zgaradi.

Dvigatelning boshqa ahamiyatli parametri – *tirsakli valning aylanishlar chastotasidir*, u dvigatel turini va uning dinamik sifatlarini tavsiflaydi. Tirsakli val aylanishlar chastotasini oshirish dvigatel asosiy o'chamlarini va gabaritini ixchamlashtirish, uning massasini kamaytirish imkonini beradi. Lekin aylanishlar chastotasi ortishi bilan inertsiya kuchlari kattalashadi, silindr to'lishi yomonlashadi, yonish mahsulotlarining zaharliligi ortadi, dvigatel detallari va uzellarining yeyilishi tezlashadi va uning xizmat muddati qisqaradi.

Hozirgi paytda yengil avtomobillar tirsakli vallarining nominal aylanishlar chastotasi  $4000\text{--}7000 \text{ min}^{-1}$  oralig'ida va faqat ba'zi seriyali modellarniki  $7000 \text{ min}^{-1}$  dan ortadi. Yuk avtomobillariga o'rnatiladigan dizellar tirsakli vallarining aylanishlar chastotasi

2000–4000 min<sup>-1</sup>, traktor dizellariniki esa 1700–2500 min<sup>-1</sup> oralig‘ida joylashgan.

**Silindrlar soni va joylashishi.** Silindrlar soni va ularning joylashishi quvvat, dinamik va konstruktiv omillarga bog‘liq. Yevropada asosan, to‘rt va olti silindrli dvigatellar, Amerikada esa sakviz silindrli dvigatellar keng tarqalgan. Traktor dvigatellari odatda, to‘rt silindrli, kam hollarda olti silindrli va juda kam hollarda o‘n ikki silindrli bo‘ladi.

*Silindrlar soni* ortganda dvigatelni aylanishlar chastotasi bo‘yicha forsirovka qilish (kuchaytirish) imkoniyati ortadi, o‘t oldirish sifatlari yaxshilanadi va muvozanatlash osonlashadi. Lekin bunda mexanik yo‘qotishlar ko‘payadi va tejamkorlik ko‘rsatkichlari yomonlashadi.

Silindrlar sonini tanlash asosan dvigatel litrajiga bog‘liq. To‘rt silindrli benzinli dvigatelning litraji  $V_1$  odatda, 0,7–2,2 l va faqat ba‘zi modellarniki  $V_1 > 2,2$  bo‘ladi. To‘rt silindrli dizellarning litraji sezilarli darajada katta va o‘rtacha 4...8 l oralig‘ida bo‘ladi. Olti silindrli benzinli dvigatellarning litraji  $V_1 \approx 2,0\text{--}5,6$  l, dizel-larniki esa 20 litrgacha bo‘ladi.

Zamonaviy avtomobil va traktor dvigatellarining *silindrlari qator*, *V-simon yoki opozitiv* (qarama-qarshi) joylashadi. To‘rt silindrli qatorli dvigatellar eng ko‘p tarqalgan, ularni ekspluatsiya qilish oson va ishlab chiqarish arzon. Oxirgi yillarda avto-traktorsozlikda silindrлari *V-simon* joylashgan dvigatellar tobora ko‘proq qo‘llanmoqda. Qatorli dvigatellarga nisbatan ularning mexanik f.i.k. yuqori, gabariti ixcham, solishtirma-massaviy ko‘rsatkichlari yaxshi. *V-simon* dvigatellarning yuqori bikrligi tirsakli val aylanishlar chastotasini oshirish imkonini beradi.

**Silindr o‘lchamlari va porshen tezligi.** *Silindr o‘lchamlari* – silindr diametri va porshen yo‘li – dvigatelning asosiy konstruktiv parametrlaridir. Zamonaviy avtomobil va traktor dvigatellari silindrining diametri  $D$  (mm) 60–150 mm oralig‘ida va asosan dvigatel turi va vazifasiga bog‘liq:

Yengil avtomobillarning benzinli dvigatellari uchun .....	60–100
Yuk avtomobillari benzinli dvigatellari	

uchun .....	70–110
Traktor dizellari uchun .....	70–150
Avtomobil dizellari uchun .....	80–130

Porshen yo‘li bevosita *porshen tezligi* bilan bog‘langan bo‘lib, u odatda  $S/D$  nisbat bilan tavsiflanadi.  $S/D$  nisbat bo‘yicha qisqa yo‘lli ( $S/D < 1$ ) va uzun yo‘lli ( $S/D > 1$ ) dvigatellarni farqlashadi. Qisqa yo‘lli dvigatellarga o‘tilganda dvigatel balandligi va uning massasi kamayadi, indikator f.i.k. va to‘lish koeffitsiyenti ortadi, porshen tezligi va detallar yejilishi kamayadi. Lekin  $S/D$  nisbat kamayganda porshenga gazlar bosimi ortadi, aralashma hosil bo‘lishi sharoitlari yomonlashadi va dvigatelning gabarit uzunligi ortadi.

Zamonaviy benzinli dvigatellarda odatda  $S/D = 0,8–1,1$ , avtomobil dizellarida bu nisbat birga yaqin ( $S/D = 0,9–1,2$ ) bo‘ladi. Dizellarning ko‘aida  $S/D > 1$  bo‘ladi. Traktor dizellari uchun  $S/D = 1,1–1,3$ .

Porshen tezligi  $v_{p.o.r.}$  dvigatel tez yurarligi mezoni hisoblanadi. Porshen tezligi  $v_{p.o.r.}$  bo‘yicha dvigatellarni sekin yurar ( $v_{p.o.r.} < 6,5$  m/s) va tez yurar ( $v_{p.o.r.} > 6,5$  m/s) larga ajratiladi. Hamma avtomobil dvigatellari va deyarli hamma traktor dvigatellari tez yurar hisoblanadi, chunki ularda  $v_{p.o.r.} > 6,5$  m/s bo‘ladi.

Porshen tezligi ortishi bilan dvigateldagi mexanik yo‘qotishlar ko‘payadi, detallarning issiqlik kuchlanganligi ortadi, dvigateling xizmat muddati qisqaradi. Shu sababli porshen o‘rtacha tezligini orttirish detallar xizmat muddatini uzaytirish, sifatliroq materiallarni qo‘llash va foydalanimadigan moy sifatini yaxshilash masalalariga bog‘liq.

Zamonaviy avtomobil va traktor dvigatellarida porshen tezligi  $v_{p.o.r.}$  (m/s):

Engil avtomobilarning benzinli dvigatellari uchun .....	12–20
Yuk avtomobilari benzinli dvigatellari uchun .....	9–16
Avtomobil gazli dvigatellar uchun .....	7–14
Traktor dizellari uchun .....	6–11

**Siqish darajasi.** *Siqish darajasi* – dvigatelning asosiy xarakteristikalaridan biridir. U birinchi navbatda aralashma hosil

qilish usuli va yonilg‘i turi bo‘yicha tanlanadi. Bundan tashqari siqish darajasini tanlashda nadduv mavjudligi yoki mavjud emasligi, dvigatel tez yurarligi. Sovitish tizimi va boshqa omillar ham hisobga olinadi.

Benzinli dvigatellar uchun siqish darajasini tanlash birinchi navbatda yonilg‘ining detonatsion chidamliligi bilan aniqlanadi. Yonilg‘ining muayyan navida siqish darajasini quyidagilar hisobiga oshirish mumkin:

- yonish kamerasining ratsional shaklini tanlash va svechani ratsional joylashtirish (svechani yonish kamerasi devorlaridan teng uzoqlikda joylashtirish);
- silindr o‘lchamlarini ixchamlashtirish (silindr diametrini kaitnaytirish alanga yo‘lining qisqartirishi va sovitiladigan nisbiy yuzaning kattalashishi hisobiga  $\varepsilon$  ni orttirish imkonini beradi);
- tirsakli val aylanishlar chastotasini orttirish ( $p$  ortganda  $\varepsilon$  ni asosan yonish tezligining ortishi hisobiga orttirish mumkin);
- porshen va silindrlar kallagi materialini tanlash (cho‘yan o‘rniga alyumin qotishmasidan tayyorlangan porshenni qo‘llash siqish darajasini 0,4–0,7 birlikka, silindrlar kallagini alyumin qotishmasidan tayyorlash esa  $\varepsilon$  ni yana 0,5–0,6 birlikka oshirish imkonini beradi);
- sovitish tizimini tanlash (suyuqlik bilan sovitish tizimi havo bilan sovitiladigan tizimga nisbatan kattaroq siqish darajasini qo‘llash imkonini beradi);
- kambag‘allashtirilgan ( $\alpha > 0,9$ ) yonuvchi aralashma qo‘llash.

Zamonaviy benzinli dvigatellarda siqish darajasi  $\varepsilon = 7\text{--}12$ . siqsh darajasini 12 dan orttirish aralashmaning o‘z-o‘zidan alangalanish imkoniyati va detonatsiyaning vujudga kelishi imkoniyati bilan cheklanadi. Bundan tashqari siqish darajasining 12 dan ortishida indikator f.i.k. ning ortishi deyarli sezilmaydi.

Dizellarda siqish darajasi siqish jarayonining oxirida purkalgan yonilg‘ining o‘z-o‘zidan alangalanishi uchun zarur bo‘lgan haroratni ta’minlashi kerak. Nadduvlsiz dvigatellarda siqish darajasi 14 dan, nadduvli dizellarda esa 14 dan kam bo‘lmaydi.

Dizellarda siqish darajasi birinchi navbatda yonish kamera-sining shakli va aralashma hosil qilish usuli bo'yicha tanlanadi. Ushbu parametrlarga bog'liq holda dizellarning siqish darajasi quyidagi oraliqlarda bo'ladi:

hajmiy aralashma hosil bo'ladigan, yonish kamerasi	
ajratilmagan dizellar uchun .....	16 – 23
uyurma kamerali dizellar uchun .....	16 – 21
old kamerali dizellar uchun .....	17 – 22
turbonadduvli dizellar uchun	
va undan yuqori. ....	20 – 25

## 7.2. Karbyuratorli dvigatel va yonilg'i taqsimlanib purkaladigan dvigatel issiqlik hisobi

Yengil avtomobillar uchun mo'ljallangan to'rt taktli karbyuratorli dvigatel va yonilg'i taqsimlanib purkaladigan, ta'minlash va o't oldirish tizimlari elektron boshqariladigan dvigatel hisoblansin. Karbyuratorli dvigatelning effektiv quvvati tirsakli valning  $p=5600 \text{ min}^{-1}$  aylanishlar chastotasida  $N_e = 60 \text{ kVt}$ , yonilg'i purkaladigan dvigatelniki esa  $p=7000 \text{ min}^{-1}$  da  $N_e = 110 \text{ kVt}$ .

Dvigatellar to'rt silindrli  $i=4$ , silindrlar qatorli joylashgan. Sovitish tizimi – suyuqli, yopiq turda. Siqish darajasi karbyuratorli dvigatel uchun  $\varepsilon = 8,5$  va yonilg'i purkaladigan dvigatel uchun  $\varepsilon = 11$ .

### 7.2.1. Issiqlik hisobi

Bir necha tezlik rejimlari uchun issiqlik hisobi bajarilayotganda odatda 3–4 asosiy rejimlar tanlanadi.

Benzinli dvigatel uchun bunday rejimlar:

- 1) dvigatelning minimal barqaror ishini ta'minlovchi minimal aylanishlar chastotasi rejimi  $n_{\min} = 600\text{--}1000 \text{ min}^{-1}$ ;
- 2)  $n_M = (0,4\text{--}0,6) n_N$  da maksimal burovchi moment rejimi;
- 3)  $n_N$  da maksimal (nominal) quvvat rejimi;
- 4)  $n_{\max} = (1,05\text{--}1,20) n_N$  da avtomobil maksimal tezlikda harakatlanish rejimi.

Issiqlik hisobini berilgan topshiriq ( $n_N=5600 \text{ min}^{-1}$  va  $n_N=7000 \text{ min}^{-1}$ ) va tavsiyalarni inobatga olgan holda quyidagi rejimlar uchun bajaramiz:

karbyuratorli dvigatel uchun  $p = 1000, 3200, 5600$  va  $6000 \text{ min}^{-1}$ ;

yonilg'i purkaladigan dvigatel uchun  $p = 900, 4000, 7000$  va  $8000 \text{ min}^{-1}$ .

**Yonilg'i.** Berilgan siqish darajalari  $\varepsilon = 8,5$  va  $\varepsilon = 11$  larga mos ravishda benzinning Premium-95 va AI-98 markalarini taylimiz.

Benzinning o'rtacha elementar tarkibi va molekulyar massasi  $S = 0,855$ ;  $N = 0,145$  va  $t_{yo} = 115 \text{ kg/kmol}$ .

Yonilg'ining quyi yonish issiqligi

$$\begin{aligned} Hu &= 33,91S + 125,60N - 10,89(O - S) - 2,51(9N + W) = \\ &= 33,91 \cdot 0,855 + 125,60 \cdot 0,145 - 2,51 \cdot 9 \cdot 0,145 = 43,93 \text{ MDj/kg} = \\ &= 43930 \text{ kDj/kg}. \end{aligned}$$

### Ishchi jism parametrlari.

1 kg yonilg'i yonishi uchun havoning nazariy zarur bo'lgan miqdori

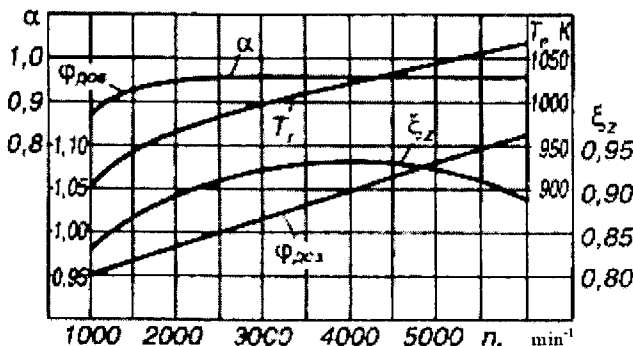
$$L_0 = \frac{1}{0,208} \left( \frac{C}{12} + \frac{H}{4} - \frac{O}{32} \right) = \frac{1}{0,208} \left( \frac{0,855}{12} + \frac{0,145}{4} \right) = 0,516 \frac{\text{kmol havo}}{\text{kg yonilg'i}};$$

$$l_0 = \frac{1}{0,23} \left( \frac{8}{3} C + 8H - O \right) = \frac{1}{0,23} \left( \frac{8}{3} \cdot 0,855 + 8 \cdot 0,145 \right) = 14,957 \frac{\text{kg havo}}{\text{kg yonilg'i}}.$$

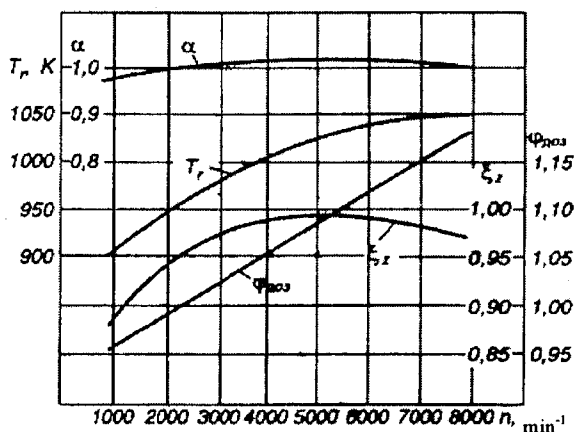
Havo ortiqligi koeffitsiyenti quyidagi mulohazalar asosida tanlanadi. Zamonaviy dvigatellarda tezlik xarakteristikasi bo'yicha aralashmaning deyarli ideal tarkibini olishni ta'minlovchi ko'p kamerali karbyuratorlar o'rnatiladi. Hisoblanayotgan dvigatel uchun boyituvchi tizimli va salt ishi tizimli ikki kamerali karbyuratorni qo'llash mos rostlanganda aralashmaning ham quvvatli va ham tejamli tarkibini olish imkonini beradi. Yetarli darajada tejamli va yonish mahsulotlarining zaharliligi kam bo'lgan dvigateli olishga intilish, bunga  $\alpha \approx 0,95-0,98$  da

erishiladi, asosiy rejimlarda  $\alpha = 0,96$  va aylanishlarning minimal chastotasi rejimida  $\alpha = 0,86$  ni tanlash imkonini beradi (7.1-rasm).

Yonilg'i purkaladigan va elektron boshqariladigan dvigatellar aralashmaning yanada tejamliroq tarkibini va yonish mahsulotlarining yanada kamroq zaharliligini ta'minlashi mumkin. Bu asosiy rejimlarda  $\alpha=1,0$ , aylanishlarning minimal chastotasi rejimida  $\alpha = 0,96$  va maksimal tezlikda harakatlanish rejimida  $\alpha = 0,98$  ni qabul qilish imkonini beradi (7.2-rasm).



7.1-rasm. Karbyuratorli dvigatelning issiqlik hisobini bajarish uchun boshlang'ich parametrlar.



7.2-rasm. Yonilg'i purkaladigan dvigatelning issiqlik hisobini bajarish uchun boshlang'ich parametrlar.

Bevosita raqamli hisobni faqat maksimal quvvat rejimi uchun olib boramiz, boshqa rejimlar uchun esa hisoblanadigan parametrlarning natijaviy qiymatlarini jadval shaklida keltiramiz.

Yonuvchi aralashma miqdori  $M_1 = \alpha L_0 + 1/m$ :  
karbyuratorli dvigatel uchun;

$$M_1 = 0,96 \cdot 0,516 + 1/115 = 0,5041 \frac{\text{kmol yon. aral.}}{\text{kg yonilg'i}},$$

yonilg'i purkaladigan dvigatel uchun

$$M_1 = 1,0 \cdot 0,516 + 1/115 = 0,5247 \frac{\text{kmol yon. aral.}}{\text{kg yonilg'i}}.$$

$k = 0,5$  va qabul qilingan tezlik rejimlarida yonish mahsulotlari alohida komponentlarining miqdori:

karbyuratorli dvigatel uchun

$$M_{CO_2} = \frac{C}{12} + 2 \frac{1-\alpha}{1+k} 0,208L_0 = \frac{0,855}{12} - 2 \frac{1-0,96}{1+0,5} 0,208 \cdot 0,516 = 0,0655 \frac{\text{kmol CO}_2}{\text{kg yonilg'i}},$$

$$M_{CO} = 2 \frac{1-0,96}{1+0,5} 0,208 \cdot 0,516 = 0,0057 \frac{\text{kmol CO}}{\text{kg yonilg'i}},$$

$$\begin{aligned} M_{H_2O} &= \frac{H}{2} - 2k \frac{1-\alpha}{1+k} 0,208L_0 = \frac{145}{2} - \\ &- 2 \cdot 0,5 \frac{1-0,96}{1+0,5} 0,208 \cdot 0,516 = 0,0029 \frac{\text{kmol H}_2\text{O}}{\text{kg yonilg'i}}, \end{aligned}$$

$$M_{H_2} = 2k \frac{1-\alpha}{1+k} 0,208L_0 = 2 \cdot 0,5 \frac{1-0,96}{1+0,5} 0,208 \cdot 0,516 = 0,0029 \frac{\text{kmol H}_2}{\text{kg yonilg'i}},$$

$$M_{N_2} = 0,792 \alpha L_0 = 0,792 \cdot 0,96 \cdot 0,516 = 0,3923 \frac{\text{kmol N}_2}{\text{kg yonilg'i}};$$

yonilg'i purkaladigan dvigatel uchun:

$$M_{CO_2} = \frac{0,855}{12} = 0,0712; \quad M_{CO} = 0; \quad M_{H_2O} = \frac{H}{2} = \frac{0,145}{2} = 0,0725 \frac{\text{kmol H}_2\text{O}}{\text{kg yonilg'i}},$$

$$M_{H_2} = 0; \quad M_{N_2} = 0,792 \cdot 1 \cdot 0,516 = 0,4087 \frac{\text{kmol N}_2}{\text{kg yonilg'i}}.$$

Yonish mahsulotlarining umumiy miqdori:

karbyuratorli dvigatel uchun

$$\begin{aligned} M_2 &= M_{CO_2} + M_{CO} + M_{H_2O} + M_{H_2} + M_{N_2} = \\ &= 0,0655 + 0,0057 + 0,0696 + 0,0029 + 0,3923 = 0,5360 \frac{\text{kmol yon. maxs.}}{\text{kg yonilg'i}} \end{aligned}$$

yonilg'i purkaladigan dvigatel uchun

$$M_2 = 0,0712 + 0,0725 + 0,792 \cdot 1 \cdot 0,516 = 0,5524 \frac{\text{kmol yon.maxs.}}{\text{kg yonilg'i}}.$$

### Atrof-muhit parametrlari va qoldiq gazlar

Nadduv siz dvigatellar ishida atrof-muhit harorati va bosimi  $T_k = T_0 = 272 \text{ K}$  va  $p_k = p_0 = 0,1 \text{ MPa}$ .

Qoldiq gazlar harorati. Siqish darajasining doimiy  $\varepsilon=8,5$  va  $\varepsilon=11$  qiymatlarida qoldiq gazlar harorati  $\alpha = \text{const}$  bo'lganda val aylanishlar chastotasi ortishi bilan deyarli chiziqli ortadi, lekin aralashma boyiganda kamayadi. Belgilangan  $n$  va  $\alpha$  qiymatlari bo'yicha  $T_r$  qiymatlarini karbyuratorli dvigatelning hisoblanayotgan rejimlari uchun 7.1-rasm, yonilg'i purkaladigan dvigatel uchun 7.2-rasm bo'yicha qabul qilish mumkin. Nominal rejimlarda karbyuratorli dvigatel uchun  $T_r = 1060 \text{ K}$  va yonilg'i purkaladigan dvigatel uchun  $T_r = 1040 \text{ K}$  qabul qilamiz.

7.1-jadval

Parametr-lar	Ishchi jism							
	Karbyuratorli dvigatel				Yonilg'i purkaladigan dvigatel			
$n$	1000	3200	5600	6000	900	4000	7000	80000
$\alpha$	0,86	0,96	0,96	0,96	0,96	1,0	1,0	0,98
$M_1$	0,4525	0,5041	0,5041	,5041	0,5041	0,5247	0,5247	0,5144
$MCO_2$	0,0512	0,0655	0,0655	0,0655	0,0655	0,0712	0,0712	0,0683
$MCO$	0,0200	0,0057	0,0057	0,0057	0,0057	0	0	0,0029
$MH_2O$	0,0625	0,0696	0,0696	0,0696	0,0696	0,0725	0,0725	0,0711
$MH_2$	0,0100	0,0029	0,029	0,0029	0,0029	0	0	0,0014
$MN_2$	0,3515	0,3923	0,3923	0,3923	0,3923	0,4087	0,4087	0,4005
$M_2$	0,4952	0,5360	0,5360	0,5360	0,5360	0,5524	0,5524	0,5412

Hisoblanayotgan dvigatellarning chiqarish traktlarini konstruktiv shakllantirishda qarshiliklari kamaytirish va gaz taqsimlash fazalarini kengaytirish hisobiga qoldiq gazlar bosimi  $p_r$  ni valning nominal aylanishlar chastotasi rejimida:

karbyuratorli dvigatel uchun  $p_{rN} = 1,18 p_0 = 1,18 \cdot 0,1 = 0,118$

MPa;

yonilg'i purkaladigan dvigatel uchun  $p_{rN} = 0,110$  MPa deb qabul qilamiz.

U holda dvigatel ishining boshqa rejimlari uchun qoldiq gazlar bosimini quyidagi formula bo'yicha hisoblash mumkin:

$$p_r = p_0 (1,035 + A_p \cdot 10^{-8} \cdot n^2) \quad (7.1)$$

bu yerda  $A_p = (p_{rN} - p_0 \cdot 1,035) \cdot 10^{-8} / (n_N^2 p_0)$ .

$$n_N = 5600 \text{ min}^{-1} \text{ da}$$

$$A_p = (0,118 - 0,1 \cdot 1,035) \cdot 10^{-8} / (5600^2 \cdot 0,1) = 0,4624.$$

$$n_N = 7000 \text{ min}^{-1} \text{ da}$$

$$A_p = (0,110 - 0,1 \cdot 1,035) \cdot 10^{-8} / (7000^2 \cdot 0,1) = 0,1327.$$

**Kiritish jarayoni.** Yangi zaryad qizishi harorati. Nominal tezlik rejimlarida dvigatellarning yangi zaryad bilan yaxshi to'lishini ta'minlash maqsadida karbyuratorli dvigatel uchun  $\Delta T_N = 8^\circ\text{C}$  va yonilg'i purkaladigan dvigatel uchun  $\Delta T_N = 6^\circ\text{C}$  qabul qilishi shadi.

U holda qolgan rejimlar uchun  $\Delta T$  qiymatlari quyidagi formula bo'yicha hisoblanadi:

$$\Delta T = A_T (110 - 0,0125n) \quad (7.2)$$

bu yerda  $A_T = \Delta T_N / (110 - 0,0125n_N)$ .

Kirishda zaryad zichligi

$$\rho_0 = p_0 \cdot 10^6 / (R_x T_0) = 0,1 \cdot 10^6 / (287 \cdot 293) = 1,189 \text{ kg/m}^3$$

bu yerda  $R_x = 287 \text{ Dj/(kg grad)}$  – havo uchun solishtirma gaz doimiysi.

Kiritishda bosim yo'qotilishi, tezlik rejimlariga mos ravishda ( $p = 5600 \text{ min}^{-1}$  va  $p = 7000 \text{ min}^{-1}$ ) va kiritish tizimi ichki sirtlariga sifatli ishlov berilishini hisobga olib, quyidagilarni qabul qilish mumkin:

karbyuratorli dvigatel uchun  $\beta^2 + \xi_{kir} = 2,8$  va  $W_{kir} = 95 \text{ m/s}$ ;

yonilg'i purkaladigan dvigatel uchun (unda karbyurator bo'l-maganligi tufayli kirishidagi qarshilik kichikroq bo'ladi)  $\beta^2 + \xi_{kir} = 2,5$  va  $W_{kir} = 95 \text{ m/s}$ .

U holda  $\Delta r_a$  dvigatelning hamma tezlik rejimlari uchun ushbu formula bo'yicha hisoblanadi:

$$\Delta p_a = (\beta^2 + \xi_{\text{kir}}) A_n^2 n^2 \rho_k 10^{-6} / 2 \quad (7.3)$$

bu,  $A_p = W_{\text{kir}}/n_N$ .

Karbyuratorli dvigatel kirishida  $p = 5600 \text{ min}^{-1}$ ,  $A_p = 95/5600 = 0,01696 \text{ MPa}$  bo'lganda bosim yo'qotilishi

$$\Delta p_a = 2,8 \cdot 0,01696^2 \cdot 5600^2 \cdot 1,189 \cdot 10^{-6} / 2 = 0,0150 \text{ MPa}$$

Yonilg'i purkaladigan dvigatel kirishida  $p = 7000 \text{ min}^{-1}$ ,  $A_p = 95/7000 = 0,01357 \text{ MPa}$  bo'lganda bosim yo'qotilishi

$$\Delta p_a = 2,5 \cdot 0,01357^2 \cdot 7000^2 \cdot 1,189 \cdot 10^{-6} / 2 = 0,0134 \text{ MPa}$$

Kiritish oxirida bosim:

$p = 5600 \text{ min}^{-1}$  da karbyuratorli dvigatelda

$$p_a = p_0 - \Delta p_a = 0,1 - 0,0150 = 0,0850 \text{ MPa}$$

$p = 7000 \text{ min}^{-1}$  da yonilg'i purkaladigan dvigatelda

$$p_a = p_0 - \Delta p_a = 0,1 - 0,0134 = 0,0866 \text{ MPa}$$

Qoldiq gazlar koeffitsiyenti. Nadduvvusiz karbyuratorli dvigatel uchun  $\gamma_r$  ni aniqlashda tozalash koeffitsiyenti  $\varphi_{\text{doz}}=1$ , nominal tezlik rejimida esa dozaryadka koeffitsiyentini  $\varphi_{\text{doz}}=1,10$  deb qabul qilishadi, bunga kiritish klapani yopilishi kechikishi burchagini  $30-60^\circ$  oralig'ida tanlanganda erishish mumkin. Bunda minimal tezlik rejimi ( $p = 1000 \text{ min}^{-1}$ )da qayta chiqarish 5% oralig'ida, ya'ni  $\varphi_{\text{doz}}=0,95$  bo'ladi. Qolgan rejimlarda  $\varphi_{\text{doz}}$  qiymatlarini,  $\varphi_{\text{doz}}$  tezlik rejimiga chiziqli bog'langan (7.1-rasmga qarang) deb qabul qilib, aniqlash mumkin.

U holda  $p = 5600 \text{ min}^{-1}$  da

$$\gamma_r = \frac{T_0 + \Delta T}{T_r} \frac{\varphi_{\text{doz}} p_r}{\varepsilon \varphi_{\text{doz}} p_a - \varphi_{\text{doz}} p_r} = \frac{293 + 8}{1060} \frac{0,118}{8,5 \cdot 1,1 \cdot 0,085 - 0,118} = 0,0495$$

Yonilg'i purkaladigan va elektron boshqariladigan dvigatel uchun nominal aylanishlar chastotasi  $n_N$  da  $\varphi_{\text{doz}}$ ,  $n_{\text{min}}$  da esa  $\varphi_{\text{doz}}=0,96$  deb qabul qilish mumkin. Qolgan hisoblanayotgan rejimlar uchun  $\varphi_{\text{doz}}$  7.2-rasmidan aniqlanadi.

U holda  $p = 7000 \text{ min}^{-1}$  da

$$\gamma_r = \frac{293 + 6}{1040} \frac{0,1100}{(11 \cdot 1,145 \cdot 0,0866 - 0,1100)} = 0,0325$$

Kiritish oxirida harorat:  
karbyuratorli dvigatelda

$$T_a = (T_0 + \Delta T + \gamma_r T_r) / (1 + \gamma_r) = (293 + 8 + 0,0495 \cdot 1060) / (1 + 0,0495) = 337 \text{ K}$$

yonilg'i purkaladigan dvigatelda

$$T_a = (293 + 6 + 0,0325 \cdot 1040) / (1 + 0,0235) = 322 \text{ K}.$$

7.2-jadval

Parametrlar	Kiritish va gaz almashinish jarayoni							
	Karbyuratorli dvigatel				Yonilg'i purkaladigan dvigatel			
$n$	1000	3200	5600	6000	900	4000	7000	8000
$\alpha$	0,86	0,96	0,96	0,96	0,96	1,0	1,0	0,98
$T_r$	900	1000	1060	1070	900	1000	1040	1045
$p_r$	0,1040	0,1082	0,1180	0,1201	0,1036	0,1056	0,1100	0,1120
$\Delta T$	19,5	14,0	8,0	7,0	26,3	16,0	6,0	2,7
$\Delta p_a$	0,0005	0,0049	0,0150	0,0172	0,0002	0,0044	0,0134	0,0175
$p_a$	0,0995	0,0951	0,0850	0,0828	0,0998	0,0956	0,0866	0,0825
$\varphi_{doz}$	0,950	1,025	1,100	1,110	0,960	1,055	1,145	1,176
$\gamma_r$	0,0516	0,0461	0,0495	0,0509	0,0387	0,0325	0,0325	0,0332
$T_a$	341	338	337	337	341	331	322	320
$\eta_v$	0,8744	0,9167	0,8784	0,8609	0,8720	0,9519	0,9610	0,9465

To'lish koeffitsiyenti:  
karbyuratorli dvigatel uchun

$$\eta_v = \frac{T_0}{T_0 + \Delta T} \cdot \frac{1}{\varepsilon - 1} \cdot \frac{1}{p_0} (\varphi_{doz} \varphi p_a - \varphi_{toz} p_r) =$$

$$= \frac{293}{293 + 8} \cdot \frac{1}{8,5 - 1} \cdot \frac{1}{0,1} (1,1 \cdot 8,5 \cdot 0,085 - 1 \cdot 0,118) = 0,8784$$

yonilg'i purkaladigan dvigatel uchun

$$\eta_v = \frac{293}{293 + 6} \cdot \frac{1}{11 - 1} \cdot \frac{1}{0,1} (1,145 \cdot 11 \cdot 0,0866 - 1 \cdot 0,11) = 0,9610$$

**Siqish jarayoni.** Siqish adiabatasining o'rtacha ko'rsatkichi  $k_1$  ( $\varepsilon=8,5$  va  $\varepsilon=11$  hamda  $T_a$  ning hisoblab aniqlangan qiymatlarida) nomogramma bo'yicha topiladi (4.20-rasmga qarang), siqish politropasining o'rtacha ko'rsatkichi  $p_1$  esa  $k_1$  dan biroz kichikroq olinadi. Valning aylanishlar chastotasi kamayganda gazlardan silindr devorlariga issiqlik uzatilishi ko'payadi, shu sababli bunda  $p_1 k_1$  ga nisbatan sezilarliroq darajada kamayadi:

karbyuratorli dvigatel uchun  $p_N = 5600 \text{ min}^{-1}$ ,  $T_a=337 \text{ K}$  va  $\varepsilon=8,5$  da siqish adiabatasi ko'rsatkichi  $k_1=1,3772$  (4.20-rasm);

yonilg'i purkaladigan dvigatel uchun  $p_N = 7000 \text{ min}^{-1}$ ,  $T_a=322 \text{ K}$  va  $\varepsilon=11$  da siqish adiabatasi ko'rsatkichi  $k_1=1,3763$ .

Siqish oxirida bosim:

karbyuratorli dvigatel uchun  $p_N = 5600 \text{ min}^{-1}$  da

$$p_c = p_a \cdot \varepsilon^{n_1} = 0,085 \cdot 8,5^{1,377} = 1,6184 \text{ MPa}$$

bu erda  $p_1=1,377$   $k_1=1,3775$  dan biroz kichikroq olingan;

yonilg'i purkaladigan dvigatel uchun  $p_N = 70000 \text{ min}^{-1}$  da

$$p_c = 0,0866 \cdot 11^{1,376} = 2,3468 \text{ MPa}$$

bu erda  $p_1=1,376$  qabul qilindi.

Siqish oxirida harorat:

karbyuratorli dvigatel uchun

$$T_c = T_a \varepsilon^{n_1-1} = 337 \cdot 8,5^{1,377-1} = 755 \text{ K};$$

yonilg'i purkaladigan dvigatel uchun  $T_c = 322 \cdot 11^{1,376-1} = 793 \text{ K}$ .

Siqish oxirida o'rtacha mol issiqlik sig'imi:

a) yangi zaryad (havo)niki –  $(mc_v)_{t_0}^c = 20,6 + 2,638 \cdot 10^{-3} t_c$ , bu yerda  $t_c=T_c-273 \text{ }^{\circ}\text{C}$ ;

karbyuratorli dvigatel uchun

$$(mc_v)_{t_0}^c = 20,6 + 2,638 \cdot 10^{-3} \cdot 482 = 21,872 \text{ kDj/(kmol \cdot grad)};$$

yonilg'i purkaladigan dvigatel uchun

$$(mc_v)_{t_0}^c = 20,6 + 2,638 \cdot 10^{-3} \cdot 520 = 21,972 \text{ kDj/(kmol \cdot grad)};$$

b) qoldiq gazlarniki  $(mc_v)_{t_0}^c = 3,5$ -jadvaldan interpolatsiya metodi bilan aniqlanadi:

karbyuratorli dvigatel uchun  $p_N = 5600 \text{ min}^{-1}$ ,  $\alpha=0,96$  va  $t_c=482 \text{ }^{\circ}\text{S}$  da

$$(mc_v)_{t_0}^{400} = 23,586 + (23,712 - 23,586) \frac{0,01}{0,05} = 23,611$$

bu erda 23,586 va 23,712 – 400  $^{\circ}\text{S}$  da mos ravishda  $\alpha=0,95$  va  $\alpha=1,00$  da 3,5-jadvaldan olingan yonish mahsulotlari issiqlik sig'iminining qiymatlari;

$$(mc_v)_{t_0}^{500} = 24,014 + (24,150 - 24,014) \frac{0,01}{0,05} = 24,041$$

bu erda  $24,014$  va  $24,150 - 500$  °S da mosravishda  $\alpha=0,95$  va  $\alpha=1,00$  da 3.5-jadvaldan olingan yonish mahsulotlari issiqlik sig‘imining qiymatlari.

Yonish mahsulotlarining  $t_c=482$  °S da va  $\alpha=0,96$  dagi issiqlik sig‘imi

$$(mc_v)_{t_0}^c = 23,611 + (24,041 - 23,611) \frac{82}{100} = 23,964 \text{ kDj/(kmol · grad)}$$

Yonilg‘i purkaladigan dvigatel uchun  $p_N = 7000 \text{ min}^{-1}$ ,  $\alpha=1,0$  va  $t_c=520$  °S da yonish mahsulotlarining issiqlik sig‘imi

$$(mc_v)_{t_0}^c = 24,150 + (24,586 - 24,150) \frac{20}{100} = 24,237 \text{ kDj/(kmol · grad)}$$

v) ishchi aralashmaniki  $(mc_v)_{t_0}^c = \frac{1}{1 + \gamma_r} [(mc_v)_{t_0}^c + \gamma_r (mc_v)_{t_0}^c]$ :

karbyuratorli dvigatel uchun

$$(mc_v)_{t_0}^c = \frac{1}{1 + 0,0495} [21,872 + 0,0495 \cdot 23,964] = \\ = 21,971 \text{ kDj/(kmol · grad)}$$

yonilg‘i purkaladigan dvigatel uchun

$$(mc_v)_{t_0}^c = \frac{1}{1 + 0,0325} [21,972 + 0,0325 \cdot 24,237] = \\ = 22,044 \text{ kDj/(kmol · grad)}$$

### 7.3-jadval

Para-metrlar	Si q i sh j a r a y o n i							
	Karbyuratorli dvigatel				Yonilg‘i purkaladigan dvigatel			
$n$	1000	3200	5600	6000	900	4000	7000	8000
$k_1$	1,3768	1,3774	1,3775	1,3775	1,3738	1,3752	1,3763	1,3766
$n_1$	1,3700	1,3760	1,3770	1,3770	1,3670	1,3750	1,3760	1,3760
$p_e$	1,8666	1,8072	1,6184	1,5765	2,6447	2,5844	2,3468	2,2357
$T_c$	753	756	755	755	822	813	793	788
$t_c$	480	483	482	482	549	540	520	515
$(mc_v)_{t_0}^c$	21,866	21,874	21,872	21,872	22,048	22,025	21,972	21,959
$(mc_v)_{t_0}^c$	23,658	23,968	23,964	23,964	21,212	24,324	24,237	24,146
$(mc_v)_{t_0}^c$	21,954	21,966	21,971	21,973	22,129	22,097	22,043	22,029

**Yonish jarayoni.** Yonuvchi aralashma  $\mu_0 = M_2/M_1$  va ishchi aralashma  $\mu = (\mu_0 + \gamma_r)/(1 + \gamma_r)$  molekula o'zgarishi koefitsieyntlari:

karbyuratorli dvigatel uchun  $p_N = 5600 \text{ min}^{-1}$  da

$$\mu_0 = 0,5360 / 0,5041 = 1,0633$$

va

$$\mu = (1,0633 + 0,0495) / (1 + 0,0495) = 1,0603$$

Yonilg'i purkaladigan dvigatel uchun  $p_N = 7000 \text{ min}^{-1}$  da

$$\mu_0 = 0,5524 / 0,5247 = 1,0528$$

va

$$\mu = (1,0528 + 0,0325) / (1 + 0,0325) = 1,0511$$

Kimyoviy noto'liq yonish natijasida yo'qotiladigan issiqlik miqdori va ishchi aralashmaning yonish issiqligi

$$\Delta Hu = 119950(1 - \alpha) L_0 \quad \text{va} \quad Hu_{\text{ishchi aral.}} = \frac{Hu - \Delta Hu}{M_1(1 + \gamma_r)}$$

Karbyuratorli dvigatel uchun  $p_N = 5600 \text{ min}^{-1}$  da

$$\Delta Hu = 119950(1 - 0,96) \cdot 0,516 = 2476 \text{ kDj/kg}$$

$$Hu_{\text{ishchi aral.}} = \frac{43930 - 2476}{0,5041(1 + 0,0495)} = 78355 \text{ kDj/kmol ishchi aral.}$$

Yonilg'i purkaladigan dvigatel uchun  $p_N = 7000 \text{ min}^{-1}$  da

$$\Delta Hu = 119950(1 - 1) = 0$$

$$Hu_{\text{ishchi aral.}} = \frac{43930}{0,5247(1 + 0,0325)} = 81089 \text{ kDj/kmol ishchi aral.}$$

Yonish mahsulotlarining o'rtacha mol issiqlik sig'imi

$$(mc_v)_{t_0}^{\ddagger} = \frac{1}{M_2} \left[ M_{CO_2} (mc_{vCO_2})_{t_0}^{\ddagger} + M_{CO} (mc_{vCO})_{t_0}^{\ddagger} + M_{H_2O} (mc_{vH_2O})_{t_0}^{\ddagger} + M_{H_2} (mc_{vH_2})_{t_0}^{\ddagger} + M_{N_2} (mc_{vN_2})_{t_0}^{\ddagger} \right]$$

1501 dan 2800°C gacha bo'lgan haroratlar intervalida 3.3-jadvalda keltirilgan empirik formulalar bo'yicha hisoblanadi.

Karbyuratorli dvigatel uchun

$$\begin{aligned}
\left(\frac{mc_v}{t_0}\right)_c^e &= (1/0,536) \cdot [0,0655 \cdot (39,123 + 0,003349 t_z) + \\
&+ 0,0057 \cdot (22,49 + 0,00143 t_z) + 0,0696 \cdot (26,67 + 0,004438 t_z) + \\
&+ 0,0029 \cdot (19,678 + 0,001758 t_z) + 0,3923 \cdot (21,951 + 0,001457 t_z)] = \\
&= 24,656 + 0,002077 t_z \text{ kDj/(kmol} \cdot \text{grad)}
\end{aligned}$$

Yonilg'i purkaladigan dvigatel uchun

$$\begin{aligned}
\left(\frac{mc_v}{t_0}\right)_c^e &= (1/0,5524) \cdot [0,0712 \cdot (39,123 + 0,003349 t_z) + \\
&+ 0,0725 \cdot (26,67 + 0,004438 t_z) + 0,4087 \cdot (21,951 + 0,001457 t_z)] = \\
&= 24,784 + 0,002091 t_z \text{ kDj/(kmol} \cdot \text{grad)}
\end{aligned}$$

**Issiqlikdan foydalanish koefitsiyenti**  $\xi_z$  aralashmani hosil qilish va yonilg'i yonish jarayonlarini tashkil qilishning takomilligiga bog'liq. Silindr devorlariga issiqlik uzatilishi (yo'qotilishi) va silindr bilan porshen orasidagi tirqishdan gazlar oqib ketishi kamayganda  $\xi_z$  ortadi. Tezlik rejimi kattalashganda  $\xi_z$  kamayadi. Dvigatel issiqlik hisobini bajarishda  $\xi_z$  ning dvigatel tezlik rejimidan etarli darajada real bog'liqligi grafiklari keltirilgan. 5.1- va 5.2-rasmlarda  $\xi_z$  ning dvigatel tezlik 0,91- va 0,986 da issiqlikdan foydalanish koefitsiyenti  $\xi_z = 0,91$ , yonilg'i purkaladigan dvigatel uchun esa  $p_N = 7000 \text{ min}^{-1}$  da  $\xi_z = 0,986$  qabul qilamiz. Hamma hisobiy rejimlar uchun ham  $\xi_z$  qiymatlarini shu rasmlardan aniqlaymiz.

Asosiy yonish jarayoni oxirida harorat

$$\xi_z H_{u_{ishchi aral.}} + \left(\frac{mc_v}{t_0}\right)_c^e t_c = \mu \left(\frac{mc_v}{t_0}\right)_c^e t_z;$$

Karbyuratorli dvigatel uchun  $p_N = 5600 \text{ min}^{-1}$  da

$$0,91 \cdot 78355 + 21,971 \cdot 482 = 1,0603 \cdot (24,656 + 0,002077 t_z) \cdot t_z,$$

yoki

$$0,002202 t_z^2 + 26,143 t_z - 81893 = 0,$$

bu yerdan,

$$t_z = \left( -26,143 + \sqrt{26,143^2 + 4 \cdot 0,002202 \cdot 81893} \right) / (2 \cdot 0,002202) = 2575 \text{ } ^\circ\text{C};$$

$$T_z = t_z + 273 = 2575 + 273 = 2848 \text{ K}$$

Yonilg'i purkaladigan dvigatel uchun  $p_N = 7000 \text{ min}^{-1}$  da

$0,986 \cdot 81089 + 22,043 \cdot 520 = 1,0511 \cdot (24,784 + 0,002091 t_z) t_z$ ,  
yoki

$$0,002198 t_z^2 + 26,0505 t_z - 91416 = 0,$$

bu yerdan,

$$t_z = \left( -26,0505 + \sqrt{26,0505^2 + 4 \cdot 0,002198 \cdot 91416} \right) / (2 \cdot 0,0022198) = 2832 \text{ } ^\circ\text{C};$$

$$T_z = t_z + 273 = 2832 + 273 = 3105 \text{ K.}$$

Yonishning nazariy maksimal bosimi:

karbyuratorli dvigatel uchun

$$p_z = p_c \cdot \mu \cdot T_z / T_c = 1,6184 \cdot 1,0603 \cdot 2848 / 755 = 6,4730 \text{ MPa};$$

yonilg'i purkaladigan dvigatel uchun

$$p_z = 2,3468 \cdot 1,0511 \cdot 3105 / 793 = 9,6585 \text{ MPa.}$$

Yonishning haqiqiy maksimal bosimi:

karbyuratorli dvigatel uchun

$$p_{zh} = 0,85 \cdot p_z = 0,85 \cdot 6,473 = 5,5021 \text{ MPa};$$

yonilg'i purkaladigan dvigatel uchun

$$p_{zh} = 0,85 \cdot 9,6585 = 8,2097 \text{ MPa.}$$

Bosimning ortish darajasi:

karbyuratorli dvigatel uchun

$$\lambda = p_z / p_s = 6,4730 / 1,6184 = 4,000;$$

yonilg'i purkaladigan dvigatel uchun

$$\lambda = 9,6585 / 2,3468 = 4,116.$$

**Kengayish va chiqarish jarayonlari.** Kengayish adiabata-sining o'rtacha ko'rsatkichi  $k_2$   $\alpha$  va  $T_z$  larning mos qiymatlari uchun berilgan  $\varepsilon$  bo'yicha nomogrammadan (4.44-rasmiga qarang) aniqlanadi, kengayish politropasi o'rtacha ko'rsatkichi  $p_2$  esa adiabata o'rtacha ko'rsatkichining qiymati bo'yicha baholanadi:

karbyuratorli dvigatel uchun  $\varepsilon=8,5$ ,  $\alpha=0,96$  va  $T_z=2848 \text{ K}$  da  $k_2=1,2518$ , qabul qilamiz  $p_2=1,251$ . Nomogrammada  $\varepsilon=8,5$ ,  $\alpha=0,86$  va  $T_z=2537 \text{ K}$  da  $k_2=1,2605$  ni topish ham ko'rsatilgan;

yonilg'i purkaladigan dvigatel uchun  $\varepsilon=11$ ,  $\alpha=1,0$  va  $T_z=3105 \text{ K}$  da  $k_2=1,2489$  aniqlangan va  $p_2=1,248$  qabul qilingan.

Kengayish jarayonining oxirida bosim va harorat

$$p_e = p_z / \varepsilon^{n_2} \quad \text{ba} \quad T_e = T_z / \varepsilon^{n_2 - 1}$$

karbyuratorli dvigatel uchun  $p_N = 5600 \text{ min}^{-1}$  da

$$p_e = 6,4730 / 8,5^{1,251} = 0,4452 \text{ МПа} \quad \text{ба} \quad T_e = 2848 / 8,5^{1,251-1} = 1665 \text{ К}$$

yonilg'i purkaladigan dvigatel uchun

$$p_e = 9,6585 / 11^{1,248} = 0,4845 \text{ МПа} \quad \text{ба} \quad T_e = 3105 / 11^{1,248-1} = 1713 \text{ К.}$$

Qoldiq gazlar haroratining dastlabki qabul qilingan qiymatini tekshirish:

7.4-jadval

Para-metrlar	Yonish jarayoni			
	Karbyuratorli dvigatel			
$n$	1000	3200	5600	6000
$\mu_0$	1,0944	1,0633	1,0633	1,0633
$\mu$	1,0898	1,0605	1,0603	1,0602
$\Delta Hu$	8665	2476	2476	2476
$H_{ish.aral.}$	74110	78610	78355	78251
$(mc_v)^{t_e}_{t_0}$	24,298+ 0,002033 $t_z$	24,656+ 0,02077 $t_z$	24,656+ 0,02077 $t_z$	24,656+ 0,02077 $t_z$
$\xi_z$	0,82	0,92	0,91	0,89
$t_z^0 \text{C}$	2264	2602	2575	2530
$T_z \text{K}$	2537	2875	2848	2803
$r_z$	6,8537	7,2884	6,4730	6,2052
$r_{zh}$	5,8256	6,1951	5,5021	5,5744
$\lambda$	3,672	4,033	4,000	3,936
Yonilg'i purkaladigan dvigatel				
$n$	900	4000	7000	8000
$\mu_0$	1,0633	1,0528	1,0528	1,0579
$\mu$	1,0609	1,0511	1,0511	1,0560
$\Delta Hu$	2476	0	0	1238
$H_{ish.aral.}$	79170	81089	81089	80327
$(mc_v)^{t_e}_{t_0}$	24,656+ 0,002077 $t_z$	24,784+0,002091 $t_z$		24,720+ 0,002085 $t_z$
$\xi_z$	0,88	0,988	0,986	0,97
$t_z^0 \text{C}$	2571	2849	2832	2772
$T_z \text{K}$	2844	3122	31,05	3045
$r_z$	9,7075	10,4315	9,6585	9,1230
$r_{zh}$	8,2514	8,8668	8,2097	7,7546
$\lambda$	3,671	4,036	4,116	4,081

$T_r = T_e / \sqrt[3]{p_e / p_r}$   
 karbyuratorli dvigatel uchun  $p_N = 5600 \text{ min}^{-1}$  da

$$T_r = \frac{1665}{\sqrt[3]{0,4452 / 0,118}} = 1070 \text{ K},$$

$$\Delta T_r = 100 \frac{(1070 - 1060)}{1060} = +0,9\%;$$

yonilg'i purkaladigan dvigatel uchun  $p_N = 7000 \text{ min}^{-1}$  da

$$T_r = \frac{1713}{\sqrt[3]{0,4845 / 0,110}} = 1045 \text{ K},$$

$$\Delta T_r = 100 \frac{(1045 - 1040)}{1040} = +0,5\%,$$

bu yerda  $\Delta T_r$  – hisob xatoligi.

Qoldiq gazlar harorati hamma tezlik rejimlari uchun yetarli darajada to‘g‘ri tanlangan, chunki ko‘p hollarda xatolik 1% dan ortmaydi, faqat aylanishlarning minimal chastotasi rejimlarida xatolik 1,66 va 3,44% ni tashkil qiladi.

7.5-jadval

Parametrlar	Kengayish va chiqarish jarayonlari							
	Karbyuratorli dvigatel				Yonilg'i purkaladigan dvigatel			
$p$	1000	3200	5600	6000	900	4000	7000	8000
$k_2$	1,2605	1,2515	1,2518	1,2522	1,2525	1,2484	1,2489	1,2513
$p_2$	1,2600	1,2510	1,2510	1,2520	1,2520	1,2480	1,2480	1,2510
$r_v$	0,4622	0,5013	0,4452	0,4259	0,4823	0,5232	0,4845	0,4543
$T_v$	1455	1680	1665	1634	1554	1723	1713	1668
$T_r$	885	1008	1070	1072	931	1011	1045	1049
$\Delta T_r, \%$	-1,66	+0,80	+0,94	+0,18	+3,44	-1,10	-0,48	-0,10

**Ishchi siklning indikator parametrlari.** Nazariy o‘rtacha indikator bosim

$$p_i = \frac{p_c}{\varepsilon - 1} \left[ \frac{\lambda}{n_2 - 1} \left( 1 - \frac{1}{\varepsilon^{n_2-1}} \right) - \frac{1}{n_1 - 1} \left( 1 - \frac{1}{\varepsilon^{n_1-1}} \right) \right];$$

karbyuratorli dvigatel uchun  $p_N = 5600 \text{ min}^{-1}$  da

$$p_i = \frac{1,6184}{8,5 - 1} \left[ \frac{4,000}{1,251 - 1} \left( 1 - \frac{1}{8,5^{1,251-1}} \right) - \frac{1}{1,377 - 1} \left( 1 - \frac{1}{8,5^{1,377-1}} \right) \right] = 1,1120 \text{ MPa}$$

yonilg'i purkaladigan dvigatel uchun

$$p_i = \frac{2,3468}{11 - 1} \left[ \frac{4,116}{1,248 - 1} \left( 1 - \frac{1}{11^{1,248-1}} \right) - \frac{1}{1,376 - 1} \left( 1 - \frac{1}{11^{1,376-1}} \right) \right] = 1,3753 \text{ MPa.}$$

O'rtacha indikator bosim  $p_i = \varphi_u p_i'$

karbyuratorli dvigatel uchun  $p_i = 0,96 \cdot 1,1120 = 1,0675 \text{ MPa};$

yonilg'i purkaladigan dvigatel uchun

$p_i = 0,98 \cdot 1,3753 = 1,3478 \text{ MPa.}$

Indikator f.i.k. va yonilg'inining indikator solishtirma sarfi

$$\eta_i = p_i l_0 \alpha / (Hu \rho_0 \eta_v) \quad \text{va} \quad g_i = 3600 / (Hu \eta_i)$$

karbyuratorli dvigatel uchun  $p_N = 5600 \text{ min}^{-1}$  da

$$\eta_i = 1,0675 \cdot 14,957 \cdot 0,96 / (43,93 \cdot 1,189 \cdot 0,8794) = 0,3341;$$

$$g_i = 3600 / (43,93 \cdot 0,3341) = 245 \text{ g/(kVt · soat);}$$

yonilg'i purkaladigan dvigatel uchun  $p_N = 7000 \text{ min}^{-1}$  da

$$\eta_i = 1,3478 \cdot 14,957 \cdot 1,0 / (43,93 \cdot 1,189 \cdot 0,9610) = 0,4016;$$

$$g_i = 3600 / (43,93 \cdot 0,4016) = 204 \text{ g/(kVt · soat).}$$

**Dvigatelning effektiv ko'rsatkichlari.** Silindrlar soni oltigacha va  $S/D \leq 1$  bo'lgan benzinli dvigatellar uchun mexanik yo'qotishlar o'rtacha bosimi

$$r_m = 0,034 + 0,0113 v_{p.o.r.}$$

Karbyuratorli dvigatel uchun, porshen yo'li  $S$  ni 78 mm ga teng deb qabul qilib,  $p_N = 5600 \text{ min}^{-1}$  da porshen o'rtacha tezligini topamiz

$$v_{p,o'r} = S n_N / (10^4 \cdot 3) = 78 \cdot 5600 / (10^4 \cdot 3) = 14,56 \text{ m/s}$$

U holda,

$$r_m = 0,034 + 0,0113 \cdot 14,56 = 0,1985 \text{ MPa.}$$

Yonilg'i purkaladigan dvigatel uchun, porshen yo'li  $S$  ni 77 mm ga teng deb qabul qilib,  $p_N = 7000 \text{ min}^{-1}$  da porshen o'rtacha tezligini topamiz

$$v_{p,o'r} = 77 \cdot 7000 / (10^4 \cdot 3) = 17,967 \text{ m/s.}$$

Mexanik yo'qotishlar o'rtacha bosimini elektron purkagichli yuqori forsirovka qilingan dvigatellar uchun mo'ljallangan formula bo'yicha topamiz

$$r_m = 0,024 + 0,0053 v_{p,o'r} = 0,024 + 0,0053 \cdot 17,967 = \\ = 0,1192 \text{ MPa.}$$

O'rtacha effektiv bosim va mexanik f.i.k.

$$r_e = p_i - p_m \quad \text{va} \quad \eta_m = r_e / p_i:$$

karbyuratorli dvigatel uchun

$$r_e = 1,0675 - 0,1985 = 0,8690 \text{ MPa} \\ \text{va} \quad \eta_m = 0,869 / 1,0675 = 0,8141;$$

yonilg'i purkaladigan dvigatel uchun

$$r_e = 1,3478 - 0,1192 = 1,2286 \text{ MPa} \quad \text{va} \quad \eta_m = \\ 1,2286 / 1,3478 = 0,9116.$$

Effektiv f.i.k. va yonilg'inining effektiv solishtirma sarfi

$$\eta_e = \eta_i \cdot \eta_m \quad \text{va} \quad g_e = 3600 / (H_u \cdot \eta_e):$$

karbyuratorli dvigatel uchun

$$\eta_e = 0,3341 \cdot 0,8141 = 0,2720 \\ \text{va} \quad g_e = 3600 / (43,93 \cdot 0,272) = 301 \text{ g/(kVt-soat);}$$

yonilg'i purkaladigan dvigatel uchun

$$\eta_e = 0,4016 \cdot 0,9116 = 0,3661 \\ \text{va} \quad g_e = 3600 / (43,93 \cdot 0,3661) = 224 \text{ g/(kVt-soat).}$$

**Silindr va dvigatelning asosiy parametrlari.** Litraj:  
karbyuratorli dvigatelniki

$V_1 = 30 \tau N_e / (p_e n) = 30 \cdot 4 \cdot 60 / (0,869 \cdot 5600) = 1,47951;$   
Yonilg‘i purkaladigan dvigatelniki

$$V_1 = 30 \cdot 4 \cdot 110 / (1,2286 \cdot 7000) = 1,53481.$$

Bir silindrning ishchi hajmi:  
karbyuratorli dvigatelniki

$$V_h = V_1 / i = 1,4795 / 4 = 0,3699 \text{ l};$$

Yonilg‘i purkaladigan dvigatelniki

$$V_h = 1,5348 / 4 = 0,3837 \text{ l}.$$

Silindr diametri. Porshen yo‘li karbyuratorli dvigatel uchun  $S=78$  mm va yonilg‘i purkaladigan dvigatel uchun esa  $S=77$  mm tanlanganligi tufayli silindr diametri:  
karbyuratorli dvigatel uchun

$$D = 2 \cdot 10^3 \sqrt{V_h / (\pi S)} = 2 \cdot 10^3 \sqrt{0,3699 / (3,14 \cdot 78)} = 77,72 \text{ mm};$$

yonilg‘i purkaladigan dvigatel uchun

$$D = 2 \cdot 10^3 \sqrt{0,3837 / (3,14 \cdot 77)} = 79,65 \text{ mm}.$$

Karbyuratorli dvigatel uchun  $D=78$  mm va  $S=78$  mm va yonilg‘i purkaladigan dvigatel uchun  $D=80$  mm va  $S=77$  mm qabul qilamiz.

$D$  va  $S$  ning qabul qilingan qiymatlari bo‘yicha dvigatellarning asosiy parametrlari va ko‘rsatkichlari:  
porshen yuzasi  $F_p = \pi D^2 / (4 \cdot 100)$  ( $\text{sm}^2$ );

7.6-jadval

Para-metrlar	Dvigateleaning indikator va effektiv ko'sratkichlari				
	Karbyuratorli dvigatel			Yonilg'i purkaladigan dvigatel	
$n$	1000	3200	5600	900	4000
$p_i'$	1,1317	1,2546	1,1120	1,0600	1,3255
$p_i$	1,0864	1,2044	1,0675	1,0176	1,2990
$\eta_i$	0,3060	0,3612	0,3341	0,3249	0,4095
$g_i$	268	227	245	252	200
$v_{p,ot}$	2,60	8,32	14,56	15,60	2,310
$r_m$	0,0634	0,1280	0,1985	0,2103	0,0362
$R_e$	1,0230	1,0764	0,8690	0,8073	1,2628
$\eta_m$	0,9416	0,8937	0,8141	0,7933	0,9721
$\eta_e$	0,2881	0,3228	0,2720	0,2577	0,3981
$g_e$	284	254	301	318	206
					199
					224
					244

dvigatel litraji  $V_1 = \pi D^2 S i / (4 \cdot 10^6)$  (l);

dvigatel effektiv quvvati  $N_e = p_e V_1 n / (30 \tau)$  (kVt);

dvigatel litrli quvvati  $N_1 = N_e / V_1$  (kVt/l);

burovchi moment  $M_e = \frac{3 \cdot 10^4 \cdot N_e}{\pi \cdot n}$  (H·m);

yonilg'ining 1 soatdagi sarfi  $G_{yo} = N_e \cdot g_e \cdot 10^{-3}$  (kg/soat).

7.7-jadval

Para-metrlar	Dvigatellarning asosiy parametrlari va ko'rsatkichlari							
	Karbyuratorli dvigatel				Yonilg'i purkaladigan dvigatel			
$p, \text{min}^{-1}$	1000	3200	5600	6000	900	4000	7000	8000
$F_p, \text{sm}^2$		47,76				50,24		
$V_b, \text{l}$		1,49				1,547		
$N_b, \text{kVt/l}$		40,55				71,67		
$N_e, \text{kVt}$	12,70	42,77	60,42	60,14	14,65	70,59	110,87	116,83
$M_e, \text{N}\cdot\text{m}$	121,3	127,3	103,1	95,8	155,4	168,5	151,2	139,5
$G_{yo}, \text{kg/soat}$	3,607	10,864	18,186	19,125	3,018	14,047	24,835	26,170

### 7.3. Karbyuratorli dvigatel va yonilg'i taqsimlanib purkaladigan dvigatel issiqlik balansi

Nominal tezlik rejimida dvigatelga kiritilgan issiqlikning umumiy miqdori:

$$Q_{yo.\text{soat}} = Hu G_{yo.\text{soat}} / 3,6;$$

karbyuratorli dvigatel (hamma ma'lumotlar issiqlik hisobidan olingan)

$$Q_{yo.\text{soat}} = 43930 \cdot 18,186 / 3,6 = 221920 \text{ J/s};$$

yonilg'i purkaladigan dvigatel

$$Q_{yo.\text{soat}} = 43930 \cdot 24,835 / 3,6 = 303056 \text{ J/s}.$$

Bir sekundda effektiv ishga ekvivalent issiqlik:

$$Q_e = 1000 \cdot N_e;$$

karbyuratorli dvigatelda

$$Q_e = 1000 \cdot 60,42 = 60420 \text{ J/s};$$

yonilg'i purkaladigan dvigatelda

$$Q_e = 1000 \cdot 110,87 = 110870 \text{ J/s}.$$

*Sovituvchi muhitga uzatiluvchi issiqlik:*

$$Q_{sov} = c i D^{1+2m} n^m (Hu + \Delta Hu) / (\alpha Hu),$$

bu yerda  $s=0,45-0,53$  – to'rt taktli dvigatellar uchun proporsionallik koeffitsiyenti (hisoblarda  $s=0,5$  qabul qilinadi);

$i$  – silindrlar soni;

$D$  – silindr diametri, sm;

$p$  – tirsakli valning aylanishlar chastotasi,  $\text{min}^{-1}$ ;

$t$  –  $0,5-0,7$  – to'rt taktli dvigatellar uchun daraja ko'rsatkichi;

hisobda karbyuratorli dvigatel uchun  $p = 1000 \text{ min}^{-1}$  da  $t=1,6$ , qolgan hamma tezlik rejimlari uchun  $t=0,65$  qabul qilingan; yonilg'i purkaladigan dvigatel uchun  $p = 900 \text{ min}^{-1}$  da  $t=0,58$ ,  $p = 4000 \text{ min}^{-1}$  da  $t=0,64$ ,  $p = 7000 \text{ min}^{-1}$  da  $t=0,66$  va  $p = 8000 \text{ min}^{-1}$  da  $t=0,65$  qabul qilingan;

karbyuratorli dvigatelda

$$Q_{sov} = 0,5 \cdot 4 \cdot 7,8^{1+2,0,65} \cdot 5600^{0,65} (43930 - 2476) / (0,96 \cdot 43930) = 60510 \text{ J/s};$$

yonilg'i purkaladigan dvigatelda

$$Q_{sov} = 0,5 \cdot 4 \cdot 8,0^{1+2,0,66} \cdot 7000^{0,66} (43930 - 0) / (1 \cdot 43930) = 85894 \text{ J/s}.$$

*Ishlangan gazlar bilan olib ketilgan issiqlik:*

$$Q_r = (G_{yo} / 3,6) \{ M_2 [(mc_v)^{t_r}_{t_0} + 8,315] t_r - M_1 [(mc_v)^{20}_{t_0} + 8,315] t_0 \},$$

karbyuratorli dvigatelda

$$Q_r = (18,186 / 3,6)$$

$$\{0,536 [25,300 + 8,315] \cdot 797 - 0,504 [20,775 + 8,315] \cdot 20\} = 71060 \text{ J/s};$$

bu yerda  $(mc_v)^{t_r}_{t_0} = 25,300 \text{ kDj/(k mol·grad)}$  – ishlangan gazlar issiqlik sig'imi ( $3,5$ -jadvaldan  $\alpha=0,96$  va  $t_r=T_r-273=1070-273=797 {}^\circ\text{S}$  da interpolyatsiya usuli bilan aniqlangan);

$(mc_v)^{20}_{t_0} = 20,775 \text{ kDj/(k mol·grad)}$  – yangi zaryad issiqlik sig'imi ( $3,3$ -jadvaldan havo uchun  $t_0=T_0-273=293-273=20 {}^\circ\text{S}$  da interpolyatsiya usuli bilan aniqlangan);

yonilg'i purkaladigan dvigatelda

$$Q_r = (24,835 / 3,6) \cdot \{0,5524 [25,323 + 8,315] \cdot 772 - 0,5247 [20,775 + 8,315] \cdot 20\} = \\ = 96861 \text{ J/s},$$

bu yerda  $(mc_v)_r = 25,323 \text{ kJ/(kmol·grad)}$  – ishlangan gazlar issiqlik sig‘imi  $(3,5\text{-jadvaldan } \alpha=1,0 \text{ va } t_r=T_r-273=1045-273=772^\circ\text{C da interpolyatsiya usuli bilan aniqlangan})$ ;

*Yonilg‘i kimyoviy noto‘liq yonishi tufayli yo‘qotilgan issiqlik:*

$$Q_{n,yo} = \Delta Hu G_{n,yo} / 3,6;$$

**karbyuratorli dvigatelda**

$$Q_{n,yo} = 2476 \cdot 18,186 / 3,6 = 12510 \text{ J/s};$$

**yonilg‘i purkaladigan dvigatelda**

$$Q_{n,yo} = 0, \text{ chunki } \alpha=1 \text{ da } \Delta Hu=0.$$

*Hisobga olinmagan issiqlik yo‘qotishlari:*

$$Q_{kol} = Q_{yo,soat} - (Q_e + Q_r + Q_{sov.} + Q_{n,yo})$$

**karbyuratorli dvigatelda**

$$Q_{kol} = 221920 - (60420 + 60510 + 71060 + 12510) = 17420 \text{ J/s};$$

**yonilg‘i purkaladigan dvigatelda**

$$Q_{kol} = 303056 - (110870 + 85894 + 96861 + 0) = 9431 \text{ J/s}.$$

Issiqlik balansini tashkil qiluvchilarning absolyut qiymatlarini bilish issiqliknинг dvigatelda taqsimlanishini miqdoriy baholash imkonini beradi. Agar issiqliknинг turli dvigatellarida taqsimlanishini qiyoslash zarur bo‘lsa yoki muayyan dvigatelda issiqlikdan foydalanish darajasini baholash lozim bo‘lsa, u holda issiqlik balansining tashkil etuvchilarini nisbiy kattaliklarda, masalan, yonilg‘idan kiritilgan umumiy issiqlikka nisbatan foizda ifodalash qulayroq bo‘ladi:

$$q_{yo,s} = q_e + q_r + q_{sov.} + q_{n,yo} + q_{kol} = 100\%.$$

Issiqlik balansini tashkil qiluvchilarning qiymatlari doimiy bo‘lmaydi, balki dvigateл ishlaganida yuk, tezyurarlik va boshqa omillarga bog‘liq holda o‘zgarib turadi.

Silindrga yonilg‘i bilan kiritiladigan issiqlik, uning foydali ishga aylanishi jarayonida taqsimlanishining xarakterini issiqlik balansining egri chiziqlari ko‘rinishida tasvirlash ko‘rgazmali

bo‘ladi (7.3- va 7.4-rasmlar). Grafik bog‘lanishlar har bir tashkil etuvchini aylanishlar chastotasi, yuk, aralashma tarkibi va h.k. larga bog‘liq holda aniqlash asosida tuziladi. Issiqlik balansini qurish uchun ma’lumotlarni maxsus sinovlar o‘tkazib yoki avval o‘tkazilgan eksperimentlar natijalaridan foydalanib qurish mumkin. Issiqlik balansi dvigateл issiqlik hisobining natijalari bo‘yicha qurilishi mumkin.

Karbyuratorli dvigatel va yonilg‘i purkaladigan dvigatel issiqlik balansining tashkil etuvchilari 7.8- va 7.9-jadvallarda hamda 7.3- 7.4-rasmlarda keltirilgan.

### 7.8-jadval

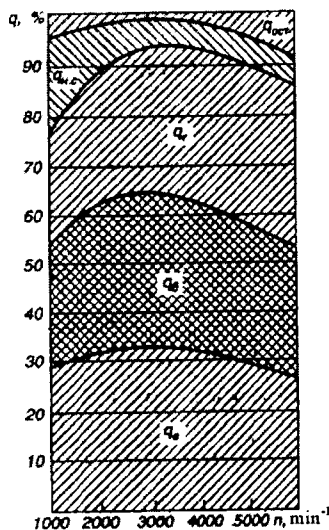
Karbyuratorli dvigatel								
Issiqlik balansining tashkil etuvchilari	Tirsakli val aylanishlar chastotasi, $\text{min}^{-1}$							
	1000		3200		5600		6000	
	$Q$ , Dj/s	$q$ , %	$Q$ , Dj/s	$q$ , %	$Q$ , Dj/s	$q$ , %	$Q$ , Dj/s	$q$ , %
Effektiv ishga ekvivalent issiqlik	12700	28,9	42770	32,3	60420	27,2	60140	25,8
Sovituvchi muhitga uzatiladigan issiqlik	10810	24,6	42050	31,7	60510	27,3	63280	27,1
Ishlangan gazlar bilan olib ketiladigan issiqlik	9610	21,8	38770	29,3	41060	32,0	74940	32,1
Yonish kimyo-viy noto‘liqligi tufayli yo‘qotiladigan issiqlik	8680	19,7	7470	5,6	12510	5,7	13150	5,6
Hisobga olinmagan issiqlik yo‘qotishlari	2220	5,0	1510	1,1	17420	7,8	21870	9,4
Yonilg‘i bilan dvigatelga kiritilgan umumiy issiqlik	44020	100	132570	100	221920	100	233380	100

### 7.9-jadval

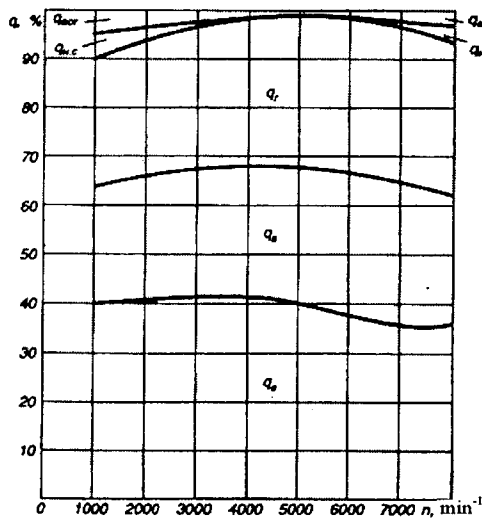
Issiqlik balansining tashkil etuvchilari	Yonilg'i purkaladigan dvigatel							
	Tirsakli val aylanishlar chastotasi, min <sup>-1</sup>							
	900		4000		7000		8000	
	$Q$ , Dj/s	$q$ , %	$Q$ , Dj/s	$q$ , %	$Q$ , Dj/s	$q$ , %	$Q$ , Dj/s	$q$ , %
Effektiv ishga ekvivalent issiqlik	14650	39,8	70590	41,2	110870	36,6	116830	36,6
Sovituvchi muhitga uzatiladigan issiqlik	9072	24,6	46281	27,0	85894	28,3	82253	25,8
Ishlangan gazlar bilan olib ketiladigan issiqlik	9521	25,4	52187	30,4	96861	32,0	100562	31,5
Yonish kimyo-viy noto'liqligi tufayli yo'qotiladigan issiqlik	2076	5,6	0	0	0	0	9000	2,8
Hisobga olinmagan issiqlik yo'qotishlari	1509	4,1	2354	1,4	9431	3,1	10702	3,3
Yonilg'i bilan dvigatelga kiritilgan umumiy issiqlik	36828	100	171412	100	303056	100	319347	100

Keltirilgan rasm va jadvallardan shu narsa ko'rindaniki, yonilg'i issiqligining asosiy qismi effektiv ishga va sovituvchi muhitni isitishga sarflanadi hamda ishlangan gazlar bilan yo'qotiladi.

Sovituvchi muhit bilan olib ketiladigan issiqlik miqdoriga birnecha ekspluatatsion va konstruktiv omillar ta'sir qiladi. Tirsakli val aylanishlar chastotasi ortishi, sovutkich harorati ko'tarilishi va havo ortiqligi koeffitsiyentining ortishi bilan  $Q_{sov}$  qiy-mati kamayadi, sovituvchi yuza o'lchamlari va porshen yo'lining silindr diametriga nisbati kattalashganda esa  $Q_{sov}$  ko'payadi. Sovutkichga uzatiladigan issiqlikning asosiy qismini (60–65% gacha) silindr va yonish kamerasi devorlari yonish va kengayish jarayonlari paytida, qolgan qismini esa chiqarish davomida qabul qiladi.



7.3-rasm. Karbyuratorli dvigatel issiqlik balansi tashkil etuvchilarining tirsakli val aylanishlar chastotasiga bog'liqligi



7.4-rasm. Yonilg' purkaladigan dvigatel issiqlik balansi tashkil etuvchilarining tirsakli val aylanishlar chastotasiga bog'liqligi.

Sovutkich bilan olib ketiladigan issiqlik ulushi kamayganida, chiquvchi gazlar bilan olib ketiladigan issiqlik ulushi ko‘payadi. Gaz turbinali nadduvli dvigatellarda issiqliknинг bunday qayta taqsimlanishi chiquvchi gazlar energiyasining ortishiga, ya’ni gaz turbinasida bajariladigan ishning ko‘payishiga sabab bo‘ladi. bunday printsip kombinatsiyalashgan dvigatellarda qo‘llaniladi.

#### 7.4. Dizelning issiqlik hisobi va issiqlik balansi

Yuk avtomobili uchun mo‘ljallangan to‘rt taktli dizelninng hisobi bajarilsin. Dizel sakkiz silindrli ( $i=8$ ), yonish kamerasi ajratilmagan, hajmiy aralashmali, maksimal quvvatda aylanishlar chastotasi  $n_N = 2600 \text{ min}^{-1}$  va siqish darajasi  $\varepsilon=17$ .

Hisob ikki variant uchun bajarilsin:

- effektiv quvvati  $N_e=170 \text{ kWt}$  bo‘lgan nadduvsiz dizel;
- dizel turbonadduvli  $r_k=0,17 \text{ MPa}$  (korpusi sovitiladigan va lopatali diffuzorli markazdan qochma kompressor va turbina oldidagi bosim o‘zgarmas bo‘lgan radial turbina).

##### 7.4.1. Issiqlik hisobi

**Yonilg‘i.** GOST 305-82 ga muvofiq hisoblanayotgan dvigatel uchun dizel yonilg‘isini tanlaymiz (yozda ishlashi uchun – L markali va qishda ishlashi uchun – Z markani tanlaymiz). Yonilg‘ining tsetan soni 45 dan kam emas.

Dizel yonilg‘isining o‘rtacha elementar tarkibi

$$S = 0,870; \quad N = 0,126; \quad O = 0,004.$$

Yonilg‘i yonishining quyi issiqligi

$$\begin{aligned} Hu &= 33,91S + 125,60N - 10,89(O - S) - 2,51(9N - W) = \\ &= 33,91 \cdot 0,87 + 125,60 \cdot 0,126 - 10,89 \cdot 0,004 - 2,51 \cdot 9 \cdot 0,126 = \\ &= 42,44 \text{ MDj/kg} = 42440 \text{ kDj/kg}. \end{aligned}$$

**Ishchi jism parametrlari.** 1 kg yonilg‘i yonishi uchun havoning zaruriy miqdori

$$L_0 = \frac{1}{0,208} \left( \frac{C}{12} + \frac{H}{4} - \frac{O}{32} \right) = \frac{1}{0,208} \left( \frac{0,87}{12} + \frac{0,126}{4} - \frac{0,004}{32} \right) = 0,500 \frac{\text{kmol havo}}{\text{kg yonilg‘i}},$$

$$l_0 = \frac{1}{0,23} \left( \frac{8}{3} C + 8H - O \right) = \frac{1}{0,208} \left( \frac{8}{12} 0,87 + 8 \cdot 0,126 - 0,004 \right) = 14,452 \frac{\text{kmol havo}}{\text{kg yonilg'i}}$$

*Havo ortiqligi koeffitsiyenti.* Havo ortiqligi koeffitsiyenti  $\alpha$  ni ma'lum chegaragacha kamaytirish dvigatel litrli quvvatini oshiradi va oqibatda silindr o'lchamlarini kichiklashtirish imkonini beradi, lekin bunda dvigatelning, ayniqsa porshen guruhi detallaring, issiqlik kuchlanganligi ortadi, ishlangan gazlar tutunligi ko'payadi. Nadduvtsiz, hajmiy aralashmani zamonaviy dizellarining eng yaxshi namunalari nominal rejimda qizib ketmasdan  $\alpha=1,4-1,5$  da barqaror ishlaydi; nadduvli dvigatellarda esa  $\alpha=1,6-1,8$ . ushbu qayd etilganlarga asoslanib quyidagilarni qabul qilamiz: nadduvtsiz dizel uchun –  $\alpha=1,4$  va nadduvli dizel –  $\alpha=1,7$ .

Yangi zaryad miqdori:

$$\alpha=1,4 \text{ da } M_1 = \alpha L_0 = 1,4 \cdot 0,5 = 0,7 \text{ kmol yangi zar./kg yonilg'i};$$

$$\alpha=1,7 \text{ da } M_1 = \alpha L_0 = 1,7 \cdot 0,5 = 0,85 \text{ kmol yangi zar./kg yonilg'i}.$$

Yonish mahsulotlari alohida komponentlarining miqdori:

$$M_{CO_2} = C / 12 = 0,87 / 12 = 0,0725 \text{ kmol SO}_2/\text{kg yonilg'i};$$

$$M_{H_2O} = H / 2 = 0,126 / 2 = 0,063 \text{ kmol N}_2\text{O}/\text{kg yonilg'i}.$$

$\alpha=1,4$  da:

$$M_{O_2} = 0,208(\alpha - 1)L_0 = 0,208(1,4 - 1)0,5 = 0,0416 \text{ kmol O}_2/\text{kg yonilg'i};$$

$$M_{N_2} = 0,792 \alpha L_0 = 0,208 \cdot 1,4 \cdot 0,5 = 0,5544 \text{ kmol N}_2/\text{kg yonilg'i};$$

$\alpha=1,7$  da:

$$M_{O_2} = 0,208(\alpha - 1)L_0 = 0,208(1,7 - 1)0,5 = 0,0728 \text{ kmol O}_2/\text{kg yonilg'i};$$

$$M_{N_2} = 0,792 \alpha L_0 = 0,208 \cdot 1,7 \cdot 0,5 = 0,6732 \text{ kmol N}_2/\text{kg yonilg'i}.$$

Yonish mahsulotlarining umumiyligi miqdori

$$M_2 = M_{CO_2} + M_{H_2O} + M_{O_2} + M_{N_2}$$

$\alpha=1,4$  da:

$$M_2 = 0,0725 + 0,063 + 0,0416 + 0,5544 = 0,7315 \text{ kmol yon. mahs./kg yonilg'i};$$

$\alpha=1,7$  da:

$M_1 = 0,0725 + 0,063 + 0,0728 + 0,6732 = 0,8815 \text{ kmol yon. mahs./kg yonilg'i.}$

**Atrof-muhit parametrlari va qoldiq gazlar.** Atmosfera sharoitlari:

$$r_0 = 0,1 \text{ MPa}; \quad T_0 = 293 \text{ K}.$$

**Atrof-muhit bosimi:**

nadduvsiz dizellar uchun  $r_k = r_0 = 0,1 \text{ MPa};$

nadduvli dizellar uchun  $r_k = 0,17 \text{ MPa} - \text{topshiriqqa muvofiq.}$

**Atrof-muhit harorati:**

nadduvsiz dizel uchun

$$T_k = T_0 = 293 \text{ K};$$

nadduvli dizel uchun

$$T_k = T_0 \left( p_k / p_0 \right)^{(n_k-1)/n_k} = 293 \left( 0,17 / 0,1 \right)^{(1,65-1)/1,65} = 361 \text{ K}.$$

bu yerda  $n_k$  – siqish politropasi ko'rsatkichi (korpusi sovitiladigan markazdan qochma haydagich (nagnetatels) uchun uchun  $n_k = 1,65$ ).

**Qoldiq gazlar harorati va bosim.** Nadduvsiz dizelning yetarli darajada siqish darajasi qoldiq gazlar harorati va bosimini pasaytiradi, tirsakli val aylanishlar chastotasining ortishi  $T_r$  va  $p_r$  qiymatlarini biroz oshiradi. Nadduvda dvigatelning harorat rejimi ko'tariladi, natijada  $T_r$  va  $p_r$  qiymatlari ortadi. Shuning uchun quyidagilarni qabul qilamiz:

nadduvsiz dizel uchun

$$T_r = 750 \text{ K}, p_r = 1,05 \cdot p_0 = 1,05 \cdot 0,1 = 0,105 \text{ MPa};$$

nadduvli dizel uchun

$$T_r = 800 \text{ K}, p_r = 0,95 \cdot p_k = 0,95 \cdot 0,17 = 0,162 \text{ MPa}.$$

**Kiritish jarayoni.** Yangi zaryadning qizish harorati. Ko'rilayotgan dvigatel yangi zaryadni qizdiruvchi maxsus qurilmaga ega emas. Nadduvsiz dizelda yangi zaryadning tabiiy qizishi  $\approx 15-20^{\circ}\text{C}$  ga etishi mumkin, nadduvli dizelda esa dvigatel detallari harorati va nadduv havosi harorati orasidagi farq kam bo'ladi, shu sababli bu havo kamroq qiziydi. Shuning uchun: nadduvsiz dizel uchun  $\Delta T = 20^{\circ}\text{C}$ , nadduvli dizel uchun  $\Delta T = 10^{\circ}\text{C}$  qabul qilamiz.

*Kirishda zaryad zichligi*

$$\rho_k = \rho_k \cdot 10^6 / (\rho_h T_k);$$

nadduvsiz dizel uchun  $\rho_k = 0,1 \cdot 10^6 / (287 \cdot 293) = 1,189 \text{ kg/m}^3$ ;

nadduvli dizel uchun  $\rho_k = 0,17 \cdot 10^6 / (287 \cdot 3914) = 1,641 \text{ kg/m}^3$ .

*Dvigatelga kiritishda bosim yo'qotilishi:*

nadduvsiz dizelda

$$\Delta p_a = (\beta^2 + \xi_{\text{kir}}) w_{\text{kir}}^2 \cdot \rho_k \cdot 10^{-6} / 2 = 2,7 \cdot 70^2 \cdot 1,189 \cdot 10^{-6} / 2 = 0,008 \text{ MPa};$$

nadduvli dizelda

$$\Delta p_a = 2,7 \cdot 70^2 \cdot 1,641 \cdot 10^{-6} / 2 = 0,011 \text{ MPa},$$

bu yerda  $(\beta^2 + \xi_{\text{kir}}) = 2,7$  va  $w_{\text{kir}} = 70 \text{ m/s}$  dvigatellarning tezlik rejimlari va nadduvsiz va nadduvli dvigatellarning kiritish tizimida gidravlik qarshiliklarning katta emasligini hisobga olgan holda qabul qilingan.

Kiritish oxirida bosim

$$p_a = p_k - \Delta p_a;$$

nadduvsiz dizelda  $r_a = 0,1 - 0,08 = 0,092 \text{ MPa}$ ;

nadduvli dizelda  $r_a = 0,17 - 0,011 = 0,159 \text{ MPa}$ .

Qoldiq gazlar koefitsiyenti

$$\gamma_r = \frac{T_k + \Delta T}{T_r} \frac{p_r}{\varepsilon \cdot p_a - p_r};$$

nadduvsiz dizelda

$$\gamma_r = \frac{293 + 20}{750} \frac{0,105}{17 \cdot 0,092 - 0,105} = 0,030;$$

nadduvli dizelda

$$\gamma_r = \frac{361 + 10}{800} \frac{0,162}{17 \cdot 0,159 - 0,162} = 0,030.$$

Kiritish oxirida harorat

$$T_a = (T_k + \Delta T + \gamma_r T_r) / (1 + \gamma_r);$$

nadduvsiz dizelda  $T_a = (293 + 20 + 0,03 \cdot 750) / (1 + 0,03) = 326 \text{ K}$ ;

nadduvli dizelda  $T_a = (361 + 10 + 0,03 \cdot 800) / (1 + 0,03) = 384 \text{ K}$ .

To'lish koefitsiyenti

$$\eta_v = T_k (\varepsilon \cdot p_a - p_r) / [(T_k + \Delta T)(\varepsilon - 1)p_k];$$

nadduvsiz dizelda

$$\eta_v = \frac{293(17 \cdot 0,092 - 0,105)}{[(293+20)(17-1) \cdot 0,1]} = 0,854;$$

nadduvli dizelda

$$\eta_v = \frac{361(17 \cdot 0,159 - 0,162)}{[(361+10)(17-1) \cdot 0,17]} = 0,909.$$

**Siqish jarayoni.** Siqish adiabatasi va politropasining o'rtacha ko'rsatkichlari. Dizel nominal rejimda ishlaganida yetarli darajada aniqlikda siqish politropasi ko'rsatkichini adiabata ko'rsatkichiga taxminan teng deb qabul qilish mumkin; u nomogramma bo'yicha aniqlanadi (4.20-rasmga qarang):

nadduvlsiz dizel uchun  $\varepsilon=17$  va  $T_a=326$  K da  $p_1 \approx k_1 = 1,370$ ;  
 nadduvli dizel uchun  $\varepsilon=17$  va  $T_a=384$  K da  $k_1 = 1,3615$ ,  
 $p_2 \approx 1,362$ .

Siqish oxirida bosim va harorat

$$p_c = p_a \varepsilon^n \text{ va } T_c = T_a \varepsilon^{n-1};$$

nadduvlsiz dizelda

$$r_s = 0,159 \cdot 17^{1,37} = 4,462 \text{ MPa}, T_s = 326 \cdot 17^{1,37-1} = 930 \text{ K};$$

nadduvli dizelda

$$r_s = 0,159 \cdot 17^{1,362} = 7,538 \text{ MPa}, T_s = 384 \cdot 17^{1,362-1} = 1071 \text{ K}.$$

Siqish oxirida o'rtacha mol issiqqlik sig'imi:

a) havoniki  $(mc_v)_{t_0}^c = 20,6 + 2,638 \cdot 10^{-3} t_c$ ;

nadduvlsiz dizelda

$$(mc_v)_{t_0}^c = 20,6 + 2,638 \cdot 10^{-3} \cdot 657 = 22,333 \text{ kDj/(kmol·grad)};$$

nadduvli dizelda

$$(mc_v)_{t_0}^c = 20,6 + 2,638 \cdot 10^{-3} \cdot 798 = 22,705 \text{ kDj/(kmol·grad)};$$

b) qoldiq gazlarniki (3.6-jadvaldan interpolatsiya metodi bo'yicha aniqlanadi):

nadduvlsiz dizelda  $\alpha=1,4$  va  $t_c=657$  °C da

$$(mc_v)_{t_0}^c = 24,168 \text{ kDj/(kmol·grad)};$$

nadduvli dizelda  $\alpha=1,7$  va  $t_c=798$  °C da

$$(mc_v)_{t_0}^c = 24,386 \text{ kDj/(kmol·grad)};$$

v) ishchi aralashmaniki

$$(mc_v)_{t_0}^c = [1/(1+\gamma_r)] [(mc_v)_{t_0}^c + \gamma_r (mc_v)_{t_0}^{t_c}]:$$

nadduvsız dizelda

$$(mc_v)_{t_0}^c = [1/(1+0,03)] [22,333 + 0,03 \cdot 24,168] = 22,386$$
$$\text{kJ}/(\text{kmol}\cdot\text{grad});$$

nadduvlı dizelda

$$(mc_v)_{t_0}^c = [1/(1+0,03)] [22,705 + 0,03 \cdot 24,386] = 22,754$$
$$\text{kJ}/(\text{kmol}\cdot\text{grad});$$

**Yonish jarayoni.** Yangi aralashmaning molekulyar o'zgarish koeffitsiyenti:

nadduvsız dizelda  $\mu_0 = M_2/M_1 = 0,7315/0,7 = 1,045$ ;

nadduvlı dizelda  $\mu_0 = M_2/M_1 = 0,8815/0,85 = 1,045$ .

Ishchi aralashmaning molekulyar o'zgarish koeffitsiyenti:

nadduvsız dizelda

$$\mu = (\mu_0 + \gamma_r)/(1 + \gamma_r) = (1,045 + 0,03)/(1 + 0,03) = 1,044;$$

nadduvlı dizelda

$$\mu = (\mu_0 + \gamma_r)/(1 + \gamma_r) = (1,037 + 0,03)/(1 + 0,03) = 1,036.$$

Ishchi aralashmaning yonish issiqligi:

nadduvsız dizelda

$$N_{\text{ish. aral.}} = Hu[M_1(1 + \gamma_r)] = 42400/[0,7(1 + 0,03)] = 58860$$
$$\text{kJ}/(\text{kmol}\cdot\text{grad});$$

nadduvlı dizelda

$$N_{\text{ish. aral.}} = Hu[M_1(1 + \gamma_r)] = 42400/[0,85(1 + 0,03)] = 48480$$
$$\text{kJ}/(\text{kmol}\cdot\text{grad}).$$

Yonish mahsulotlarining o'rtacha mol issiqlik sig'imi:

$$(mc_v)_{t_0}^c = (1/M_2) [M_{CO_2} (mc_{CO_2})_{t_0}^{t_z} + M_{H_2O} (mc_{H_2O})_{t_0}^{t_z} + M_{O_2} (mc_{O_2})_{t_0}^{t_z} + M_{N_2} (mc_{N_2})_{t_0}^{t_z}]; \quad (mc_p)_{t_0}^{t_z} = (mc_v)_{t_0}^{t_z} + 8,315;$$

nadduvsız dizelda

$$(mc_v)_{t_0}^{t_z} = (1/0,7315) [0,0725(39,123 + 0,003349 t_z) + 0,063(26,67 + 0,004438 t_z) + 0,0416(23,723 + 0,00155 t_z) + 0,5544(21,951 + 0,001457 t_z)] = 24,160 + 0,00191 t_z;$$
$$(mc_p)_{t_0}^{t_z} = 24,160 + 0,00191 t_z + 8,315 = 32,475 + 0,00191 t_z;$$

nadduvlı dizelda

$$(mc_v'')_{t_0}^{t_z} = (1/0,8815) [0,0725(39,123 + 0,003349 t_z) + \\ + 0,063(26,67 + 0,004438 t_z) + 0,0728(23,723 + 0,00155 t_z) + \\ + 0,6732(21,951 + 0,001457 t_z)] = 23,847 + 0,00183 t_z; \\ (mc_p'')_{t_0}^{t_z} = 23,847 + 0,00183 t_z + 8,315 = 32,162 + 0,00183 t_z.$$

Issiqlikdan foydalanish koeffitsiyentini yonish kamerasi ajratilmagan, hajmiy aralashma hosil bo‘lishi yaxshi tashkil qilingan zamонавиy nadduvsiz dizellar uchun  $\xi_z=0,82$ , nadduvli dizelda esa detallarning issiqlikdan kuchlanganligi ortishi va yonish jarayoning kechishi uchun qulay sharoitlar yaratilishi tufayli  $\xi_z=0,86$  qabul qilish mumkin.

Dizelda bosimning ortish darajasi asosan yonilg‘ining siklaviy uzatilishiga bog‘liq. Krivoship-shatunli mexanizm detallariga gazdan ta’sir qiladigan yuklarni kamaytirish nuqtai nazaridan yonishning maksimal bosimi 11–12 MPa dan ortiq bo‘lmасligi maqsadga muvofiq bo‘ladi. Shularni hisobga olib nadduvsiz dizeл uchun  $\lambda=2,0$  va nadduvli dizeл uchun  $\lambda=1,5$  qabul qilamiz.

Asosiy yonish jarayoni oxirida harorat

$$\xi_z H_{ish.\,avrl.} + [(mc_v'')_{t_0}^{t_z} + 8,315 \lambda] t_z + 2270(\lambda - \mu) = \mu (mc_p'')_{t_0}^{t_z} t_z \dots$$

nadduvsiz dizelda

$$0,82 \cdot 58860 + [22,386 + 8,315 \cdot 2] \cdot 657 + 2270(2,0 - 1,044) = \\ = 1,044(32,475 + 0,00191 t_z) t_z$$

yoki

$$0,001994 t_z^2 + 33,904 t_z - 76069 = 0,$$

u yerdan

$$t_z = \frac{-33,904 + \sqrt{33,904^2 + 4 \cdot 0,001994 + 76069}}{2 \cdot 0,001994} = 2007 \text{ } ^\circ\text{C};$$

$$T_z = t_z + 273 = 2007 + 273 = 2280 \text{ K};$$

nadduvli dizelda

$$0,86 \cdot 48480 + [22,754 + 8,315 \cdot 1,5] \cdot 798 + 2270(1,5 - 1,036) = \\ = 1,036(32,162 + 0,00183 t_z) t_z$$

yoki

$$0,001896 t_z^2 + 33,320 t_z - 70860 = 0,$$

u yerdan

$$t_z = \frac{-33,32 + \sqrt{33,32^2 + 4 \cdot 0,001896 \cdot 70860}}{2 \cdot 0,001896} = 1919 \text{ } ^\circ\text{C};$$

$$T_z = t_z + 273 = 1919 + 273 = 2192 \text{ K.}$$

Yonishning maksimal bosimi:

nadduvlsiz dizelda  $p_z = \lambda p_s = 2,0 \cdot 4,462 = 8,924 \text{ MPa};$

nadduvli dizelda  $p_z = \lambda p_s = 1,5 \cdot 7,538 = 11,307 \text{ MPa.}$

Dastlabki kengayish darajasi

nadduvlsiz dizelda  $\rho = \mu T_z / (\lambda T_s) = 1,044 \cdot 2280 / (2,0 \cdot 930) = 1,28;$

nadduvli dizelda  $\rho = \mu T_z / (\lambda T_s) = 1,036 \cdot 2192 / (1,5 \cdot 1071) = 1,41.$

**Kengayish jarayoni.** Keyingi kengayish darajasi:

nadduvlsiz dizelda  $\delta = \alpha / \rho = 17 / 1,28 = 13,28;$

nadduvli dizelda  $\delta = \alpha / \rho = 17 / 1,41 = 12,06.$

Kengayish adiabatasi va politropasining o'rtacha ko'rsatkichilar dizellarda quyidagicha tanlanadi. Dvigatelning nominal ish rejimida kengayish politropasining ko'rsatkichi silindr o'lchamlarining yetarli darajada kattaligini hisobga olib, kengayish adiabatasing ko'rsatkichidan biroz kichikroq tanlanadi; adiabata ko'rsatkichi esa nomogrammadan (4.45-rasmga qarang) aniqlanadi.

Kengayish politropasining ko'rsatkichi:

nadduvlsiz dizelda  $\delta = 13,28, T_z = 2280 \text{ K}$  va  $\alpha = 1,4$  da  $k_2 = 1,2728$ , kengayish politropasi ko'rsatkichini  $p_2 = 1,260$  qabul qilamiz;

nadduvli dizelda  $\delta = 12,06, T_z = 2192 \text{ K}$  va  $\alpha = 1,7$  da  $k_2 = 1,2792$ ,  $p_2 = 1,267$  deb qabul qilamiz.

Kengayish oxirida bosim va harorat:

nadduvlsiz dizelda

$$p_e = p_z / \delta^{n_2} = 8,924 / 13,28^{1,26} = 0,342 \text{ MPa};$$

$$T_e = T_z / \delta^{n_2-1} = 2280 / 13,28^{1,26-1} = 1164 \text{ K};$$

$$\text{nadduvli dizelda } p_e = p_z / \delta^{n_2} = 11,307 / 12,06^{1,267} = 0,482 \text{ MPa};$$

$$T_e = T_z / \delta^{n_2-1} = 2192 / 12,06^{1,267-1} = 1129 \text{ K.}$$

Qoldiq gazlarning ilgari qabul qilingan haroratini tekshirish:  
nadduvlsiz dizelda

$$T_r = T_e / \sqrt[3]{p_e / p_r} = 1164 / \sqrt[3]{0,343 / 0,105} = 784 \text{ K};$$

$\Delta = 100(784 - 750) / 784 = 4,3\%$ , bu ruxsat etiladi;  
nadduvli dizelda

$$T_r = T_e / \sqrt[3]{p_e / p_r} = 1129 / \sqrt[3]{0,482 / 0,162} = 786 \text{ K};$$

$\Delta = 100(786 - 750) / 786 = 1,8\%$ , bu ruxsat etiladi.

**Ishchi siklning indikator parametrlari.** Nazariy o‘rtacha indikator bosim

$$p_i = \frac{p_c}{\varepsilon - 1} \left[ \lambda(\rho - 1) + \frac{\lambda \cdot \rho}{n_2 - 1} \left( 1 - \frac{1}{\varepsilon^{n_2-1}} \right) - \frac{1}{n_1 - 1} \left( 1 - \frac{1}{\varepsilon^{n_1-1}} \right) \right];$$

nadduvsiz dizelda

$$p_i = \frac{4,462}{17-1} \left[ 2(1,28-1) + \frac{2 \cdot 1,28}{1,26-1} \left( 1 - \frac{1}{13,28^{1,26-1}} \right) - \frac{1}{1,37-1} \left( 1 - \frac{1}{17^{1,37-1}} \right) \right] = 1,011 \text{ MPa};$$

nadduvli dizelda

$$p_i = \frac{7,538}{17-1} \left[ 1,5(1,41-1) + \frac{1,5 \cdot 1,41}{1,267-1} \left( 1 - \frac{1}{12,06^{1,267-1}} \right) - \frac{1}{1,362-1} \left( 1 - \frac{1}{17^{1,362-1}} \right) \right] = 1,266 \text{ MPa}.$$

O‘rtacha indikator bosim

nadduvsiz dizelda  $p_i = \varphi_u p_i = 0,95 \cdot 1,011 = 0,960 \text{ MPa}$ , bu yerda diagramma to‘liqligi koeffitsiyenti  $\varphi_u = 0,95$  qabul qilingan;

nadduvli dizelda  $p_i = \varphi_u p_i = 0,95 \cdot 1,266 = 1,203 \text{ MPa}$ .

Indikator f.i.k. dizellar uchun

$$\eta_i = p_i l_0 \alpha / (Hu \rho_k \eta_v)$$

nadduvsiz dizelda

$$\eta_i = 0,96 \cdot 14,452 \cdot 1,4 / (42,44 \cdot 1,189 \cdot 0,854) = 0,450;$$

nadduvli dizelda

$$\eta_i = 1,203 \cdot 14,452 \cdot 1,7 / (42,44 \cdot 1,641 \cdot 0,909) = 0,467.$$

Yonilg‘ining indikator solishtirma sarfi:

nadduvsiz dizelda

$$g_i = 3600 / (Hu \eta_i) = 3600 / (42,44 \cdot 0,45) = 189 \text{ g/(kVt · soat)};$$

nadduvli dizelda

$$g_i = 3600 / (Hu \eta_i) = 3600 / (42,44 \cdot 0,467) = 182 \text{ g/(kVt · soat)}.$$

**Dvigatelning effektiv ko'rsatkichlari.** Mexanik yo'qotish-larning o'rtacha bosimi

$r_m = 0,089 + 0,0118 v_{p.o.r} = 0,089 + 0,0118 \cdot 10,2 = 0,212 \text{ MPa}$ ,  
bu yerda porshenning o'rtacha tezligi  $v_{p.o.r}=10,2 \text{ m/s}$  qabul qilin-gan.

O'rtacha effektiv bosim va mexanik f.i.k.:

$$\text{nadduvlsiz dizelda } r_e = r_i - r_m = 0,960 - 0,212 = 0,748 \text{ MPa};$$

$$\eta_m = r_e / r_m = 0,748 / 0,96 = 0,779;$$

$$\text{nadduvli dizelda } r_e = r_i - r_m = 1,203 - 0,212 = 0,991 \text{ MPa};$$

$$\eta_m = r_e / r_m = 0,991 / 1,203 = 0,824.$$

Effektiv f.i.k. va yonilg'ining effektiv solishtirma sarfi:

$$\text{nadduvlsiz dizelda } \eta_e = \eta_i \cdot \eta_m = 0,45 \cdot 0,779 = 0,351;$$

$$g_e = 3600/(H_u \cdot \eta_e) = 3600/(42,44 \cdot 0,351) = 242 \text{ g/(kVt·soat)};$$

$$\text{nadduvli dizelda } \eta_e = \eta_i \cdot \eta_m = 0,467 \cdot 0,824 = 0,385;$$

$$g_e = 3600/(H_u \cdot \eta_e) = 3600/(42,44 \cdot 0,385) = 220 \text{ g/(kVt·soat)}.$$

**Silindr va dvigatelning asosiy parametrlari.** Dvigatel litrabi

$$V_1 = 30 \tau N_e / (p_e n) = 30 \cdot 4 \cdot 170 / (0,748 \cdot 2600) = 10,49 \text{ l.}$$

Silindrning ishchi hajmi

$$V_h = V_1 / i = 10,49 / 8 = 1,311 \text{ l.}$$

Dizel silindri diametri va porshen yo'li, odatda, porshen yo'lining silindr diametriga nisbati  $S/D \geq 1$  da tanlanadi. Dizelda  $S/D$  nisbatning kamaytirilishi, karbyuratorli dvigatellardagi kabi, porshen tezligini kamaytiradi va  $\eta_m$  ni oshiradi. Shuning uchun  $S/D=1$  ni qabul qilish maqsadga muvofiq bo'ladi:

$$D = 100^3 \sqrt{V_h / (\pi S / D)} = 100^3 \sqrt{4 \cdot 1,311 / (3,14 \cdot 1)} = 118,7 \text{ mm.}$$

qabul qilamiz  $D=S=120 \text{ mm.}$

$D$  va  $S$  ning qabul qilingan qiymatlari bo'yicha dvigatelning asosiy parametrlari va ko'rsatkichlari aniqlanadi:

$$V_1 = \pi D^2 S / (4 \cdot 10^6) = 3,14 \cdot 120^2 \cdot 8 / (4 \cdot 10^6) = 10,852 \text{ l};$$

$$V_1 = \pi D^2 / 4 = 3,14 \cdot 120^2 / 4 = 11300 \text{ mm}^2 = 113 \text{ sm}^2;$$

$$v_{p.o.r} = Sn / (3 \cdot 10^4) = 120 \cdot 2600 / (3 \cdot 10^4) = 10,4 \text{ v/c},$$

$v_{p.o.r} = 10,4 \text{ m/s}$  dastlab qabul qilingan  $v_{p.o.r} = 10,2 \text{ m/s}$  qiy-matga yetarli darajada yaqin, xatolik 2% dan kichik.

Dvigatelning asosiy effektiv ko'rsatkichlari:  
nadduvsiz dizel uchun

$$N_e = p_e V_1 n / (30 \tau) = 0,748 \cdot 10,852 \cdot 2600 / (30 \cdot 4) = 175,9 \text{ kVt};$$

$$M_e = 3 \cdot 10^4 \cdot N_e / (\pi n) = 30 \cdot 10^4 \cdot 175,9 / (3,14 \cdot 2600) = 646,4 \text{ n} \cdot \text{m};$$

$$G_{yo, soat} = N_e \cdot g_c = 175,9 \cdot 0,242 = 42,57 \text{ kg/soat};$$

$$N_1 = N_e / V_1 = 175,9 / 10,852 = 16,21 \text{ kVt/dm}^3;$$

nadduvsiz dizel uchun

$$N_e = p_e V_1 n / (30 \tau) = 0,991 \cdot 10,852 \cdot 2600 / (30 \cdot 4) = 233,0 \text{ kVt};$$

$$M_e = 3 \cdot 10^4 \cdot N_e / (\pi n) = 30 \cdot 10^4 \cdot 233,0 / (3,14 \cdot 2600) = 856,2 \text{ n} \cdot \text{m};$$

$$G_{yo, soat} = N_e \cdot g_e = 233,0 \cdot 0,220 = 51,26 \text{ kg/soat};$$

$$N_1 = N_e / V_1 = 233,0 / 10,852 = 21,47 \text{ kVt/dm}^3.$$

#### 7.4.2. Dizelning issiqlik balansi

*Yonilg'i bilan dvigatelga kiritilgan issiqlikning umumiy miqdori:*

nadduvsiz dizelda

$$Q_{yo} = H_u G_{yo} / 3,6 = 42400 \cdot 42,57 / 3,6 = 501850 \text{ Dj/s};$$

nadduvli dizelda

$$Q_{yo} = H_u G_{yo} / 3,6 = 42400 \cdot 51,26 / 3,6 = 604300 \text{ Dj/s}.$$

1 sekundda bajarilgan effektiv ishga ekvivalent issiqlik:

nadduvsiz dizelda

$$Q_e = 1000 N_e = 1000 \cdot 175,9 = 175900 \text{ Dj/s};$$

nadduvli dizelda

$$Q_e = 1000 N_e = 1000 \cdot 233,0 = 233000 \text{ Dj/s}.$$

Sovituvchi muhitga uzatiladigan issiqlik:

nadduvsiz dizelda

$$Q_s = c i D^{1+2m} n^m (1/\alpha) = 0,48 \cdot 8 \cdot 12,0^{1+2 \cdot 0,67} \cdot 2600^{0,67} (1/1,4) = \\ = 178460 \text{ Dj/s};$$

nadduvli dizelda

$$Q_s = c i D^{1+2m} n^m (1/\alpha) = 0,53 \cdot 8 \cdot 12,0^{1+2 \cdot 0,68} \cdot 2600^{0,68} (1/1,7) = \\ = 184520 \text{ Dj/s}.$$

bu yerda  $s$  – proportsionallik koeffitsiyenti (toʻrt taktli dvigatellar uchun  $s=0,45-0,53$ );  $i$  – silindrler soni;  $D$  – silindr diametri, sm;  $t$  – daraja koʻrsatkichi (toʻrt taktli dvigatellar uchun  $t=0,6-0,7$ );  $p$  – tirsakli valning aylanishlar chastotasi,  $\text{min}^{-1}$ .

Ishlangan gazlar bilan olib ketiladigan issiqlik (nadduvli dizelda ishlangan gazlar issiqligining bir qismi gazli turbinada foy-dalaniladi)

$$Q_r = (G_e / 3,6) [M_2 (mc_p)_{t_0}^{t_r} t_r - M_1 (mc_p)_{t_0}^{t_k} t_k];$$

nadduvlisiz dizelda

$$Q_g = (42,57 / 3,6) [0,7315 \cdot 31,892 \cdot 511 - 0,7 \cdot 29,09 \cdot 20] = 136150 \text{ Dj/s};$$

bu yerda

$$(mc_p)_{t_0}^{t_r} = (mc_v)_{t_0}^{t_r} + 8,315 = 23,577 + 8,315 = 31,892$$

$\text{Dj}/(\text{kmol} \cdot \text{grad})$ ;

$$(mc_v)_{t_0}^{t_r} = 23,577 - 3,6\text{-jadvaldan } \alpha=1,4 \text{ va } t_r=T_r-273=784-273=511^{\circ}\text{S};$$

$$(mc_p)_{t_0}^{t_k} = (mc_v)_{t_0}^{t_k} + 8,315 = 20,775 + 8,315 = 29,090$$

$\text{Dj}/(\text{kmol} \cdot \text{grad})$ ;

$$(mc_v)_{t_0}^{t_k} = 20,775 - 3,6\text{-jadvaldan } t_k=T_k-273=293-273=20^{\circ}\text{C da}$$

«Havo» grafigidan aniqlangan;

nadduvli dizelda

$$Q_g = (51,26 / 3,6) [0,8815 \cdot 31,605 \cdot 513 - 0,85 \cdot 29,144 \cdot 88] = 164770 \text{ Dj/s}$$

bu yerda

$$(mc_p)_{t_0}^{t_r} = (mc_v)_{t_0}^{t_r} + 8,315 = 23,290 + 8,315 = 31,605$$

$\text{Dj}/(\text{kmol} \cdot \text{grad})$ ;

$(mc_v)_{t_0}^{t_r} = 23,290 - 3,6\text{-jadvaldan } \alpha=1,7 \text{ va } t_r=T_r-273=786-273=513^{\circ}\text{C da interpolyatsiya metodi bilan aniqlangan};$

$$(mc_p)_{t_0}^{t_k} = (mc_v)_{t_0}^{t_k} + 8,315 = 20,829 + 8,315 = 29,144$$

$\text{Dj}/(\text{kmol} \cdot \text{grad})$ ;

$$(mc_v)_{t_0}^{t_k} = 20,829 - 3,3\text{-jadvaldan } t_k=T_k-273=361-273=88^{\circ}\text{Cda}$$

«Havo» grafigidan aniqlangan;

Hisobga olinmagan issiqlik yo‘qotishlar

$$Q_{qol} = Q_{yo} - (Q_e + Q_s + Q_g);$$

nadduvlsiz dizelda

$$Q_{qol} = 501850 - (175900 + 178460 + 136450) = 11340 \text{ Dj/s};$$

nadduvli dizelda

$$Q_{qol} = 604300 - (233000 + 184520 + 164770) = 22010 \text{ Dj/s}.$$

Issiqlik balansining tashkil etuvchilari 7.10-jadvalda keltirilgan.

7.10-jadval

Issiqlik balansining tashkil etuvchilari	Nadduvlsiz dizel		Nadduvli dizel	
	Q, Dj/s	q, %	Q, Dj/s	q, %
Effektiv ishga ekvivalent issiqlik	175900	35,1	233000	38,6
Sovituvchi muhitga uzatiladigan issiqlik	178460	35,6	184520	30,5
Ishlangan gazlar bilan olib ketildigan issiqlik	136150	27,1	164770	27,3
Hisobga olinmagan issiqlik yo‘qotishlar	11340	2,2	22010	3,6
Dvigatelga yonilg‘i bilan kiritilgan issiqlikning umumiy miqdori	501850	100,0	604300	100,0

---

## VIII BOB. ICHKI YONUV DVIGATELLARINING XARAKTERISTIKALARI

### 8.1. Ijodlarining ish rejimlari

Ijodlari sanoat, qurilish, qishloq xo‘jaligi va transportning turli jahbalarida qo‘llaniladi. Bu issiqlik dvigatellari ishlab chiqaradigan energiyadan iste’mol qilinayotgan quvvatning o‘zgarish tavsifi turli bo‘lgan iste’molchilar foydalanishadi, iste’mol qilinayotgan quvvat o‘zgarishining tavsifi esa issiqlik dvigateli vazifasi bilan belgilanadi. Statsionar ichki yonuv dvigatellari tashqi yukning istalgan o‘zgarishida qat’iy muayyan aylanishlar chastotasida ishlaydi. Statsionar dvigatellardan farqli ravishda avtomobil va qisman traktor dvigatellari yuk va valning aylanishlar chastotasi keng diapazonda o‘zgaradigan ekspluatatsiya sharoitlarida ishlashadi. Bu o‘zgarishlar diapazoni dvigatel ishlasining ruxsat etiladigan sharoitlari bilan belgilanadi va turli omillar: dvigatel detallarining issiqlik va mexanik kuchlanganligi, ishchi jarayonning kechish sharoitlari va boshqalar bilan cheklanishi mumkin. Minimal ruxsat etiladigan tezlik rejimi dvigatel barqaror ishlashi shartlari bilan belgilanadi.

**Dvigatelning ish rejimi** – bu dvigatel ma’lum quvvat, tejamkorlik va ekologik ko‘rsatkichlariga ega bo‘lishini ta’minlovchi ishchi jarayon parametrлари, tashqi muhit omillари va tashqi yuk majmuidir.

Dvigatel va uning holatini baholash uchun  
rejim  $n$ ,  $N_e$ ,  $p_e$ ,  $\eta_v$ ,  $G_{yo.sikl}$  va boshqa;  
rostlovchi  $\alpha$ ,  $\varphi_{o.o.i.b.}$ ,  $\varphi_{yo.p.i.b.}$ ,  $\varphi_{yo.p.}$ ,  $p_k$  va boshqa  
parametrlardan foydalanishadi.

Iyod ko‘rsatkichlarining, qolgan parametrлари o‘zgarmas bo‘lganda, bir yoki bir necha parametrлarga bog‘liqligining grafik ifodasi *dvigatel xarakteristikasi* deyiladi. Iyod xarakteristikalarini bo‘yicha uning ekspluatatsion sifatlari, ishchi jarayon va kons-

truksiyasining takomilligi darjasи, rostlanishlarning to‘g‘riligi hamda dvigatelning u yoki bu vazifaga mosligi baholanadi.

Dvigatel xarakteristikalari dvigatelning barqaror ish rejimlarida aniqlanadi. Barqaror rejim dvigatel quvvati  $N_e$  va iste’molchi (qarshilik) quvvati  $N_q$  bilan tavsiflanadi, ya’ni

$$N_e - N_q = 0; \frac{dN_e}{dt} = \frac{dN_q}{dt} = 0.$$

Dvigatel salt ishi rejimi indikator quvvati  $N_e$  va mexanik yo‘qotishlar quvvati  $N_m$  tengligi  $N_e = N_m$  bilan tavsiflanadi.

Dvigatel xarakteristikalari maxsus stendlarda rejimlarning hamma diapazonlarida eksperimental aniqlanadi. Bunday stendlar *tormoz stendlari* deb ataladi. Ular dvigatel asosiy ko‘rsatkichlari va ish rejimining parametrlarini o‘lchash vositalari bilan jihozlangan bo‘lishi kerak. Stend sinovlari metodlari standartlashtirilgan.

Avtomobil va traktor dvigatellari uchun yuk va tirsakli valning aylanishlar chastotasi har xil bo‘lganda effektiv quvvatning qiymatlari katta ahamiyatga ega. Bunda har bir aylanishlar chastotasi uchun maksimal effektiv quvvat alohida ahamiyatga ega, chunki ular qolgan sharoitlar bir xil bo‘lganda avtomobil yoki traktorning dinamik sifatlarini belgilaydi. Yuk to‘liq bo‘lganda effektiv quvvatlarga mos yonilg‘ining bir saatdagи yoki solish-tirma sarflari dvigatelning iqtisodiy ko‘rsatkichlarini aniqlaydi.

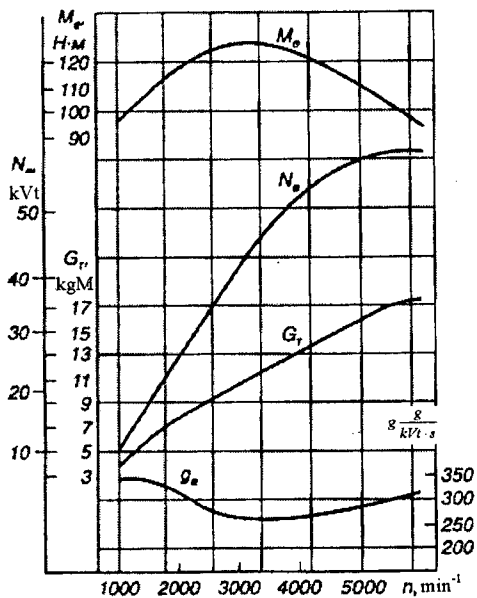
Shunday qilib, avtomobil va traktor uchun effektiv quvvatning eng katta qiymatlari va ularga mos dvigatelning to‘liq yuki va har xil aylanishlar chastotasidagi yonilg‘i sarfi eng ahamiyatli ko‘rsatkichlardir.

## 8.2. Tezlik xarakteristikalari

Asosiy parametrlar – effektiv quvvat (yoki burovchi moment) va yonilg‘i sarfining, ba’zan esa, boshqa parametrlarning ham – tirsakli val aylanishlar chastotasiga bog‘liqligining grafik ifodasi *dvigatelning tezlik xarakteristikasi* deyiladi. Yer usti transporti tizimlari uchun tezlik xarakteristikasi asosiy xarakteristika hisoblanadi. Tezlik xarakteristikasi quvvat, burovchi moment, yonilg‘i

sarfi va boshqa parametrlarning o‘zgarishini tirsakli val aylanishlar chastotasi bo‘yicha o‘zgarishini ko‘rsatadi. Yonilg‘i uzatuvini boshqaruvchi organ holatiga qarab tashqi va qisman tezlik xarakteristikalarini farqlashadi.

Drossel to‘sig‘i ochilganda (benzinli dvigatel) yoki yonilg‘i nasosi reykasingin nominal quvvatga mos holatida (dizel) olingan tezlik xarakteristikasi – *tashqi tezlik xarakteristikasi* deyiladi. Tashqi tezlik xarakteristikasi dvigatel to‘liq yukda ishlaganida uning quvvat, tejamkorlik, dinamik va ekspluatatsion ko‘rsatkichlarini tahlil qilish va baholash imkonini beradi.

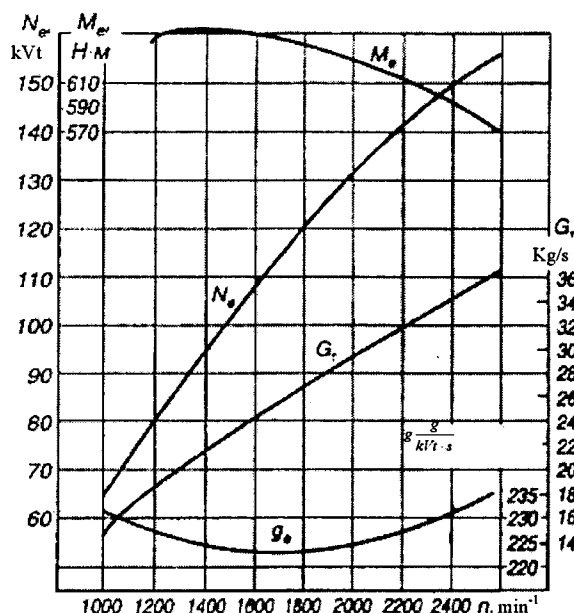


8.1-rasm. Karbyuratorli dvigatelning tezlik xarakteristikasi.

Drossel to‘sig‘i to‘liq ochilmagand a (benzinli dvigatel) yoki yonilg‘i nasosining reykasi qisman (noto‘liq) quvvatga ega bo‘lgan holatda olingan dvigatelning istalgan tezlik xarakteristikasi – *qisman tezlik xarakteristikasi* deyiladi. Bunday xarakteristikalaridan yuk qisman bo‘lganda dvigatel ishiga qator omillarning (o‘t oldirish ilgariligi burchagi, yonilg‘i purkash ilgariligi burchagi va

uning davomiyligi, aralashma tarkibi, minimal barqaror aylanishlar chastotasi va sh. k.lar) ta'sirini o'rganishda foydalanishadi; bu xarakteristikalar dvigatelning quvvat va tejamkorlik ko'rsatkichlarini yaxshilash yo'lini belgilash imkonini beradi.

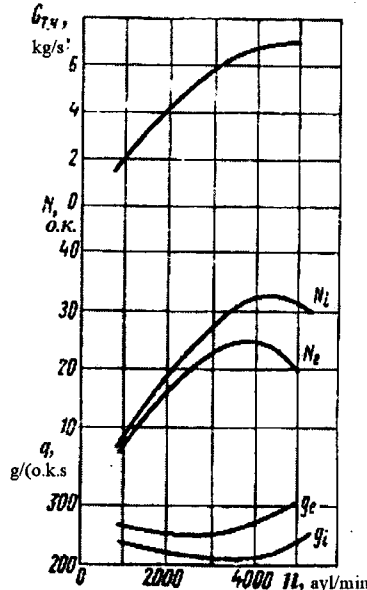
8.1-rasmda benzinli dvigatelning, 8.2-rasmda esa dizelning tashqi tezlik xarakteristikalari keltirilgan. Tashqi tezlik xarakteristikasi dvigatel ish rejimlari maydonining yuqori chegarasini ifodaydi.



8.2-rasm. Dizelning tezlik xarakteristikasi.

**Benzinli dvigatellarning tashqi tezlik xarakteristikalari.** Dvigatel tashqi tezlik xarakteristikasi bilan belgilanadigan quvvat egri chizig'i o'zgarishining tavsifi yuk to'liq bo'lgandan valning har xil aylanishlar chastotasida indikator quvvat va mexanik yo'qotishlar quvvati hamda yonilg'inining bir soatdagi sarfi o'zgarishlariga bog'liq.

To‘liq yukda ishlayotgan dvigatel yonilg‘isining bir soatdagи sarfi  $G_{yo,soats}$  indikator  $w_i$  va effektiv  $w_e$  quvvatlari hamda ularga mos yonilg‘ining solishtirma sarflari  $g_i$  va  $g_e$  larni ifodalovchi egri chiziqlar 8.3-rasmda keltirilgan. Indikator quvvat  $w_i$  maksimal qiymatga taxminan  $4500 \text{ min}^{-1}$  aylanishlar chastotasida erishadi.



8.3-rasm. Karbyuratorli dvigatelning tashqi tezlik xarakteristikasi.

Indikator quvvatdan effektiv quvvatga o‘tish uchun mexanik yo‘qotishlarni hisobga olish lozim, ular esa aylanishlar chastotasi ortishi bilan ko‘payib boradi. Mexanik yo‘qotishlar mavjudligi tufayli effektiv quvvat indikator quvvatdan kam, yonilg‘ining solishtirma effektiv sarfi esa mos indikator sarfdan ko‘p bo‘ladi. effektiv quvvat  $N_e$  maksimal qiymatga yetgandagi aylanishlar chastotasi *nominal*  $n_e$  deb ataladi. Bu aylanishlar chastotasi indikator quvvat maksimal qiymatga erishadigan aylanishlar chastotasidan taxminan 20% kichikroq bo‘ladi, chunki katta aylanishlar chastotasida mexanik yo‘qotishlar sezilarli darajada ortib ketadi.

Bu dvigatelda yonilg‘ining solishtirma effektiv sarfi 250–280 g/(e·kVt·soat) oralig‘ida o‘zgaradi. Nominal aylanishlar chastotasing taxminan yarmiga teng bo‘lgan o‘rtacha aylanishlar chastotasida yonilg‘ining solishtirma effektiv sarfi ge eng kam bo‘ladi. Kichik aylanishlar chastotasida yonilg‘ining solishtirma (indikator va effektiv) sarfining ortishiga sabab – yonilg‘ining sekin yonishi va devorlarga issiqlik uzatilishi (yo‘qotilishi)ning ortishida, katta aylanishlar chastotasida ularning ortishi esa asosan nasos va mexanik yo‘qotishlari hisobiga bo‘ladi. shu sababli katta aylanishlar chastotasida solishtirma effektiv sarf indikator sarfga nisbatan tezroq ortadi.

### Dvigatelning qisman tezlik xarakteristikalari

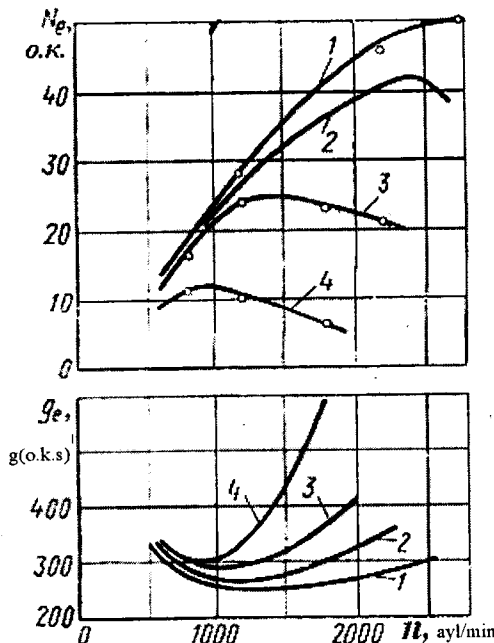
Har bir qisman tezlik xarakteristika ma’lum yukga, ya’ni drossel to‘sig‘i yoki nasos reykasining muayyan holatiga mos keladi, natijada bu xarakteristikalar soni istalgancha, tashqi tezlik xarakteristikasi esa faqat bitta bo‘ladi. Benzinli dvigatellar drossel to‘lig‘icha ochiq bo‘lmagan holda ishlaganda sikl bosimlari pasayadi, yonishda ajralib chiqadigan issiqlik kamayadi va yonish sekin boradi, nasos, issiqlik va mexanik yo‘qotishlarning nisbiy miqdori ortadi va natijada tezlik xarakteristikalarining xarakteri o‘zgaradi.

8.4-rasmda dvigatelning tashqi tezlik xarakteristikasi (1-chiziq) va uchta qisman tezlik xarakteristikalar (2, 3 va 4-chiziqlar), ya’ni drossel 100, 60, 40 va 20% ochiq bo‘lganda effektiv quvvatlar va ularga mos yonilg‘ining effektiv solishtirma sarflari keltirilgan. Drossel to‘sig‘i berkilib borgani sari sikl bosimlari pasayib va yuqorida qayd qilingan yo‘qotishlarning nisbiy qiymatlari ortib boradi.

Shu sababli drossel to‘sig‘i berkilib borgani sari effektiv quvvatlarning maksimal qiymatlari kichik aylanishlar chastotasi tomon surilib boradi, yonilg‘ining effektiv solishtirma sarfi esa tezroq ko‘payib boradi.

Dizellar nominal aylanishlar chastotasi  $n_{pe2}$  ni belgilovchi regulyatorlar bilan ishlaydi, bu aylanishlar chastotasida effektiv

quvvat maksimal qiymatga erishadi. Yuk kamaygani sari dizel tobora kambag‘alroq aralashmada ishlaydi, buning oqibatida silindrлardagi gazlarning haroratlari pasayadi, issiqlik yo‘qotilishi kamayadi, nasos yo‘qotishlar esa deyarli o‘zgarmaydi. Lekin benzinli dvigatellardagiga nisbatan dizellardagi mexanik yo‘qotishlarning nisbiy miqdori ortadi va natijada kichik yuklarda dizelning yonilg‘i tejamkorligi biroz yomonlashadi.



8.4-rasm. Valning har xil aylanishlar chastotasida effektiv quvvatlar va ularga mos yonilg‘ining effektiv solishtirma sarflari.

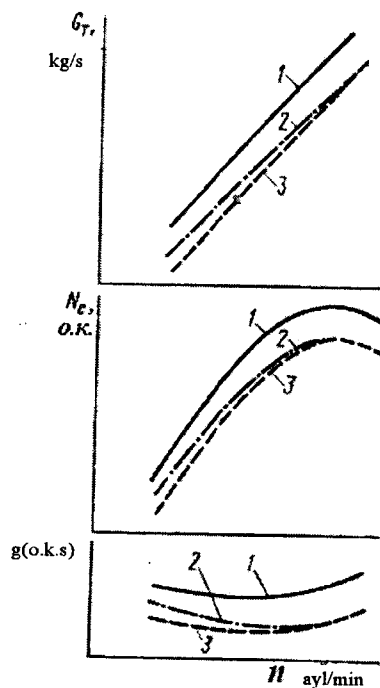
**Dizellarning tashqi tezlik xarakteristikalarini.** Hozirgi paytda dizellar yuk avtomobilariiga va avtobuslarga, ba’zi hollarda esa yengil avtomobilarga ham, o‘rnatalmoqda. Dizellarda yonilg‘ining solishtirma sarfi nominal rejimda benzinli dvigatellardagiga nisbatan 20–30% kam va yuk kamayganda bu sarf benzinli dvigatellardagi kabi keskin ortmaydi.

Traktor dizellarining ish rejimi avtomobil dizellarinikiga nisbatan ancha og'ir, chunki ular ishning ko'p vaqtida deyarli to'liq yuk ostida ishlaydi, bunda aylanishlar chastotasi nominalga yaqin bo'ladi.

Yuqorida qayd qilinganidek, dizellarda havo ortiqligi koefitsiyenti katta bo'ladi, natijada ulardag'i effektiv bosim benzinli dvigatellardagiga nisbatan kichik bo'ladi.

Dizellarda yonilg'i nasosi reykasing o'matilishi bo'yicha uch xil tezlik xarakteristikalari olinishi mumkin.

1. Chegaraviy (absolyut) tezlik xarakteristika. Valning har bir aylanishlar chastotasida yonilg'i nasosining reykasini eng katta effektiv quvvat olinishini ta'minlaydigan holatga o'matilganida bunday xarakteristika olinadi (8.5-rasm, 1-chiziqlar).



8.5-rasm. Dizelning tashqi tezlik xarakteristikalari.

Ekspluatatsiya sharoitida dizelning chegaraviy xarakteristika bo'yicha uzoq vaqt ishlashi ruxsat etilmaydi, chunki bunda yonish kamerasida so'xta qatlami hosil bo'ladi, dizel qizib ketadi va quyuq tutun chiqa boshlaydi.

Chegaraviy xarakteristikaniнг аhamiyati shundaki, u dizelning maksimal quvvat ko'rsatkichlarini aniqlash imkonini beradi.

2. Tutash chegarasi bo'yicha tezlik xarakteristika. Bu tezlik xarakteristikasi ham dizelni sinash yo'li bilan aniqlanadi; har bir aylanishlar chastotasi uchun yonilg'i nasos reykasi (maksimalga yaqin) shunday holatga o'matiladiki, unda chiquvchi gazlar biroz tutun hosil bo'ladi; bunda dizel oldingiga nisbatan sezilarli darajada tejamkor ishlaydi. Yonilg'ining bunday siklaviy sarfini korrektor ta'minlaydi; u yonilg'i sarfi 12–20% gacha kamayadi. Mos ravishda yonilg'ining 1 soatdagi va solishtirma sarflari va effektiv quvvat kamayadi (8.5-rasm, 2-chiziqlar), dizelda issiqlikdan foydalanish yaxshilanadi.

3. Tashqi ekspluatatsion tezlik xarakteristika. Bu xarakteristikani olish uchun dizel, regulator bilan aniqlanadigan, nominal aylanishlar chastotasida sinaladi, yonilg'i nasosining reykasi esa chiquvchi gazlarda bilinar-bilinmas tutun hosil bo'ladi dan holatga tutash chegarasi bo'yicha tezlik xarakteristikasi olingan holatga o'rnatiladi, shuning uchun nominal aylanishlar chastotasi ikkala xarakteristikada quvvat va unga mos yonilg'i sarflari bir-biriga teng bo'ladi.

Keyinchalik reykaning holati o'zgartirilmasdan dizel har xil aylanishlar chastotasida sinaladi. Bunda valning aylanishlar chastotasi kamaygani sari dizel silindrlariga kiradigan havo miqdori ko'payib boradi, aralashma yanada kambag'allashib boradi. Buning natijasida quvvat pasayadi, yonilg'ining 1 soatdagi va solishtirma sarflari kamayadi (8.5-rasm, 3-chiziqlar), bu esa dizel ekspluatatsiya sharoitida tejamliroq ishlashidan dalolat beradi.

### **8.3. Tezlik xarakteristikasini hisoblash**

Dvigatelning bir ish rejimi – maksimal quvvat rejimi uchun bajarilgan issiqlik hisobi natijalari bo'yicha empirik bog'lanish-

lardan foydalanib yetarli darajada aniqlikda tashqi tezlik xarakteristikani qurish mumkin.

Tezlik xarakteristikasi:

- benzinli dvigatellar uchun  $n_{\min} = 600 - 1000 \text{ min}^{-1}$  dan  $n_{\max} = (1,05 \dots 1,20)n_N$  gacha;
- dizellar uchun  $n_{\min} = 300 - 800 \text{ min}^{-1}$  dan  $n_N(n_{\text{reg}})$  gacha oraliqda quriladi.

Tirsakli valning maksimal aylanishlar chastotasi ishchi jaryayonning sifatlari borishi sharoitlari, detallarining termik kuchlanganligi, inertsion kuchlarning ruxsat etilgan qiymati va h.k.; minimal aylanishlar chastotasi esa – to‘liq yukda dvigatel barqaror ishlash sharoitlari bilan aniqlanadi.

Effektiv quvvat egri chizig‘ining hisobiy nuqtalari quyidagi empirik bog‘lanishlar bo‘yicha  $500 - 1000 \text{ min}^{-1}$  oraliqda aniqlanadi:

benzinli dvigatellar uchun

$$N_{ex} = N_e \frac{n_x}{n_N} \left[ 1 + \frac{n_x}{n_N} - \left( \frac{n_x}{n_N} \right)^2 \right]; \quad (8.1)$$

yonish kamerasi ajratilmagan dvigatellar uchun

$$N_{ex} = N_e \frac{n_x}{n_N} \left[ 0,87 + 1,13 \frac{n_x}{n_N} - \left( \frac{n_x}{n_N} \right)^2 \right]; \quad (8.2)$$

old kamerali dizellar uchun

$$N_{ex} = \frac{n_x}{n_N} \left[ 0,6 + 1,4 \frac{n_x}{n_N} - \left( \frac{n_x}{n_N} \right)^2 \right]; \quad (8.3)$$

uyurma kamerali dizellar uchun

$$N_{ex} = \frac{n_x}{n_N} \left[ 0,7 + 1,3 \frac{n_x}{n_N} - \left( \frac{n_x}{n_N} \right)^2 \right]. \quad (8.4)$$

(8.1)- (8.4) formulalarda:

$N_e$  va  $n_N$  – nominal effektiv quvvat ( $\text{kVt}$ ) va ushbu quvvatda tirsakli valning aylanishlar chastotasi ( $\text{min}^{-1}$ );

$N_{ex}$  va  $n_x$  – dvigatel tezlik xarakteristikasining muayyan

nuqtasida effektiv quvvat ( $kVt$ ) va tirsakli valning aylanishlar chastotasi ( $\text{min}^{-1}$ ).

Hisoblangan qiymatlar bo'yicha effektiv quvvat grafigi  $\mu_N$  ( $\text{kVt}/\text{mm}$ ) mashtabda quriladi.

Effektiv burovchi moment  $M_e$  ( $\text{N}\cdot\text{m}$ ) quyiladagi formula bo'yicha hisoblanadi

$$M_{ex} = 3 \cdot 10^4 N_{ex} / (\pi n_x). \quad (8.5)$$

$\mu_N$  [ $\text{N}\cdot\text{m}/\text{mm}$ ] mashtabda qurilgan burovchi moment grafigi  $\mu_p$  [ $\text{MPa}/\text{mm}$ ] mashtabda o'rtacha effektiv bosim  $r_e$  ni ham ifodaydi.

$$\mu_p = \mu_N \pi \tau / (10^3 \cdot V_1). \quad (8.6)$$

O'rtacha effektiv bosim  $r_s$  ( $\text{MPa}$ ) qiymatini  $M_{ex}$  egri chizig'idan yoki quyidagi ifodadan aniqlash mumkin

$$p_{ex} = N_{ex} 30 \tau / (V_1 \cdot n_x). \quad (8.7)$$

O'rtacha indikator bosim  $p_i$  ( $\text{MPa}$ )ni quyidagi formula bo'yicha hisoblashadi

$$p_{ix} = p_{ex} + p_{mx}, \quad (8.8)$$

bu yerda  $r_{mx}$  – mexanik yo'qotishlar o'rtacha bosimi [ $\text{MPa}$ ], dvigatel turi va konstruktsiyasiga qarab (6.12) – (6.18) formulalar bo'yicha aniqlanadi.

$\mu_{p_i}$  mashtabida qurilgan o'rtacha indikator bosim grafigi  $\mu_N$  [ $\text{N}\cdot\text{m}/\text{mm}$ ] mashtabida indikator burovchi momentni ham ifodaydi:

$$\mu_{p_i} = \mu_p \cdot 10^3 \cdot V_1 / (\pi \tau). \quad (8.9)$$

Indikator burovchi moment qiymatlarini  $p_{ix}$  grafigi bo'yicha yoki quyidagi ifodadan aniqlash mumkin

$$M_{ix} = p_{ix} \cdot V_n \cdot 10^3 / (\pi \tau). \quad (8.10)$$

Yonilg'inining solishtirma effektiv sarfi [ $\text{g}/(\text{kVt}\cdot\text{soat})$ ]:  
benzinli dvigatellar uchun

$$g_{ex} = g_{eN} [1,2 - 1,2 n_x / n_N + (n_x / n_N)^2]; \quad (8.11)$$

Ajratilmagan yonish kamerali dizellar uchun

$$g_{ex} = g_{eN} [1,55 - 1,55 n_x / n_N + (n_x / n_N)^2], \quad (8.12)$$

bu yerda  $g_{eN}$  – nominal quvvatda yonilg‘ining solishtirma effektiv sarfi,  $g/(kVt\cdot soat)$ .

Yonilg‘ining 1 soatdagi sarfi,  $kg/soat$

$$G_{ex} = g_{ex} N_{ex} \cdot 10^{-3}. \quad (8.13)$$

To‘lish koeffitsiyentini aniqlash uchun  $\alpha$  ning aylanishlar chastotasi bo‘yicha o‘zgarish qonunini berish lozim. Benzinli dvigatellar uchun minimal tezlik rejimidan boshqa hamma tezlik rejimlari uchun yetarli darajada aniqlikda  $\alpha$  ni o‘zgarmas deb qabul qilish mumkin. Minimal aylanishlar rejimida  $p_1=p_{min}$  aralashma nominal aylanishlar chastotasidagiga nisbatan boyroq, ya’ni  $\alpha_{n_{min}} < \alpha_{n_N}$  olish lozim.

Dizellar tezlik xarakteristika bo‘yicha ishlaganda aylanishlar chastotasi ortganda  $\alpha$  ning qiymati biroz kattalashadi. Yonilg‘i bevosita purkaladigan to‘rt taktli dizel uchun  $\alpha_{n_{min}} = (0,7 - 0,8) \alpha_{n_N}$  qabul qilish mumkin.

Qabul qilingan  $\alpha$  ning o‘zgarish qonunida to‘lish koeffitsiyenti

$$\eta_{v_x} = p_{ex} \cdot l_0 \cdot \alpha_x \cdot g_{ex} / (3600 \cdot \rho_x). \quad (8.14)$$

Tezlik xarakteristikasidan *moslanuvchanlik koeffitsiyenti*  $K$  aniqlanadi; u maksimal burovchi moment  $M_{e\max}$  ning nominal quvvatdagi burovchi moment  $M_{eN}$  ga nisbatiga teng:

$$K = M_{e\max} / M_{eN}. \quad (8.15)$$

Bu koeffitsiyent tashqi yuk o‘zgarishiga dvigatel moslashuvchanligini baholash uchun xizmat qiladi va dvigatelning qisqa muddatli ortiqcha yuklarni engib o‘tishi qobiliyatini tavsiflaydi. Benzinli dvigatellar uchun  $K=1,20-1,35$ ; dizellarda burovchi moment grafigi ancha yotiq bo‘ladi va moslanuvchanlik koefitsiyenti  $K=1,05-1,20$  oraliqda bo‘ladi.

### 8.3.1. Benzinli dvigatellar tashqi tezlik xarakteristikalarini hisoblash

To'rt tezlik rejimida benzinli dvigatellar uchun bajarilgan issiqlik hisoblari (7.2 ga qarang) asosida olingan tashqi tezlik xarakteristikalari (8.6- va 8.7-rasmlar) qurish uchun zarur bo'lgan parametrlarning qiymatlari 8.1-jadvalda keltirilgan.

8.1-jadval

Tirsakli val aylanishlar chastotasi, $\text{min}^{-1}$	Tashqi tezlik xarakteristika parametrlari					
	$N_e$ , kVT	$g_e$ , g/(kVT-soat)	$M_e$ , N·m	$G_{yo}$ , kg/soat	$\eta_V$	$\alpha$
Karbyuratorli dvigatel						
1000	12,70	284	121,3	3,607	0,8744	0,86
3200	42,77	264	127,7	10,864	0,9167	0,96
5600	60,42	301	103,1	18,186	0,8784	0,96
6000	60,14	318	95,8	19,125	0,8609	0,96
Yonilg'i purkaladigan dvigatel						
900	14,65	206	155,4	3,018	0,8720	0,96
4000	70,59	199	168,5	14,047	0,9519	1,00
7000	110,87	224	151,2	24,835	0,9610	1,00
8000	110,83	244	139,5	26,170	0,9465	0,98

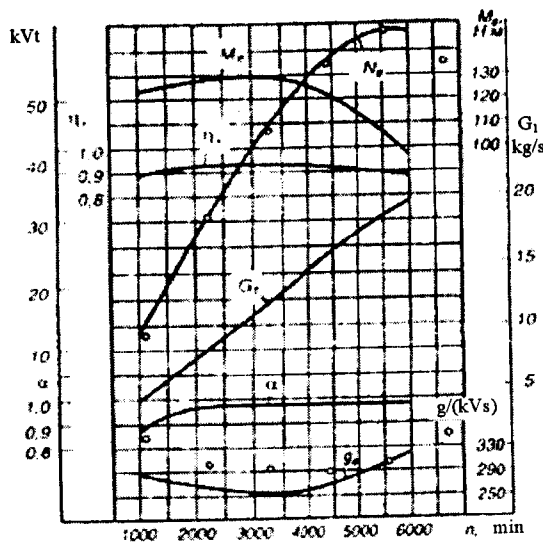
Tezlik xarakteristikalari bo'yicha moslashuvchanlik koeffitsiyenti:

karbyuratorli dvigatel uchun

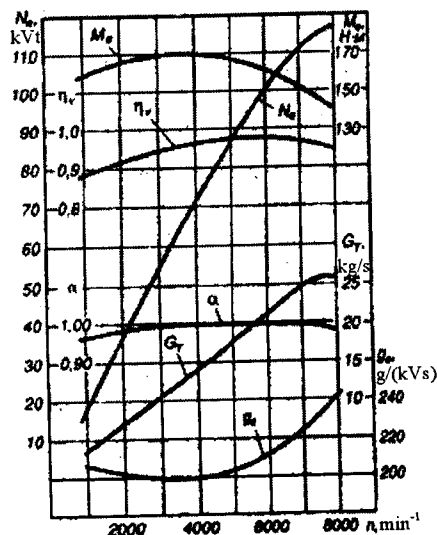
$$K = M_{e_{\max}} / M_{e_N} = 128 / 103 = 1,24;$$

yonilg'i purkaladigan dvigatel uchun

$$K = M_{e_{\max}} / M_{e_N} = 168,5 / 151,2 = 1,114.$$



8.6-rasm. Karbyuratorli dvigatelning tashqi tezlik xarakteristikasini qurish.



8.7-rasm. Yonilg'i purkaladigan dvigatelning tashqi tezlik xarakteristikasini qurish.

### **8.3.2. Dizel tashqi tezlik xarakteristikasini hisoblash**

Nominal quvvat rejimi uchun o'tkazilgan issiqlik hisobi asosida dizelning tashqi tezlik xarakteristikasini hisoblash va qurish uchun zarur bo'lgan quyidagi parametrlar olingan:

a) nadduvtsiz dizel uchun – effektiv quvvat  $N_e=175,9 \text{ kVt}$ ; maksimal quvvatda tirsakli valning aylanishlar chastotasi  $n_N=2600 \text{ min}^{-1}$ ; dvigatel taktiligi  $\tau=4$ ; litraj  $V_1=10,852 \text{ l}$ ; porshen yo'li  $S=120 \text{ mm}$ ; 1 kg yonilg'i yonishi uchun zarur bo'lgan havoning nazariy miqdori  $l_0=14,452 \text{ kg havo/kg yonilg'i}$ ; kirishda zaryad zichligi  $\rho_k=1,189 \text{ kg/m}^3$ ; havo ortiqligi koefitsiyenti  $\alpha_N=1,4$ ; yonilg'inining solishtirma effektiv sarfi  $g_{eN}=242 \text{ g/(kVt·soat)}$ ;

b) nadduvli dizel uchun – effektiv quvvat  $N_e=233,0 \text{ kVt}$ ; maksimal quvvatda tirsakli valning aylanishlar chastotasi  $n_N=2600 \text{ min}^{-1}$ ; dvigatel taktiligi  $\tau=4$ ; litraj  $V_1=10,852 \text{ l}$ ; porshen yo'li  $S=120 \text{ mm}$ ; 1 kg yonilg'i yonishi uchun zarur bo'lgan havoning nazariy miqdori  $l_0=14,452 \text{ kg havo/kg yonilg'i}$ ; kirishda zaryad zichligi  $\rho_k=1,641 \text{ kg/m}^3$ ; havo ortiqligi koefitsiyenti  $\alpha_N=1,7$ ; yonilg'inining solishtirma effektiv sarfi  $g_{eN}=220 \text{ g/(kVt·soat)}$ .

**Tezlik xarakteristikasining hisobiy nuqtalari.** Qabul qilamiz:  $n_{\min}=600 \text{ min}^{-1}$ ;  $n_x=1000, 1500, 2000, 2500 \text{ min}^{-1}$  va  $n_N=2600 \text{ min}^{-1}$ .

Hamma hisobiy ma'lumotlar 8.2-jadvalga yoziladi.

Hisobiy nuqtalarda quvvat, kVt:

$$N_{e_x} = (N_e \cdot n_x / n_N) [0,87 + 1,13n_x / n_N - (n_x / n_N)^2];$$

nadduvtsiz dizel uchun

$$N_{e_x} = (175,9 n_x / 2600) [0,87 + 1,13n_x / 2600 - (n_x / 2600)^2];$$

nadduvli dizel uchun

$$N_{e_x} = (233,0 n_x / 2600) [0,87 + 1,13n_x / 2600 - (n_x / 2600)^2].$$

Effektiv burovchi moment, N·m

$$M_{e_x} = N_{e_x} \cdot 3 \cdot 10^4 / (\pi n_x) = 9554 N_{e_x} / n_x.$$

O'rtacha effektiv bosim, MPa

$$p_{e_x} = N_{e_x} 30 \tau / (V_1 n_x) = 30 \cdot 4 N_{e_x} / (10,852 n_x) = 11,058 N_{e_x} / n_x.$$

Havo ortiqligi koefitsiyenti. Quyidagicha qabul qilamiz:

nadduvlsiz dizel uchun  $\alpha_{n_{min}} = 0,86 \cdot \alpha_N = 0,86 \cdot 1,4 \approx 1,2$ ;

nadduvli dizel uchun  $\alpha_{n_{min}} = 0,74 \cdot \alpha_N = 0,74 \cdot 1,7 \approx 1,25$ .

To‘g‘ri chiziq bilan  $\alpha_{n_{min}}$  va  $\alpha_N$  nuqtalarni birlashtirib (8.8, a, b-rasm) nadduvlsiz va nadduvli dizellarning hamma hisobiy nuqtalari uchun  $\alpha_x$  qiymatlarini topamiz.

To‘lish koeffitsiyenti

$$\eta_{V_x} = p_{ex} l_0 \alpha_x g_{ex} / (3600 \rho_k)$$

nadduvlsiz dizel uchun  $\eta_{V_x} = 14,452 p_{ex} \alpha_x g_{ex} / (3600 \cdot 1,189)$ ,

nadduvli dizel uchun  $\eta_{V_x} = 14,452 p_{ex} \alpha_x g_{ex} / (3600 \cdot 1,641)$ .

8.2-jadvalda keltirilgan hisobiy ma'lumotlar bo'yicha naduvlsiz (8.8, a-rasm) va nadduvli (8.8, b-rasm) dizellar uchun tashqi tezlik xarakteristikalarini quramiz.

Porshenning o'rtacha tezligi, m/s

$$v_{p,o,r} = S n_x / 3 \cdot 10^4 = 120 \cdot n_x / 30000 = 0,004 n_x.$$

Mexanik yo'qotishlar o'rtacha bosimi, MPa

$$r_{mx} = 0,089 + 0,0118 v_{p,o,r}.$$

O'rtacha indikator bosim, MPa

$$R_{ix} = r_{ex} + r_{mx}.$$

Indikator burovchi moment, N·m

$$M_{ix} = p_{ix} V_n \cdot 10^3 / (\pi \tau) = 10,852 \cdot 10^3 p_{ix} / (3,14 \cdot 4) = 864 p_{ix}.$$

Yonilg‘ining solishtirma effektiv sarfi, g/(kVt·soat)

$$g_{ex} = g_{eN} [1,55 - 1,55 n_x / n_N + (n_x / n_N)^2] :$$

nadduvlsiz dizel uchun

$$g_{ex} = 242 [1,55 - 1,55 n_x / n_N + (n_x / n_N)^2];$$

nadduvli dizel uchun

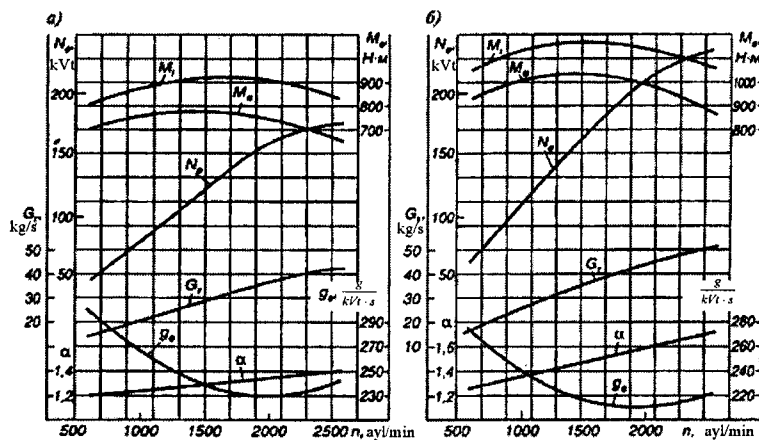
$$g_{ex} = 220 [1,55 - 1,55 n_x / n_N + (n_x / n_N)^2].$$

Yonilg‘ining 1 soatdagisi sarfi, kg/soat

$$G_{yo, soat} = 10^3 g_{ex} N_{ex}.$$

## 8.2-jadval

Tırsaklı val aylanishlar chastotasi, min <sup>-1</sup>	Tashqı tezlik xarakteristika parametrları						
	$N_{ex}$	$M_{ex}$	$p_{ex}$	$\nu_{p,0}r_x$	$P_{mx}$	$p_{ix}$	$M_{ix}$
N a d d u v s i z d i z e l							
600	43,7	696	0,805	2,4	0,117	0,922	797
1000	78,3	748	0,867	4,0	0,136	1,003	867
1500	120,7	769	0,890	6,0	0,160	1,050	907
2000	155,3	742	0,859	8,0	0,183	1,042	900
2500	174,5	669	0,772	10,0	0,207	0,979	846
2600	175,9	646	0,748	10,4	0,212	0,960	826
N a d d u v l i d i z e l							
600	57,9	922	1,067	2,4	0,117	1,184	1023
1000	103,6	990	1,146	4,0	0,136	1,282	1108
1500	159,8	1018	1,178	6,0	0,160	1,338	1156
2000	205,6	982	1,137	8,0	0,183	1,320	1140
2500	231,2	884	1,023	10,0	0,207	1,230	1063
2600	233,0	856	0,991	10,4	0,212	1,203	1039



8.8-rasm. Dizelning tashqi tezlik xarakteristikaları:  
a—nadduvlsiz dizel; b—nadduvli dizel.

Moslanuvchanlik koeffitsiyenti:

nadduvlsiz dizel uchun  $K = M_{e_{max}} / M_{e_N} = 769 / 646 = 1,19$ ;

nadduvli dizel uchun  $K = M_{e_{max}} / M_{e_N} = 1018 / 856 = 1,19$ ,

bu yerda  $M_{e_{max}}$  tezlik xarakteristikalaridan topilgan.

#### 8.4. Dizellarning regulyator xarakteristikaları

Traktorlarni qishloq xo'jaligida yoki transportda eskpluata-tsiya qilish sharoitlarida ishlov berilayotgan yerning bir jinsli emasligi yoki yo'l qoplamalarining har xilligi va h.k.lar tufayli ularning dvigatellariga tushayotgan yuk keng diapazonda o'zgaradi. Yonilg'i uzatilishini boshqaruvchi richag yoki pedalning o'zgarmas holatida tashqi yukning o'zgarishi traktor harakati tezligini o'zgartiradi. Bunday sharoitlarda tashqi yuk o'zgarganda o'zgarmas tezlikni saqlab qolish uchun dizel quvvatini mos ravishda o'zgartirish zarur, bunga purkalayotgan dizel yonilg'i-sining miqdorini o'zgartirib erishish mumkin.

Shunday qilib, dizel quvvati rostlanib, u tashqi yukga mos-

lashtirilishi uchun yonilg‘ining siklaviy uzatilishini avtomatik ravishda o‘zgartirib turish zarur, buning uchun ta’minalash tizimiga regulyator kiritishadi.

Dvigatellarda tirsakli val aylanishlar chastotasi avtomatik regulyatorlarining har xil turlari o‘rnataladi. Maksimal (chegaraviy) aylanishlar chastotasini cheklash talab qilinganda bir rejimli regulyator qo‘llaniladi. Hamma rejimli regulyatorlar dvigatel vali aylanish ishchi chastotalari o‘zgarishining hamma diapazoni avtomatik rostlanishi talab qilinganda o‘rnataladi.

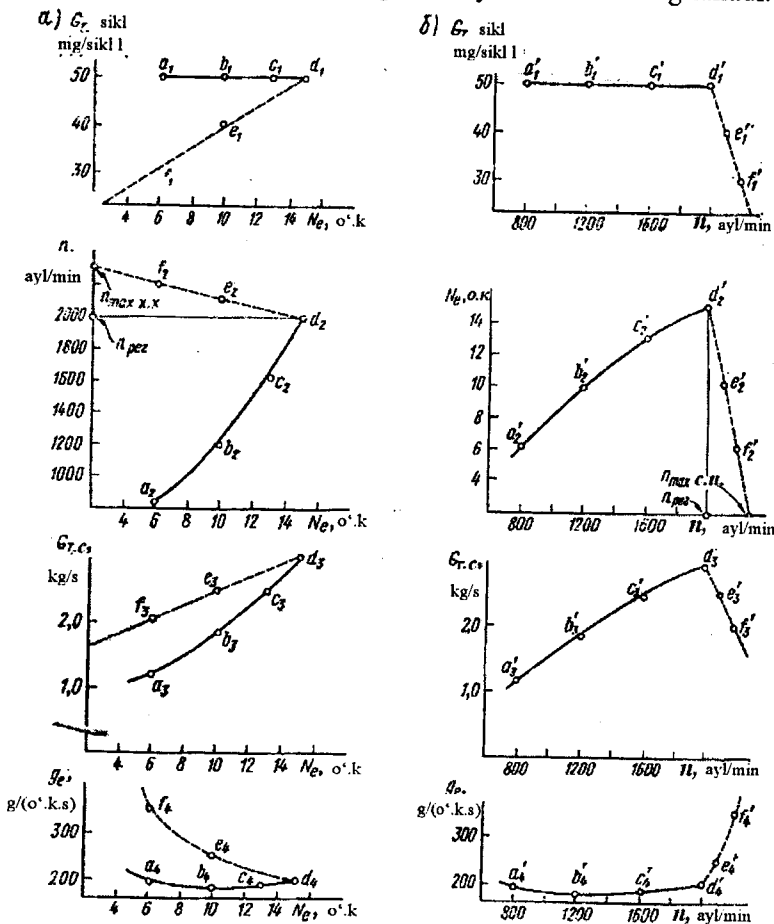
Dizelning regulyator bilan ishlashini tavsiflovchi parametrlarni baholash uchun *regulyator xarakteristikadan* foydalanishadi. Bu xarakteristika regulyator yonilg‘i uzatish organiga ta’sir qilganda aylanishlar chastotasi, 1 soatdagি va solishtirma yonilg‘i sarflari va boshqa parametrlarning effektiv quvvatga bog‘liqligini aniqlaydi.

Regulyator xarakteristikani dizelni laboratoriya da sinab olishadi. Standartga muvofiq regulyator xarakteristika regulyatorni boshqaruvchi organning o‘zgarmas holatida, yuk salt ishidan to‘liq bo‘lguncha asta-sekin orttirilib regulyator belgilagan maksimaldan to dizel burovchi momenti maksimumga erishgunicha kamaygunicha olinadi. Demak, tashqi yuk ko‘payganda dizel quvvatining ortishi yonilg‘i siklaviy uzatilishining avtomatik orttirilishi hisobiga amalga oshishi kerak.

Dizelning regulyator xarakteristikasi 8.9, *a*-rasmda, uning regulyator bilan ishlagandagi tashqi tezlik xarakteristikasi esa 8.9, *b*-rasmda keltirilgan. Ikkala xarakteristikada nuqtalar bir xil belgilangan, faqat tezlik xarakteristikadagi nuqtalar (‘) belgiga ega. Salt ishiga yaqin bo‘lgan kam yuklarda yonilg‘ining siklaviy uzatilishi minimalga yaqin (masalan, 30 mg/(sikl·l) – 8.9, *a*-rasmda  $f_1$  nuqta) bo‘ladi. Bu rejimda dizelning quvvati kam bo‘ladi, regulyator cheklaydigan aylanishlar chastotasi esa maksimalga yaqin bo‘ladi ( $f_2$  nuqta). Bularga mos ravishda yonilg‘ining 1 soatdagи sarfi kam ( $f_3$  nuqta), solishtirma sarfi esa maksimalga yaqin bo‘ladi ( $f_4$  nuqta).

mumga yetadi ( $f_4$  nuqta).

Tashqi yuk ortganda regulyator yonilg'ining siklaviy uzatilishini avtomatik tarzda ko'paytiradi (masalan, 40 va 50 mg/(sikl·l) gacha –  $e_1$  va  $d_1$  nuqtalar), natijada yonilg'ining 1 soatdagи sarfi ortadi ( $e_3$  va  $d_3$  nuqtalar). Bu rejimlarda quvvat ortadi, aylanishlar chastotasi esa biroz pasayadi ( $e_2$  va  $d_2$  nuqtalar), ularga mos yonilg'ining solishtirma sarfi esa kamayadi ( $e_4$  va  $d_4$  nuqtalar), bu o'zgarishlar regulyator ishining xususiyatlari bilan belgilanadi.

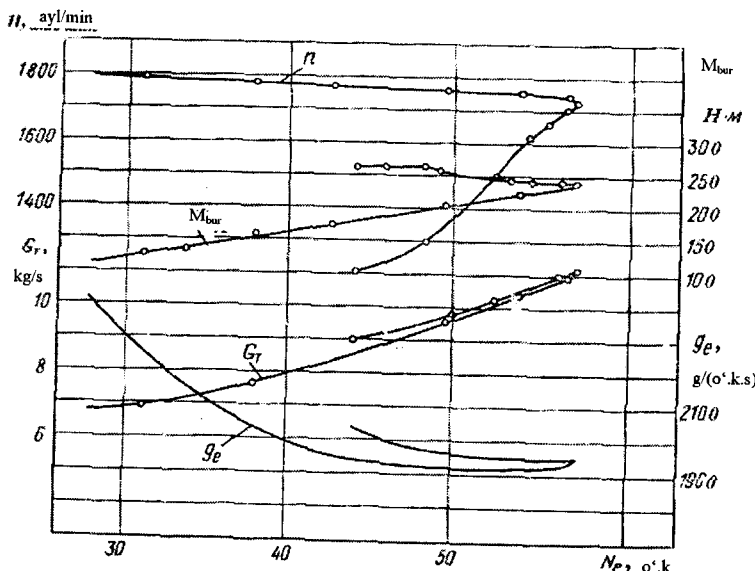


8.9-rasm. Dizel xarakteristikalari.

Ko‘rilayotgan holatda yuk yanada ko‘payganda yonilg‘ining sikkaviy uzatilishini orttirib bo‘lmaydi ( $s_1$ ,  $v_1$  va  $\alpha_1$  nuqtalar) va dizel ortiqcha yukda ishlay boshlaydi, natijada uning aylanishlar chastotasi va quvvati kamayib boradi ( $s_2$ ,  $v_2$  va  $\alpha_2$  nuqtalar), lekin  $v_2$  nuqtada burovchi moment maksimal qiymatga erishadi. Bu rejimlarda yonilg‘ining 1 soatdagи sarfi kamayadi ( $s_3$ ,  $v_3$  va  $\alpha_3$  nuqtalar), solishtirma sarf esa kam o‘zgaradi ( $s_4$ ,  $v_4$  va  $\alpha_4$  nuqtalar).

Regulyator xarakteristika regulyator tarmoqqa (shtrixli chiziqlar bilan ifodalangan) va to‘liq yuklar tarmog‘iga (kontur chiziqlar bilan ifodalangan) ega (8.9-rasm).

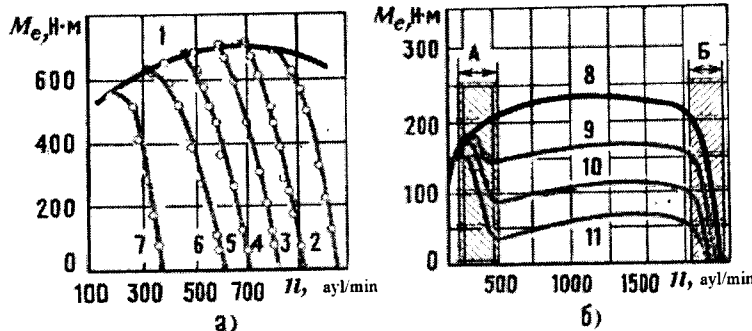
Hamma rejimli regulyator bilan ishlayotgan traktor dizelning xarakteristikasi 8.10-rasmida keltirilgan.



8.10-rasm. Hamma rejimli regulyator bilan ishlayotgan traktor dizelining xarakteristikaları.

Regulyator xarakteristikalar regulyator har xil rostlanganda dvigatel ishining asosiy ko‘rsatkichlarining aylanishlar chasto-

tasiga bog'liqligini ifodalaydi. 8.11-rasmda hamma rejimli va ikki rejimli regulyatorli dvigatellarning regulyator xarakteristikalarini ko'rsatilgan. Bu xarakteristikalarining ko'rinishi regulyator parametrlariga, yonilg'i uzatish apparatusiga va dvigatel parametrlariga bog'liq.



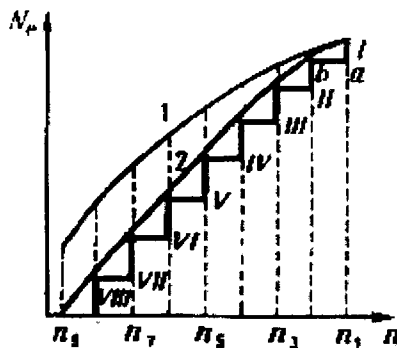
8.11-rasm. Dizel burovchi momentining tashqi va regulyator xarakteristikalarini:  
 $a$ -hamma rejimli regulyator bilan;  $b$ -ikki rejimli regulyator bilan;  
 $A$  va  $B$  - regulyator ta'siri zonalari;  
 1 va 8 – tashqi xarakteristikalar, 2 va 7 – regulyator xarakteristikalar;  
 9 va 11 – qisman xarakteristikalar.

## 8.5. Teplovoz xarakteristikasi

Teplovoz bosh elektr generatori yuritmasiga sarflanadigan teplovoz dvigateli quvvatining tirsakli val aylanishlar chastotasiga bog'liqligi grafigi *teplovoz xarakteristikasi* deyiladi. elektr generatori bilan bog'langan dvigatel aylanishlar chastotasi regulyatoriga ega, u ma'lum ravonlik darajasida (aylanishlar chastotasi oralig'ida) berilgan aylanishlar chastotasini o'zgarmas qilib saqlab turadi. Shuning uchun boshqarish organi (kontroller)ning ma'lum holatida dvigatel regulyator xarakteristika bo'yicha ishlaydi.

Nominal aylanishlar chastotasida teplovoz dvigatelinining maksimal quvvati tashqi xarakteristika 1 ning 1-nuqtasiga mos keladi (8.12-rasm). Aylanishlar chastotasi kichikroq bo'lganda elektr uzatmali teplovoz dvigatelinining eng katta quvvati dvigatel tashqi xarakteristika bo'yicha ishlaganga nisbatan kichikroq bo'ladi,

chunki elektr generatorining quvvati uning aylanishlar chastotasiga qarab *generator xarakteristika* 2 bo'yicha o'zgaradi. Bu xarakteristika, nominal rejimdan tashqari, hamma rejimlarda tashqi xarakteristikadan pastroqda joylashadi. Dvigatel generatori xarakteristika bo'yicha ishlaganda uning regulyatorini yonilg'ini noto'liq uzatadi.



8.12-rasm. Teplovoz dvigatelining xarakteristikaları:  
1 – tashqi xarakteristika; 2 – generator xarakteristika.

Yonilg'i uzatilishining o'zgarishi kontroller orqali amalga oshiriladi. Kontroller bandining har xil holatlariga regulyator prujinasi tortilish kuchining har xil qiymatlari mos keladi. Shuning uchun dvigatel kontrollerning har bir holati (8 ta holati)ga mos regulyator xarakteristikalarini bo'yicha ishlaydi. Dvigatel bir yuk xarakteristikasidan boshqasiga o'tganida regulyator prujinasining tortilish kuchi o'zgaradi. Nazariy jihatdan bu o'tish gorizontal chiziqqa (masalan, av chiziqqa) mos kelishi kerak, amalda esa generator va dvigatel aylanuvchi qismlarining inertsiya tufayli, bu o'tish ancha murakkab qonun bo'yicha kechadi.

Teplovoz dvigatelinining generator xarakteristikasi to'g'ri chiziqqa yaqin bo'ladi. uning shakli teplovoz bosh generatori uyg'onish tizimining rostlanishiga bog'liq.

---

## **IX BOB. DVIGATEL KINEMATIKASI VA DINAMIKASI**

### **9.1. Krivoship-shatunli mexanizm kinematikasi**

#### **9.1.1. Umumiy ma'lumotlar**

Ichki yonuv dvigatellarida porshenning ilgarilama-qaytma harakati krivoship-shatunli mexanizm vositasida tirsakli valning aylanma harakatiga aylanadi.

Krivoship-shatunli mexanizm markaziy (bunda tirsakli val va silindrlar o'qlari bir tekislikda yotadi) (9.1,  $a$ -rasm) yoki dezaksial (bunda tirsakli val va silindrlar o'qlari har xil tekisliklarda yotadi) (9.1,  $b$ -rasm) bo'lishi mumkin. Porshen barmog'ining o'qi siljibilishi hisobiga ham dezaksial mexanizm hosil bo'lishi mumkin.

Dezaksial krivoship-shatunli mexanizmli dvigatelda silindr o'qi tirsakli val o'qiga nisbatan uning aylanishi yo'nalishida  $e$  (dezaksaj) masofaga siljigan bo'ladi. Bu siljish porshen yo'lining 10% dan katta bo'lmaydi.

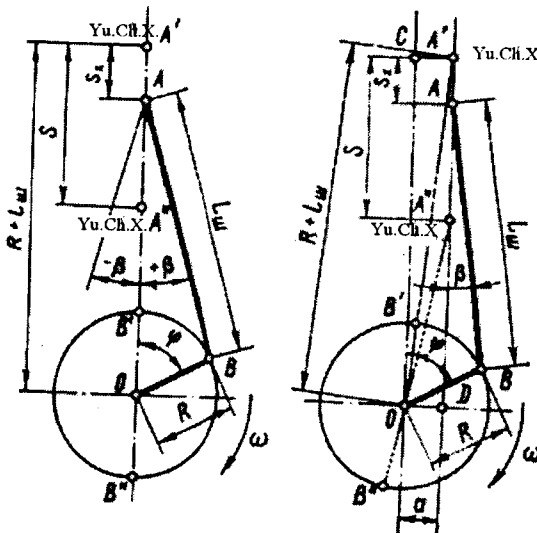
Dezaksaj kiritilishi natijasida:

- ishchi yo'l paytida porshenning silindr devoriga bosimi kamayadi va bu bosim siqish yo'lida ortadi, natijada silindrning yejilishi bir tekisda bo'lishga yaqinlashadi;
- porshen yo'li biroz ortadi, natijada dvigatelning ishchi hajmi, demak quvvati ham biroz ko'payadi;
- yu.ch.h. yaqinida porshen tezligi kamayadi, natijada (deyarli o'zgarmas hajmda) yonish jarayoni yaxshilanadi;
- tirsakli val taqsimlash vallari orasidagi masofa kattalashadi, natijada shatun quyi kallagi to'siqsiz aylanishi uchun zarur bo'lgan joy kengayadi.

Dvigatellar aylanishlar chastotalari ortib borgani sari yuqorida qayd etilgan afzalliklardan ba'zilarining ahamiyati kamayib bora, chunki ishqalanish ishi asosan inertsiya kuchi bilan aniqlana boshlanadi, u esa dezaksajga deyarli bog'liq bo'lmaydi.

Porshen barmog'i porshen o'qiga nisbatan siljigan krivoship-shatunli mexanizmli dvigatellar ham dezaksial krivoship-shatunli mexanizmli dvigatellar ega bo'lgan afzallikkлага ega bo'ladi. Bunday dvigatellar tobora ko'proq qo'llanmoqda. Bu dvigatellardagi dezaksaj taxminan  $0,02 R$  bo'ladi.

Porshen dezaksaji kichik bo'lganligi tufayli dezaksial krivoship-shatunli mexanizmning kinematik hisobini markaziy krivoship-shatunli mexanizm formulalari bo'yicha bajarish mumkin.



9.1-rasm. Krivoship-shatunli mexanizmlar sxemalari:  
a – markaziy; b – dezaksial.

9.1, a-rasmida markaziy krivoship-shatunli mexanizmning asosiy belgilanishlari keltirilgan:  $\varphi$  – krivoshipning burilish burchagi;  $\beta$  – shatun o'qining silindr o'qiga nisbatan og'ish burchagi;  $R = OV$  – krivoship radiusi;  $L_{sh} = AV$  – shatun uzunligi;  $\lambda =$

$R/L_{sh}$  – krivoship radiusining shatun uzunligiga nisbati;  $R + L_{sh} = A'O$  – tirsakli val o'qidan yu.ch.h. ( $A'$ -nuqta) gacha bo'lgan masofa;  $S_x$  – porshen (porshen barmog'i o'qi –  $A$  nuqta)ning joriy siljishi.

Dvigatelda ta'sir qiluvchi inertsiya kuchlarining qiymatlari yuqorida qayd etilgan o'lchamlar va ularning nisbatlariga bog'liq.

Nisbat  $\lambda = R/L_{sh}$  kamayishi bilan ( $L_{sh}$  kattalashishi hisobiga) inertsiya va normal kuchlar kamayib boradi, lekin bunda dvigatel balandligi va massasi ortadi. Avtomobil va traktor dvigatellarida  $\lambda = 0,23\text{--}0,30$  qabul qilingan.

Krivoship-shatunli mexanizm ko'rilmaga, odatda, tirsakli valning burchak tezligi o'zgarmas deb, ya'ni uning burilish burchagi vaqtga proportsional deb, qabul qilinadi. Amalda esa valning burchak tezligi o'zgaruvchi bo'ladi, sababi – valning burovchi momenti barqaror bo'lmaydi. dvigatel ishining barqaror rejimlarida tirsakli valning aylanishlar chastotasi juda kam oraliqda o'zgaradi. Faqat dinamikaning maxsus masalalari, xususan tirsakli val tizimining tebranishlari, ko'rilmaga burchak tezlik o'zgarishlari hisobga olinadi.

Krivoship-shatunli mexanizm kinematikasining hisobi porshen yo'li (siljishi), tezligi va tezlanishini aniqlashga keltiriladi.

Hisoblashda porshen kinematikasi faqat burchak  $\varphi$  funksiyasi bo'lgan ifodadan foydalanish qulay.

### 9.1.2. Porshen siljishi

Markaziy krivoship-shatunli mexanizm porshenning siljishi 9.1, $\alpha$ -rasmdan

$$S_x = R + L_{uu} - R \cos \varphi - L_{uu} \cos \beta \quad (9.1)$$

yoki  $R/L_{sh} = \lambda$  ekanligini inobatga olganimizda

$$S_x = R \left[ (1 - \cos \varphi) + \frac{1}{\lambda} (1 - \cos \varphi) \right] \quad (9.2)$$

$\cos \beta = \sqrt{1 - \sin^2 \beta}$ ,  $R \sin \varphi = L_m \sin \beta$ , ya'ni  $\lambda \sin \varphi = \sin \beta$  larni belgilab, quyidagi ifodani hosil qilamiz

$$S_x = R \left[ (1 - \cos \varphi) + \frac{1}{\lambda} (1 - \sqrt{1 - \lambda^2 \sin^2 \varphi}) \right] \quad (9.3)$$

Nyuton binomi formulasi bo'yicha radikalni yozamiz

$$1 - \sqrt{1 - \lambda^2 \sin^2 \varphi} = 1 - \frac{1}{2} \lambda^2 \sin^2 \varphi - \frac{1}{2 \cdot 4} \lambda^4 \sin^4 \varphi - \dots$$

Qiymati kichik bo'lganligi tufayli ikkinchi tartiblidan yuqori bo'lgan hadlarni hisobga olmasdan, amaliy hisoblar uchun yetarli darajada aniq bo'lgan quyidagi ifodani olamiz

$$1 - \sqrt{1 - \lambda^2 \sin^2 \varphi} \approx 1 - \frac{1}{4} \lambda^2 \cos 2\varphi$$

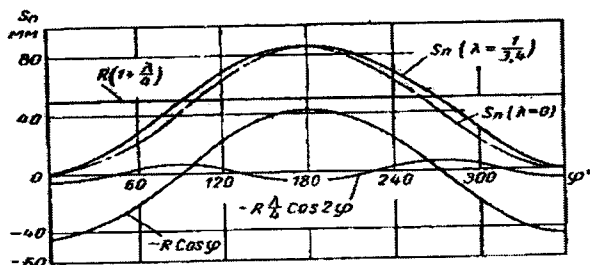
va

$$S_x = R \left[ (1 - \cos \varphi) + \frac{\lambda}{4} (1 - \cos 2\varphi) \right] = S_{x_1} + S_{x_2}, \quad (9.4)$$

bu yerda  $S_{x_1} = R(1 - \cos \varphi)$  – porshenning krivoship burilishi hisobiga siljishi

$S_{x_2} = R \frac{\lambda}{4} (1 - \cos 2\varphi)$  – porshenning shatun tebranishi hisobiga siljishi.

9.2-rasmida porshenning siljishi va bu siljishning tashkil etuvechilarining grafiklari keltirilgan.



9.2-rasm. Porshen siljishi grafigi.

### 9.1-jadval

phi <sup>0</sup>	lambda... larda (1 - cos phi) + lambda/4 (1 - cos 2phi) qiymatlari								phi <sup>0</sup>
	0,24	0,25	0,26	0,27	0,28	0,29	0,30	0,31	
0	0,0000	0,0000	0,0000	0,0000	0,0000	0,0000	0,0000	0,0000	360
10	0,0188	0,0190	0,0191	0,0193	0,0194	0,0196	0,0197	0,0199	350
20	0,0743	0,0749	0,0755	1,0761	0,0767	0,0773	0,0779	0,0784	340
30	0,1640	0,1653	0,1665	0,1678	0,1690	0,1703	0,1715	0,1728	330
40	0,2836	0,2857	0,2877	0,2898	0,2918	0,2939	0,2960	0,2980	320
50	0,4276	0,4306	0,4335	0,4364	0,4394	0,4423	0,4452	0,4482	310
60	0,5900	0,5938	0,5975	0,6013	0,6050	0,6088	0,6125	0,6163	300
70	0,7640	0,7684	0,7728	0,7772	0,7816	0,7860	0,7905	0,7949	290
80	0,9428	0,9476	0,9525	0,9573	0,9622	0,9670	0,9719	0,9767	280
90	1,1200	1,1250	1,1300	1,1355	1,1400	1,1450	1,1500	1,1550	270
100	1,2900	1,2948	1,2997	1,3045	1,3094	1,3142	1,3191	1,3239	260
110	1,4480	1,4524	1,4568	1,4612	1,4656	1,4700	1,4745	1,4789	250
120	1,5900	1,5938	1,5975	1,6013	1,6050	1,6088	1,6125	1,6163	240
130	1,7132	1,7162	1,7191	1,7220	1,7250	1,7279	1,7308	1,7338	230
140	1,8156	1,8177	1,8197	1,8218	1,8238	1,8259	1,8280	1,8300	220
150	1,8960	1,8973	1,8985	1,8998	1,9010	1,9023	1,9035	1,9048	210
160	1,9537	1,9543	1,9549	1,9555	1,9561	1,9567	1,9573	1,9578	200
170	1,9884	1,9886	1,9887	1,9889	1,9890	1,9892	1,9893	1,9895	190
180	2,0000	2,0000	2,0000	2,0000	2,0000	2,0000	2,0000	2,0000	180

9.4-tenglamadan,  $\varphi = 90^\circ$  da  $S_{90^\circ} = R(1 + \lambda/2)$ ,  $\varphi = 180^\circ$  da

$$S_{180^\circ} = 2R.$$

Kvadrat qavs ichidagi ko‘paytiruvchining  $\lambda$  va  $\varphi$  larga bog‘liq qiymatlari 9.1-jadvalda keltirilgan.

Dezaksial krivoship-shatunli mexanizmda porshenning siljishi

$$S_x = R \left[ (1 - \cos \varphi) + \left( \frac{\lambda}{4} \right) (1 - \cos 2\varphi) - k\lambda \sin \varphi \right], \quad (9.5)$$

bu yerda  $k = e/R = 0,05-0,15$  – nisbiy dezaksiallik koeffitsiyenti.

### 9.1.3. Porshen tezligi va tezlanishi

Porshen tezligining aniq formulasini quyidagi ko‘rinishga ega:

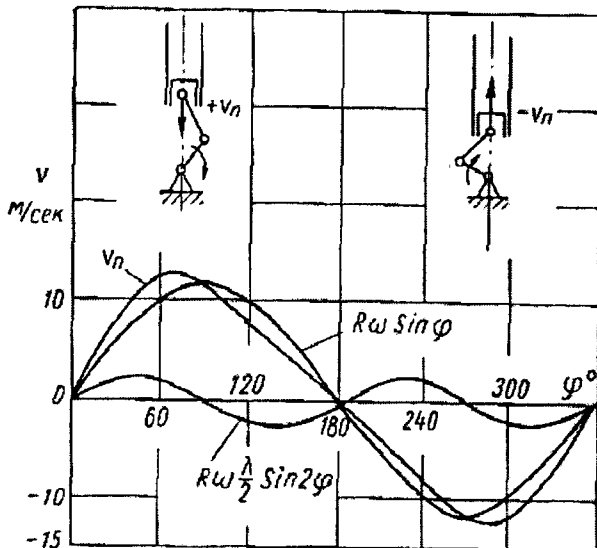
$$v_u = R\omega \frac{\sin(\varphi + \beta)}{\cos \beta}. \quad (9.6)$$

(9.4) – formulani vaqt  $t$  bo‘yicha differentialsallab, amaliy hisoblashlar uchun yetarli darajada aniq bo‘lgan quyidagi ifodani olamiz:

$$v_u = \frac{dS_x}{dt} = \frac{dS_x}{d\varphi} \cdot \frac{d\varphi}{dt} = R\omega \left( \sin \varphi + \frac{\lambda}{2} \sin 2\varphi \right) = v_{u_1} + v_{u_2}. \quad (9.7)$$

9.3-rasmida porshen tezligi va bu tezlikning tashkil etuvchilarning grafiklari keltirilgan.

Yu.ch.h. va q.ch.h. larda porshen harakatining yo‘nalishi o‘zgarganligi uchun, uning tezligi nolga teng bo‘ladi. Krivoship  $90^\circ$  ga burilganida  $v_p=R\omega$ , ya’ni porshen tezligi shatun bo‘yini o‘qining aylanma tezligiga teng bo‘ladi. lekin bu tezlik maksimal bo‘lmaydi.



9.3-rasm. Porshen tezligi grafigi.

Porshen tezligi maksimal qiymatga erishadigan tirsakli valning burilish burchagini (9.7) – formulani  $\varphi$  bo'yicha differensiallab va uning birligi tartibli hosilasini nolga tenglashtirib topiladi

$$\frac{dv_n}{d\varphi} = R\omega^2 (\cos \varphi v_{n\max} + \lambda \cos 2\varphi v_{n\max}) = 0.$$

Hisoblar natijasida quyidagilarni olamiz:

$$\lambda = 1/3 \text{ da } \varphi v_{p\max} = 73,5^\circ \text{ va } v_{p\max} \approx 1,05 R\omega;$$

$$\lambda = 1/4 \text{ da } \varphi v_{p\max} = 75^\circ \text{ va } v_{p\max} \approx 1,03 R\omega;$$

$$\lambda = \infty \text{ da } \varphi v_{p\max} = 90^\circ \text{ va } v_{p\max} \approx R\omega.$$

(9.7) – tenglamada qavs ichidagi ko'paytiruvchining  $\lambda$  va  $\varphi$  larga bog'liq qiymatlari 9.2-jadvalda keltirilgan.

Porshenning o'rtacha tezligi tasnifiy parametr bo'lib, u dvigatellar o'xshashlik nazariyasiga asos qilib olingan: u bo'yicha dvigatellar tezyurarligi qiyoslanadi; u dvigateldagi mexanik yo'qotishlarga va natijada dvigatelning effektiv ko'rsatkichlariga ta'sir qiladi.

## 9.2-iadval

$\Phi^0$	Isho-ra	$\lambda \dots$ larda $\left( \sin \varphi + \frac{\lambda}{4} \sin 2\varphi \right)$ qiyymatlari						Isho-ra	$\Phi^0$
0	+	0,24	0,25	0,26	0,27	0,28	0,29	0,30	0,31
10	+	0,0000	0,0000	0,0000	0,0000	0,0000	0,0000	0,0000	-
20	+	0,2146	0,2164	0,2181	0,2198	0,2215	0,2232	0,2249	0,2266
30	+	0,4191	0,4224	0,4256	0,4288	0,4320	0,4352	0,4384	0,4416
40	+	0,6039	0,6083	0,6126	0,6169	0,6212	0,6256	0,6299	0,6342
50	+	0,7610	0,7659	0,7708	0,7757	0,7807	0,7856	0,7905	0,7954
60	+	0,8842	0,8891	0,8940	0,8989	0,9039	0,9088	0,9137	0,9186
70	+	0,9699	0,9743	0,9786	0,9829	0,9872	0,9916	0,9959	1,0002
80	+	1,0168	1,0201	1,0233	1,0265	1,0297	1,0329	1,0361	1,0393
90	+	1,0258	1,0276	1,0293	1,0310	1,0327	1,0344	1,0361	1,0378
100	+	1,0000	1,0000	1,0000	1,0000	1,0000	1,0000	1,0000	1,0000
110	+	0,9438	0,9420	0,9403	0,9386	0,9369	0,9352	0,9335	0,9318
120	+	0,8626	0,8593	0,8561	0,8529	0,8497	0,8465	0,8433	0,8401
130	+	0,7621	0,7577	0,7534	0,7491	0,7448	0,7404	0,7361	0,7318
140	+	0,6478	0,6429	0,6380	0,6331	0,6281	0,6232	0,6183	0,6134
150	+	0,5246	0,5197	0,5148	0,5099	0,5049	0,5000	0,4951	0,4902
160	+	0,3961	0,3917	0,3874	0,3831	0,3788	0,3744	0,3701	0,3658
170	+	0,1326	0,1308	0,1291	0,1274	0,1257	0,1240	0,1223	0,1206
180	+	0,0000	0,0000	0,0000	0,0000	0,0000	0,0000	0,0000	0,0000

## Porshenning o‘rtacha tezligi

$$v_{\text{p.o.r.}} = Sn/30 = 2\omega R/\pi. \quad (9.8)$$

Dezaksial krivoship-shatunli mexanizmda porshen tezligi

$$v_n = R\omega \left( \sin \varphi + \frac{\lambda}{2} \sin 2\varphi - k\lambda \cos \varphi \right). \quad (9.9)$$

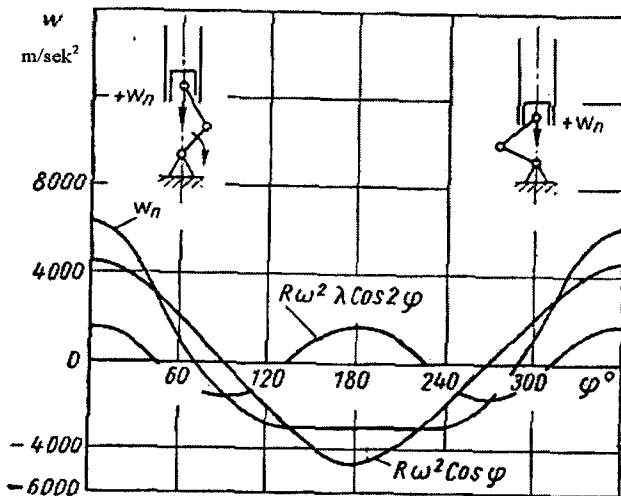
(9.6) – tenglamani vaqt bo‘yicha differensiallab, porshen tezlanishining aniq ifodasini topamiz va ba’zi o‘zgartirishlardan so‘ng quyidagi ifodani olamiz

$$j_n = \frac{dv_n}{dt} = R\omega^2 \left[ \frac{\cos(\varphi + \beta)}{\cos \beta} + \lambda \frac{\cos^2 \varphi}{\cos^2 \beta} \right]. \quad (9.10)$$

Hisoblash uchun yetarli aniqlikdagi porshen tezlanishi tenglamasini (9.7) – tenglamani vaqt  $t$  bo‘yicha differensiallab olish mumkin:

$$j_n = \frac{dv_n}{dt} = \frac{dv_n}{d\varphi} \cdot \frac{d\varphi}{dt} = R\omega^2 (\cos \varphi + \lambda \cos 2\varphi) \quad (9.11)$$

9.4-rasmda porshen tezlanishi va uning tashkil etuvchilarining (birinchi va ikkinchi garmonikalar) tirsakli val burilishi burchagiga bog‘liq grafigi keltirilgan.



9.4-rasm. Porshen tezlanishi grafigi.

Krivoship qaysi tarafga aylanishidan qat'iy nazar, porshen yu.ch.h. da bo'lganida tezlanishi musbat, q.ch.h. da bo'lganida esa manfiy bo'ladi. Shatun va krivoship orasidagi burchak  $90^0$  ga teng bo'lganida tezlanish nolga teng bo'ladi.

Porshen tezlanishi  $\varphi = 0^0$  da maksimal qiymatga erishadi:

$$j_{\max} = R\omega^2(1 + \lambda) \quad (9.12)$$

Porshen tezlanishining minimal qiymati:

a)  $\lambda < 0,25$  da  $\varphi = 180^0$  bo'lganda;

$$j_{\min} = -R\omega^2(1 - \lambda);$$

b)  $\lambda > 0,25$  da  $\varphi = \arccos(-1/4\lambda)$  nuqtada;

$$j_{\min} = -R\omega^2[\lambda + 1/(8\lambda)].$$

(9.11) – tenglamada qavs ichidagi ko'paytiruvchining  $\lambda$  va  $\varphi$  larga bog'liq qiymatlari 9.3-jadvalda keltirilgan.

Dezaksial krivoship-shatunli mexanizmida porshen tezlanishi

$$j_n = R\omega^2(\cos \varphi + \lambda \cos 2\varphi + k\lambda \sin \varphi) \quad (9.13)$$

## 9.2. Krivoship-shatunli mexanizm dinamikasi

Krivoship-shatunli mexanizmning dinamik hisobida gaz bosimi va inersiya kuchlaridan vujudga keladigan summar kuch va momentlar aniqlanadi. Bu kuchlar bo'yicha detallar mustahkamlikka va yeyilishga hisoblanadi hamda burovchi moment notekisligi va dvigatel yo'lining noravonligi darajasi aniqlanadi. Ishlayotgan dvigatelda krivoship-shatunli mexanizm detallariga silindrdaagi gaz bosimi kuchlari, harakatlanayotgan massalarning inertsiya kuchlari, karter bo'shlig'i tomonidan (taxminan atmosfera bosimiga teng) bosim va og'irlilik kuchlari (og'irlilik kuchlari kichik bo'lganligi sababli dinamik hisobda odatda hisobga olinmaydi) ta'sir qiladi.

Dvigatelda ta'sir qilayotgan hamma kuchlarni tirsakli valdag'i foydali qarshiliklar, ishqalanish kuchlari va dvigatel tayanchlari o'ziga qabul qiladi.

9.3-jadval									
$\Phi^0$	Isho-ra	$\lambda_{...}$ larda ( $\cos \varphi + \lambda \cos 2\varphi$ ) qiymatlari							
		0,24	0,25	0,26	0,27	0,28	0,29	0,30	0,31
0	+	1,2400	1,2500	1,2600	1,2700	1,2800	1,2900	0,3000	1,3100
10	+	1,2103	1,2197	1,2291	1,2385	1,2479	1,2573	1,2667	1,2761
20	+	1,1235	1,1312	1,1389	1,1465	1,1542	1,1618	1,1695	1,1772
30	+	0,9860	0,9910	0,9960	0,0010	1,0060	1,0110	1,0160	1,0210
40	+	0,8077	0,8094	0,8111	0,8129	0,8146	0,8163	0,8181	0,8198
50	+	0,6011	0,5994	0,5977	0,5959	0,5942	0,5925	0,5907	0,5890
60	+	0,3800	0,3750	0,3700	0,3650	0,3600	0,3550	0,3500	0,3450
70	+	0,1582	1,1505	0,1428	0,1352	0,1275	0,1199	0,1122	0,1045
80	-	0,0519	0,0613	0,0707	0,0801	0,0895	0,0989	0,1083	0,1177
90	-	0,2400	0,2500	0,2600	0,2700	0,2800	0,2900	0,3000	0,3100
100	-	0,3991	0,4085	0,4179	0,4273	0,4367	0,4461	0,4555	0,4649
110	-	0,5258	0,5335	0,5412	0,5488	0,5565	0,5641	0,5718	0,5795
120	-	0,6200	0,6250	0,6300	0,6350	0,6400	0,6450	0,6500	0,6550
130	-	0,6845	0,6862	0,6879	0,6897	0,6914	0,6931	0,6949	0,6966
140	-	0,7243	0,7226	0,7209	0,7191	0,7174	0,7157	0,7139	0,7122
150	-	0,7460	0,7410	0,7360	0,7310	0,7260	0,7210	0,7160	0,7110
160	-	0,7559	0,7482	0,7405	0,7329	0,7252	0,7176	0,7099	0,7022
170	-	0,7593	0,7499	0,7405	0,7311	0,7217	0,7123	0,7029	0,6935
180	-	0,7600	0,7500	0,7400	0,7300	0,7200	0,7100	0,7000	0,6900

Har bir ishchi sikl (to'rt taktli dvigateл uchun  $720^{\circ}$ , ikki taktli dvigateл uchun esa –  $360^{\circ}$ ) davomida krivoship-shatunli mexanizmga ta'sir qiluvchi kuchlar qiymati va yo'nalishi bo'yicha uzlucksiz o'zgarib turadi. Shu sababli bu kuchlarning tirsakli val burilishi burchagi bo'yicha o'zgarishining xarakterini aniqlash uchun ularning qiymatlari tirsakli valning har  $10-30^{\circ}$  burilishida aniqlanadi. Dinamik hisob natijalari jadvalga yoziladi.

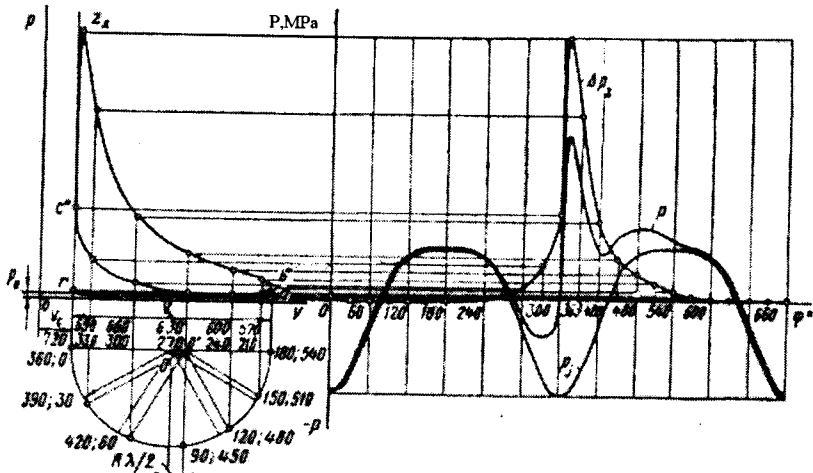
### 9.2.1. Gaz bosimi kuchlari

Dinamik hisobni soddalashtirish maqsadida porshen yuzasiga ta'sir qiluvchi kuchlarni silindr o'qi bo'ylab yo'nalgan va porshen barnog'i o'qiga qo'yilgan bitta kuch bilan almashtirishadi. Uni vaqtning har bir oni ( $\varphi$  burchak) uchun dvigateldan olingan haqiqiy indikator diagramma yoki (odatda nominal quvvat va tirsakli valning unga mos aylanishlar chastotasi uchun bajarilgan) issiqlik hisobi asosida qurilgan indikator diagramma bo'yicha aniqlashadi.

KShMning dinamik yuklanganligi gaz bosimi kuchlari  $r_g$  ning vaqtga (tirsakli valning burilish burchagi  $\varphi$  ga) bog'liqligi bilan baholanadi.

Indikator diagrammani tirsakli val burilishi burchagi bo'yicha yoyilgan diagrammaga qayta qurish odatda prof. F.A. Briks metodi bo'yicha amalga oshiriladi. Buning uchun indikator diagramma ostida  $R=S/2$  radiusli yordamchi yarim aylana chiziladi (9.5-rasm). So'ngra yarim aylana markazi O nuqtadan q.ch.h. tarafga  $R\lambda/2$  ga teng Briks tuzatishi qo'yiladi va O' nuqta olimadi. Yarim aylana O markazdan nurlar bilan bir necha teng bo'laklarga bo'linadi, so'ngra O' nuqtadan bu nurlarga parallel chiziqlar o'tkaziladi. Yarim aylanada hosil bo'lgan nuqtalar ma'lum  $\varphi$  burchaklarga mos keladi (9.5-rasmida nuqtalar orasidagi interval  $30^{\circ}$  ga teng). Bu nuqtalardan indikator diagramma chiziqlari bilan kesishguncha vertikal chiziqlar o'tkaziladi va bosimning olingan qiymatlari mos  $\varphi$  burchaklaridan vertikal bo'ylab qo'yiladi. Indikator diagrammani yoyish sikl boshlanishi –  $r$  nuqtadan boshlanadi. Shuni nazarda tutish lozimki, indikator diagrammada bosim

absolyut noldan o'lchanadi, yoyilgan diagrammada esa porshen ustidagi ortiqcha bosim  $\Delta r_g = r_g - r_0$  ko'rsatiladi. Demak, dvigatel silindridagi atmosfera bosimidan kam bo'lgan bosim, yoyilgan diagrammada manfiy bo'ladi. tirsakli val o'qi tarafiga yo'nalgan gaz bosimi kuchlari musbat, tirsakli val o'qidan teskari tarafga yo'nalgalari esa – manfiy bo'ladi.



9.5-rasm. Indikator diagrammani  $r$ - $\varphi$  koordinatalarga yoyish.

Porshenga ta'sir qiladigan gaz bosimi kuchi (Mn)

$$r_g = (r_g - r_0) \cdot F_p \quad (9.14)$$

bu yerda  $F_p$  – porshen yuzasi,  $m^2$ ;  $r_g$  va  $r_0$  – gaz bosimi va atmosfera bosimi, MPa.

(9.14) – tenglamadan shu narsa ko'rindiki, tirsakli val buralishi burchagi bo'yicha gaz bosimi kuchlarining o'zgarishi gaz bosimi  $\Delta r_g$  o'zgarishi tavsifiga ega bo'ladi.

Yoyilgan diagrammadan gaz bosimi kuchlari  $r_g$  ni hisoblash uchun zarur bo'lgan masshtab koeffitsiyenti

$$\mu_R = \mu_f \cdot F_p \quad (\text{Mn/mm}).$$

## 9.2.2. Krivoship-shatunli mexanizm qismlari massalarini keltirish

Krivoship-shatunli mexanizm detallari massalarini ular harakatining tavsifi bo'yicha ilgarilanma-qaytma harakatlanayotgan (porshen guruhi va shatunning porshen kallagi); aylanma harakat bajarayotgan (tirsakli val va shatunning krivoship kallagi) va mu'rakkab tekis-parallel harakatlanayotgan (shatun sterjeni) qismlariga ajratish mumkin.

Dinamik hisobni soddalashtirish maqsadida haqiqiy krivoship-shatunli mexanizm yig'ilgan massalarning dinamik ekvivalent tizimi bilan almashtiriladi (9.6-rasm).

Dinamik tizim ekvivalentligi sharti (9.6-rasm):  
massa o'zgarmasligi

$$m_{sh,p} + m_{sh,k} = m_{sh}; \\ \text{og'irlilik markazi holatining o'zgarmasligi}$$

$$m_{sh,p} L_{sh,p} = m_{sh,k} L_{sh,k};$$

og'irlilik markaziga nisbatan massalar inertsiya momentining o'zgarmasligi

$$I_m = m_{m,n} L_{m,n}^2 + m_{m,k} L_{m,k}^2.$$

Porshen guruhi detallari massasini porshen barmog'i o'qi  $A$  nuqtaga yig'ilgan deb hisoblashadi (9.6, a-rasm). shatun guruhi detallari massasi  $m_{sh}$  ikkita massa bilan almashtiriladi: ulardan biri ( $m_{sh,p}$ ) porshen barmog'i o'qi  $A$  nuqtada, ikkinchisi ( $m_{sh,k}$ ) esa krivoship o'qi  $V$  va nuqtada yig'ilgan deb hisoblanadi.

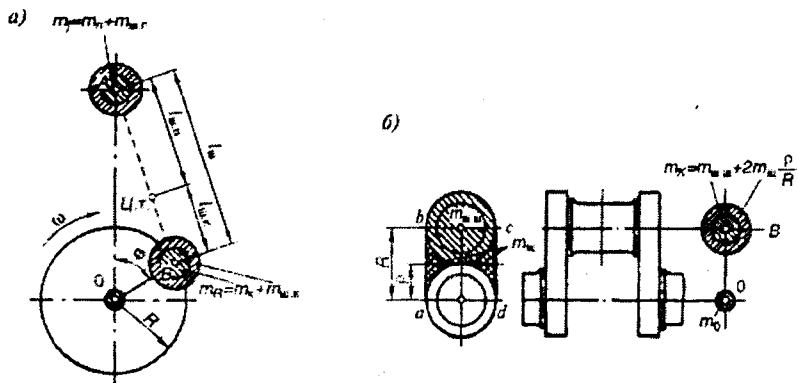
Bu massalarning qiymatlari (kg)

$$m_{m,n} = (L_{m,k} / L_m) m_m; \quad m_{m,k} = (L_{m,n} / L_m) m_m, \quad (9.15)$$

bu yerda  $L_{sh}$  – shatun uzunligi;  $L_{sh,k}$  – shatun og'irligi markazidan krivoship kallagi o'qigacha bo'lgan masofa;  $L_{sh,p}$  – shatun og'irligi markazidan porshen kallagi o'qigacha bo'lgan masofa.

Avtomobil va traktor dvigatellari mavjud konstruksiyalari ning ko'pchiligi uchun  $m_{sh,p} = (0,2 \dots 0,3) m_{sh}$  va  $m_{sh,k} = (0,7 \dots 0,8) m_{sh}$ . hisoblarda o'rtacha qiymatlarni qabul qilish mumkin.

$$\cdot m_{sh,p} = 0,275 m_{sh} \text{ va } m_{sh,k} = 0,725 m_{sh} \quad (9.16)$$



9.6-rasm. Krivoship-shatunli mexanizmga ekvivalent bo‘lgan yig‘ilgan massalar tizimi:

- a – krivoship-shatunli mexanizmning keltirilgan tizimi;
- b – krivoship massalarini keltirish.

Krivoship massasi krivoshipning o‘qi  $V$  nuqtada jamlangan  $m_k$  va o‘zak bo‘yini o‘qi  $O$  nuqtada jamlangan  $m_0$  massalar bilan almashtiriladi (9.6, b-rasm). o‘zak bo‘yinining chekkaning aylanish o‘qiga nisbatan simmetrik joylashgan qismi bilan birgalikdagi massasi muvozanatlangan bo‘ladi.

$V$  nuqtada joylashgan massa (kg):

$$m_k = m_{k,0} + 2m_r \rho / R, \quad (9.17)$$

bu yerda  $m_{sh,b}$  – shatun bo‘yinining uning atrofidagi chekkalar qismlari bilan birgalikdagi massasi;  $m_r$  – og‘irlilik markazi  $\rho$  radiusda joylashgan chekkaning  $abcd$  konturda joylashgan o‘rta qismining massasi.

Zamonaviy qisqa yo‘lli dvigatellarda  $m_r$  qiymati  $m_{sh,b}$  ga nisbatan kichik va ko‘p hollarda uni hisobga olishmaydi.

Shunday qilib, krivoship-shatunli mexanizmga dinamik ekvivalent bo‘lgan jamlangan massalar tizimi  $A$  nuqtaga keltirilgan, ilgarilanma-qaytma harakat qiluvchi massa  $m_j = m_p + m_{sh,k}$  dan va  $V$  nuqtaga keltirilgan, aylanma harakatlanuvchi massa  $m_R = m_k + m_{sh,k}$  massalardan tarkib topadi. Ikkilangan krivoship-shatunli

mekanizmli V-simon dvigatellarda  $m_{\Sigma} = m_k + 2m_{sh.k}$ .

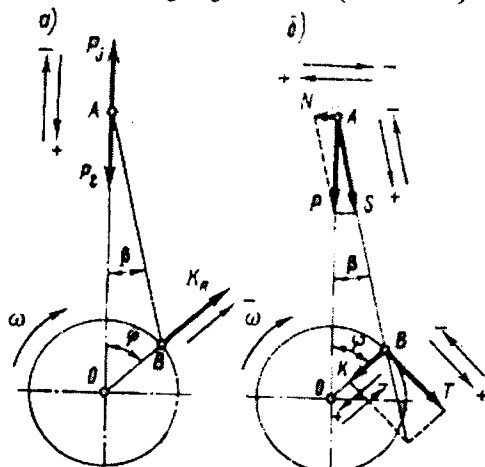
Dvigatel dinamik hisobini bajarishda  $m_p$  va  $m_{sh}$  massalari o'x-shash (prototip) ma'lumotlar bo'yicha tanlanadi yoki chizmalar bo'yicha hisoblanadi.

$m_p$ ,  $m_{sh}$  va  $m_k$  qiymatlarini taxminiy aniqlashda 9.4-jadvalda keltirilgan konstruktiv massalar  $m' = m/F_p$  ( $\text{kg/m}^2$  yoki  $\text{g/sm}^2$ ) dan foydalanish mumkin.

9.4-jadval bo'yicha massalarni aniqlashda quyidagilarni hisobga olish lozim: silindr diametri katta bo'lgan dvigatellarga  $m'$  ning katta qiymatlari mos keladi;  $S/D$  kamayganda  $m_{sh}'$  va  $m_k'$  kichiklashadi; bir bo'yinda ikki shatun joylashgan V-simon dvigatellarga  $m_k'$  ning katta qiymatlari mos keladi.

### 9.2.3. Inersiya kuchlari

Krivoship-shatunli mekanizmda ta'sir qiluvchi inersiya kuchlarini keltirilgan massalar harakatining tavsifi bo'yicha ilgarilanma-qaytma harakatlanuvchi massalarning inersiya kuchi  $P_i$  va aylanma harakatlanayotgan massalarning markazdan qochma inersiya kuchi  $k_R$  ga ajratishadi (9.7-rasm).



9.7-rasm. Krivoship-shatunli mekanizmda ta'sir qiluvchi kuchlar sxemasi:  
a – inersiya va gaz kuchlari; b – summar kuchlar.

## Ilgarilanma-qaytma harakatlanayotgan massalarining inersiya kuchlari

$$P_j = P_{j_1} + P_{j_2} = -(m_j R \omega^2 \cos \varphi + m_j R \omega^2 \lambda \cos 2\varphi) \quad (9.19)$$

Ilgarilanma-qaytma harakatlanuvchi massalar inersiya kuchi silindr o'qi bo'ylab yo'naladi va gaz bosimi kuchlari kabi, agar tirsaklı val o'qi tomon yo'nalgan bo'lsa musbat va agar tirsaklı valdan teskari tomonga yo'nalgan bo'lsa manfiy bo'ladi.

Krivoship ( $\varphi$  burchak)ning qaysi holatlari uchun  $\Delta r_g$  va  $r_g$  aniqlangan bo'lsa, o'sha holatlar uchun  $r_j$  hisoblanadi.

Aylanma harakatlanuvchi massalarining markazdan qochma inertsiya kuchi

$$k_R = -m_R R \omega^2 \quad (9.20)$$

( $\omega = \text{const}$  da) qiymati bo'yicha o'zgarmas bo'lib, krivoship radiusi bo'yicha ta'sir qiladi va tirsaklı val o'qidan tashqariga yo'naladi.

Markazdan qochma inersiya kuchi quyidagi ikki kuchning yig'indisi bo'ladi:

shatun aylanma harakat qiluvchi massalarining inersiya kuchi

$$k_{R_{sh}} = -m_{sh,k} R \omega^2 \quad (9.21)$$

va krivoship aylanuvchi massalarining inersiya kuchi

$$k_{R_k} = -m_k R \omega^2 \quad (9.22)$$

*V*-simon dvigatellar uchun (tirkama shatunli)

$$\begin{aligned} k_{R\Sigma} &= k_{R_k} + k_{R_{sh,ch}} + k_{R_{sh,u}} = \\ &= -(m_k + m_{sh,k,ch} + m_{sh,k,u}) R \omega^2. \end{aligned} \quad (9.23)$$

bu yerda  $k_{R_{sh,ch}}$  va  $k_{R_{sh,u}}$  – mos ravishda chap va o'ng shatunlar aylanuvchi massalarining inersiya kuchlari

## 9.4-jadval

Krivoship-shatunli mexanizm elementlari	Konstruktiv massalar, kg/m <sup>3</sup>	
	Benzinli dvigatellar ( $D=60\text{--}100\text{ mm}$ )	Dizellar ( $D=80\text{--}120\text{ mm}$ )
Porshen guruhi ( $m_p' = m_p/F_p$ ): porshen alyumin qotishmasidan porshen cho'yanli	80–150 150–250	150–300 250–400
Shatun ( $m_{sh}' = m_{sh}/F_p$ ): Val bir tirsagining posangilarsiz muvozanatlanmagan qismi ( $m_k' = m_k/F_p$ ): to'liq bo'yinli bolg'alangan po'lat val	100–200 150–200	250–400 200–400
bo'yinlari ichi teshik bo'lgan quyma cho'yan val	100–200	150–300

Ikkita bir xil shatuni bir bo'lakda yonma-yon joylashgan  $V$ -simon dvigatellar uchun:

$$k_{R\Sigma} = k_{Rk} + 2k_{Rsh} = -(m_k + 2m_{sh})R\omega^2 = m_{R\Sigma}R\omega^2. \quad (9.24)$$

### 9.2.4. Krivoship-shatunli mexanizmga ta'sir qiluvchi summar kuchlar

Porshenga ta'sir qiluvchi summar kuchlar (kN)

$$P = P_r + P_j. \quad (9.25)$$

Dvigatel dinamik hisobini bajarishda to'liq kuchlardan emas, balki porshen yuzasi birligiga ta'sir qiladigan solishtirma kuchlardan foydalanish maqsadga muvofiq bo'ladi. Bu holda solishtirma summar kuchlar (MPa) porshen ustidagi ortiqcha bosim  $\Delta r_g$  ni va solishtirma inertsiya kuchlari  $r_j$  (MN/m<sup>2</sup>=MPa)ni qushish yo'li bilan topiladi:

$$r = \Delta r_g + r_j, \quad (9.26)$$

bu yerda

$$p_j = p_r / F_n = -\left(m_j R \omega^2 / F_n\right) \cos \varphi + \lambda \cos 2\varphi. \quad (9.27)$$

Summar kuch  $r$ ,  $r_g$  va  $r_j$  kuchlar kabi, silindr o'qi bo'ylab yo'naladi va porshen barmog'i o'qiga qo'yiladi (9.7, *b*-rasm).  $R$  kuchining ta'siri silindr o'qiga perpendikulyar ravishda uning devorlariga va shatunga uning o'qi bo'ylab ta'sir qiladi.

Silindr o'qiga perpendikulyar ta'sir qilayotgan kuch  $N$  (kN) *normal kuch* deyiladi va u silindr devorlari tomonidan qabul qilinadi:

$$N = P \operatorname{tg} \beta \quad (9.28)$$

Agar  $N$  kuch tirsakli val o'qiga nisbatan hosil qilayotgan moment yo'nalishi val aylanishi yo'nalishiga qarama-qarshi bo'lsa, u musbat hisoblanadi.

Shatun bo'ylab yo'nalgan kuch  $S$  (kN) krivoshipga uzatiladi. Bu kuch shatunni siqsa – musbat, cho'zsa – manfiy hisoblanadi:

$$S = P(1 / \cos \beta) \quad (9.29)$$

Shatun bo'ylab ta'sir qilayotgan  $S$  kuchdan tirsakli valning shatun bo'yinida ikkita tashkil qiluvchi kuchlar vujudga keladi (9.7, *b*-rasm):

krivoship radiusi bo'ylab yo'nalgan kuch (kN):

$$K = P \cdot \cos(\varphi + \beta) / \cos \beta, \quad (9.30)$$

va krivoship radiusi aylanasiga urinma yo'nalgan tangentsial kuch (kN):

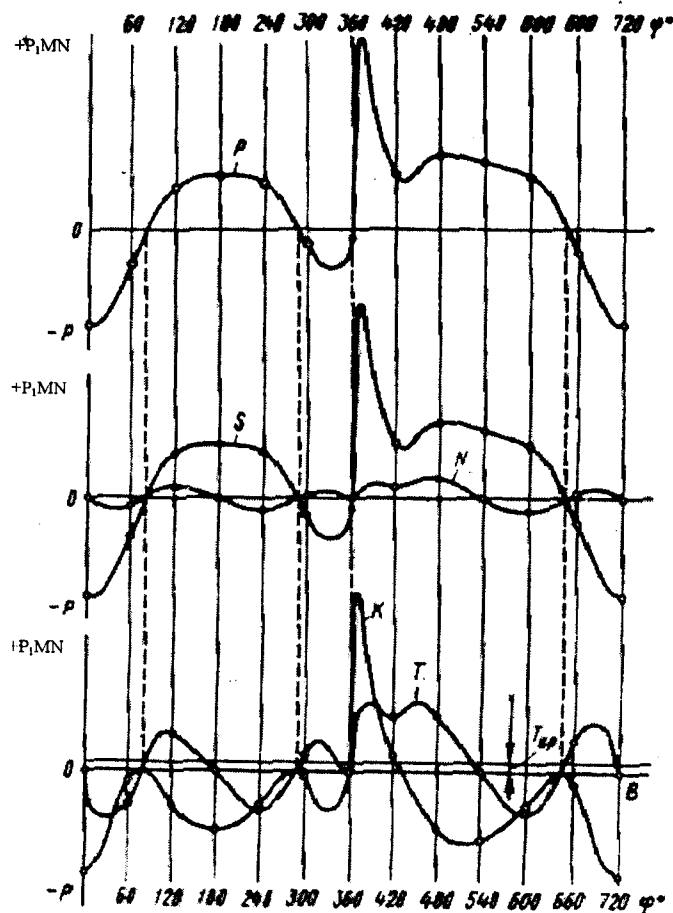
$$T = P \cdot \sin(\varphi + \beta) / \cos \beta. \quad (9.31)$$

Agar  $K$  kuchi tirsak chekkalari ni siqsa, u musbat hisoblanadi.

$T$  kuchidan hosil bo'layotgan moment yo'nalishi tirsakli val aylanish yo'nalishi bilan mos bo'lsa,  $T$  kuch musbat hisoblanadi.

(9.28)–(9.31) tenglamalarga kiruvchi trigonometrik funk-siyalarining son qiymatlari  $\lambda$  va  $\varphi$  ning har xil qiymatlari uchun

9.5–9.8 jadvallarda keltirilgan. Ushbu tenglamalarni echish natijasida olingan qiymatlar bo'yicha  $N$ ,  $S$ ,  $K$  va  $T$  kuchlar o'zgarishining grafiklari (9.8-rasm) quriladi.



9.8-rasm. Tirsakli val burilishi burchagi bo'yicha  $R$ ,  $N$ ,  $S$ ,  $K$  va  $T$  kuchlar grafiklarini qurish.

9.5-jadval

$\Phi^0$	Ishora	$\lambda \dots$ larda $\operatorname{tg} \beta$ qiymatlari						Ishora	$\Phi^0$
		0,24	0,25	0,26	0,27	0,28	0,29		
0	+	0	0	0	0	0	0	0	-
10	+	0,042	0,043	0,045	0,047	0,049	0,050	0,052	0,054
20	+	0,082	0,086	0,089	0,093	0,096	0,100	0,103	0,106
30	+	0,121	0,126	0,131	0,136	0,141	0,146	0,151	0,156
40	+	0,156	0,162	0,169	0,176	0,182	0,189	0,196	0,202
50	+	0,186	0,194	0,202	0,210	0,218	0,226	0,234	0,243
60	+	0,211	0,220	0,230	0,239	0,248	0,257	0,267	0,276
70	+	0,230	0,240	0,250	0,260	0,270	0,280	0,291	0,301
80	+	0,241	0,252	0,263	0,273	0,284	0,295	0,306	0,316
90	+	0,245	0,256	0,267	0,278	0,289	0,300	0,311	0,322
100	+	0,241	0,252	0,263	0,273	0,284	0,295	0,306	0,316
110	+	0,230	0,240	0,250	0,260	0,270	0,280	0,291	0,301
120	+	0,211	0,220	0,230	0,239	0,248	0,257	0,267	0,276
130	+	0,186	0,194	0,202	0,210	0,218	0,226	0,234	0,243
140	+	0,156	0,162	0,169	0,176	0,182	0,189	0,196	0,202
150	+	0,121	0,126	0,131	0,136	0,141	0,146	0,151	0,156
160	+	0,082	0,086	0,089	0,093	0,096	0,100	0,103	0,106
170	+	0,042	0,043	0,045	0,047	0,049	0,050	0,052	0,054
180	+	0	0	0	0	0	0	0	-

9.6-jadval

$\varphi^0$	Ishora	$\lambda \dots$ larda $1/\cos\beta$ qiymatlari						Ishora	$\varphi^0$
		0,24	0,25	0,26	0,27	0,28	0,29		
0	+	1	1	1	1	1	1	1	+
10	+	1,001	1,001	1,001	1,001	1,001	1,001	1,001	+
20	+	1,003	1,004	1,004	1,004	1,005	1,005	1,006	+
30	+	1,007	1,008	1,009	1,009	1,010	1,011	1,012	+
40	+	1,012	1,013	1,014	1,014	1,015	1,016	1,019	+
50	+	1,017	1,019	1,020	1,022	1,024	1,025	1,027	+
60	+	1,022	1,024	1,026	1,028	1,030	1,032	1,035	+
70	+	1,026	1,028	1,031	1,033	1,036	1,039	1,041	+
80	+	1,029	1,031	1,034	1,037	1,040	1,043	1,046	+
90	+	1,030	1,032	1,035	1,038	1,041	1,044	1,047	+
100	+	1,029	1,031	1,034	1,037	1,040	1,043	1,046	+
110	+	1,026	1,028	1,031	1,033	1,036	1,039	1,041	+
120	+	1,022	1,024	1,026	1,028	1,030	1,032	1,035	+
130	+	1,017	1,019	1,020	1,022	1,024	1,025	1,027	+
140	+	1,012	1,013	1,014	1,015	1,016	1,018	1,019	+
150	+	1,007	1,008	1,009	1,009	1,010	1,011	1,012	+
160	+	1,003	1,004	1,004	1,004	1,005	1,005	1,006	+
170	+	1,001	1,001	1,001	1,001	1,001	1,001	1,001	+
180	+	1	1	1	1	1	1	1	+

9.7-jadval

$\Phi^0$	Ishora	$\lambda_{...} \text{ larda } \cos(\Phi + \beta) / \cos \beta \text{ qىymatları}$						Ishora	$\Phi^0$
		0,24	0,25	0,26	0,27	0,28	0,29		
0	+	1	1	1	1	1	1	1	+
10	+	0,978	0,977	0,977	0,977	0,976	0,975	0,975	360
20	+	0,912	0,910	0,909	0,908	0,907	0,906	0,905	350
30	+	0,806	0,803	0,801	0,798	0,795	0,793	0,790	340
40	+	0,666	0,662	0,657	0,653	0,649	0,645	0,640	330
50	+	0,500	0,494	0,488	0,482	0,476	0,469	0,463	320
60	+	0,317	0,309	0,301	0,293	0,285	0,277	0,269	310
70	+	0,126	0,117	0,107	0,098	0,088	0,078	0,069	300
80	-	0,064	0,075	0,085	0,095	0,106	0,117	0,127	290
90	-	0,245	0,256	0,267	0,278	0,289	0,300	0,311	280
100	-	0,411	0,422	0,432	0,443	0,453	0,464	0,475	270
110	-	0,558	0,568	0,577	0,586	0,596	0,606	0,615	260
120	-	0,683	0,691	0,699	0,707	0,715	0,723	0,731	250
130	-	0,785	0,792	0,798	0,804	0,810	0,816	0,829	240
140	-	0,866	0,870	0,875	0,879	0,883	0,887	0,892	230
150	-	0,926	0,929	0,931	0,934	0,937	0,939	0,942	220
160	-	0,968	0,969	0,970	0,971	0,973	0,975	0,976	210
170	-	0,992	0,992	0,993	0,993	0,994	0,994	0,994	200
180	-	1	1	1	1	1	1	1	190

		9.8-jadval									
$\Phi^0$	Ishora	$\lambda_{...}$ larda $\sin(\Phi + \beta)/\cos \beta$ qiymatları								Ishora	$\Phi^0$
		0,24	0,25	0,26	0,27	0,28	0,29	0,30	0,31		
0	+	0	0	0	0	0	0	0	0	-	-
10	+	0,215	0,216	0,218	0,220	0,221	0,223	0,225	0,227	-	360
20	+	0,419	0,423	0,426	0,429	0,432	0,436	0,439	0,442	-	350
30	+	0,605	0,609	0,613	0,618	0,622	0,627	0,631	0,636	-	340
40	+	0,762	0,767	0,772	0,777	0,782	0,788	0,793	0,798	-	330
50	+	0,886	0,891	0,896	0,901	0,906	0,912	0,917	0,922	-	320
60	+	0,972	0,976	0,981	0,985	0,990	0,995	0,999	1,004	-	310
70	+	1,018	1,022	1,025	1,029	1,032	1,035	1,039	1,043	-	300
80	+	1,027	1,029	1,030	1,032	1,034	1,036	1,038	1,040	-	290
90	+	1	1	1	1	1	1	1	1	-	280
100	+	0,943	0,941	0,939	0,937	0,936	0,934	0,932	0,930	-	270
110	+	0,861	0,858	0,854	0,851	0,847	0,844	0,840	0,837	-	260
120	+	0,760	0,756	0,751	0,747	0,742	0,737	0,733	0,728	-	250
130	+	0,646	0,641	0,636	0,631	0,626	0,620	0,615	0,610	-	240
140	+	0,524	0,519	0,513	0,508	0,503	0,498	0,493	0,488	-	230
150	+	0,395	0,391	0,387	0,382	0,378	0,373	0,369	0,364	-	220
160	+	0,265	0,261	0,258	0,255	0,252	0,248	0,245	0,242	-	210
170	+	0,133	0,131	0,129	0,127	0,126	0,124	0,122	0,121	-	200
180	+	0	0	0	0	0	0	0	0	-	190
										-	180

$T_{o,r}$  qiymati  $T$  egri chizig‘i ostidan yuzadan grafik ravishda aniqlanadi:

$$T_{o,r} = (\Sigma f_1 - \Sigma f_2) \mu_p / OB, \quad (9.32)$$

bu yerda  $\Sigma f_1$  va  $\Sigma f_2 - T$  egri chizig‘i ostidagi mos ravishda musbat va manfiy yuzalar,  $\text{mm}^2$ ;  $\mu_p$  – to‘liq kuchlar masshtab koeffitsiyenti,  $\text{MN/mm}$ ;  $OB$  – diagramma asosi uzunligi,  $\text{mm}$  (9.8-rasm).

Hisoblar va  $T$  kuchi egri chizig‘ini qurish aniqligini quyidagi tenglama yordamida aniqlashadi

$$T_{yp} = 2 p_i F_u / (\tau n), \quad (9.33)$$

bu yerda  $T_{o,r}$  – tangentsial kuchning 1 sikldagi o‘rtacha qiymati,  $\text{MN}$ ;  $p_i$  – o‘rtacha indikator bosim,  $\text{MPa}$ ;  $F_p$  – porshen yuzasi,  $\text{m}^2$ ;  $\tau$  – dvigatel taktligi.

$T$  qiymati bo‘yicha bir silindrda hosil bo‘ladigan burovchi moment aniqlanadi, ( $\text{MN}\cdot\text{m}$ ):

$$M_{bur,p} = TR. \quad (9.34)$$

$T$  kuchining  $\varphi$  bo‘yicha o‘zgarish grafigi  $\mu_m = \mu_p R \left( \frac{MH \cdot M}{MM} \right)$

masshtabda  $M_{bur,p}$  o‘zgarishining grafigi ham bo‘ladi.

Ko‘p silindrli dvigatelning summar burovchi momenti  $M_{bur}$  grafigini qurish uchun har bir silindr burovchi momentlarining grafiklari qo‘shiladi, bunda har bir grafik boshqa grafikka nisbatan uchqunlar orasida krivoship burilishi burchagiga buriladi. Hamma silindrler burovchi momentlarining tirsakli val burilishi burchagi bo‘yicha o‘zgarishining qiymati va harakati bir xil bo‘lib, ular bir-biridan faqat alohida silindrlardagi uchqunlar orasidagi burchak intervallarga teng intervallarda farqlanishi sababli, dvigatelning summar burovchi momentini hisoblash uchun bitta silindrning burovchi momentiga ega bo‘lishi kifoya qiladi.

Uchqunlar orasidagi interval teng bo‘lgan dvigatel uchun summar burovchi moment quyidagiicha davriy o‘zgaradi ( $i$  – dvigateldagi silindrler soni):

$$\text{To‘rt taktli dvigatelda} \dots \theta = 720^\circ/i;$$

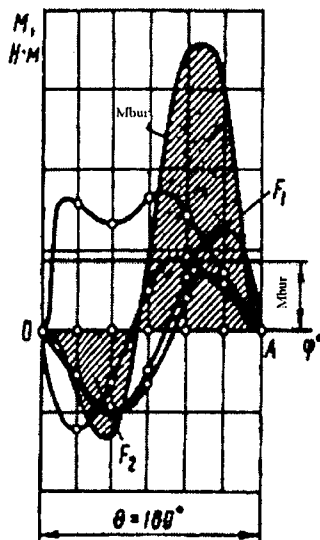
$$\text{Ikki taktli dvigatelda} \dots \theta = 720^\circ/i.$$

$M_{bur}$  grafigini qurishda bir silindr burovchi momenti  $M_{bur.ts}$   $720^0/\theta$  ga teng bo'laklarga bo'linadi (to'rt taktli dvigatellar uchun); grafikning hamma bo'laklari bir joyda chiziladi va yig'indisi topiladi. Hosil bo'lgan natijaviy egri chiziq dvigatel summar burovchi momentining tirsakli val burilishi burchagi bo'yicha o'zgarishini ko'rsatadi.

Summar burovchi moment  $M_{bur.ur}$  ( $\text{MN}\cdot\text{m}$ )ning o'rtacha qiymati  $M_{bur}$  egri chizig'i va  $OA$  chizig'i orasidagi yuza bo'yicha aniqlanadi:

$$M_{bur.uch} = (F_1 - F_2) \cdot \mu_m / OA, \quad (9.35)$$

bu yerda  $F_1$  va  $F_2$  –  $\mu_{bur}$  egri chizig'i va  $OA$  chizig'i orasidagi mos ravishda musbat va manfiy yuzalar; summar yuza summar burovchi moment bajargan ishga ekvivalent bo'ladi ( $i \geq 6$  da odatda, manfiy yuza bo'lmaydi),  $\text{mm}^2$ ;  $\mu_m$  – moment masshtab koeffitsiyenti,  $\text{MN}\cdot\text{m}/\text{mm}$ ;  $OA$  – diagrammada uchqunlar orasidagi interval uzunligi (9.9-rasm),  $\text{mm}$ .



9.9-rasm. To'rt silindrli to'rt taktli dvigatelinin summar burovchi moment grafigi.

$\mu_{\text{bur.ur}}$  moment dvigatelning o'rtacha indikator momenti  $\mu$  ifodalaydi. Dvigatel validan olinadigan haqiqiy effektiv burovchi moment:

$$\mu_e = \mu_{\text{bur.ur}} \cdot \eta_m, \quad (9.36)$$

bu yerda  $\eta_m$  – dvigatelning mexanik f.i.k.

### 9.2.5. Tirsakli valning shatun bo'yinlariga ta'sir qiluvchi kuchlar

Dvigatel shatun bo'yinlariga ta'sir qiluvchi kuchlar analitik usulda yoki qurish yo'li bilan aniqlanadi.

**Qatorli dvigatellar.** Qatorli dvigatel shatun bo'yiniga ta'sir qiluvchi umumiy kuch (9.10, a-rasm):

$$R_{\text{sh.b.}} = \sqrt{T^2 + P_k^2}, \quad (9.37)$$

bu yerda  $R_k = K + K_{\text{Rsh}}$  – krivoship radiusi yo'nalishida shatun bo'yiniga ta'sir qiluvchi kuch, N.

Tirsakli valning har xil holatlari uchun umumiy kuch  $R_{\text{sh.b.}}$  ning yo'nalishi  $R_{\text{sh.b.}}$  va krivoship radiusi orasidagi burchak  $\psi$  bilan aniqlanadi. Burchak  $\psi$  quyidagi nisbatdan topiladi

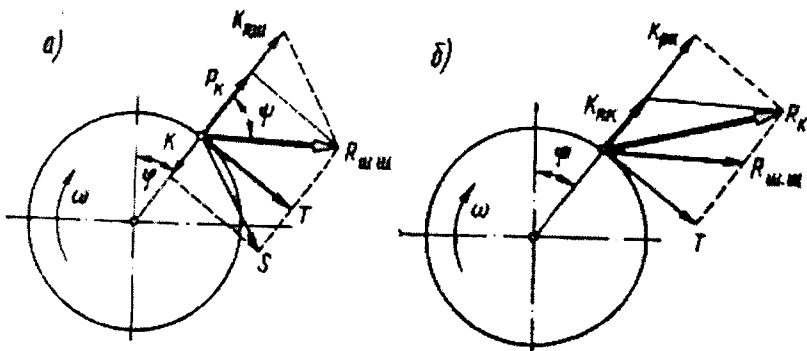
$$\operatorname{tg} \psi = T + P_k. \quad (9.38)$$

Shatun bo'yiniga ta'sir qiluvchi umumiy kuch  $R_{\text{sh.b.}}$  ni krivoship bo'ylab ta'sir qiluvchi kuch  $R_k$  va tangentsial kuch  $T$  larni geometrik qo'shib yoki shatun bo'ylab ta'sir qiluvchi summar kuch  $S$  va shatun aylanuvchi massalarining markazidan qochma kuchi  $K_{\text{Rsh}}$  kuchlarni geometrik qo'shish yo'li bilan shatun bo'yiniga ta'sir qiluvchi umumiy kuch  $R_{\text{sh.b.}}$  ni topish mumkin (9.10, b-rasmga qarang).

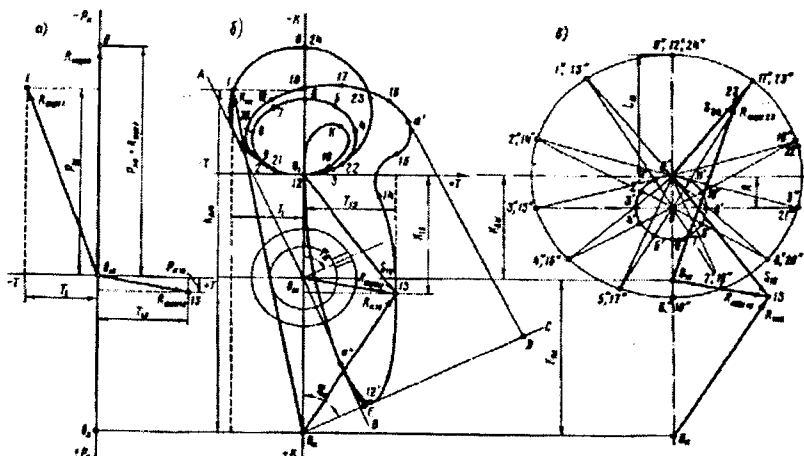
Krivoship burilish burchagi bo'yicha  $R_{\text{sh.b.}}$  kuchni grafik qurish qutbi  $O_{\text{sh}}$  nuqtada bo'lgan qutb diagrammasi ko'rinishida amalga oshiriladi (9.11, a-rasm).

Diagramma qutbi  $O_{\text{sh}}$  nuqtadan abtsissa o'qi bo'ylab o'ng tarafga musbat kuch  $T$ , ordinata o'qi bo'ylab esa yuqori tarafga

manfiy kuch  $R_k$  qo'yiladi. Tirsakli valning mos burilish burchagi uchun umumiy kuch  $R_{sh.b.} - T$  va  $R_k$  kuchlarning geometrik yig'indisi sifatida grafik usulda aniqlanadi. 9.11,  $\alpha$ -rasmda  $\varphi^0 = 0$ ,  $\varphi_1 = 30^\circ$  va  $\varphi_{13} = 390^\circ$  burchaklar uchun  $R_{sh.b.}$  kuchni qurish ko'rsatilgan. Tirsakli valning qolgan holatlari uchun shunga o'xshab quriladi.



9.10-rasm. Ta'sir qiluvchi kuchlar:  
a – valning shatun bo'yiniga; b – val tirsagiga.



9.11-rasm. Shatun bo'yiniga tushadigan yukning qutb diagrammasini qurish:  
a –  $R_{sh.b.}$  ni  $T$  var  $R_k$  yig'indisi sifatida qurish; b – qutb diagramma; v –  $R_{sh.b.}$  ni  $S$  va  $K_{Rsh}$  yig'indisi sifatida qurish.

Qutb diagrammasini hosil qilish uchun umumiy kuch  $R_{sh.b.}$  ning oxirgi nuqtalari burchak ortib borishi tartibida silliq egri chiziq bilan ketma-ket tutashtiriladi. 9.11,  $b, v$ -rasmida shatun bo‘yiniga tushadigan yukning qutb diagrammasi  $S$  va  $K_{Rsh}$  kuchlarni geometrik qo‘shish yo‘li bilan qurilgan; farq –  $S$  kuchlarini qurishda. 9.11,  $b$ -rasmda  $S$  kuchlari  $T$  va  $K$  kuchlarini geometrik qo‘shib, ya’ni  $S = \sqrt{T^2 + K^2}$ , aniqlangan va krivoship  $\varphi_{13}=390^0$  ga burilgan holatdagi  $S_{13}$  kuchi qurish ko‘rsatilgan. 9.11,  $v$ -rasmda analitik usulda hisoblab topilgan  $S$  kuchlari bevosita  $K_{Rsh}$  kuchiga qo‘shilgan.

Shatun o‘qi bo‘ylab ta’sir qiluvchi yig‘indi kuch  $S$  va krivoship bo‘ylab ta’sir qiluvchi markazdan qochma inertsiya kuchi  $K_{Rsh}$  larni geometrik usulda qo‘shib, shatun bo‘yiniga ta’sir qiluvchi yukning qutb diagrammasini (9.11,  $v$ -rasm) qurish quydagicha amalga oshiriladi.

O‘zak bo‘yining shartli qo‘zg‘almas markazini ifodalovchi  $O$  nuqtadan qabul qilingan masshtabda krivoship radiusiga teng radiusda aylana chiziladi. Shatun bo‘yini yu.ch.h. bo‘lgandagi markazi –  $O'$  nuqtadan, qabul qilingan masshtabda, shatun uzunligiga teng bo‘lgan radiusda ikkinchi aylana chiziladi. Markazi  $O$  nuqtada bo‘lgan aylana teng (odatda 12 yoki 24) bo‘laklarga bo‘linadi. Hosil bo‘lgan nuqtalardan  $O$  markaz orqali  $O'$  nuqtadan o‘tkazilgan aylana bilan kesishguncha nur o‘tkaziladi. Bu nurlar shartli aylanayotgan dvigatel silindri o‘qining nisbiy holatlarini ifodalaydi. Bunda silindr tirsakli val burchak tezligiga teng, lekin qarama-qarshi yo‘nalgan burchak tezlikda aylanadi deb qabul qilinadi. Nuqta o‘tkazilgan nurlar oxiri bilan tutashtirilib  $O'1''$ ,  $O'2''$  va h.k. kesmalar hosil qilinadi. Bu kesmalar – tirsakli val ma’lum burchakka burilgandagi shatun o‘qining nisbiy holatlaridir.  $O'$  nuqtadan shatun o‘qi yo‘nalishlarida.

$S$  kuchlari vektorlarining ishoralarini hisobga olib  $\mu_R$  masshtabda qo‘yiladi (9.11,  $v$ -rasmda  $\varphi_{13}=390^0$  da  $S_{13}$  kuchi va  $\varphi_{23}=690^0$  da  $S_{23}$  kuchi ko‘rsatilgan) va ularning oxirgi nuqtalari silliq egri chiziq bilan tutashtiriladi. Hosil bo‘lgan egri chiziq qutbi  $O'$  nuqtada bo‘lgan  $S$  nuqtalarining qutb diagrammasi deyiladi.

Umumi kuch  $R_{sh.b}$  ni topish uchun  $O'$  qutb vertikal bo'ylab  $K_{Rsh}$  vertikal bo'ylab siljiltiladi ( $K_{Rsh}$  ning qiymati va yo'nalishi o'zgarmas; masshtab esa o'sha  $\mu_R$ ). Hosil bo'lgan nuqta  $O_{sh}$  shatun bo'yiniga ta'sir qiluvchi umumi kuchlar  $R_{sh.sh}$  lar qutb diagrammasining qutbi deb ataladi. Krivoshipning qaysidir bir (masalan, 23) holati uchun  $S$  va  $K_{Rsh}$  kuchlar vektorlarini geometrik qo'shish uchun qutb  $O_{sh}$  dan  $O_{sh}$  23 vektorini o'tkazish kifoya qiladi.  $\overline{O_{sh}O'} = K_{Rsh}$  ba  $\overline{O'23} = \overline{S_{23}}$  vektorlarning geometrik summasi bo'lgan bu vektor qiymati va yo'nalishi bo'yicha izlanayotgan kuch  $R_{sh.b.23}$  ga mos bo'ladi.

Shunday qilib, koordinatalar boshi ( $O_{sh}$  qutb)ni  $S$  kuchning qutb diagrammasi konturidagi nuqtalar bilan tutashtiruvchi vektorlar qiymati va yo'nalishi bo'yicha tirsakli valning mos burilishi burchaklarida shatun bo'yiniga ta'sir qiluvchi kuchlarni ifodalaydi.

Val tirsagiga ta'sir qiluvchi va shatun bo'yinini eguvchi umumi kuch  $R_k = \overline{R_{sh.b}} + K_{Rk}$  (9.10, *b*-rasm)ni olish uchun, qutb  $O_{sh}$  ni vertikal bo'ylab (9.11-rasm) krivoship aylanuvchi massalarining markazdan qochma inertsiya kuchi kattaligi  $K_{Rk} = -m_k R \omega^2$  ga  $O_k$  nuqtaga siljitisiz zarur. 9.11, *b*,*v*-rasmda umumi kuchlar  $R_k$  ni  $\varphi_{13}=390^\circ$  burchak uchun qurilishi ko'rsatilgan.

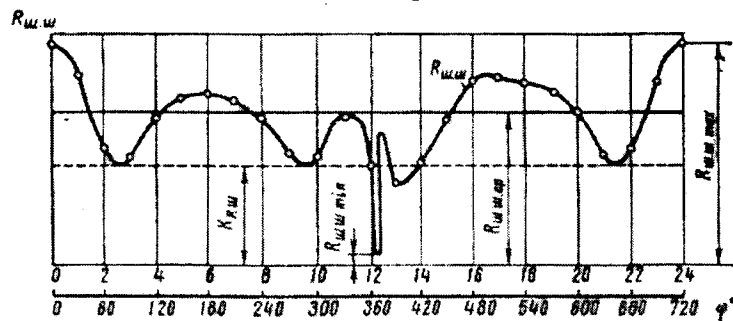
Analitik usulda (9.11, *b*-rasm)

$$R_k = \sqrt{T^2 + K_{pk}^2}, \quad (9.39)$$

bu yerda  $K_{Rk} = R_k + K_{Rk} = K + K_{Rsh} + K_{Rk} = K + K_R$  – val tirsagiga krivoship bo'lab ta'sir qiluvchi kuch (9.11, *b*-rasmda  $\varphi_1=30^\circ$  da  $R_{K1}$  qurilishi ko'rsatilgan).

Bir siklda umumi kuchning o'rtacha qiymati  $R_{sh.b.o.r}$  ni hamda uning maksimal  $R_{sh.b.max}$  va minimal  $R_{sh.b.min}$  qiymatlarini aniqlash uchun qutb diagramma tirsakli val burilishi burchagi funktsiyasida to'g'ri burchakli koordinatalarga yoyiladi (9.12-rasm). Buning uchun abstissa o'qi bo'ylab tirsakli valning har bir holati uchun krivoshipning burilish burchagi, ordinata o'qi bo'ylab esa umumi kuch  $R_{sh.b}$  ning qutb diagrammasidan olin-

gan qiymatlari qo‘yiladi. Diagrammani qurishda  $R_{sh.b.}$  ning hamma qiymatlari musbat deb hisoblanadi.  $R_{sh.b.} = f(\varphi)$  egri chizig‘i ostidagi yuzani planimetrlash (hisoblash) yo‘li bilan umumiy kuchning o‘rtacha qiymati  $R_{sh.b.o.r}$  topiladi.



9.12-rasm. To‘g‘ri burchakli koordinatalarda shatun bo‘yniga tushadigan yuk diagrammasi.

**V-simon dvigatellar.** V-simon dvigatel shatun bo‘yiniga ta’sir qiluvchi umumiy kuchlarni aniqlashda shatunlarning tirsakli val bilan birikishining konstruktiv bajarilishini hisobga olish zarur.

Tirkama shatunli (shatun bo‘yini bilan faqat bitta shatun birikkan) V-simon dvigatellar uchun shatun bo‘yiniga ta’sir qiluvchi umumiy kuch  $R_{sh.b.o.r.\Sigma}$  chap va o‘ng shatunlardan uzatilayotgan umumiy kuchlar  $T_\Sigma$  ni  $R_{K\Sigma}$  ni geometrik qo‘sish yo‘li bilan aniqlanadi (9.13-rasm):

$$R_{sh.b.\Sigma} = \sqrt{T_\Sigma^2 + K_{K\Sigma}^2} \quad (9.40)$$

$T_\Sigma$  va  $R_{K\Sigma}$  kuchlar dvigatel silindrлari ishi ketma-ketligini hisobga olgan holda jadval usulida aniqlanadi

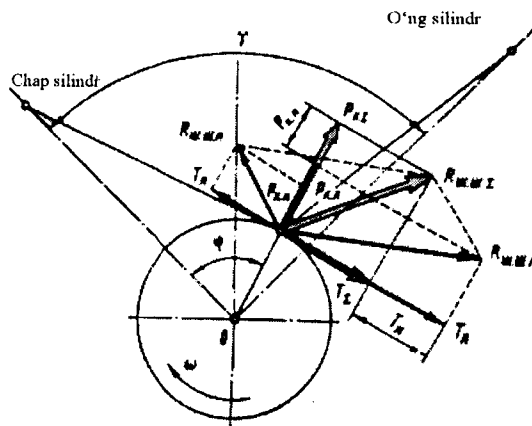
$$T_\Sigma = T_{chap} + T_{o.ng}; \quad (9.41)$$

$$\begin{aligned} R_{K\Sigma} &= R_{K.chap} + R_{K.o.ng} = K_{chap} + K_{Rsh.chap} \\ &+ K_{o.ng} + K_{Rsh.o.ng} = K_\Sigma + K_{Rsh.\Sigma}. \end{aligned} \quad (9.42)$$

V-simon dvigatellarda tirsakli valning burilish burchagi

tirsakli val o'ng tomonga aylanganda uning old tomonidagi chap silindrda birinchi krivoshipning yu.ch.h. ga mos holatidan boshlab hisoblanadi.

Agar turli krivoshiplarda chap va o'ng silindrлardagi ishchi yo'llar orasidagi intervallar teng bo'lsa, birinchi krivoship uchun aniqlangan summar (yig'indi) kuchlardan boshqa krivoshiplar uchun ham foydalanish mumkin.



9.13-rasm. *V*-simon dvigatel tirsakli valining shatun bo'yiniga ta'sir qiluvchi kuchlar.

Bitta bo'yinda yonma-yon joylashgan bir xil shatunli *V*-simon dvigatellar uchun shatun bo'yinining mos uchastkalariga ta'sir qiluvchi yig'indi (natijaviy)  $R_{sh.b.chap}$  va  $R_{sh.b.o'ng}$  kuchlar alohida-alohida – bir qatorli dvigateldagi kabi topiladi. Lekin tirsakka ta'sir qiluvchi yig'indi kuch  $R_{K\Sigma}$  ni aniqlash uchun ikkilangan krivoshipli mexanizmning shatun bo'yiniga ta'sir qiluvchi shartli kuch  $R_{sh.b.\Sigma}$  kuch shatunlar siljigani hisobga olinmasdan, tirkama shatunli dvigatelda topilgani kabi topiladi.

Bu holda

$$\bar{R}_{K\Sigma} = \bar{R}_{sh.b.\Sigma} + \bar{K}_{RK} \quad (9.43)$$

*V*-simon dvigatellarda shatun bo'yiniga va valning tirsagiga

tushadigan yukning qutb diagrammalari bir qatorli dvigatellarda qurilgani kabi quriladi.

### 9.2.6. Tirsakli valning o'zak bo'yinlariga ta'sir qiluvchi kuchlar

O'zak bo'yiniga ta'sir qiluvchi natijaviy kuch  $R_{o.b}$  (9.14, a, b-rasm) ikki qo'shni tirsaklardan uzatilayotgan, qiymatlari teng, lekin qarama-qarshi yo'nalgan kuchlarni geometrik qo'shish yo'li bilan aniqlanadi:

$$\overline{R}_{y.6} = \overline{R}'_{y.i} + \overline{R}'_{y(i+1)}, \quad (9.44)$$

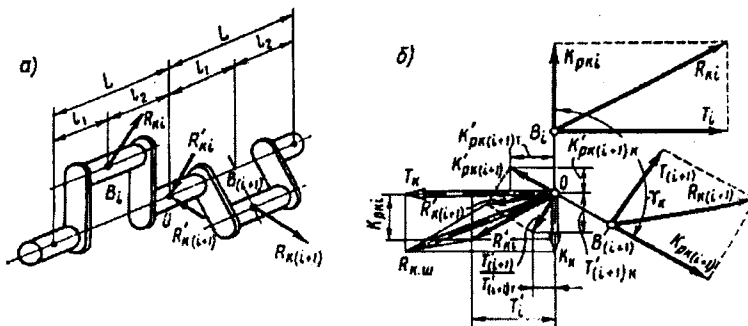
bu erda  $\overline{R}'_{y.i} = -R_{y.i} l_2 / L$  va  $\overline{R}'_{y(i+1)} = -R_{y(i+1)} l_1 / L$  – mos ravishda  $i$  va  $(i+1)$  tirsaklardan, bu tirsaklar orasida joylashgan o'zak bo'yiniga uzatilayotgan kuchlar;  $l_1$  va  $l_2$  – val o'qi bo'ylab shatun va o'zak bo'yinlari orasidagi masofalar;  $L$  – qo'shni o'zak bo'yinlar orasidagi masofa.

Simmetrik tirsaklarda  $R'_{y.i} = -0,5R_{y.i}$  va  $R'_{y(i+1)} = -0,5R_{y(i+1)}$ , u holda,

$$\overline{R}_{y.6} = -0,5(\overline{R}_{y.i} + \overline{R}_{y(i+1)}). \quad (9.45)$$

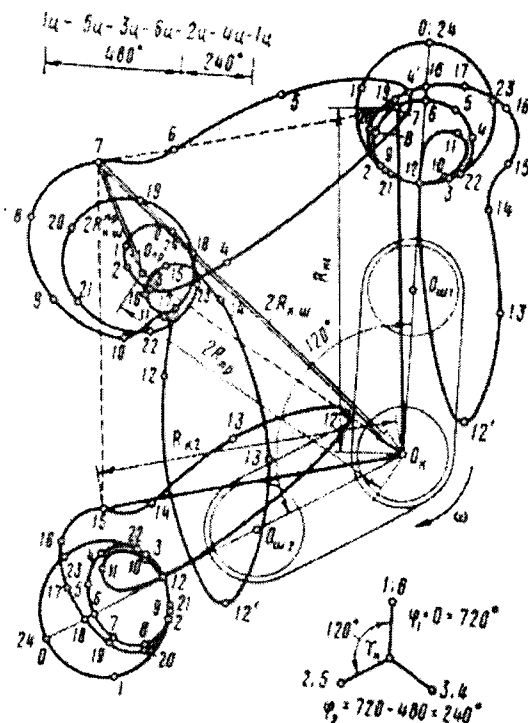
$R_{o.b}$  kuchlarning utb diagrammasi utblari  $O_o$  bir nuqtada joylashtirilgan, qo'shni shatun bo'yinlariga tushadigan yuklarning ikki qutb diagrammasi yordamida quriladi (9.15-rasm).

Valning mos burilish burchaklari uchun o'zak bo'yinga tushadigan yuk qutb diagrammasining nuqtalari grafik usulda, silindrlar ishi ketma-ketligiga mos ravishda, val tirsagiga bir vaqtda ta'sir qilushi ikkala diagrammalardagi  $R_o$ . Vektorlarini juftlab geometrik qo'shish yo'li bilan aniqlanadi. Olingan natijaviy kuchlarning har biri ikkilangan kuch  $R_{o.b}$  ni teskari ishorada ifodalaydi. Natijaviy vektorlar oxirini tirsaklı val burilishi burchagi ortib borishi tartibida silliq egri chiziq bilan tutashtirilib, qutb diagramma olinadi.



### 9.14-rasm. O'zak bo'yini:

*a* – tirsaklı val sxemasi; *b* – o'zak bo'yiniga ta'sir qiluvchi kuchlar sxemasi.



9.15-rasm. Qatorli olti silindrl to'rt faktli dvigatelning ikkinchi o'zak bo'yiniga tushadigan yukning qutb diagrammasi.

Ushbu diagramma yordamida  $i$ -silindr krivoshipining berilgan burilish burchagida o‘zak bo‘yinga qo‘yilgan natijaviy kuch  $R_{o\cdot b}$  ni aniqlash uchun, shatun bo‘yiniga tushayotgan yuk qutb diagrammasi mashtabiga qaraganda diagramma mashtabini ikki marta kamaytirish va vektorlarni egri chiziqdan qutb  $O_o$  tomon yo‘nalgan deb qabul qilish zarur.

9.15-rasmda qatorli olti silindrli to‘rt takhti ishlash tartibi 1-5-3-6-2-4 bo‘lgan dvigatelning ikkinchi o‘zak bo‘yiniga tushayotgan yukning qutb diagrammasini qurish ko‘rsatilgan.

O‘zak bo‘yiniga ta‘sir qiluvchi natijaviy kuchni analitik usulda hisoblash mumkin:

$$R_{u.b.} = \sqrt{T_u^2 + K_u^2}, \quad (9.46)$$

bu yerda  $T_o$  va  $K_o$  – mos ravishda  $R'_{K,i}$  va  $R'_{K,(i+1)}$  kuchlarning  $i$ -krivoshipning  $T$  va  $K$  o‘qlariga proeksiyalarining yig‘indisi.

$T_o$  va  $K_o$  quyidagicha topiladi (9.14,  $b$ -rasmga qarang).  $R'_{y,i} = -0,5R_{y,i}$  kuchning  $i$ -krivoshipning  $T$  va  $K$  o‘qlariga proeksiyalarini:

$$T'_i = -0,5T_i \quad \text{va} \quad K'_{Py,i} = -0,5K_{Py,i}.$$

Shunga o‘xshash  $R'_{y,(i+1)}$  kuchning  $(i+1)$ -krivoshipning  $T$  va  $K$  o‘qlarga proeksiyalarini:

$$T'_{i+1} = -0,5T_{i+1} \quad \text{va} \quad K'_{Py,(i+1)} = -0,5K_{Py,(i+1)}.$$

So‘ngira  $T'_{i+1}$  va  $K'_{Py,(i+1)}$  kuchlarning  $i+1$ -krivoshipning  $T$  va  $K$  o‘qlarga proeksiyasi aniqlanadi:

$$T'_{(i+1)\Gamma} = T'_{i+1} \cos \gamma_K = -0,5T_{i+1} \cos \gamma_K;$$

$$T'_{(i+1)K} = T'_{i+1} \sin \gamma_K = -0,5T_{i+1} \sin \gamma_K;$$

$$K'_{PK(i+1)\Gamma} = -K'_{PK(i+1)} \sin \gamma_K = 0,5K_{PK(i+1)} \sin \gamma_K;$$

$$K'_{PK(i+1)K} = K'_{PK(i+1)} \cos \gamma_K = -0,5K_{PK(i+1)} \cos \gamma_K,$$

bu yerda,  $\gamma_K$  –  $i$  va  $(i+1)$  silindrler krivoshiplari orasidagi burchak.

Hamma kuchlarni  $i$ -krivoshipning  $T$  va  $K$  o‘qlariga proeksiyalab, quyidagilarni hosil qilamiz:

$$\left. \begin{aligned} T_y &= T_i' + T_{(i+1)T}' + K_{PK(i+1)T}' = -0,5(T_i + T_{i+1} \cos \gamma_K - K_{PK(i+1)} \sin \gamma_K), \\ K_y &= K_{PKi}' + T_{(i+1)K}' + K_{PK(i+1)K}' = -0,5(K_{PKi} + T_{i+1} \sin \gamma_K + K_{PK(i+1)} \cos \gamma_K) \end{aligned} \right\} \quad (9.47)$$

$T_o$ - va  $K_o$ - kuchlarni tirsakli val burilishning har xil burchaklari uchun aniqlashda jadval shaklidan foydalanish qulay (9.9-jadval).

9.9-jadvalni sikl boshidan birinchi silindr krivoshipining burilish burchagi bo'yicha tuzishadi. Burilish burchaklari  $\varphi_i$  va  $\varphi_{i+1}$  va ularga mos kuchlarni silindrлar ishi ketma-ketligi bo'yicha burchak siljishini hisobga olgan holda aniqlashadi. Krivoshiplar orasidagi burchak  $\gamma_K = 0; 90; 180^\circ$  va h.k. bo'lganda jadvalni tuzish osonlashadi.

Tirsakli val burilishining har xil burchaklari uchun olingan  $T_o$ - va  $K_o$ - qiymatlari bo'yicha o'zak bo'yiniga ta'sir qiluvchi natijaviy kuchlar  $R_{o,b}$  ning qutb diagrammasi  $i$ -silindrning  $T$  va  $K$  koordinatalarida quriladi. Diagramma shatun bo'yiniga tushayotgan yukning qutb diagrammasi qurilgani kabi quriladi.

9.9-jadval

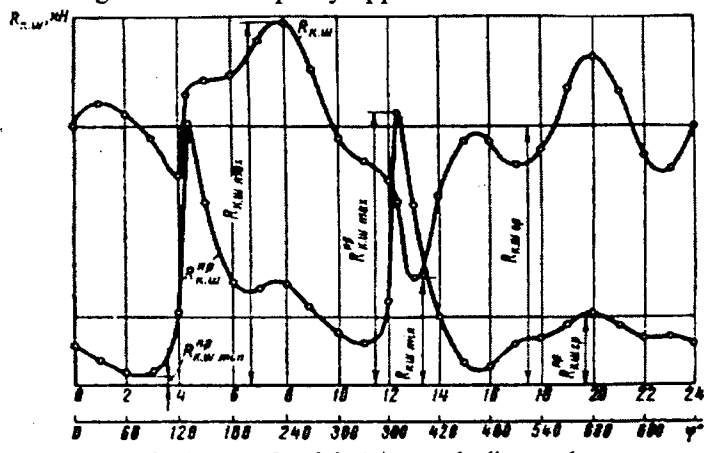
$\Phi^0$	$i$ -krivoship	$(i+1)$ -krivoship						O'zak bo'yini						
		$\Phi_{i+1}$	$-0,5 T_i$	$-0,5 K_{PKi}$	$-0,5 T_{(i+1)}$	$-0,5 T_{(i+1)} \cos \gamma_K$	$-0,5 T_{(i+1)} \sin \gamma_K$	$-0,5 K_{PK(i+1)}$	$-0,5 K_{PK(i+1)} \sin \gamma_K$	$-0,5 K_{PK(i+1)} \cos \gamma_K$	$\Phi_i$	$K_y$	$T_y$	$R_{o,b}$
0														
30														
.														
.														
360														
.														
.														
720														

$V$ -simon dvigateлlarning o'zak bo'yinlariga ta'sir qiluvchi natijaviy kuchlar  $R_{o,b}$  ni aniqlash va ular uchun qutb diagram-

malarni qurish qatorli dvigatellardagi kabi bajariladi, lekin bunda tirsakning har bir valiga ikkita silindr dan ta'sir qiladigan summar kuchlarning ta'siri hisobga olinadi (9.2.5-§. ga qarang).  $R_{o \cdot b}$  kuchlarning qutb diagrammasini (9.15-rasm) to'g'ri burchakli koordinatalar  $R_{o \cdot b} - \varphi$  ga o'tkazish (9.16, a-rasm) va undan  $R_{o \cdot b}$  o'rtacha,  $K_{o \cdot b, \max}$  larni topish  $R_{sh \cdot b}$  kuchlar diagrammasini qayta qurish kabi amalga oshiriladi.

### 9.2.7. Tirsakli val bo'yinlari yeyilishi diagrammasi

Tirsakli val bo'yinlariga ta'sir qiluvchi yuklarning qutb diagrammalari asosida bo'yinlar yeyilishi diagrammasini qurish mumkin. Bu diagrammalar val shatun va o'zak bo'yinlarining katta va kichik yuklangan qismlarini topish mumkin, bu moy teshigi joylashtiriladigan joyni to'g'ri aniqlash uchun zarur. Bundan tashqari ular, agar yeyilish bo'yinka ta'sir qiluvchi kuchlarga proportional deb qabul qilsak, bo'yinning butun aylanasi bo'ylab yeyilishning xarakteri haqida yaqqol tasavvur beradi.



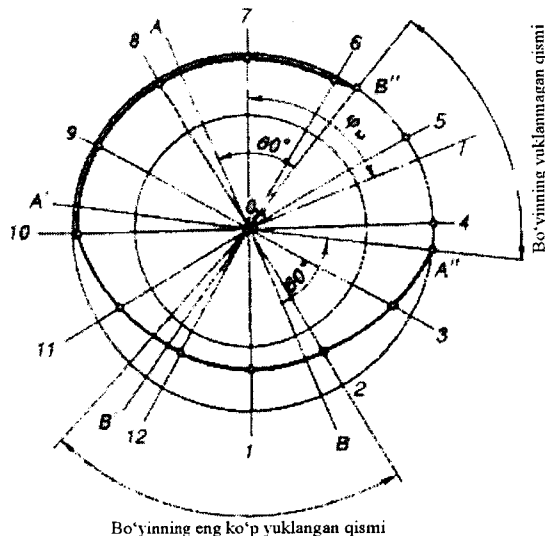
9.16-rasm. O'zak bo'yinga tushadigan yuk:  
a – posangilar hisobga olinmaganda; b – posangili val.

Shatun bo'yinining yeyilish diagrammasini (9.17-rasm) 9.11, b-rasmida keltirilgan qutb diagrammasi bo'yicha quyidagi tarzda qurishadi. Shatun bo'yinini ixtiyoriy masshtabda tasvirlovchi

aylana o'tkaziladi; uni  $O_{sh}$  1,  $O_{sh}$  2 va h.k. nurlar bilan teng (odatda 12 yoki 18) bo'laklarga bo'lishadi.

$R_{sh.b.i}$  kuch har bir vektorining ta'siri kuch qo'yilgan nuqtadan bo'yin aylanasi bo'ylab ikkala tarafga  $60^{\circ}$  ga yoyiladi deb qabul qilinadi. Shunday qilib har bir nur (masalan,  $O_{sh}$  22 nuri) bo'yicha ta'sir qiluvchi kuch (yeyilish) qiymatini aniqlash uchun:

- a) nur yeyilish diagrammasidan o'ziga parallel hamda qutb diagrammasiga ko'chiriladi;
- b) qutb diagrammasida shunday sektor ( $O_{sh}11$  nuridan har ikkita tarafga  $60^{\circ}$  dan) topiladi-ki, unda ta'sir qiluvchi kuchlar  $R_{sh.b.i} O_{sh}11$  nuri yo'nalishida yuk (yeyilish) hosil qilsin;
- v)  $O_{sh}11$  nuri sektorida ta'sir qiluvchi har bir  $R_{sh.b.i}$  kuchning qiymatini aniqlash ( $O_{sh}11$  nuri sektorida uchta kuch:  $R_{sh.b.13}$ ,  $R_{sh.b.14}$  va  $R_{sh.b.15}$  lar ta'sir qiladi) va  $O_{sh}11$  nuri uchun  $R_{sh.b.\Sigma}$  ( $R_{sh.b.\Sigma} = R_{sh.b.13} + R_{sh.b.14} + R_{sh.b.15}$ ) natijaviy kuchning qiymatini hisoblash;
- g) tanlangan mashtabda yeyilish diagrammasida natijaviy kuch  $R_{sh.b.\Sigma}$  ni  $O_{sh}11$  nur bo'ylab aylanadan markazga qaratib qo'yish;



9.17-rasm. Shatun bo'yini yeyilishi diagrammasi

d) har bir nur sektorida ta'sir qiluvchi natijaviy kuchlar qiymatlarini aniqlash (masalan,  $O_{sh}11$  nuri sektorida  $R_{sh.b.13}$  dan boshqa hamma kuchlar ta'sir qiladi,  $O_{sh}4$  va  $O_{sh}5$  nurlar sektorlarida esa birorta kuch ta'sir qilmaydi);

e) har bir nurda tanlangan masshtabda  $R_{sh.b.\Sigma}$  kuchlarning natijaviy qiymatlariga mos kesmalar qo'yilishi, kesmalar oxirlarini esa bo'yin yeyilishini tavsiflovchi silliq egri chiziq bilan tutashtirish;

j) yeyilish diagrammasiga qutb diagrammasiga urinma bo'lgan  $O_{sh}A$  va  $O_{sh}V$  chegaralovchi urinmalarni ko'chirish va ulardan  $60^{\circ}$  ostida  $O_{sh}A'$  va  $O_{sh}V'$  nurlarni o'tkazib, shatun bo'yini yeyilishi egri chizig'ining chegaraviy nuqtalari:  $A''$  va  $V''$  ni aniqlash kerak; moy teshigi o'qi odatda, shu nuqtalar orasida joylashadi.

Natijaviy kuch  $R_{sh.b.\Sigma}$  qiymatlarini hisoblashni soddalashtirish uchun jadval tuziladi, unga har bir nur bo'ylab ta'sir qiluvchi kuch  $R_{sh.b.i}$  ning qiymatlari va ularning summasi yoziladi.

O'zak bo'yini yeyilishi diagrammasi shunga o'xshash quriladi.

## **FOYDALANILGAN ADABIYOTLAR**

1. Автомобильные двигатели/Под ред. М.С. Ховаха. М.: Машиностроение, 1977, 591 с.
2. Автомобильные и тракторные двигатели/Под ред. Проф. И.М. Ленина. М.: Высшая школа, 1976. 368 с.
3. Двигатели внутреннего сгорания. Устройство и работа поршневых и комбинированных двигателей/Под ред. А.С. Орлина и М.Г. Круглова. М.: Машиностроение, 1990, 283 с.
4. Двигатели внутреннего сгорания. Теория поршневых и комбинированных двигателей/Под ред. А.С. Орлина и М.Г. Круглова. М.: Машиностроение, 1983, 375 с.
5. Двигатели внутреннего сгорания. Системы поршневых и комбинированных двигателей/Под ред. А.С. Орлина и М.Г. Круглова. М.: Машиностроение, 1985, 456 с.
6. Двигатели внутреннего сгорания. Теория рабочих процессов/Под ред. В.Н. Луканина. М.: Высшая школа, 1995. 368 с.
7. Двигатели внутреннего сгорания. Динамика и конструирование/Под ред. В.Н. Луканина. М.: Высшая школа, 1995. 320 с.
8. Ковалевский В.И. Автомобильные двигатели. Краснодар, 2003. 196 с.
9. Колчин А.И., Демидов В.П. Расчет автомобильных и тракторных двигателей. М.: Высшая школа, 2002. 496 с.
10. Конструкция и расчет автотракторных

двигателей/Под ред. Проф. Ю.А. Степанова. М.: Машиностроение, 1964, 522 с.

11. Савельев Г.М., Стефановский Б.С. Проектирование турбокомпрессоров. Ярославль, 1977.
12. To‘laev B.R. Ichki yonuv dvigatellarini konstruksiyalash va hisoblash asoslari. O‘quv qo‘llanma. T.: ToshDTU. 1996. 118 b.
13. To‘laev B.R. Ichki yonuv dvigatellari uchun yonilg‘ilar ximmatologiyasi. O‘quv qo‘llanma. T.: ToshDTU. 2003. –163 b.
14. Qodirov S.M. Ichki yonuv dvigatellari/A.U. Salimov tahriri ostida. T.: «O‘qituvchi», 2006.

## M U N D A R I J A

<b>K I R I S H .....</b>	<b>3</b>
QISQA XULOSALAR.....	6
<b>I BOB. PORSHENLI ICHKI YONUV DVIGATELLARINING TASNIFLANISHI VA ISHLASH PRINTSIPLARI.....</b>	<b>8</b>
1.1. AVTOMOBIL VA TRAKTOR DVIGATELLARINING TASNIFLANISHI.....	8
1.2. PORSHENLI DVIGATELLARNING ISHLASH PRINTSIPLARI...10	10
<b>II BOB. PORSHENLI ICHKI YONUV DVIGATELLARINING NAZARIY SIKLLARI.....</b>	<b>14</b>
2.1. UMUMIY HOLATLAR.....	14
2.2. QAYTALANUVCHI TERMODINAMIKANING SIKLLARNI TADQIQOT QILISHDA QABUL QILINADIGAN FARAZLAR.....15	15
2.3. PORSHENLI ICHKI YONUV DVIGATELLARINING NAZARIY SIKLLARI.....	16
2.4. ISSIQLIK O‘ZGARMAS HAJMDA KELTIRILADIGAN NAZARIY SIKL.....	19
2.5. ISSIQLIK DASTLAB O‘ZGARMAS HAJMDA, SO‘NGRA O‘ZGARMAS BOSIMDA KELTIRILADIGAN NAZARIY SIKL (ARALASH NAZARIY SIKL).....	25
2.6. NADDUVLI DVIGATELLARNING NAZARIY SIKLLARI.....33	33
<b>III BOB. YONILG‘I, ISHCHI JISMLAR VA ULARNING XOSSALARI.....</b>	<b>36</b>
3.1. UMUMIY MA’LUMOTLAR.....	36
3.2 YONILG‘I YONISHIDAGI KIMYOVIY REAKTSIYALAR.....39	39
3.3 YONILG‘I VA YONILG‘I-HAVO ARALASHMASINING YONISH ISSIQLIGI.....	47
3.4. GAZLARNING ISSIQLIK SIG‘IMI.....	51
<b>IV BOB. DVIGATELLARNING HAQIQIY SIKLLARI.....</b>	<b>57</b>

4.1. UMUMIY HOLATLAR.....	57
4.2. KIRITISH VA GAZ ALMASHISH JARAYONI.....	58
4.2.1. Dastlabki va asosiy kiritish.....	59
4.2.2. Kech kiritish .....	60
4.2.3. Kiritish jarayonida silindrda kirdigan yangi zaryad hajmi.....	63
4.2.4. Kiritish jarayonini tafsiflovchi parametrlarni aniqlash.....	64
4.2.5. Konstruktiv va ekspluatatsion omillarning silindr to‘lishiga ta’siri.....	76
4.3. SIQISH JARAYONI.....	92
4.3.1. Umumiy holatlar.....	92
4.3.2. Siqish jarayonining borishi.....	95
4.3.3. Siqish jarayonida issiqlik almashinuvি.....	96
4.3.4. Siqish jarayonini hisoblash.....	99
4.4. YONISH JARAYONI.....	103
4.4.1. Yonuvchi aralashmalarni hosil qilish.....	103
4.4.2. Alangalanish va yonish jarayonlari.....	114
4.4.3. Yonish jarayonini tashkil qilish metodlari.....	123
4.4.4. Indikator diagramma bo‘yicha yonish jarayonini tahlil qilish. Dvigatellarda yonishning asosiy fazalari.....	125
4.4.5. Yonish jarayonini hisoblash.....	133
4.4.6. Dvigatellarda yonilg‘i yonganida zaharli moddalarning hosil bo‘lishi.....	139
4.4.7. Zaharli moddalar chiqishi va yonilg‘i sarfini kamaytirish maqsadida aralashma hosil qilish va yonish jarayonlarini takomillashtirish.....	142
4.5. KENGAYISH JARAYONI.....	145
4.5.1. Kengayish jarayoni termodinamikasi.....	145
4.5.2. Kengayish oxirida gazlar bosimi va harorati.....	150
4.6. CHIQARISH JARAYONI VA EKSPLUATATSIYADA DVIGATELLAR ZAHARLILIGINI KAMAYTIRISH METODLARI.....	153
4.6.1. Chiqarish jarayoni.....	153
4.6.2. Ekspluatatsiyada dvigatellar zaharliligini kamaytirish metodlari.....	155

## V BOB. DVIGATELNING INDIKATOR

<b>KO'RSATKICHLARI.....</b>	<b>156</b>
5.1. INDIKATOR ISH, O'RTACHA INDIKATOR BOSIM VA INDIKATOR QUVVAT.....	156
5.1.1. Indikator ish.....	156
5.1.2. O'rtacha indikator bosim.....	157
5.1.3. Indikator quvvat.....	160
5.2. INDIKATOR F.I.K.....	161
5.3. YONILG'I SARFI.....	162
5.4. TURLI OMILLARNING INDIKATOR KO'RSATKICHLARGA TA'SIRI.....	164
5.4.1. Konstruktiv va rostlovchi omillarning ta'siri.....	165
5.4.2. Ekspluatatsion omillarning ta'siri.....	170
<b>VI BOB. DVIGATEL ISHINING EFFEKTIV</b>	
<b>KO'RSATKICHLARI.....</b>	<b>172</b>
6.1. EFFEKTIV QUVVAT VA MEXANIK YO'QOTISHLAR.....	172
6.2. EFFEKTIV F.I.K. VA YONILG'INING SOLISHTIRMA EFFEKTIV SARFI.....	177
6.3. DVIGATEL SILINDRINING ASOSIY O'LCHAMLARI.....	179
6.4. DVIGATEL KUCHLANGANLIGI KO'RSATKICHLARI.....	180
<b>VII BOB. DVIGATELNING ISSIQLIK HISOBI VA ISSIQLIK BALANSI.....</b>	<b>183</b>
7.1. BOSHLang'ICH PARAMETRLARNI TANLASH.....	183
7.2. KARBYURATORLI DVIGATEL VA YONILG'I TAQSIMLANIB PURKALADIGAN DVIGATEL ISSIQLIK      HISOBI.....	187
7.3. KARBYURATORLI DVIGATEL VA YONILG'I TAQSIMLANIB PURKALADIGAN DVIGATEL ISSIQLIK      BALANSI.....	206
7.4. DIZELNING ISSIQLIK HISOBI VA ISSIQLIK BALANSI.....	212
7.4.1. Issiqlik hisobi.....	212
7.4.2. Dizelning issiqlik balansi.....	222
<b>VIII BOB. ICHKI YONUV DVIGATELLARINING XARAKTERISTIKALARI.....</b>	<b>225</b>
8.1. IYODLARINING ISH REJIMLARI.....	225

8.2. TEZLIK XARAKTERISTIKALARI.....	226
8.3. TEZLIK XARAKTERISTIKASINI HISOBBLASH .....	233
8.3.1. Benzinli dvigatellar tashqi tezlik xarakteristikalarini hisoblash .....	237
8.3.2. Dizel tashqi tezlik xarakteristikasini hisoblash .....	239
8.4. DIZELLARNING REGUL YATOR XARAKTERISTIKALARI.....	242
8.5. TEPLOVOZ XARAKTERISTIKASI.....	246
<b>IX BOB. DVIGATEL KINEMATIKASI VA DINAMIKASI .....</b>	<b>248</b>
9.1. KRIVOSHIP-SHATUNLI MEXANIZM KINEMATIKASI .....	248
9.1.1. Umumiy ma'lumotlar .....	248
9.1.2. Porshen siljishi .....	250
9.1.3. Porshen tezligi va tezlanishi .....	252
9.2. KRIVOSHIP-SHATUNLI MEXANIZM DINAMIKASI .....	257
9.2.1. Gaz bosimi kuchlari.....	259
9.2.2. Krivoship-shatunli mexanizm qismlari massalarini keltirish .....	261
9.2.3. Inertsiya kuchlari.....	263
9.2.4. Krivoship-shatunli mexanizmgaga ta'sir qiluvchi summar kuchlar.....	265
9.2.5. Tirsakli valning shatun bo'yinlariga ta'sir qiluvchi kuchlar.....	274
9.2.6. Tirsakli valning o'zak bo'yinlariga ta'sir qiluvchi kuchlar.....	280
9.2.7. Tirsakli val bo'yinlari eyilishi diagrammasi.....	284
<b>FOYDALANILGAN A D A B I Y O T L A R .....</b>	<b>287</b>

## **Qaydlar uchun**

## B. TO'LAYEV

### ICHKI YONUV MOTORLARI NAZARIYASI VA DINAMIKA ASOSLARI

Toshkent – «Fan va texnologiya» – 2010

Muharrir:

F.Ismoilova

Tex. muharrir:

A.Moydinov

Musahbih:

M.Hayitova

Sahifalovchi:

H.G'ulomov

Bosishga ruxsat etildi: 24.11.2010. Bichimi 60x84<sup>1</sup>/<sub>16</sub>.  
«Timez New Roman» garniturası. Offset bosma usulida bosildi.  
Shartli bosma tabog‘i 19,0. Nashriyot bosma tabog‘i 18,3.  
Tiraji 500. Buyurtma №139.

«Fan va texnologiyalar Markazining bosmaxonasi» da chop etildi.  
100003, Toshkent shahri, Olmazor ko‘chasi, 171-uy.